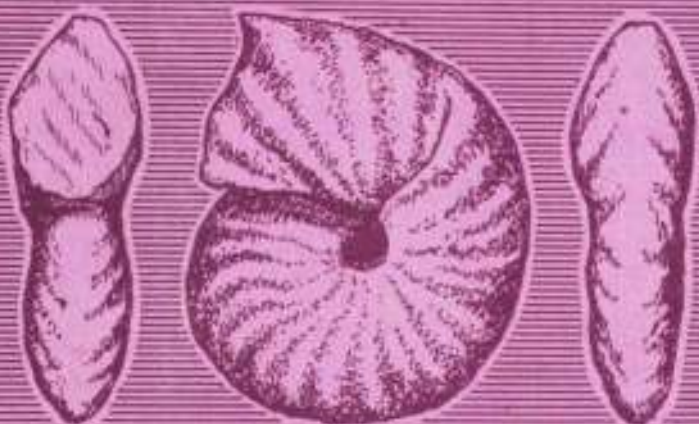


А. Г. КОНСТАНТИНОВ

БИОСТРАТИГРАФИЯ
И АММОНОИДЕИ
ВЕРХНЕГО АНИЗИЯ
севера Сибири



«НАУКА»
СИБИРСКОЕ ОТДЕЛЕНИЕ

А К А Д Е М И Я Н А У К С С С Р
СИБИРСКОЕ ОТДЕЛЕНИЕ

ТРУДЫ ИНСТИТУТА ГЕОЛОГИИ И ГЕОФИЗИКИ им. 60-летия СОЮЗА ССР
ВЫПУСК 787

А.Г. КОНСТАНТИНОВ

БИОСТРАТИГРАФИЯ
И АММОНОИДЕИ
ВЕРХНЕГО АНИЗИЯ
СЕВЕРА СИБИРИ

Ответственный редактор
доктор геолого-минералогических наук *A.С. Дагис*



НОВОСИБИРСК
“НАУКА”
СИБИРСКОЕ ОТДЕЛЕНИЕ
1991

УДК (56:551.7)+(564.53:551.761.2)(571.5)

Биостратиграфия и аммоноиды верхнего аизия севера Сибири / Константинов А.Г. - Новосибирск: Наука. Сиб. отд-ние, 1991. - 160 с.
ISBN 5-02-030014-4.

Монография является первой сводкой по аммоноидеям верхнего аизия севера Сибири. Впервые монографически описаны 36 видов, относящихся к 13 родам и 5 семействам (12 видов новые). Изучены основные морфоструктуры раковин позднеаизийских аммоноидей севера Сибири и их индивидуальный морфогенез, освещены вопросы возрастной и индивидуальной изменчивости. Дано обоснование инфразональной схемы верхнего аизия - наиболее детальной и полной в Бореальной области. Проведена корреляция верхнего аизия Сибири и других бореальных регионов, сопоставлены тетические и бореальные схемы этого стратиграфического интервала. Рассмотрены закономерности географической дифференциации аммоноидей для отдельных фаз позднего аизия.

Книга рассчитана на палеонтологов, стратиграфов и геологов.

Табл. 2. Ил. 50. Фототабл. 24. Библиогр.: 153 назв.

Рецензенты

кандидаты геолого-минералогических наук С.В. Меледина, А.М. Казаков

Утверждено к печати

Институтом геологии и геофизики им. 60-летия Союза ССР СО АН СССР

К 1904040000-146
042(02)-81 416-91 II полугодие © Издательство "Наука", 1991

ISBN 5-02-030014-4

ВВЕДЕНИЕ

Аммоноидей верхнего анизия севера Сибири слабо изучены. Им посвящены единичные публикации, а определения аммоноидей, имеющиеся в литературе по стратиграфии триаса Северо-Востока Азии /Мигай, 1952; Грамберг и др., 1961; Астахова, 1965; Вавилов, 1973; Вавилов, Каплан, 1974; Преображенская и др., 1975; Дагис и др., 1974, 1979; Бычков, 1977; Корчинская, 1977; Аркадьев, 1977/. Удовлетворительное состояние систематики, отсутствие монографического описания этой группы тормозят дальнейшую детализацию и усовершенствование биостратиграфических схем. Это предопределило цель настоящей работы, в которой приведены итоги ревизии и монографическое описание верхнеанизийских аммоноидей севера Сибири.

Материал, использованный в монографии и насчитывающий более 2000 экземпляров, был собран в основном на севере Средней Сибири (Восточный Таймыр, низовья рек Оленек, Лена, Северный Хараулах) (рис. 1) в процессе многолетних работ по комплексному изучению триаса Сибири сотрудниками ИГиГ СО АН СССР (А.С. Дагис, А.А. Дагис, А.Г. Константинов, Е.С. Со-

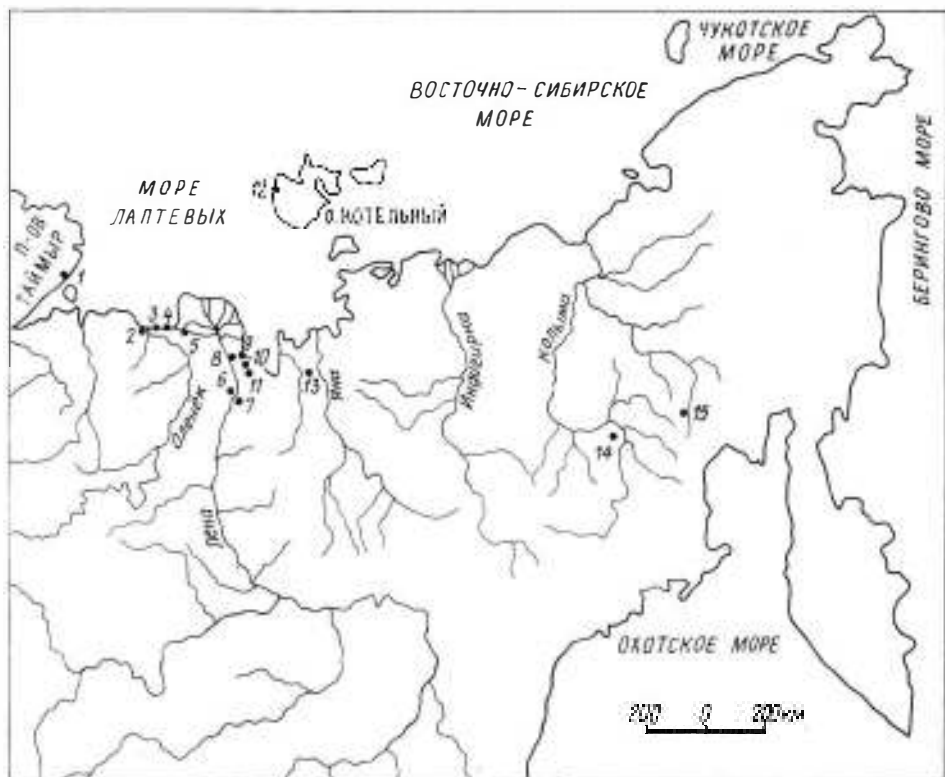


Рис. 1. Обзорная карта местонахождения верхнеанизийских аммоноидей на севере Сибири.

1 - м. Цветкова; 2 - м. Тумул; 3 - руч. Стан-Хая-Юрэгэ; 4 - пос. Ыстаннах-Хочо, м. Улахан-Крест; 5 - руч. Таас-Крест; 6 - м. Чекуровский; 7 - руч. Луктаах; 8 - о. Таас-Арыы; 9 - руч. Ольховый; 10 - руч. Алдэжирхай; 11 - руч. Артист-Агатын-Юрэгэ; 12 - лагуна Станции; 13 - бассейн р. Бакы; 14 - руч. Нимфа; 15 - р. Русская.

болев), СНИИГГиМСа (А.М. Казаков, В.Г. Князев, Н.И. Курушин) и Космогеологической экспедиции № 3 НПО "Аэрогеология" (А.Ю. Егоров, Ю.М. Баранов, Ю.А. Богомолов, В.В. Селиванова, Ю.Б. Алешко). Также использована коллекция, собранная автором совместно с Н.И. Курушиным и Е.С. Соболевым в 1986 г. на р. Малая Бургали (бассейн р. Колымы). Не большая, но важная коллекция аммоидей передана А.С. Дагисом с р. Русской. Подавляющее большинство материала имеет хорошую сохранность, представлено целыми раковинами и происходит в основном из конкреций и прослоев конкреций. Нередкое совместное нахождение раковин аммоидей и араптихов в одной конкреции, отсутствие признаков переноса раковин указывают на вероятное захоронение аммоидей *in situ*, автохтонность ископаемых тафоценозов. Это, а также наличие представительных выборок по отдельным видам, происходящих из одного прослоя конкреций, явилось предпосылкой для изучения аммоидей на популяционном или близком к нему уровне.

За основу взята методика исследования аммоидей и терминология, изложенная Г.Я. Крымольцем /1960/. Изучались, причем обязательно в онтогенезе, все признаки формы раковины, скульптуры и лопастной линии, оценивалась их возрастная и индивидуальная изменчивость. Для изучения возрастной изменчивости формы раковины делались поперечные пришлифовки в плоскости, проходящей через протоконх. Индивидуальная изменчивость оценивалась путем массовых замеров основных параметров раковины. Изучение онтогенеза лопастных линий проводилось по методике И.А. Михайловой /1983/, использовалась генетическая терминология лопастей В.Е. Руженцева /1962/.

В работе описаны почти все виды позднеанизийских аммоидей севера Сибири, за исключением парапланоцератид, ревизия которых недавно проведена А.С. Дагисом и С.П. Ермаковой /1981/. Кроме монографического описания аммоидей, приведена краткая характеристика основных разрезов и обоснована детальная инфразональная схема верхнего анизийского подъяруса севера Сибири, проведена ее корреляция с бореальными и тетическими регионами, рассмотрена географическая дифференциация позднеанизийских аммоидей.

* * *

Работа выполнена в Институте геологии и геофизики СО АН СССР под руководством А.С. Дагиса.

В качестве сравнительного материала были изучены коллекции Ю.Н. Попова (№ 5925, 6397, 6399), Л.Д. Кипарисовой (№ 5302, 5504), Ю.М. Бычкова (№ 8301), Ю.М. Бычкова и Л.Д. Кипарисовой (№ 9032), Т.М. Окуневой (№ 10211) и М.В. Корчинской (№ 12035), хранящиеся в ЦНИГРМузее им. Ф.Н. Чернышева. Также были изучены образцы, любезно переданные А.С. Дагису доктором Э.Т. Тозером (E.T. Tozer), Геологическая служба Канады, Оттава и доктором В. Вайтшатом (W. Weitchat), Геолого-палеонтологический институт Гамбургского университета, Гамбург. По отдельным вопросам автор консультировался у А.А. Дагис, Ю.М. Бычкова, С.П. Ермаковой, Н.И. Курушина, Е.С. Соболева. Рисунки выполнены автором, фотографии сделаны в фотолаборатории ИГиГ СО АН СССР автором и В.Г.Куриным. Автор благодарен научному руководителю А.С. Дагису и всем лицам, содействовавшим выполнению данной работы.

Оригиналы хранятся в Монографическом отделе геологического музея Института геологии и геофизики СО АН СССР в г. Новосибирске под № 774, 805 и 811.

ИСТОРИЯ ИЗУЧЕНИЯ БОРЕАЛЬНЫХ ВЕРХНЕАНИЗИЙСКИХ АММОНОИДЕЙ

Первое описание трех видов аммоноидей из верхнего анизия Сvalльбарда — *Nautilus* (= *Ptychites*) *trochlaeformis*, *Ceratites* (= *Parapopanoceras*) *malmgreni* и *Ceratites* (= *Frechites*) *laqueatus* дано более ста лет назад Г. Линдстрёмом /Lindström, 1865/. Впервые анизиевые аммоноидей севера Сибири, а именно *Hungarites* (= *Arctohungarites*) *triformis*, *Ceratites* (= *Czekanowskites*) *diciiens* и *Monophyllites?* *indet.*, были описаны Э. Мойсисовичем /Mojsisovics, 1886/. В последующем в работах по триасовым аммоноидеям Северо-Востока Азии изучались главным образом нижне- и верхнетриасовые аммоноидей /Diener, 1916c, 1924; Баярунас, 1932/.

Широкое развитие на Северо-Востоке Азии отложений среднего триаса было установлено в 30 — 40-е годы нашего века. Обработкой собранных материалов занимались Л.Д. Кипарисова и Ю.Н. Попов. В вышедшем в 1947 г. "Атласе руководящих форм ископаемых фаун СССР "Триасовая система" /Воинова, 1947/ описано два вида аммоноидей из верхнего анизия: *Popanoceras* (*Amphipopanoceras*) *dzeginense* и *Frechites humboldtensis*. Шесть видов с Восточного Таймыра и бассейна р. Колымы, известных в настоящее время только из верхнего анизия, изображено в "Основах палеонтологии" /Попов, 1958/: *Longobardites taimyrensis*, *Beyrichites* (= *Frechitoides*) *migayi*, *Hollandites* (= *Frechitoides*) *aff. organi*, *Frechites cf. humboldtensis* (= *Frechites nevadanus*), *Cladiscites* (= *Neocladiscites*) *parenicus* и *Amphipopanoceras* (= *Parapopanoceras*) *dzeginense*.

Заслуга в обобщении всех данных по триасовым аммоноидеям Северо-Востока СССР и их первого монографического описания принадлежит Ю.Н. Попову. Им было описано /Попов, 1961/ из верхнего анизия 15 видов, относящихся к восьми родам, из них два рода, *Neocladiscites* и *Arctogymnites* и восемь видов новых: *Gymnotoceras tuberculatum*, *Frechites laptevi* (оба = *Frechitoides migayi*) с м. Цветкова Восточного Таймыра; *Frechites bisulcatus* (= *Frechites nevadanus*), *Amphipopanoceras acutum*, *A. jakuschevi* (оба = *Parapopanoceras dzeginense*), *Arctogymnites sonini*, *Neocladischites parenicus* и *N. taskanensis* из бассейна р. Колымы. Краткое описание видов, выделенных Ю.Н. Поповым /1961/ и изображенных в "Основах палеонтологии", дано В.Ф. Возиным и В.В. Тихомировой /1964/. Позднее Ю.М. Быков и Л.Д. Кипарисова /1968/ подробно описали *Beyrichites migayi*, *Longobardites taimyrensis* и *Hollandites orientalis*, изображения которых даны в "Основах палеонтологии".

На этом этапе исследований в основном внимание уделялось изучению внешней морфологии раковины, лопастная линия часто изображалась только на внешней стороне оборота, не освещены вопросы возрастной и индивидуаль-

ной изменчивости, не изучался онтогенез лопастных линий. Описание аммоноидей базировалось на малом числе образцов, имеющих нередко неудовлетворительную привязку к разрезу и сохранность.

В 1976 г. был опубликован "Атлас триасовой фауны и флоры Северо-Востока СССР" /Бычков и др., 1976/, в котором Ю.М. Бычков из верхнего анизия описал 18 видов, относящихся к 11 родам и шести семействам. Из зоны *dzeginense* описаны вид-индекс *Hollandites orientalis*, H. (= *Gymnotoceras*) *suborientalis*, H. (= G.) sp., H. *voiti* (= *Gymnotoceras* sp.) *Kiparisova khivatchensis*, *Neocladiscites parenicus*, *Beyrichites aff. dunni*, B. cf. *osmonti* (оба = *Gymnotoceras deleeni*), *Parapopanoceras plicatum*, *Ussurites arthaberi* (= *Indigiophyllites popowi*), *Arctogymnites sonini* и A. sp. (= *A. clivosus*). Из зоны *bisulcatus* описаны *Frechites nevadanus*, *F. humboldtensis* (= *F. nevadanus*), *Longobardites taimyrensis* (= *L. canadensis*), *Gymnotoceras* (= *Parafrechites*) *sublaqueatum* и *G.* (= *Parafrechites*) cf. *spurri*.

В статье Ю.М. Бычкова и В.П. Канасова /1977/ уточняется стратиграфическое распространение рода *Amphipopanoceras*. Позднее А.С. Дагисом и С.П. Ермаковой /1981/ проведена на современном уровне ревизия парапопаноцератид, основанная на массовых сборах аммоноидей. Из верхнего анизия описано три вида: *Parapopanoceras asseretoi*, *P. plicatum*, *P. tetsa*.

В последнее время возрос интерес к изучению внутреннего строения и онтогенеза лопастных линий у триасовых аммоноидей. Онтогенез лопастных линий среди аммоноидей позднего анизия был изучен у *Frechites* /Вавилов, 1978; Аркадьев, 1982; Аркадьев, Вавилов, 1984/, *Parafrechites* /Аркадьев, Вавилов, 1984/, *Arctogymnites* /Вавилов и др., 1982/, *Longobardites* /Алексеев и др., 1984/, *Gymnotoceras* /Дагис, Константинов, 1986/, *Frechitoides* /Константинов, 1987/. В двух последних статьях описаны три новых вида (*Gymnotoceras olenekense*, *Frechitoides olenekensis*, *F. carinatus*), выделен новый род *Frechitoides*.

Верхнеанизийские аммоноидей Свальбарда описаны Г. Линдстремом /Lindström, 1865/, Р. Обергом /Oberg, 1877/, Э. Мойсисовичем /Mojisics, 1886/. Описание уже известных видов приводится в ряде более поздних работ /Spath, 1934; Tozer, Parker, 1968; Корчинская, 1982; Weitschat, Lehmann, 1983/. В верхнем анизии Свальбарда известны четыре вида: *Frechites laqueatus*, *Parapopanoceras malmsgreni*, *Ptychites trochlaeformis*, *Ussurites spetsbergensis*.

Верхнеанизийские аммоноидей Канады изучены в ряде работ /McLearn, 1946a,b, 1948, 1951, 1960, 1969; Tozer, 1961, 1962, 1967; Westermann, 1963/. Здесь известны 16 видов родов *Gymnotoceras*, *Frechites*, *Longobardites*, *Parapopanoceras*, *Anagymnites*, *Ptychites*, *Ussurites*, *Tozerites*, *Tropigymnites* и *Nevadites*.

ОПИСАНИЕ АММОНОИДЕЙ

НАДОТРЯД AMMONOIDEA ZITTEL, 1884

ОТРЯД CERATITIDA HYATT, 1884

ПОДОТРЯД CERATTITINA HYATT, 1884

СЕМЕЙСТВО BEYRICHITIDAE SPATH, 1934

Род Gymnotoceras Hyatt in Meek, 1877

Beyrichites: Hyatt, Smith, 1905, p. 155; Smith, 1914, p. 115 (part.).

Ceratites (Philippites): Smith, 1914, p. 106 (part.).

Ceratites (Gymnotoceras): Smith, 1914, p. 109 (part.).

Gymnotoceras: Hyatt in Meek, 1877, p. 110 (part.); Попов, 1961, с. 78 (part.); Silberling, Nichols, 1982, p. 25; Аркадьев, Вавилов, 1984, с. 63 (part.).

Типовой вид. *Ammonites blakei* Gabb, 1864; Невада, азиатский ярус, зона *rotelliforme*, слои с *Gymnotoceras blakei*.

Диагноз. Раковины средние и крупные, дисконоевые, от уплощенных до вздутых с сильнообъемлющими, быстро нарастающими в высоту оборотами. Умбиликус от умеренно узкого до умеренно широкого, с высокой кругой умбрикальной стенкой. Центральная сторона от узкоокругленной до широкой, пологовыпуклой. На боковых сторонах сигмоидальные, простые и раздваивающиеся от продолговатых приумбрикальных бугорков ребра, реже тройные пучки ребер. На центральной стороне внутренних оборотов слабый срединный киль, сглаживающийся с ростом. Лопастная линия субаммонитовая с сильно заузренными лопастями и стенками седел, вершины седел извилистые. Формула лопастной линии: $(V_1 V_1) LU^1 I_2 I^2 (I^3 = S) : (I^3 = S) I^1 I_1 (D_1 D_1)$.

Лопасти I^2 и I^1 слабо индивидуализированы и у некоторых видов неотделимы морфологически от сутуральной лопасти.

Видовой состав. *Gymnotoceras blakei* /Gabb, 1864, p. 24, pl. 4, fig. 14, 15/, *G. rotelliforme* /Meek, 1877, p. 111, pl. 10, fig. 9/, *G. deleeni* /McLearn, 1946a, p. 2, pl. 1, fig. 5/, *G. olenekense* /Дагис, Константинов, 1986, с. 55, табл. 4, фиг. 2/, *G. inflatum* sp. nov., *G. tasaryense* sp. nov., *G. zvetkovi* sp. nov.

Сравнение. От *Beyrichites* Waagen, 1895 отличается более резкой радиальной ребристостью, широкой иногда уплощенной центральной стороной со слабым срединным килем на внутренних оборотах.

По общей форме раковины, ширине умбрикаса, поперечному сечению оборотов близок к описываемому роду *Nicomedites* Toula, 1896, который имеет гладкие вершины седел лопастной линии, нерегулярную ребристость без вздутий и бугорков.

Замечания. Э. Мойсисович /Mojsisovics, 1888, S. 168/ впервые отметил, что несколько североамериканских форм, близких к арктической группе *geminati*, объединенных под названием *Ceratites blakei* Gabb, следует разделить на три вида: *Ceratites blakei* Gabb /Gabb, 1864, p. 24, tab. IV, fig. 4, 5/, *Ceratites meeki* Mojs. /Meek, 1877, p. 113, pl. 10, fig. 10, 10a и 10b/ и *Ceratites nevadanus* Mojs. /Meek, 1877, p. 113, pl. 11, fig. 6/.

Позднее род *Gymnotoceras* рассматривался в качестве подрода рода *Ceratites*, и к *Ceratites* (*Gymnotoceras*) *blakei* были отнесены формы с отчетливым центральным килем /Hyatt, Smith, 1905; Smith, 1914/. Л. Спат /Spath, 1934/ включил *Gymnotoceras* в семейство

Beyrichitidae, изобразив не голотип *Ammonites blakei* Gabb, а *G. blakei* из работы Дж. П. Смита /Smith, 1914, pl. 65, fig. 14, 15/. Это же изображение дано в известной сводке по палеонтологии беспозвоночных /Arkell et al., 1957, p. 150, fig. 1a, b/. Л. Спат /Spath, 1934, p. 446/ отметил наличие переходных форм между *Gymnotoceras* и *Frechites*, в дальнейшем на существование между этими родами переходных форм указала Л. Д. Кипарисова /Кипарисова, 1961/, в частности *Gymnotoceras wemplei* Smith, *G. russelli* Smith, *G. hersheyi* Smith.

Среди сибирских гимнотоцерасов выделяются две разновозрастные группы: со слабыментральным килем или без такового, распространенные в зоне *rotelliforme* и с отчетливыментральным килем, распространенные в вышележащей зоне *humboldtensis* /Дагис и др., 1979; Дагис, Казаков, 1984; Аркадьев, Вавилов, 1984/.

В последнее время Н. Сильберлингом и К. Николс /Silberling, Nichols, 1982/ показана ошибочность отнесения к *Gymnotoceras blakei* (Gabb) грубо скульптированных форм с отчетливыментральным килем. Среди образцов, этикетированных У. Габбом как *Ammonites blakei*, хранящихся в музее Академии наук Филадельфии, был обнаружен вероятный голотип этого вида с пометкой А. Хайэтта, на котором он базировал род *Gymnotoceras* /Silberling, Nichols, 1982, p. 27/. По мнению этих исследователей, лектотип *G. blakei* (Gabb) происходит из нижней части слоев с *G. blakei* зоны *rotelliforme*. Грубо скульптированные формы с отчетливыментральным килем, распространенные в Неваде в вышележащей зоне *meeki*, были выделены в новый род *Parafrechites*. Поэтому в настоящей работе к роду *Gymnotoceras* отнесены только бескилевые и слабокильевые формы.

Распространение. Средний триас, анизийский ярус, зона *rotelliforme* Невады, севера Средней Сибири и Северо-Востока СССР, зона *deleeni* Британской Колумбии, зона *Hollandites japonicus* Хабаровского края, зона *trinodosus* Новой Гвинеи.

Gymnotoceras blakei (Gabb), 1864

Табл. 1, фиг. 1-4*.

Ammonites blakei: Gabb, 1864, p. 24, pl. 4, fig. 14, 15.

Ceratites (*Gymnotoceras*) *blakei*: Smith, 1914, p. 109, pl. 14, fig. 10b, c.; pl. 16, fig. 8-10.

Beyrichites falciformis: Smith, 1914, p. 116, pl. 91, fig. 11-13, pl. 92, fig. 1-8.

Форма. Раковина первых трех-трех с половиной оборотов офиоконовая, эволютивная со слабо объемлющими оборотами. Поперечное сечение первых двух оборотов поперечно-овальное с широкой, пологовыпуклой вентральной стороной, выпуклыми боковыми. Умбиликус широкий, мелкий. На третьем обороте сечение его близко к округлому.

С ростом увеличивается относительная высота и объемлемость оборотов, четвертый оборот удлиненно-овального сечения, вытянутый в высоту, объемлет около половины высоты предыдущего оборота. На пятом-седьмом оборотах раковина дискоконовая, инволютная, уплощенная с сильно объемлющими оборотами, быстро нарастающими в высоту. Поперечное сечение оборота округленно-треугольное, вытянутое в высоту с узкой, выпуклой вентральной

* Таблицы 1-24 см. в Приложении.

стороной и пологовыпуклыми, уплощенными боковыми. Умбиликальный край резкий, умбиликальная стенка высокая, отвесная. Умбиликус узкий, глубокий. Максимальная ширина оборота в 1/3 его высоты от умбиликального края.

Жилая камера сохранилась не полностью, занимает около половины оборота, устье не сохранилось.

Экз.	Размеры (мм) и отношения (%)						
	Д	В	Ш	Д _у	В/Д	Ш/Д	Д _у /Д
59/811	52,3	27,3	-	8,8	52	-	17
60/811	47	24,6	11?	7,4	52	23?	16
61/811	36,5	19	10,5	5,5	52	29	15
62/811	33,2	16,6	12,2	7,3	50	37	22
65/811	26,1	13,3	8,6	5,6	51	33	21
	42,2	23,3	13,3	6,6	54	31	15
66/811	65	36	21,2	8	55	33	12
67/811	14,8	6	6,2	4,4	41	42	30

Скульптура. На первых двух оборотах раковина гладкая. На третьем и четвертом оборотах на боковых сторонах редкие, сигмоидальные ребра (7 на пол-оборота), ослабленные наентральной стороне. В конце четвертого оборота между ними по 1–3 более слабых и менее изогнутых ребра. Первые приобретают вид параболических ребер, резко отличных по очертанию от вторых (табл. 1, фиг. 3а).

На боковых сторонах взрослой раковины частые сигмоидальные ребра (15–16 на пол-оборота), простые и реже раздваивающиеся вблизи умбиликального края, несколько расширенные уентральной стороны, где они резко изогнуты вперед. Бугорков в месте ветвления ребер не образуется. На вентральной стороне струйки роста, образующие выступ вперед.

При высоте оборота 12–20 мм ребра сглаживаются, замещаются пологими складками и струйками роста. На вентральной стороне внутренних оборотов у некоторых экземпляров слабый срединный киль, сглаживающийся с ростом (табл. 1, фиг. 2б).

Лопастная линия (рис. 2). Просутура ангустиселлатная, состоит во внешней части из высокого вентрального седла, глубокой первичной боковой лопасти (см. рис. 2, а). Примасутура четырехлопастная с заостренной вентральной лопастью, мелкими L, I и D. Лопасть I лежит на шве (см. рис. 2, б). При Ш = 0,53 мм, В = 0,48 мм (1,3 оборота) вентральная лопасть уплощена в основании (см. рис. 2, в). При Ш = 0,7 мм, В = 0,53 мм (1,5 оборота) вентральной лопасть разделена невысоким срединным седлом на две ветви (см. рис. 2, г). При Ш = 0,75 мм, В = 0,63 мм (1,75 оборота) на седле L/I образуется U¹ (см. рис. 2, д). При Ш = 1,15 мм, В = 0,98 мм (2 оборота) дорсальная лопасть разделена на две ветви, внутренняя боковая делится на две ветви: I₂ и I₁ (см. рис. 2, е), которые затем при Ш = 1,38 мм, В = 1,33 мм (2,5 оборота) смещаются на разные стороны оборота: (V₁V₁)LU¹I₂:I₁(D₁D₁) (см. рис. 2, ж). При Ш = 2,9 мм, В = 2,55 мм (начало четвертого оборота) на седле I₂/I₁ образована лопасть I¹ (см. рис. 2, з), смещающаяся затем при Ш = 3,25 мм, В = 3 мм (3,5 оборота) на внутреннюю сторону оборота (см. рис. 2, и), на седле I₂/I¹ образована лопасть I². Лопасти зазубриваются в основаниях, седла

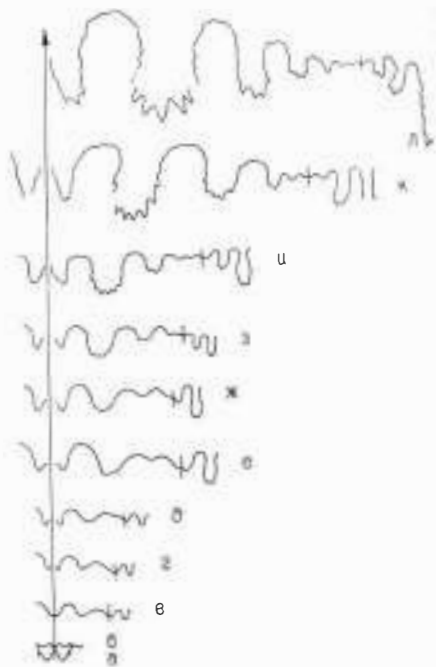


Рис. 2. Онтогенез лопастной линии *Gymnotoceras blakei*.

Экз. 67/811: а, б - просутура и промасутура, при Ш = 0,4 мм; в - при Ш = 0,53 мм, В = 0,48 мм; г - при Ш = 0,7 мм, В = 0,53 мм (1,5 оборота); д - при Ш = 0,75 мм, В = 0,63 мм (1,75 оборота); е - при Ш = 1,15, В = 0,98 мм (2 оборота); ж - при Ш = 1,38 мм, В = 1,33 мм (2,5 оборота); з - при Ш = 2,9 мм, В = 2,55 мм (начало четвертого оборота); и - при Ш = 3,25 мм, В = 3 мм (3,5 оборота); к - при Ш = 4,65 мм, В = 5,2 мм (4 оборота); л - при Ш = 5 мм, В = 5,7 мм (4,25 оборота). Оленекский залив, пос. Ыстанинах-Хочо, зона rotelliforme, подзона olenekense.

извилистые. При Ш = 4,65 мм, В = 5,2 мм (4 оборота) образовавшаяся ранее на седле I^2/I^1 лопасть I^3 симметрично делится на две (см. рис. 2, к), впоследствии образуя супуральную лопасть. Развитие лопастной линии в онтогенезе проходит по следующей схеме: VLID \rightarrow (V_1V_1)LID \rightarrow (V_1V_1) $LU^1ID \rightarrow$ (V_1V_1) $LU^1I_2 : I_1(D_1D_1) \rightarrow$ (V_1V_1) $LU^1I_2 : I^1I_1(D_1D_1) \rightarrow$ (V_1V_1) $LU^1I_2 I^2 : I^1I_1(D_1D_1) \rightarrow$ (V_1V_1) $LU^1I_2 I^2 (I^3 = S) I^1I_1(D_1D_1)$.

Лопастная линия у взрослых раковин с сильно зазубренными стенками седел, вершины седел без зубцов, извилистые (рис. 3).

Изменчивость. Индивидуальная изменчивость незначительная, слабо варьирует относительная ширина и форма сечения оборота: с узкоокругленной и более пологой центральной стороной. Ребристость сглаживается при различной высоте оборота.

Сравнение. От наиболее близкого *Gymnotoceras rotelliforme* Meek отличается более высокими оборотами, узким умбиликусом, а также скульптурой: отсутствием приумбиликальных впадин и бугорков в месте ветвления ребер, сглаживанием ребристости на поздних стадиях роста.

От *G. deleeni* (McLearn), скульптура у которого также сглаживается на поздних стадиях роста, отличается отсутствием отчетливого уплощения центральной стороны и центрального края.

Распространение. Средний триас, анизийский ярус, зона rotelliforme, слои с *Gymnotoceras blakei* Невады; зона rotelliforme, подзона olenekense севера Сибири.

Местонахождение и материал. Восточный Таймыр, м. Цветкова -

- 5 экз.; Оленекский залив моря Лаптевых; пос. Ыстанинах-Хочо - 3 экз., руч. Стан-Хая-Юрэгэ - 2 экз., пос. Улахан-Крест - 5 экз.; дельта р. Лены, Оленекская протока, руч. Таас-Крест - 1 экз.; Северный Хараулах, бассейн р. Кенгдей, руч. Артист-Агатын-Юрэгэ - 4 экз.

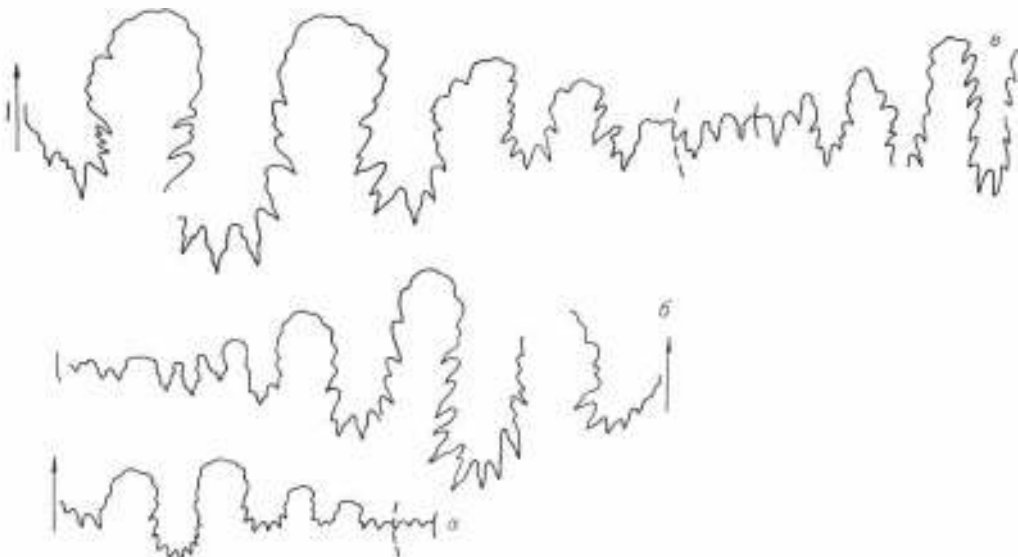


Рис. 3. Лопастные линии *Gymnotoceras blakei*.

а - экз. 59/811, при $B = 16$ мм; Оленекский залив, м. Улахан-Крест;
- экз. 63/811, при $B = 30,5$ мм, $Ш = 15$ мм; Оленекский залив, пос.
Ястиннах-Хочо; в - экз. 66/811, при $Ш = 21,2$ мм, $B = 36$ мм; Оленек-
ский залив, м. Улахан-Крест. Зона *rotelliforme*, подзона *olenekense*.

Gymnotoceras rotelliforme Meek, 1877

Табл. 1, фиг. 5, 6; табл. 2; табл. 3

Gymnotoceras rotelliforme: Meek, 1877, p. 111, pl. 10,
fig. 9.

Beyrichites rotelliformis: Hyatt, Smith, 1905, p. 155, pl. 23,
fig. 1-7, p. 58, fig. 1-15; Smith, 1914, p. 118, pl. 4, fig. 1-7,
pl. 8, fig. 1-15, pl. 14, fig. 9, pl. 31, fig. 1-6, pl. 91, fig. 1-10

Ceratites (Philippites) argentarius: Smith, 1914, p. 107,
pl. 63, fig. 1-14.

Beyrichites tenuis: Smith, 1914, p. 119, pl. 32, fig. 1-3,
pl. 89, fig. 15-20.

Gymnotoceras rotelliformis: Silberling, Nichols, 1982, p. 26,
pl. 7, fig. 1-27, pl. 8, fig. 1-5.

Форма (рис. 4). Начальная камера эллипсоидальная шириной 0,6 мм. Раковина первых четырех-четырех с половиной оборотов офиоконовая со слабообъемлющими оборотами. Поперечное сечение первых двух-двух с половиной оборотов поперечно-ovalное с широкой пологовыпуклойentralной стороной, выпуклыми боковыми, на третьем-четвертом оборотах сечение близко к округлому.

С ростом увеличивается относительная высота и объемлемость оборотов и на пятом-шестом оборотах раковина дисконочная, инволютная с сильнообъемлющими оборотами, быстро нарастающими в высоту. Поперечное сечение оборота от округленно-треугольного до округленно-трапециевидного с макси-

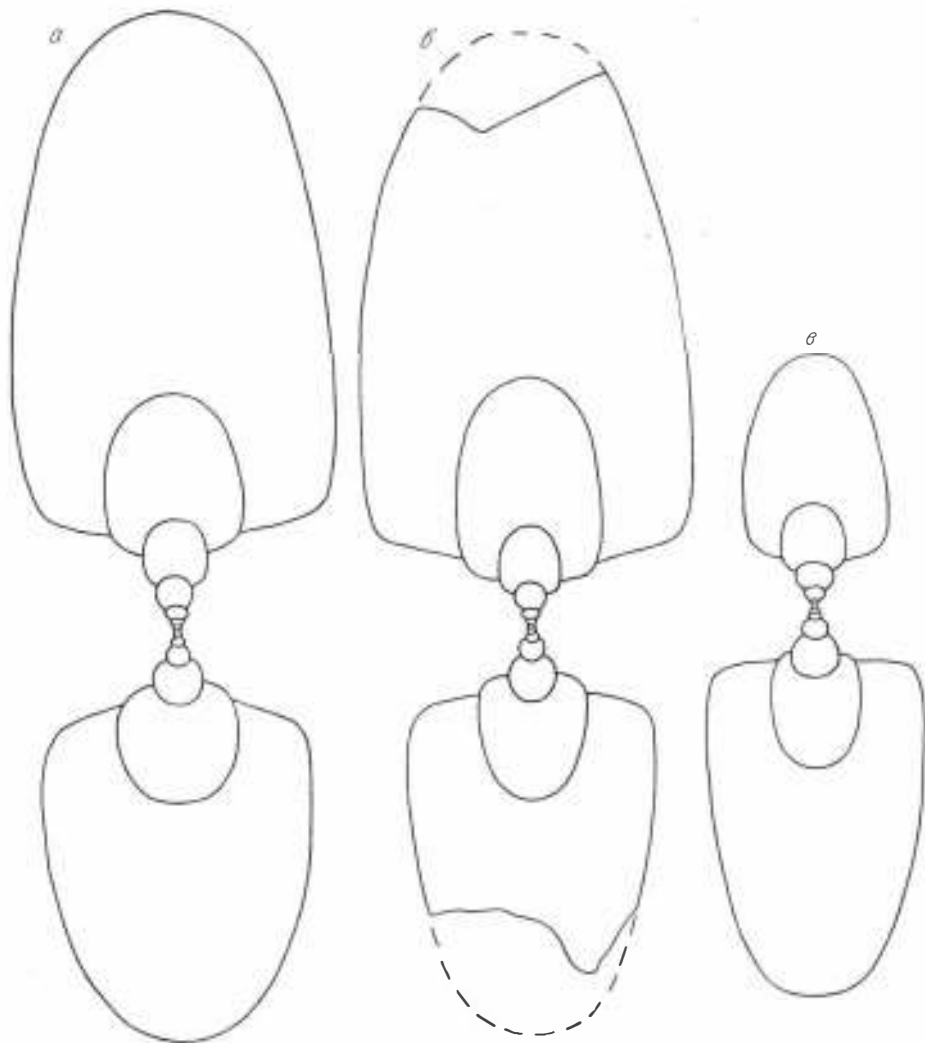


Рис. 4. Поперечные сечения раковин *Gymnotoceras rotelliforme*.
 а - экз. 86/811, при $D = 55$ мм; нижнее течение р. Лены, о. Таас-Ары; б - экз. 85/811, при $D = 55,5$ мм; местонахождение то же; в - экз. 95/811, при $D = 34,8$ мм; Северный Хараулах, бассейн р. Кенгдей, руч. Алджирхай. Зона *rotelliforme*.

мальной шириной вблизи умбрикального края. Вентральная сторона выпуклая, от узкой до широкой. Округленный вентральный край только у форм с широкой вентральной стороной. Боковые стороны пологовыпуклые, уплощенные. Умбрикальный край узкоокругленный, умбрикальная стенка высокая, от наклонной до отвесной. Умбрикус узкий, глубокий.

На жилой камере вентральная сторона становится широко окруженной, сечение оборота овальное, умбрикус эксцентричный (табл. 3, фиг. 1, 2).

Размеры (мм) и отношения (%)

Экз.	Д	В	Ш	$\frac{Д}{У}$	В/Д	Ш/Д	$\frac{Д}{Д} \cdot \frac{Д}{У}$
76/811	34,4	18,7	12,9	4,7	54	37,5	14
77/811	27,4	14,3	10,3	4,4	52	37,5	16
78/811	29,6	14,9	11,3	5,2	50	46	18
79/811	32,7	16,8	11,9	5,8	51	36	18
80/811	46,5	24,7	17,2	9	53	37	19
81/811	52,7	27,5	19,4	8,3	52	37	16
82/811	52,6	26,4	16,2	7,4	50	31	14
83/811	57,9	30	19,5	9,9	52	34	17
84/811	51,5	25,3	17,7	10,5	49	34	20
86/811	55	28,5	17,5	8,9	52	32	16
104/811	73,1	35,3	21	14,2	48	29	19
105/811	84,6	42,3	23,5	14,6	50	28	17
106/811	104	53	29	14,5	51	28	14

Скульптура. На первом обороте раковина гладкая. На втором–третьем оборотах на боковых сторонах редкие (7–8 на оборот) прямые ребра. На четвертом обороте они более частые, слабо сигмоидальные, между ними по 1–2 коротких дополнительных ребра. Основные ребра начинаются от умбиликального перегиба, дополнительные – с середины боковых сторон.

На боковых сторонах пятого–шестого оборота чередование сигмоидальных основных и дополнительных ребер (24–26 ребер на шестом обороте). В нижней части оборота основные ребра образуют продолговатые вздутия, при подходе к центральной стороне резко изгибаются вперед, несколько расширяются и не переходят на центральную сторону. На последней только струйки роста, образующие центральный выступ. Дополнительные ребра на этой стадии у некоторых форм приближаются своей нижней частью к основным и образуются дихотомирующие, реже тройные пучки ребер, отходящие от приумбиликальных вздутий основного ребра.

На боковых сторонах жилой камеры ребра одиночные, начало их смешается на боковые стороны. На центральной стороне внутренних оборотов у отдельных грубо скульптированных форм слабый срединный киль, исчезающий с ростом (табл. 2, фиг. 16).

Параболическая скульптура отмечена только у наиболее грубо скульптированных, вздутых форм (табл. 1, фиг. 6).

Лопастная линия. Развитие лопастной линии в онтогенезе происходит по той же схеме, что и у *Gymnotoceras blakei* (Gabb) (рис. 5).

Изменчивость (рис. 6). Индивидуальная изменчивость значительная, заключается в вариациях относительной высоты оборота, ширины умбиликуса, а также формы сечения оборотов и скульптуры. С изменением $\frac{Д}{Д} \cdot \frac{Д}{У}$ коррелятивно связано изменение В/Д. Так, формы с относительно узким умбиликусом имеют более высокие обороты, чем таковые с широким. Наибольшим вариациям подвержены формы поперечного сечения оборота и скульптура. Сечение оборота при $Д = 46$ – 50 мм меняется от округленно–треугольного с узкой центральной стороной у инволютных форм до округленно–трапециевидного с широкой пологовыпуклой центральной стороной у эволютных форм. Ребра от слабых, низких складкообразных у первых до грубых, сильно вздутых около умбиликального перегиба у вторых. Лопастная линия во внешней части изменчива на приумбиликальном отрезке (рис. 7).

Сравнение. Отличия от *Gymnotoceras blakei* (Gabb) приведены в описании последнего.

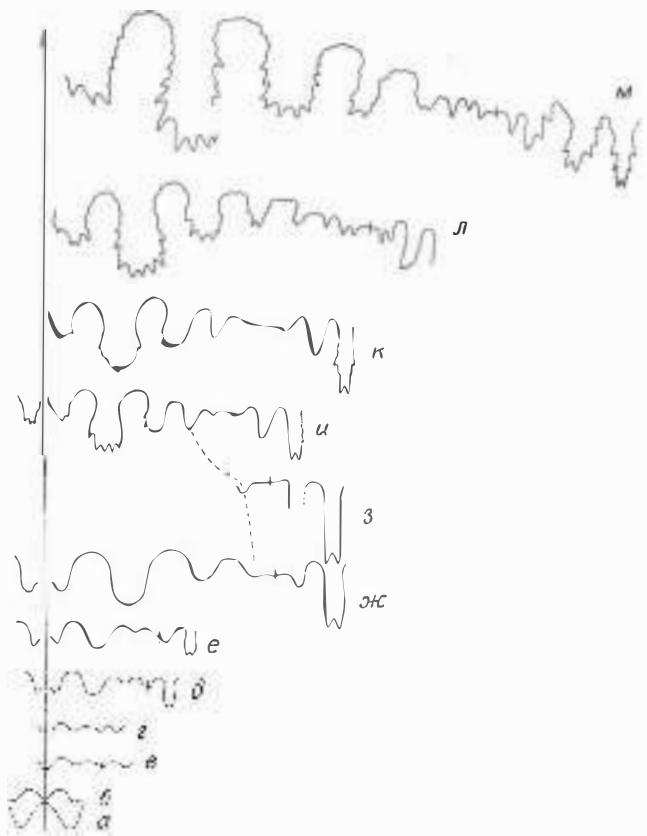


Рис. 5. Онтогенез лопастной линии *Gymnotoceras rotelliforme*.

Экз. 118/811: а, б - просутура и примасутура при Ш = 0,58 мм; в - при Ш = 0,6 мм, В = 0,3 мм; г - при Ш = 0,75 мм, В = 0,5 мм; д - при Ш = 1,75 мм, В = 1,1 мм; е - при Ш = 2 мм, В = 1,4 мм; ж - при Ш = 3 мм, В = 2,6 мм; з - при Ш = 3,3 мм, В = 3,2 мм; и - при Ш = 5,3 мм, В = 7 мм; к - при Ш = 5,8 мм, В = 9 мм; л - при В = 12 мм; м - при Ш = 12,4 мм, В = 19,1 мм. Оленекский залив, пос. Ыстанах-Хочо, зона *rotelliforme*.

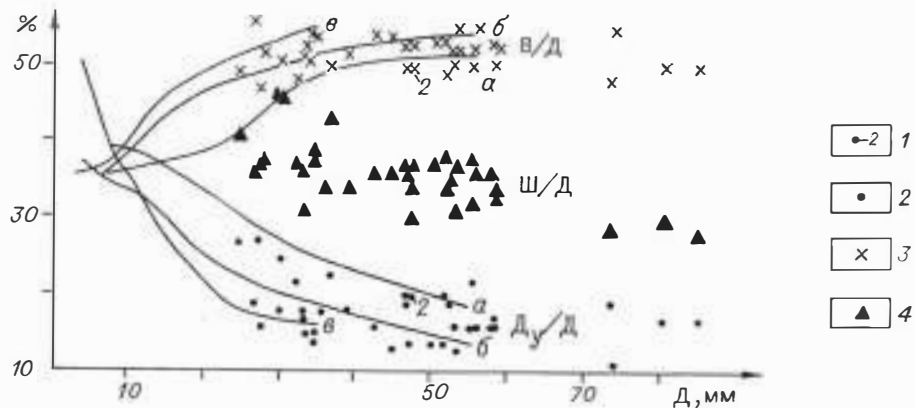


Рис. 6. Индивидуальная и возрастная изменчивость *Gymnotoceras rotelliforme* (число замеров 39).

1 - совпадение двух замеров; 2,4 сплошные линии - кривые изменения $\frac{W}{D}$ (2) и $\frac{B}{D}$ (3), у одного экземпляра с ростом; 4 - $\frac{Ш}{D}$.

а - экз. 86/811, б - экз. 85/811, в - экз. 95/811; местонахождение и возраст экземпляров см. в объяснении к рис. 4.



Рис. 7. Индивидуальная изменчивость лопастных линий *ymr. rotoceras rotelliforme*.

а - экз. 81/811, при $B = 14$ мм; б - экз. 83/811, при $B = 14,3$ мм;
в - экз. 84/811, при $B = 15,8$ мм; г - экз. 80/811, при $B = 12,5$ мм.
Нижнее течение р. Лены, о. Таас-Арыы, зона *rotelliforme*, один прослой
конкремций.

От *G. inflatum* sp. nov. наиболее груборебристые формы данного вида отличаются ранним исчезновением бугорков и тройных пучков ребер в онтогенезе, более многочисленными и мелкими зубцами в основании лопастей, овальной формой оборота жилой камеры.

Распространение. Средний триас, анизиjsкий ярус, зона *rotelliforme* Невады, севера Средней Сибири; зона *Hollandites japonicus* Хабаровского края.

Местонахождение и материал. Восточный Таймыр, м. Цветкова - 12 экз.; Оленекский залив моря Лаптевых; пос. Ысттаннах-Хочо - 40 экз., м. Улахан-Крест - 20 экз., руч. Стан-Хая-Юрэгэ - 10 экз.; дельта р. Лены, Оленекская протока, руч. Таас-Крест - 10 экз.; нижнее течение р. Лены, о. Таас-Арыы - 30 экз.; Северный Хараулах: бассейн р. Кенгдей, руч. Артист-Агатын-Юрэгэ - 60 экз., руч. Ольховый - 2 экз., руч. Алджаирхай - 20 экз.

Gymnotoceras deleeni (McLearn), 1946

Табл. 4, фиг. 1-3

Beyrichites deleeni: McLearn, 1946a, p. 16, Appendix II, p. 2, pl. 1, fig. 5, pl. 2, fig. 3; 1948, p. 26, pl. 1, fig. 5, pl. 2, fig. 3, pl. 9, fig. 2.

Gymnotoceras deleeni: McLearn, 1969, p. 24, pl. 4, fig. 2-6.

Beyrichites aff. dunnii: Бычков и др., 1976, с. 115, табл. 20,

фиг. 4.

Beyrichites cf. osmonti: Бычков и др., 1976, с. 115, табл. 21, фиг. 6.

Форма (рис. 8, а). Внутренние обороты не сохранились. При диаметре 22 мм раковина эволютная. Центральная и боковые стороны выпуклые. Обороты слaboобъемлющие. Поперечное сечение овальное, вытянутое в высоту. Умбиликус широкий, мелкий.

При диаметре раковины 39 мм сечение оборота округленно-трапециевидное, вытянутое в высоту с уплощенными боковыми сторонами, отделенными округленными центральным и умбиликальным краями от пологовыпуклой центральной стороны и крутой умбиликальной стенки (табл. 4, фиг. 3б). Обороты почти полностью объемлющие.

Взрослые раковины крупные, дисконоевые, инволютные с быстро нарастающими в высоту сильнообъемлющими оборотами. Центральная сторона выпуклая, постепенно переходит в слабовыпуклые боковые, умбиликальный край резкий, умбиликальная стенка отвесная, высокая. Умбиликус узкий, глубокий, ступенчатый.

Жилая камера не сохранилась.

Размеры (мм) и отношения (%)

Экз.	Д	В	Ш	Д _у	В/Д	Ш/Д	Д _у /Д
69/811	34,7	17,3	11,3	8,8	50	33	26
70/811	35,7	17,4	10,8	8,4	49	30	24
71/811	32,7	15,3	10,1	8,9	47	31	27
72/811	39,4	20,6	12,5	8,1	52	22	21
73/811	39,2	19,4	12	8	49	31	20
74/811	48,3	26,2	14,4	8,9	54	30	18
75/811	99	55	30	11	56	30	11

Скульптура. До диаметра раковины 30-34 мм на боковых сторонах частые параболические ребра (11 на пол-оборота). Ребра начинаются от умбиликального края в нижней части боковых сторон и на центральном крае образуют выемки (первая – неглубокая, вторая – глубокая, полукруглая), разделенные выступом, расположенным в середине боковой стороны. На центральной стороне округленно-остроугольный выступ. Между параболическими ребрами иногда по одному простому ребру.

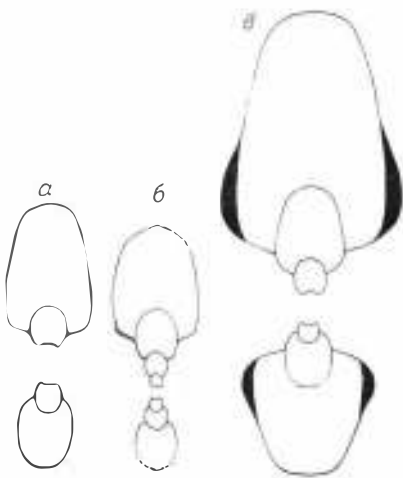
При высоте оборота 12-16 мм параболические ребра исчезают и боковые стороны несут частые, тонкие сигмоидальные ребра, несколько усиленные на центральном крае (табл. 4, фиг. 2а). С ростом они сглаживаются на боковых сторонах, сохраняясь только на центральном крае в виде удлиненных, косо направленных вперед бугорков. Раковина наибольшего экземпляра гладкая.

Лопастная линия (рис. 9, а, б). Изучена только внешняя часть лопастной линии. В целом она близка к таковой других видов рода: сильнозубренными лопастями и стенками седел, гофрированными вершинами седел. На боковой стороне четыре лопасти, на умбиликальной стенке ряд зубцов.

Сравнение. От *Gymnotoceras blakei* (Gabb) отличается сечением оборота на средних стадиях роста: уплощенными боковыми и центральной стороной и округленным центральным

Рис. 8. Поперечные сечения *Gymnotoceras*.

а - *G. deleeni*, экз. 69/811, при $D = 35$ мм; Омлонский массив, р. Русская, зона *rotelliforme*, подзона *olenekense*; б - *G. olenekense*, экз. 8/774, при $D = 23$ мм, Оленекский залив, м. Улахан-Крест, возраст тот же; в - *G. inflatum*, экз. 124/811, при $D = 60,5$ мм, нижнее течение р. Лены, о. Таас-Арыы, зона *rotelliforme*.



краем. Кроме того, у *G. deleeni* (McLearn) при сглаживании ребристости выделяется "булавовидная" стадия /McLearn, 1969, р. 27/, когда ребра сохраняются только на вентральном крае, в то время как на боковых сторонах они замещаются пологими складками и линиями роста.

Распространение. Средний триас, азиатский ярус, зона *deleeni*

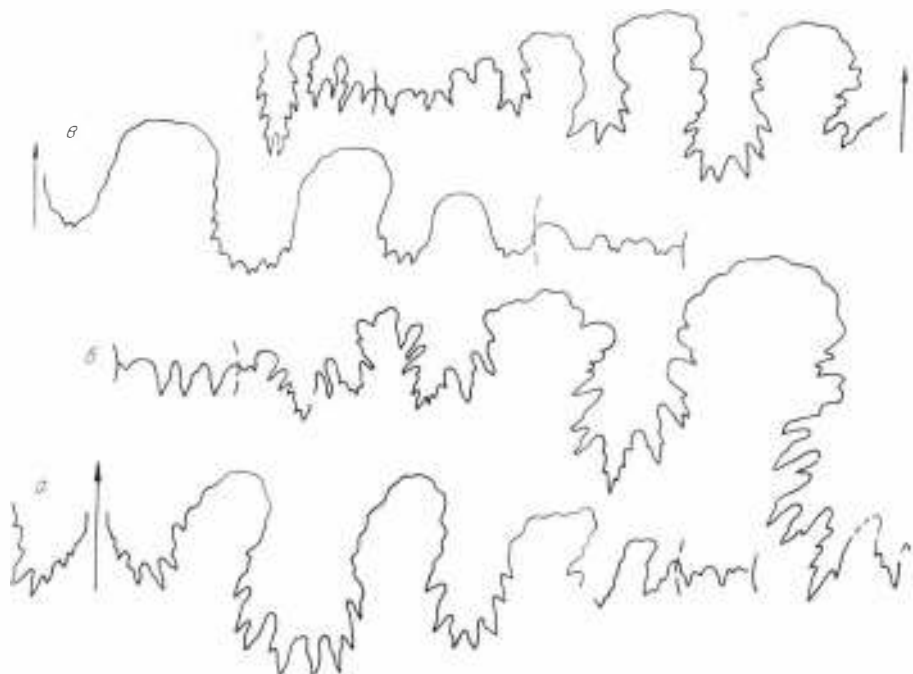


Рис. 9. Лопастные линии *Gymnotoceras*.

а, б - *G. deleeni*; а - экз. 71/811, при $Ш = 10,3$ мм, $В = 15,1$ мм; б - экз. 75/811, при $В = 47,2$ мм; Омлонский массив, р. Русская, зона *rotelliforme*, подзона *olenekense*; в - *G. olenekense*, экз. 1/774, при $Ш = 11,3$ мм, $В = 9,4$ мм; Оленекский залив, м. Улахан-Крест, возраст тот же; г - *G. inflatum*, экз. 121/811, при $Ш = 15,8$ мм, $В = 17,6$ мм; Северный Хараулах, бассейн р. Кенгдей, руч. Ольховый, зона *rotelliforme*.

Британской Колумбии, зона *rotelliforme*, аналоги подзоны *olenekense* Омоловского массива (совместно с *Parapopanoceras plicatum* Bytschkov).

Местонахождение и материал. Омоловский массив, р. Русская-10 целых раковин и 4 фрагмента оборотов.

Gymnotoceras olenekense Dagys et Konstantinov, 1986

Табл. 4, фиг. 4, 5; табл. 6, фиг. 2, 4

Gymnotoceras olenekense: Дагис, Константинов, 1986, с. 55, табл. 4, фиг. 2, 3 (нет фиг. 4 = *Arctohungarites khauralakhensis* Popow).

Голотип. № 1/774. ЦСГМ. Оленекский залив моря Лаптевых, м. Ула-чан-Крест; азиатский ярус, зона *rotelliforme*, подзона *olenekense*.

Форма (см. рис. 8, б). Поперечное сечение первых двух оборотов по-перечно-овальное с выпуклыми вентральной и боковыми сторонами. Сечение третьего оборота близко к округлому. С ростом увеличивается относительная высота оборота и раковина на четвертом-пятом оборотах эволютная со слабообъемлющими оборотами овального сечения, вытянутого в высоту. Вентральная сторона приостренная, боковые пологовыпуклые, умбрикальный край округленный, умбрикальная стенка низкая, наклонная.

Взрослые раковины (шесть-семь оборотов) полуэволютные, средней толщины с быстро нарастающими в высоту оборотами овального сечения, вытянутого в высоту. Вентральная сторона кильобразно заострена, вентральный перегиб от неясного до отчетливого. Боковые стороны пологовыпуклые, умбрикальный край округленный, умбрикальная стенка низкая, крутая. Умбрикус умеренно широкий, ступенчатый. На шестом и шести с половиной оборотах оборот объемлет около 2/3 высоты предыдущего.

Жилая камера занимает половину оборота, устье не сохранилось.

Размеры (мм) и отношения (%)

Экз.	Д	В	Ш	Д _y	В/Д	Ш/Д	Д _y /Д
1/774	41,8	18,5	11,5	11,5	44	28	28
2/774	45,6	20,5	12,5	10,2	45	27	22
3/774	29,5	12,3	9	10	42	31	28
4/774	24	9,4	6,7	8,5	39	28	35
6/774	37	14,8	12,1	10,6	40	33	24
7/774	32,3	13,8	9,9	9,6	43	31	30

Скульптура. При Ш = 2,6 мм на боковых сторонах вблизи умбрикуса появляются частые простые короткие ребра, не переходящие на вентральную сторону. На четвертом-пятом оборотах на боковых сторонах частые, различные по силе сигмоидальные ребра и струйки роста, начинающиеся от умбрикального края, слабо S-образно-изогнутые на боковых сторонах. На вентральном крае они резко изогнуты вперед и, ослабляясь, переходят через срединное кильобразное приострение, оставляя на нем тонкие валики. На пятом-шестом оборотах при диаметре раковины более 20-29 мм боковые стороны несут частые (15 на пол-оборота) простые и раздваивающиеся от приумбрикальных бугорков ребра.

Лопастная линия (см. рис. 9, в). Онтогенез лопастной линии этого вида был первоначально неполностью изображен и неверно интерпретиро-

Рис. 10. Онтогенез лопастной линии *Gymnotoceras olenekense*. Экз. 9/774; а - при Ш = 1 мм, В = 0,8 мм; б - при Ш = 1,25 мм, В = 1 мм; в - при Ш = 1,75 мм, В = 1,78 мм; г - при Ш = 1,95 мм, В = 1,95 мм; д - при Ш = 2,65 мм, В = 2,75 мм; е - при Ш = 3,3 мм, В = 3,75 мм; ж - при Ш = 3,8 мм, В = 4,5 мм. Оленекский залив, руч. Стан-Хая-Юрэгэ, зона rotelliforme, подзона olenekense.

ван /Дагис, Константинов, 1986/. Полный онтогенез лопастной линии того же экземпляра дан на рис. 10.

Сравнение. Ребра, в разной степени вздутые около умбиликального края, имеет также *G. rotelliforme* Meek, от которого *G. olenekense* Dagys et Konst. отличается более широким умбиликусом. Кроме того, описываемый вид отличается от этого вида слабой зазубренностью стенок и вершин седел лопастной линии.

Распространение. Средний триас, анизиjsкий ярус, зона rotelliforme, подзона olenekense севера Средней Сибири.

Местонахождение и материал. Оленекский залив моря Лаптевых: м. Улахан-Крест - 10 экз., руч. Стан-Хая-Юрэгэ - 3 целых экз. и около 15 фрагментов, пос. Ысттанах-Хочо - 1 экз.; Северный Хараулах, бассейн р. Кенгдей, руч. Артист-Агатын-Юрэгэ - 5 экз.

Gymnotoceras inflatum sp. nov.

Табл. 5, фиг. 1-3; табл. 6, фиг. 1, 3, 5

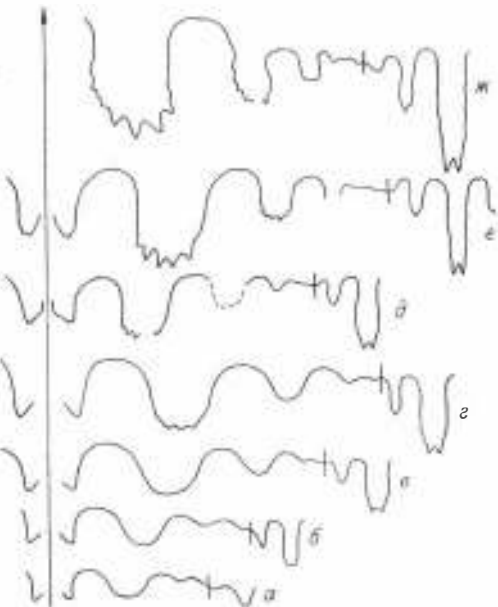
Название вида от *inflatus* (лат.) - вздутый.

Голотип. № 121/811. ЦСГМ. Северный Хараулах, бассейн р. Кенгдей, руч. Ольховый; анизиjsкий ярус, зона rotelliforme.

Диагноз. Раковины средних и крупных размеров, вздутые и умеренной толщины. Поперечное сечение последнего оборота от округленно-трапециевидного до округленно-треугольного, вытянутого в высоту. Вентральная сторона пологовыпуклая, уплощенная. Боковые стороны пологовыпуклые, с сигмоидальными ребрами, образующими тройные пучки, отходящие от приумбиликальных вздутий или бугорков. Умбиликус узкий, глубокий с крутой, высокой умбиликальной стенкой.

Форма (рис. 8, в). На первых четырех оборотах раковина офиоконовая, эволюционная со слабообъемлющими оборотами. При диаметре раковины 12 мм (около четырех с половиной оборотов) сечение оборота круглое, при 18 мм (пять оборотов) - овальное, вытянутое в высоту с выпукльми вентральной и боковыми сторонами. В середине шестого оборота образуется умбиликальная стенка, отделенная от боковых сторон округленным умбиликальным краем.

С ростом на шестом-седьмом оборотах раковина - вздутый дискокон с сильнообъемлющими оборотами, округленно-треугольного сечения (табл. 5,



фиг. 1 б). Вентральная сторона от уплощенной до пологовыпуклой, вентральный и умбиликальный края округленные, боковые стороны пологовыпуклые, умбиликальная стенка высокая, крутая. Максимальная ширина оборота около умбиликального края.

Жилая камера занимает около половины оборота, устье не сохранилось.

Размеры (мм) и отношения (%)

Экз.	Д	В	Ш	$\frac{Д}{У}$	В/Д	Ш/Д	$\frac{Д}{У}/\frac{Д}{У}$
121/811	72	37,2	28,9	14,6	52	40	20
122/811	90	46,4	33,8	13,5	52	38	15
123/811	57,1	30,1	23,5	11,5	53	41	20
124/811	60,6	29,3	22,7	14	48	37	23
125/811	69,3	32,8	23,2	16,1	47	33	23
127/811	38,6	18,3	15	10,7	47	39	28
128/811	46,7	22,3	22,5	13	48	48	28
129/811	58,8	30,6	-	10,7	52	-	18

Скульптура. Раковина первых двух с половиной оборотов гладкая. На боковых сторонах четвертого–пятого оборотов частые одиночные слабоизогнутые ребра, берущие начало от умбиликального края, где некоторые из них гребневидно вздуты (8 на оборот). Между таковыми по 2–3 ребра без вздутий. На шестом обороте образуются пучки из 3 ребер, отходящих от крупных приумбиликальных продолговатых бугорков или шипов. Число бугорков – 8–9 на оборот, число ребер – 25–26. Между пучками изредка короткие вставные ребра. На жилой камере (вторая половина седьмого оборота) ребра менее рельефные, раздваивающиеся от бугорков, смешанных на боковые стороны. На ранних оборотах – параболические ребра, исчезающие при различном диаметре раковины.

Лопастная линия (см. рис. 9, г, д). Во внешней части состоит из глубокой вентральной лопасти, разделенной широким срединным седлом на две узкие ветви, глубокой боковой, более мелких U_1^1 и I_2 . Во внутренней части уз-

кие глубокие I_1 и D . На умбиликальной стенке и частично на внутренней стороне оборота ряд зубцов, образующих сутуральную лопасть с крупными зубцами в основаниях, седла брахи菲尔льные, извилистые.

Изменчивость. Индивидуальная изменчивость проявляется в вариациях относительной ширины раковины ($Ш/Д$ от 33 до 48), относительной ширины умбиликуса, а также скульптуры. Наиболее грубо скульптированные формы (табл. 6, фиг. 5) имеют крупные шиповидные бугорки, более изогнутые ребра; тонкоскульптированные – слабые продолговатые приумбиликальные вздутия и более прямые ребра (табл. 5, фиг. 3а).

Сравнение. Отличия от наиболее эволюционных, грубо скульптированных форм *Gymnotoceras rotelliforme* Meek приведены в описании этого вида. Приумбиликальные бугорки имеет также *G. olenekense* Dagys et Konst, от которого описываемый вид отличается уплощенной или пологовыпуклой вентральной стороной, более изрезанной лопастной линией, а также образованием тройных пучков ребер.

Замечания. По характеру скульптуры *Gymnotoceras inflatum* sp. nov. близок к роду *Anagymnotoceras* McLearn, 1966; в частности, их сближает наличие крупных бугорков с отходящими от них ребрами, отсутствие киля на вентральной стороне. Но у типового вида рода *Anagymnotoceras* – *A. varium* (McLearn) сечение последнего оборота субпрямо-

угольное с уплощенной вентральной стороной и одиночными ребрами на боковых сторонах /McLearn, 1966, р. 1, pl. 1, fig. 11, 12/, у описываемого вида сечение такового – скругленно-треугольное, пучки ребер сохраняются и на жилой камере. Кроме того, в составе рода *Gymnotoceras* описаны формы с приумбиликальными бугорками /Silberling, Nichols, 1982/, распространенные также и на севере Средней Сибири в зоне *rotelliforme* верхнего аниза. Поэтому больше оснований отнести этот вид к роду *Gymnotoceras*.

Распространение. Средний триас, анизийский ярус, зона *rotelliforme* севера Средней Сибири.

Местонахождение и материал. Восточный Таймыр, м. Цветкова – 3 экз.; Оленекский залив моря Лаптевых: пос. Ыстиннах-Хочо – 1 экз., м. Улахан-Крест – 1 экз.; дельта р. Лены, Оленекская протока, руч. Таас-Крест – 2 экз.; нижнее течение р. Лены, о. Таас-Арыы – 1 экз.; Северный Хараулах, бассейн р. Кенгдей, руч. Алджирхай – 1 экз., руч. Ольховый – 2 экз., руч. Артист-Агатын-Юрэгэ – 7 экз.

Gymnotoceras tasaryense sp. nov.

Табл. 8, фиг. 1, 2

Название вида по о. Таас-Арыы.

Голотип. № 133/811. ЦСГМ. Нижнее течение р. Лены, о. Таас-Арыы; анизийский ярус, зона *rotelliforme*.

Диагноз. Раковины крупных размеров, умеренной толщины и вздутые. Обороты умеренно нарастающие в высоту. Поперечное сечение последнего оборота овальное. Умбрикус чашеобразный с наклонной умбиликальной стенкой. На боковых сторонах редкие грубые слабоизогнутые ребра, раздваивающиеся от крупных шиповидных приумбиликальных бугорков.

Форма. Внутренние обороты не сохранились. При диаметре раковины 16 мм поперечное сечение оборота овальное (рис. 11) с выпуклыми вентральной и боковыми сторонами. При диаметре раковины 25 мм образуется наклонная умбиликальная стенка, поперечное сечение оборота овальное с максимальной шириной около умбиликального края. Умбрикус умеренно широкий.

С ростом обороты сильнообъемлющие, сечение последнего оборота овальное, с высотой, незначительно превышающей ширину ($Ш/В = 80$). Вентральная сторона широкая, выпуклая, плавно переходит в выпуклые боковые, умбиликальный край округленный, умбиликальная стенка наклонная. Умбрикус умеренно узкий, чашеобразный, глубокий.

Жилая камера занимает половину оборота, устье не сохранилось, умбрикус эксцентричный.

Размеры (мм) и отношения (%)

Экз.	Д	В	Ш	Д _y	В/Д	Ш/Д	Д _y /Д
133/811	123	5,5	42	30	42	34	24
134/811	82	36,3	24,6	18,3	44	30	22

Скульптура. При диаметре раковины 16 мм на боковых сторонах чередование сигмоидальных основных ребер, берущих начало от умбиликального шва, где они образуют продолговатые вздутия, и более слабых дополнительных, начинающихся с середины боковых сторон (15–16 ребер на пол-оборота).



Рис. 11. Поперечное сечение *Gymnotoceras tasaryense*.

Экз. 133/811, при $D = 123$ мм; нижнее течение р. Лены, о. Таас-Арыы, зона rotelliforme.

Соединяющимися ребрами иногда встречаются дополнительные. На жилой камере грубые редкие одиночные ребра, вздутие в середине боковых сторон.

Лопастная линия (рис. 12). Близка к таковой других видов *Gymnotoceras* сильно заузбренными лопастями и стенками седел. Вершины седел извилистые.

Сравнение. От *Gymnotoceras rotelliforme* Meek, имеющего овальное сечение последнего оборота и грубо ребристость у отдельных форм, отличается широким чашеобразным умбрикусом с наклонной умбиликальной стенкой, широкими и менее высокими оборотами.

От *G. inflatum* sp. nov. отличается формой сечения оборота, более грубыми и редкими ребрами.

Распространение. Средний триас, анизийский ярус, зона rotelliforme севера Средней Сибири.

Местонахождение и материал. Нижнее течение р. Лены, о. Таас-Арыы – 1 экз., 5 фрагментов оборотов; Северный Хараулах, бассейн р. Кенгдей, руч. Артист-Агатын-Юрэгэ – 1 неполный экземпляр и 4 фрагмента оборотов.

Gymnotoceras zvetkovi sp. nov.

Табл. 5, фиг. 5; табл. 7, фиг. 1–3

Название вида по м. Цветкова на Восточном Таймыре.

Голотип. № 135/811, ЦСГМ, Восточный Таймыр, м. Цветкова; анизийский ярус, зона rotelliforme, верхняя часть.

Диагноз. Раковина средних размеров, на ранних стадиях роста средней толщины с широким умбрикусом, на поздних – уплощенная с умеренно узким умбрикусом. Обороты сильнообъемлющие, умеренно нарастающие в высоту. Поперечное сечение последнего оборота овальное вытянутое в высоту с уплощенными боковыми сторонами, покрытыми раздваивающимися от приумбиликальных бугорков и простыми ребрами.

Форма. Внутренние обороты не сохранились. При диаметре раковины 8 мм поперечное сечение оборота округлое, при 12 мм – овальное с высо-



Рис. 12. Лопастная линия *Gymnotoceras tasaryense*.

Экз. 133/811, при $Ш = 31$ мм, $В = 38$ мм; нижнее течение р. Лены, о. Таас-Арыы, зона rotelliforme.

Через пол-оборота при достижении диаметра раковины 25 мм ребра раздваиваются от грубых продолговатых приумбиликальных бугорков, быстро усиливающихся с ростом. Такая скульптура сохраняется и у взрослой раковины. Количество бугорков на оборот 9–10, между раздваивающимиися ребрами иногда встречаются дополнительные. На жилой камере грубые редкие одиночные ребра, вздутие в середине боковых сторон.

Лопастная линия (рис. 12). Близка к таковой других видов *Gymnotoceras* сильно заузбренными лопастями и стенками седел. Вершины седел извилистые.

Сравнение. От *Gymnotoceras rotelliforme* Meek, имеющего овальное сечение последнего оборота и грубо ребристость у отдельных форм, отличается широким чашеобразным умбрикусом с наклонной умбиликальной стенкой, широкими и менее высокими оборотами.

От *G. inflatum* sp. nov. отличается формой сечения оборота, более грубыми и редкими ребрами.

Распространение. Средний триас, анизийский ярус, зона rotelliforme севера Средней Сибири.

Местонахождение и материал. Нижнее течение р. Лены, о. Таас-Арыы – 1 экз., 5 фрагментов оборотов; Северный Хараулах, бассейн р. Кенгдей, руч. Артист-Агатын-Юрэгэ – 1 неполный экземпляр и 4 фрагмента оборотов.

той, превышающей ширину. На ранних стадиях роста (диаметр раковины до 30 мм) раковина овиконовая с широким и умеренно мелким чашеобразным умбиликусом.

При $B = 5-6$ мм (диаметр раковины 14-15 мм) образуется умбиликальная стенка. На этой стадии сечение оборота овальное с уплощенными боковыми сторонами. Центральная сторона выпуклая, умбиликальный край округленный.

Взрослая раковина при диаметре более 65 мм платиконовая, с умеренно нарастающими в высоту оборотами. Поперечное сечение оборота овальное, вытянутое в высоту. Боковые стороны уплощенные, центральная – выпуклая, умбиликальный край округленный, умбиликальная стенка низкая, крутая. Умбиликус умеренно узкий.

Жилая камера короткая, занимает около половины оборота. Устье не сохранилось. Умбиликус эксцентричный.

Размеры (мм) и отношения (%)

Экз.	Д	В	Ш	Д _у	В/Д	Ш/Д	Д _у /Д
135/811	76	35,4	18,5	16,1	47	24	21
136/811	11,8	4,9	4,3	4,9	42	36	42
137/811	21,6	10	7,6	6	46	35	28
138/811	27,2	12,2	9,5	7,2	45	35	26
139/811	39,4	20,4	–	7	52	–	18
140/811	40	20,2	–	6,8	51	–	17
141/811	45,6	23	14	7,7	50	31	17
142/811	46,4	24,4	15	8,1	53	32	17
144/811	65,8	30,9	17,3	13,4	47	26	20

Скульптура. При диаметре раковины до 15 мм на боковых сторонах относительно редкие простые ребра (18 на оборот), берущие начало от умбиликального шва, слабо сигмоидально-изогнутые на боковых сторонах, идущие вперед при подходе к центральной стороне. На последнюю они не переходят.

При диаметре раковины более 15 мм на боковых сторонах ребра, разделяющиеся от низких приумбиликальных бугорков, и простые ребра (14 на пол-оборота). Центральная сторона гладкая, только со струйками роста, образующими центральный выступ. У некоторых форм она несет низкий, широкий средний киль, сглаживающийся с ростом.

На боковых сторонах жилой камеры низкие складкообразные простые ребра (табл. 7, фиг. 2 а).

Лопастная линия (рис. 13, а-в). Во внешней части состоит из относительно мелкой двуветвистой центральной лопасти, самой глубокой первичной боковой, более узких и мелких I_1 и I_2 . Во внутренней части узкие дорсальная и I_1 . Между I_2 и I_1 на умбиликальной стенке и на внутренней стороне оборота ряд зубцов, образующих сутуральную лопасть. Лопасти с сильными зубцами в основаниях, зубцы высоко поднимаются на стенки седел, вершины седел извилистые.

Изменчивость. Некоторым вариациям подвержена скульптура, в частности, сила ребер и приумбиликальных бугорков. Срединный центральный киль отмечен у грубо-скульптированных форм. Также варьирует степень уплощенности боковых сторон. Наиболее уплощенные раковины имеют низкие слабые ребра, более резко выраженный умбиликальный край.

Сравнение. От *Gymnotoceras rotelliforme* Meek отличается

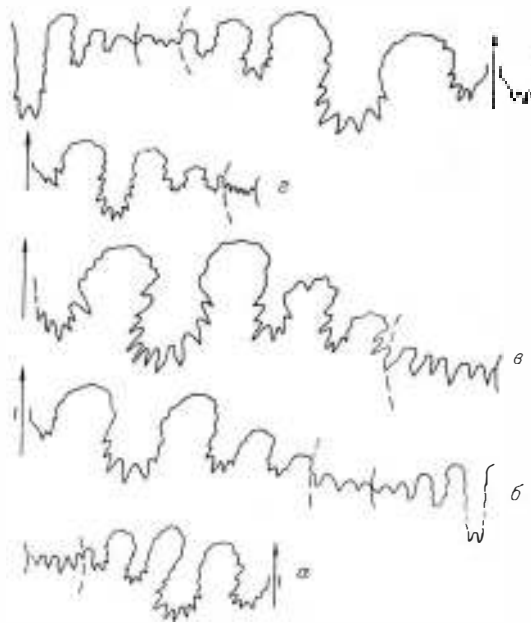


Рис. 13. Лопастные линии *Gymnotoceras zvetkovi* и *G. aff. zvetkovi*.

а-в - *G. zvetkovi*: а - экз. 139/811, при Ш = 8,5 мм, В = 12,6 мм; б - экз. 137/811, при Ш = 7,3 мм, В = 9,2 мм; в - экз. 135/811, при В = 19,3 мм; г, д - *G. aff. zvetkovi*: г - экз. 146/811, при В = 10 мм; д - экз. 145/811, при Ш = 9 мм, В = 11 мм. Восточный Таймыр, м. Цветкова, зона *rotelliforme*, подзона *olerenkense*.

формой сечения последнего оборота с уплощенными боковыми сторонами, низкой умбиликальной стенкой.

От *G. olenekense* Dagey et Konst. отличается более

зазубренной лопастной линией, отсутствием килеобразного приострения вентральной стороны и более узким умбиликусом.

Распространение. Средний триас, анизийский ярус, зона *rotelliforme*, подзона *olenekense* Восточного Таймыра.

Местонахождение и материал. Восточный Таймыр, м. Цветкова - 18 целых экземпляров, в разной степени деформированных и 11 фрагментов оборотов.

Gymnotoceras aff. zvetkovi sp. nov.

Табл. 5, фиг. 4; табл. 7, фиг. 4, 5

Форма. Раковина офиоконовая, эволютная на всех стадиях роста. Поперечное сечение первых двух с половиной оборотов поперечно-овальное, с шириной, превышающей высоту в 1,5-3 раза. Вентральная сторона широкая, пологовыпуклая, боковые - выпуклые.

Поперечное сечение трех-четырех с половиной оборотов округлое. С ростом в конце пятого оборота высота превышает ширину, обороты овально-го сечения, вытянутые в высоту.

На шестом обороте образуется умбиликальная стенка, отделенная от боковых сторон округленным умбиликальным краем. В конце шестого - на седьмом обороте (диаметр раковины - 25-41 мм) вентральная сторона выпуклая, боковые отчетливо уплощены, умбиликальный край резкий, округленный, умбиликальная стенка резкая, крутая. Умбиликус умеренно широкий, мелкий. Оборот объемлет около 2/3 высоты предыдущего.

Жилая камера короткая, занимает около половины оборота, устье не сохранилось.

Размеры (мм) и отношения (%)

Экз.	Д	В	Ш	Д _у	В/Д	Ш/Д	Д _у /Д
145/811	41,2	18,7	12	12	45	29	29

146/811	40	15,3	-	14,6	38	-	37
147/811	27,8	10	8,5	10,9	36	31	39
148/811	24,9	9,4	8,8	9	38	35	36

Скульптура. Первые два с половиной оборота гладкие, в конце третьего на боковых сторонах неясные ребра. На четвертом-пятом оборотах на боковых сторонах чередование различных по силе простых ребер (18-20 на пятом обороте) – более вздутых основных и слабых дополнительных. Последние часто приближены своим началом к основным ребрам. На шестом обороте боковые стороны с раздваивающимися от приумбиликальных бугорков и простыми ребрами (18 на оборот).

Лопастная линия (рис. 13, г, д). Близка к таковой других видов *Gymnotoceras*, в частности *G. zvetkovi* sp. nov. На умбиликальной стенке и на внутренней стороне оборота сутуральная лопасть, с которой сливается слабо индивидуализированная лопасть I[–], расположенная на внутренней стороне оборота.

Сравнение. Отличается от *Gymnotoceras zvetkovi* sp. nov., совместно с которым он встречен в одном слое более поздним появлением умбиликальной стенки в индивидуальном морфогенезе, менее быстро растущими в высоту оборотами.

Распространение. Восточный Таймыр, м. Цветкова; азиатский ярус, зона *rotelliforme*, подзона *olenekeense*.

Местонахождение и материал. Восточный Таймыр, м. Цветкова – 4 экз.

Род *Hollandites* Diener, 1905

Ceratites: Diener, 1895b, p. 5 (part.).

Ceratites (*Hollandites*): Diener, 1905, p. 677; 1907, p. 40; 1916b, p. 8; Arthaber, 1914, S. 125.

Hollandites: Spath, 1934, p. 411; Воинова, Кипарисова, Робинсон, 1947, с. 154 (part.); McLarn, 1948, p. 27 (part.); Kummel in Arkell, Kummel, Wright, 1957, p. 151; Попов, Кипарисова, Робинсон, 1958, с. 36 (part.); Кипарисова, 1961, с. 149; Шевырев, 1968, с. 132; McLarn, 1969, p. 12 (part.); He, Wang, Chen, 1986, p. 223.

Типовой вид. *Ammonites voiti* Oppel, 1863; азиатский ярус Гималаев.

Диагноз. Раковины средних размеров и крупные, уплощенные с умеренно нарастающими в высоту, умеренно, реже сильно объемлющими оборотами овального сечения, вытянутыми в высоту. Умбиликус от умеренно широкого до широкого, мелкий. Вентральная сторона выпуклая или слабоуплощенная, боковые – уплощенные или пологовыпуклые с одиночными, дихотомирующими от слабых приумбиликальных бугорков слабоизогнутыми радиальными ребрами. Реже бугорки или вздутия наблюдаются на боковой стороне в ее средней части. На жилой камере ребра более редкие и широкие, складкообразные. Лопастная линия субаммонитовая с гладкими или слабоизвилистыми вершинами седел. На боковой стороне оборота до умбиликального шва три лопасти, на умбиликальной стенке – ряд зубцов.

Видовой состав. Около 30 видов. Наибольшее число видов известно в Гималаях / Oppel, 1863-1865; Diener, 1896b, 1907/, Японии /Mojsisovics, 1888; Diener, 1916b; Schimizu, 1930/.

Сравнение. От *Gymnotoceras* Hyatt, 1877 отличается уплощенной раковиной, слабоизогнутыми ребрами, более широким умбилику-

сом и обычно менее сложно рассеченной лопастной линией. Вершины седел у типового вида и у большинства видов рода гладкие. Вентральная сторона не имеет даже признаков киля.

От *Anagymnotoceras* McLearn, 1966 отличается менее вздутой раковиной без крупных приумбиликальных бугорков или вздутий, от которых отходят ребра у типичных канадских *Anagymnotoceras*.

Замечания. *Hollandites* из анизия Хараулахских гор на севере Средней Сибири были описаны Л.Д. Кипарисовой /Кипарисова, 1937/, которые, по нашему мнению, являются *Arctohungarites ex gr. kharaulakhensis* Popow. Большую часть видов этого рода, описанных из анизия зоны *Amphirostranoceras dzeginense* бассейна р. Кольмы /Бычков и др., 1976/, скорее следует отнести к *Gymnotoceras*, на что указывалось ранее /Дагис, Казаков, 1984/. С родом *Gymnotoceras* их сближает сигмоидальная ребристость, узкий умбиликус на поздних стадиях роста, сильно извилистые вершины седел лопастной линии, большее количество лопастей (в частности, у *H. suborientalis* Bytschkov), чем у типичных гималайских *Hollandites*. Кроме того, эти виды происходят из верхнеанизийских отложений, в то время как до сих пор род *Hollandites* известен как в Тетической, так и в Бореальной области только из среднего анизия. Определения *Hollandites pelletieri* McLearn, *H. cf. pelletieri* McLearn, *Hollandites sp.* привел в списках фауны из среднего анизия м. Цветкова Восточного Таймыра М.Н. Вавилов /Вавилов, 1973; Вавилов, Каплан, 1974/, но эта фауна не описана.

Распространение. Средний триас, анизийский ярус, средний анизицкий подъярус Гималаев, слои с *Leiophyllites* и *Anagymnotoceras* Центрального Ирана, зоны *osmani* и *ismidicur* Турции, зона *Hollandites - Beyrichites* провинции *Qinghai* Китая, зона *Hollandites japonicus* Хабаровского края, зона *Leiophyllites pradyutina* Приморья и о. Русский, зона *Hollandites* Японии, зона *hyatti* Невады, зона *varium* Канады, слои с *Anagymnotoceras* *Hollandites* и "Gymnotoceras" Свальбарда, зона *kharaulakhensis*, подзона *gastroplanus* Восточного Таймыра.

Hollandites aff. pelletieri McLearn

Табл. 8, фиг. 3

Форма. Раковина полуэволютная, уплощенная с медленно нарастающими оборотами в высоту.

На первых пяти оборотах раковина эволютная, офиоконовая со слабо-объемлющими оборотами. Вентральная и боковая стороны выпуклые. По перечное сечение от округлого до овального, вытянутого в высоту на поздних стадиях роста (пятый оборот). Умбиликус широкий, мелкий, чашеобразный.

Поперечное сечение шестого оборота округленно-прямоугольное с уплощенными боковыми и слабовыпуклой вентральной стороной. Вентральный край округленный, умбиликальный – резкий, угловатый. Умбиликальная стенка низкая, наклонная к центру спирали. Умбиликус широкий, мелкий.

Размеры (мм) и отношения (%)

Экз.	Кол-во оборотов	Д	В	Ш	Д _у	В/Д	Ш/Д	Д _у /Д
197/811	6	31	12	8	10,7	39	26	35

Скульптура. Первые три с половиной оборота гладкие, далее до середины шестого раковина плохо сохранилась. На предпоследней четверти последнего (шестого) оборота на боковых сторонах низкие, сигмоидально-изогнутые ребра, одиночные, реже неясно дихотомирующие в приумбиликальной части оборота, есть более короткие дополнительные. Основные ребра начинаются от умбиликального края, дополнительные – примерно с половины высоты оборота, резко изогнуты вперед и более грубые на вентральном крае, через вентральную сторону не переходят. На последней четверти шестого оборота насчитывается 16 ребер.

Лопастная линия не сохранилась.

Сравнение. Описываемый неполный образец близок к груборебристым вариантам *Hollandites pelletieri* из среднего анизия, зоны *variabilis* Британской Колумбии /McLearn, 1969, p. 14, pl. 2, fig. 3/, но резко отличается от голотипа этого вида, имеющего тонкую ребристость и округленную форму поперечного сечения оборота.

Распространение. Средний триас, анизийский ярус, зона *kharaulakhensis*, подзона *gastropланus* м. Цветкова Восточного Таймыра (вместе с *Anagymnotoceras helle* McLearn).

Местонахождение и материал. Восточный Таймыр, м. Цветкова – 1 неполный экземпляр.

Род *Frechites* Smith, 1932

Gymnotoceras: Meek, 1877, p. 110 (part.); Spath, 1934, p. 427 (part.); Попов, Кипарисова, Робинсон, 1958, с. 36 (part.).

Gruppe Ceratites geminati: Mojsisovics, 1886, p. 22.

Ceratites: Hyatt, Smith, 1905, p. 167 (part.); Smith, 1914, p. 72 (part.).

Frechites: Smith, 1932, p. 32; Spath, 1934, p. 445; Воинова, Кипарисова, Робинсон, 1947, с. 153; Kummel in Arkell, Kummel, Wright, 1957, p. 151; Попов, Кипарисова, Робинсон, 1958, с. 37; Попов, 1961, с. 79 (part.); Silberling, Nichols, 1982, p. 29; Weitschat, Lehmann, 1983, S. 46; Аркадьев, Вавилов, 1984, с. 68 (part.).

Типовой вид. *Ceratites humboldtensis* Hyatt et Smith, 1905 (= *Frechites nevadanus* Mojs.). Невада, хр. Гумбольдта; анизийский ярус, зона *meeki*, слои с *Frechites nevadanus*.

Диагноз. Раковины средних размеров, на ранних стадиях роста вздутые с широким умбиликусом, на поздних – умеренной толщины с умеренно узким умбиликусом. Обороты слабообъемлющие, с ростом становятся умеренно и сильнообъемлющими. Поперечное сечение оборота меняется в индивидуальном морфогенезе от поперечно-ovalного до округленно-трапециевидного или четырехугольного. Вентральная сторона широкая с килем, сглаживающимся с ростом. На боковых сторонах дихотомирующие ребра, образующие бугорки или шипы в месте ветвления и на вентральном крае. Лопастная линия субаммонитовая с извилистыми вершинами и стенками седел, ее формула $(V_1 V_1) LU^1 I_2: I^1 I_1 (D_1 D_1)$, на умбиликальной стенке несколько зубцов.

Видовой состав. *Frechites nevadanus* /Mojsisovics, 1888, S. 168/ – новое название для *Gymnotoceras blakei* (Gabb) /Meek, 1877, p. 113, pl. 11, fig. 6, 6, a/, *F. laqueatus* /Lindström, 1865, S. 5, Taf. 2, Fig. 3, 4/, *F. occidentalis* /Smith, 1914,

p. 84, pl. 44, fig. 21–23/, *F. pilatus* /Smith, 1914, p. 102, pl. 29, fig. 10–13/, *F. washburnei* /Smith, 1914, p. 103, pl. 92, fig. 9–11/, *F. chischa* /Tozer, 1967, p. 90, pl. 7, fig. 7/, *F. chischiformis* sp. nov., *F. lenaensis* sp. nov.

Сравнение. От *Parafrechites* Silberling et Nichols, 1982 отличается формой поперечного сечения оборота с отчетливыми умбиликальным и вентральным краем, наличием двойного ряда бугорков.

От *Frechitoides* Korstantinov, 1987 отличается более вэдутой раковиной, толстыми внутренними оборотами с сильным килем, более широким умбиликусом, меньшим количеством индивидуализированных лопастей.

Замечания. Род *Frechites* был выделен Дж. П. Смитом /Smith, 1932/ для видов, ранее объединенных им же /Smith, 1914/ в группу *Ceratites humboldtensis*. Л. Спат /Spath, 1934/ включал *Frechites* в семейство Ceratitidae Mojsisovics, 1879, в дальнейшем также к этому семейству его относили и другие авторы /Kummel in Arkell et al., 1957; Воинова и др., 1947/. Л.Д. Кипарисова отметила сходство лопастных линий *Frechites* и *Gymnotoceras* (= *Parafrechites*), одинаковую степень их близости к аммонитовой со слабой зазубренностью седел, наличие переходных форм между этими родами /Кипарисова, 1961, с. 151/, что послужило основанием для включения рода *Frechites* в семейство Beyrichitidae Spath, 1934. В настоящее время всеми исследователями описываемый род относится к семейству Beyrichitidae. Н. Сильберлинг и К. Николс показали, что типовой вид рода *Frechites humboldtensis* (Hyatt et Smith), 1905 является младшим синонимом *Frechites nevadanus* (Mojsisovics), 1888. В связи с этим вид-индекс местной зоны *Frechites humboldtensis* был заменен на *Frechites nevadanus* /Дагис, Константинов, 1986/.

Распространение. Средний триас, анизийский ярус, зоны *meeki* и *occidentalis* Невады, зона *chischa* Британской Колумбии, слои с "Gymnotoceras" Арктической Канады, зона *laqueatus* Сvalльбарда, зона *nevadanus* севера Средней Сибири и Северо-Востока СССР.

Frechites nevadanus (Mojsisovics), 1888

Табл. 9, фиг. 3–5; табл. 10, фиг. 4

Gymnotoceras blakei: Meek, 1877, p. 113, pl. 11, fig. 6, 6a.

Ceratites nevadanus: Mojsisovics, 1888, S. 168; Smith, 1914, p. 100, pl. 15, fig. 6, 6a, pl. 64, fig. 1–14, pl. 65, fig. 1–13.

Ceratites humboldtensis: Hyatt, Smith, 1905, p. 170, pl. 57, fig. 1–23; Smith, 1914, p. 99, pl. 7, fig. 1–11, 12–13? 14–23, pl. 61, fig. 1–15.

Ceratites cornutus: Smith, 1914, p. 98, pl. 62, fig. 1–17.

Ceratites emmonsii: Smith, 1914, p. 98, pl. 60, fig. 13–21.

Ceratites spinifer: Smith, 1914, p. 103, pl. 60, fig. 1–12.

Ceratites (*Gymnotoceras*) *hersheyi*: Smith, 1914, p. 110, pl. 93, fig. 1–14.

Frechites humboldtensis: Spath, 1934, p. 447; Воинова, Кипарисова, Робинсон, 1947, с. 153; табл. 36, фиг. 4, 5; Возин, Тихомирова, 1964, с. 73, табл. 41, фиг. 1; Аркадьев, Вавилов, 1984, с. 68, табл. 6, фиг. 2.

Frechites spinifer: Spath, 1934, p. 448.

Frechites cornutus: Spath, 1934, p. 449.

Frechites emmonsii: Spath, 1934, p. 449.

Frechites nevadanus: Spath, 1934, p. 450; Silberling, Nichols, 1982, p. 29, pl. 9, fig. 19–25, pl. 10, fig. 1–24, pl. 11, fig. 1–6.

Frechites bisulcatus: Попов, 1961, с. 80, табл. 17, фиг. 2, 3.

Форма (рис. 14, а). Начальная камера эллипсоидальная, шириной 0,45 мм. Раковина первых четырех с половиной–пяти оборотов эволютная, вздутая, со слабообъемлющими оборотами. Вентральная сторона выпуклая, широкая, плавно переходит в выпуклые боковые. Поперечное сечение первого оборота серпообразное, от второго до четвертого с половиной оборотов – по-перечно–овальное с шириной, превышающей высоту. Умбиликус умеренно широкий (D_y/D 30–33).

С ростом, на пятом обороте, возрастают объемлемость и относительная высота оборота, образуется наклонная умбиликальная стенка. Поперечное сечение пятого–седьмого оборотов округленно–трапециевидное. Вентральная сторона пологовыпуклая, с килевидным поднятием посередине, вентральный и умбиликальный края округленные, боковые стороны пологовыпуклые или уплощенные, умбиликальная стенка высокая, от наклонной до отвесной. Максимальная ширина оборота около умбиликального края. В середине шестого оборота оборот объемлет около половины высоты предыдущего, на седьмом обороте – около $2/3$ его высоты. Умбиликус умеренно узкий, глубокий (D_y/D от 22 до 26).

Жилая камера занимает около половины оборота, устье не сохранилось.

Размеры (мм) и отношения (%)

Экз.	Кол-во оборотов	Д	В	Ш	D_y	В/Д	Ш/Д	D_y/D
149/811	–	38,5	15,6	15,6	11,9	41	41	31
150/811	–	88	–	–	25?	–	–	28?
151/811	–	58	28,4	21	12,7	49	36	22
152/811	–	68	31,4	20	17,7	46	29	26
154/811	–	17,2	8	8,5	5,4	47	49	31
156/811	–	33,7	15	12,4	9,9	45	37	29
	5	22,2	10	9,6	6,9	45	43	31
	4,5	14,3	6,2	7,4	4,7	43	52	33
	4	9	3,6	4,5	3	40	50	33
	3,5	5,8	2,3	3	1,9	40	52	33
	3	3,75	1,45	1,95	1,3	39	52	35
	2,5	2,35	0,95	1,3	0,8	40	55	34
	2	1,6	0,63	0,8	0,58	39	50	37
	1,5	1,1	0,38	0,55	0,38	35	50	35
	1	0,7	0,25	0,45	0,18	36	64	26
157/811	–	59,6	27,5	20	13,4	46	34	22
158/811	–	47,2	21,7	–	11,4	46	–	24
160/811	–	40,1	21,2	15	8,4	53	37	21
161/811	–	23	10,5	10,7	7,7	46	47	33

Скульптура. На первых полутора оборотах раковина гладкая. На третьем–четвертом оборотах на боковых сторонах редкие (7–8 на оборот) параболические ребра, начинающиеся от умбиликального шва. В нижней части боковых сторон и на вентральном крае они образуют выемки–буторки, разделен-

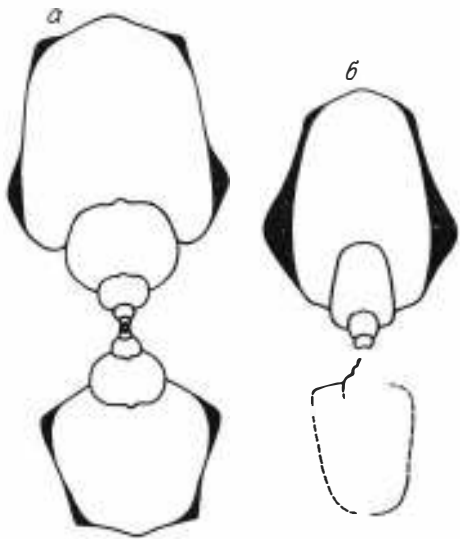


Рис. 14. Поперечное сечение Frechites.

а - *F. nevadanus*, экз. 156/811, при $D = 33,7$ мм, 5,5 оборотах; Северный Хараулах, бассейн р. Кенгдей, руч. Артист-Агатын-Юрэгэ; б - *F. lenaensis*, экз. 163/811, при $D = 50$ мм; дельта р. Лены, руч. Таас-Крест. Зона *nevadanus*, подзона *nevadanus*.

ные пологовыпуклым выступом, на вентральной стороне ослабевают и переходят через последнюю в виде удлиненно-остроугольного выступа.

В конце четвертого оборота между параболическими ребрами

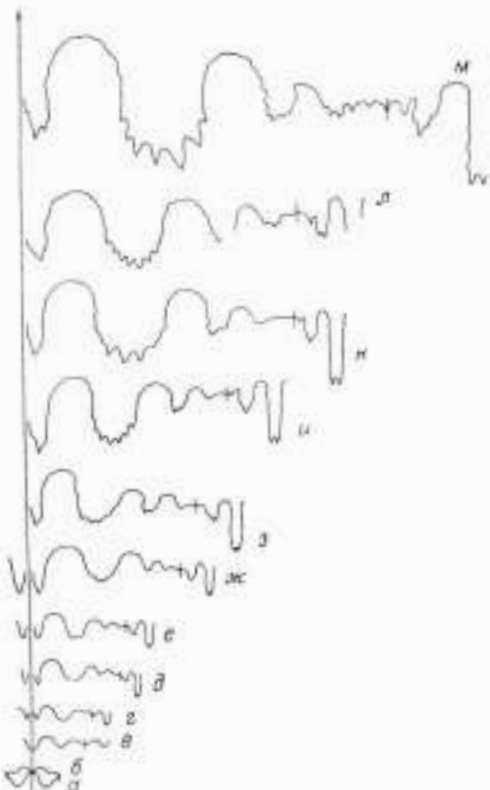
рами по 2 более слабых, слабо сигмоидально-изогнутых простых ребра, не переходящих через вентральную сторону. На пятом обороте параболическая скульптура исчезает, в конце его ($D = 20-22$ мм) на боковых сторонах в 1/4-1/3 высоты оборота от умбрикального шва появляются крупные шиповидные бугорки, от которых отходят по два ребра, заканчивающиеся бугорками на вентральном крае. Между дихотомирующими ребрами иногда одно короткое дополнительное, с бугорком только на вентральном крае.

На вентральной стороне, начиная с конца третьего оборота ($D = 5$ мм) - киль, ограниченный на ранних стадиях роста бороздками, сглаживается с ростом.

Лопастная линия (рис. 15). Пресутура ангустиселлатная, во внешней части с узким высоким вентральным седлом, глубокой первичной боковой лопастью (см. рис. 15, а). Примасутура во внешней части при $W = 0,53$ мм двухлопастная с мелкими вентральной и боковой лопастью (см. рис. 15, б). При $B = 0,3$ мм, $W = 0,73$ мм (начало второго оборота) вентральная лопасть уплощена в основании, внутренняя боковая расположена на шве, формула линии VLID (см. рис. 15, в). При $B = 0,75$ мм, $W = 1,6$ мм (середина третьего оборота) на седле L/I находится лопасть U^1 образовавшаяся ранее, лопасть I путем воздымания седла на внешнем склоне делится на две лопасти: I_2 , I_1 (см. рис. 15, г), которые затем смешаются при $B = 1,6$ мм, $W = 2,75$ мм (первая половина четвертого оборота) соответственно на внешнюю и внутреннюю стороны оборота (см. рис. 15, д). Вентральная и дорсальная лопасти двуветвистые, лопасть L зазубривается в основании. При $B = 2,2$ мм, $W = 3,25$ мм (три с половиной оборота) на седле I_2/I_1 около шва возникает лопасть I^1 (см. рис. 15, е), которая затем переходит на внутреннюю сторону оборота (см. рис. 15, ж, з). При $W = 6$ мм, $B = 5$ мм (четыре с четвертью оборота) на седле I_2/I^1 около шва образуется лопасть I^2 (см. рис. 15, и), смещающаяся затем на внешнюю сторону оборота (см. рис. 15, к, л). Лопасти зазубриваются в основаниях, седла V/L , L/U^1 , I/D извилистые. В конце пятого оборота при $B = 9,9$ мм, $W = 11$ мм на седле I^2/I_1 образуется несколько зубцов, не индивидуализированных в лопасти. Развитие лопастной линии происходит по

Рис. 15. Онтогенез лопастной линии *Frechites nevadanus*.

Экз. 161/811: а, б - проксистура и примасутура, при Ш = 0,53 мм; в - при Ш = 0,73 мм, В = 0,3 мм (начало второго оборота); г - при Ш = 1,6 мм, В = 0,75 мм (2,5-3 оборота); д - при Ш = 2,75 мм, В = 1,6 мм (начало четвертого оборота); е - при Ш = 3,25 мм, В = 2,2 мм (3,5 оборота); ж - при Ш = 4,2 мм, В = 2,7 мм (конец четвертого оборота); з - при Ш = 5,2 мм, В = 4 мм (4 оборота); и - при Ш = 6 мм, В = 5 мм (4,25 оборота); к - при Ш = 7,2 мм, В = 5,9 мм (4,5 оборота); л - при Ш = 8,8 мм, В = 6,3 мм (4,75 оборота); м - при Ш = 11 мм, В = 9,9 мм (5 оборотов). Северный Хараулах, бассейн р. Кенгдей, руч. Артист-Агатын-Юрэгэ, зона *nevadanus*, подзона *nevadanus*.



схеме: VLID \longrightarrow ($v_1 v_1$) LID \longrightarrow ($v_1 v_1$) LU¹ID \longrightarrow ($v_1 v_1$) LU¹I₂:
 $i_1 (D_1 D_1) \longrightarrow (v_1 v_1) LU^1 I_2 : i^1 I_1 (D_1 D_1) \longrightarrow \dots i_2^{1^2} : i^1 I_1 \dots$

Вентральная лопасть разделена высоким сифональным седлом на две узкие ветви, седло V/L широкое, боковая лопасть примерно такая же по ширине, лопасти U¹ и I₂ мелкие, узкие, первая в 2 раза меньше боковой. Лопасть I² слабо индивидуализирована и часто неотделима от ряда зубцов, расположенных на умбрикальной стенке и частично на внутренней стороне оборота (рис. 16, а, б).

Сравнение. От *Frechites occidentalis* (Smith) отличается хорошо выраженным крупными бугорками на боковой стороне и вентральном крае, сохранением вентрального киля вплоть до жилой камеры.

Замечания. Ю.Н. Попов (Попов, 1961) описал из азиатских отложений бассейна р. Колымы *Frechites bisulcatus*, являющийся синонимом *F. humboldtensis* (Hyatt et Smith.) (Аркадьев, Вавилов, 1984) и, следовательно, *F. nevadanus* (Mojs.).

Распространение. Азиатский ярус, зона *teeki*, слои *Frechites nevadanus* Невады, зона *nevadanus*, подзоны *nevadanus* и *sublaqueatus* севера Сибири и Северо-Востока СССР.

Местонахождение и материал. Дельта р. Лены, Оленекская протока, руч. Таас-Крест - 1 экз.; нижнее течение р. Лены, о. Таас-Арыы - 4 экз. и 4 фрагмента оборотов; Северный Хараулах: бассейн р. Кенгдей, руч. Артист-Агатын-Юрэгэ - 5 экз., 9 неполных экземпляров и 10 фрагментов оборотов, руч. Алджирхай - 1 экз. и 1 фрагмент оборота; бассейн р. Укты,

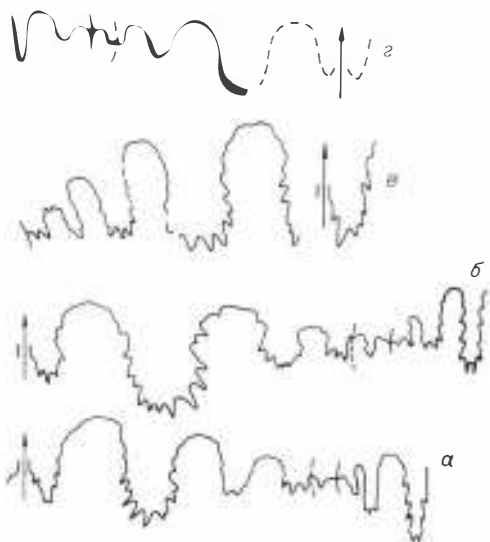


Рис. 16. Лопастные линии *Frechites*.

а, б - *F. nevadanus*: а - экз. 155/811, при Ш = 12,2 мм, В = 11,4 мм; б - экз. 151/811, при Ш = 14,3 мм, В = 13,4 мм, Северный Хараулах, бассейн р. Кенгдей, руч. Артист-Агатын-Юрэгэ, зона *nevadanus*; в - *F. chischeformis*: экз. 162/811, при Ш = 10 мм, В = 13 мм, бассейн р. Кенгдей, руч. Ольховый, зона *nevadanus*, подзона *dzeginense*; г - *F. lenaensis*: экз. 163/811, при Ш = 13,5 мм, В = 19,8 мм, дельта р. Ленги, руч. Таас-Крест, зона *nevadanus*, подзона *nevadanus*.

руч. Луктаах - 3 фрагмента оборотов и 1 неполный экземпляр; среднее течение р. Колымы, бассейн р. Малая Бургали, руч. Нимфа - 3 экз. и 1 фрагмент оборота.

Frechites chischeformis sp. nov.

Табл. 10, фиг. 1

Название вида по сходству с *Frechites chischa* (Tozer).

Голотип. № 162/811. ИСГМ. Северный Хараулах, бассейн р. Кенгдей, руч. Ольховый; анизиjsкий ярус, зона *nevadanus*, подзона *dzeginense*.

Диагноз. Раковина умеренной толщины, платиконовая с умеренно широким умбиликусом. Поперечное сечение оборотов от округленно-прямоугольного до субквадратного. Наентральной стороне киль, на боковых - тонкие сигмоидальные ребра, прерывающиеся около киля, с ростом дихотомирующие от продолговатых бугорков на боковых сторонах, наентральной стороне бугорки косо направлены вперед. Вентральная лопасть глубокая, на боковой стороне до шва четыре лопасти.

Форма (рис. 17). Внутренние обороты сохранились с В = 3,7 мм, Ш = 4 мм. Поперечное сечение оборота на этой стадии близко к круглому с выпуклыми боковыми и вентральной сторонами. Слабо намечается уплощение боковых сторон.

Рис. 17. Изменение поперечного сечения оборота в онтогенезе *Frechites chischeformis*.

Экз. 162/811: а - при Ш = 4 мм, В = 3,7 мм; б - при Ш = 9 мм, В = 12 мм; в - при Д = 47,5 мм, Северный Хараулах, бассейн р. Кенгдей, руч. Ольховый, зона *nevadanus*, подзона *dzeginense*.



При $B = 12$ мм, $W = 9$ мм (диаметр раковины 23 мм) оборот имеет округленно-прямоугольное сечение. Центральная сторона и боковые уплощенные, вентральный и умбиликальный края округленные, умбиликальная стенка низкая, наклонная. Умбиликус умеренно широкий, ступенчатый. Оборот объемлет около 2/3 высоты предыдущего.

Последний оборот субквадратного сечения. Длина жилой камеры и устья неизвестны.

Размеры (мм) и отношения (%)

Экз.	Д	В	Ш	D_y	В/Д	Ш/Д	D_y/D
162/811	27,9	12,8	10	8,6	46	36	31
	47,5	19,5	17	12-13?	41-42?	36	25-27?

Скульптура. На внутренних оборотах боковые стороны несут тонкие частные сигмоидальные ребра (18 на пол-оборота), простые, реже дихотомирующиеся от слабых продолговатых приумбиликальных вздутий. На вентральном крае они усилены и косо поставлены вперед, образуя узор типа "елочки". Ребра прерываются около киля, который расширяется и становится неотчетливым на последнем обороте. При диаметре раковины более 30 мм ребра усилены, дихотомируют от продолговатых вытянутых поперек оборота бугорков, на вентральном крае заканчиваются в виде гребневидных бугорков, косо направленных вперед.

Лопастная линия (см. рис. 16,в). Субаммонитовая с извилистыми стенками и вершинами седел. Центральная лопасть глубокая, широкая, разделена высоким сифональным седлом на две ветви. Лопасти на боковой стороне оборота более узкие и мелкие, на умбиликальной стенке слабо индивидуализированная маленькая лопасть.

Сравнение. От наиболее близкого *Frechites chischa* (Tozer)/Tozer, 1967, p. 90, pl. 7, fig. 6, 7/ отличается главным образом формой вентральной и боковой лопастей, а также округленно-прямоугольным сечением оборотов и более тонкой сигмоидальной ребристостью внутренних оборотов.

Распространение. Анизийский ярус, зона *nevadanus*, подзона *dzeiginense*.

Местонахождение и материал. Северный Хараулах, бассейн р. Кенгдей, руч. Ольховый - 1 экз.

Frechites lenaensis sp. nov.

Табл. 10, фиг. 2, 3

Название вида по р. Лене.

Голотип. № 163/811. ЦСГМ. Дельта р. Лены, Оленекская протока, руч. Таас-Крест; анизийский ярус, зона *nevadanus*, подзона *nevadanus*.

Диагноз. Раковина умеренной толщины. Обороты быстро нарастающие в высоту. Поперечное сечение оборотов округленно-трапециевидное, вытянутое в высоту. Вентральная сторона пологовыпуклая с низким слабым килем на внутренних оборотах, на жилой камере - крышевидная. Боковые стороны уплощенные, покрыты сигмоидальными простыми и дихотомирующими от про-

долговатых складок ребрами, отчетливые бугорки на боковых сторонах и вентральном крае только на жилой камере. Умбиликус узкий глубокий с высокой, наклонной умбиликальной стенкой. На внешней стороне оборота, кроме V три лопасти.

Форма (см. рис. 14, б). При Ш = 2,5 мм, В = 1,75 мм поперечное сечение оборота овальное с широкой выпуклой вентральной стороной, выпуклыми боковыми. Следующий оборот при Ш=4 мм, В=4 мм имеет сечение близкое к округлому со слабо выпуклой вентральной стороной, выпуклыми боковыми, намечается окруженный вентральный край. Оборот слабо объемлет предыдущий.

С ростом увеличивается относительная высота оборотов и их объемлемость, и при диаметре раковины 20–22 мм поперечное сечение оборота округленно–трапециевидное, вытянутое в высоту с максимальной шириной около умбиликального края. Вентральная и боковые стороны уплощенные, вентральный и умбиликальный края окруженные, умбиликальная стенка высокая, наклонная. Умбиликус умеренно узкий, глубокий.

На последнем обороте вентральная сторона крышевидная, с возвышающимся посередине поднятием, умбиликус эксцентричный.

Жилая камера занимает половину оборота, устье сохранилось лишь частично около умбиликального края, где образует пологий, неглубокий синус.

Размеры (мм) и отношения (%)

Экз.	Д	В	Ш	D_y	В/Д	Ш/Д	D_y/D
163/811	58,4	27,4	19,5	13,7	47	33	23

Скульптура. На внутренних оборотах до диаметра раковины 20–22 мм на боковых сторонах чередование частых сигмоидальных тонких ребер: основных и дополнительных (18 на пол–оборота). Первые начинаются сколо умбиликального края, затем направлены вперед, где образуют продолговатые слабые вздутия, на середине высоты оборота они отклоняются назад, при подходе к вентральному краю резко изогнуты вперед. На вентральной стороне они ослабевают, не доходя до слабого низкого киля. Вторые начинаются от середины высоты оборота. В конце фрагмокона ребра более редкие, дихотомирующие от продолговатых складок, начала которых с ростом смещаются на боковые стороны (табл. 10, фиг. 3).

На жилой камере складки усиливаются и принимают вид бугорков, от которых отходит по два низких ребра, заканчивающихся бугорками на вентральном крае.

Лопастная линия (см. рис. 16, г) во внешней части состоит из двуветвистой вентральной, широкой и глубокой боковой, мелких и узких I_1^1 и I_2^1 . Лопасть I_2^1 расположена на умбиликальном крае. Во внутренней части три лопасти: I_1^1 , I_1^1 и дорсальная. Вершины и стенки всех седел извилистые.

Сравнение. Описываемый вид на внутренних оборотах имеет сходную скульптуру с *Frechites chischa* (Tozer), от которого отличается слабым низким килем без ограничивающих бороздок. Слабый киль или гладкую вентральную сторону при сходных размерах раковины имеет *Frechites occidentalis* (Smith), от которого *F. lenaensis* sp. nov. отличается появлением бугорков на поздних стадиях роста, более тонкой и частой ребристостью внутренних оборотов.

Распространение. Азиатский ярус, зона *nevadanus*, подзоны *nevadanus* нижнего течения р. Лены.

Местонахождение и материал. Дельта р. Лены, Оленекская протока, руч. Таас-Крест - 1 экз.

Род *Arctogymnites* Popow, 1961

Arctogymnites: Попов, 1961, с. 107; Вавилов, Алексеев, Алабушиева, 1982, с. 46.

Типовой вид. *Arctogymnites sonini* Popow, 1961; бассейн р. Колымы, р. Увальная у руч. Ерш; средний триас, зона nevadanum.

Диагноз. Раковины крупные, дискоконовые, инволютные с быстро нарастающими в высоту, почти полностью объемлющими оборотами. Поперечное сечение последнего оборота округленно-копьевидное, вытянутое в высоту с узкой, выпуклойentralной стороной. Боковые стороны пологовыпуклые в нижней части оборота, слабовогнутые около centralной стороны. Umboликс глубокий, узкий с крутой выпуклой, реже плоской umboикальной стенкой. На ранних стадиях роста (один-четыре с половиной оборота) боковые стороны несут частые, сигмоидально-изогнутые олиночные, реже дихотомирующие в приумбоикальной части оборота ребра, переходящие через centralную сторону; на поздних - раковина гладкая. Лопастная линия аммонитовая с сильно зазубренными лопастями и седлами. Centralная лопасть широкая, глубокая. Генетическая формула лопастной линии ($V_1 V_1$) $L U^1 I_2 I^{214}$:

$I^{214} I_1 (D_1 D_1)$.

Видовой состав. Три вида: *Arctogymnites sonini* /Попов, 1961, с. 107, табл. 25, фиг. 3/, *Arctogymnites spektoi* /Архипов, 1974, с. 249, табл. 10, фиг. 1/, *A. clivosus* /Вавилов и др., 1982, с. 51, табл. 5, фиг. 3/.

Сравнение. Близкую форму раковины и скульптуру, сглаживающуюся с ростом, имеет *Beyrichites* Waagen, 1895, от которого описываемый род отличается гораздо более сложно расчлененной лопастной линией.

От *Gymnotoceras* Hyatt, 1877, в частности, таких типичных представителей рода, как *G. blakei* (Cabb), отличается более сложной лопастной линией, широкой и глубокой centralной лопастью.

Замечания. Большинство авторов относят *Arctogymnites* к семейству *Gymnitidae* Waagen, 1895 /Попов, 1961; Шевырев, 1968; Архипов, 1974; Захаров, 1977, 1978; Вавилов и др., 1982/. Только Э.Т. Тозер /Tozer, 1971, 1981a/ считает этот род представителем бейрихитин. В последнее время к этой точке зрения присоединился и А.А. Шевырев /Шевырев, 1986/. Автор не разделяет интерпретации онтогенетического развития лопастной линии *Arctogymnites*, данной М.Н. Вавиловым с соавторами /Вавилов и др., 1982/ и считает, что рядом с лопастью *L* у этого рода расположена *U¹*, дальнейшее образование лопастей связано с делением внутренней боковой лопасти. Онтогенез лопастной линии у *Arctogymnites* идет по той же схеме, что и у других бейрихитид, более того, деление лопасти *I* происходит на том же обороте, что и у *Gymnotoceras*, *Frechites*, *Parafrechites*, *Frechitoides*. Кроме того, этот род ограничен в своем распространении Якутской провинцией Бореальной области, гимнитиды же являются преимущественно тетической группой. Все это позволяет отнести *Arctogymnites* к семейству *Beyrichitidae* Spath, 1934.

Наиболее близки арктогимниты типичным представителям рода *Gymnotoceras*, имеющим гладкую взрослую раковину и скульптированные внутренние обороты. Скульптура внутренних оборотов *Gymnotoceras* и *Arctogymnites* сходная /Архипов, 1974/, сходство подчеркивается как очертанием ребер, так и наличием параболических скульптур, наиболее выраженных у груборебристых форм.

Распространение. Средний триас, анизийский ярус, зона *rotelliforme*, верхняя часть, зона *nevadanus*, ладинский ярус, нижнеладинский подъярус, зоны *oleshkoi* и *omclojensis* севера Средней Сибири и Северо-Востока СССР.

Arctogymnites sonini Popow, 1961

Табл. 9, фиг. 6; табл. 10, фиг. 5; табл. 11, фиг. 1, 3;
табл. 12, фиг. 1

Arctogymnites sonini: Попов, 1961, с. 107, табл. 25, фиг. 3, 4; Бычков и др., 1976, с. 145, табл. 23, фиг. 7, табл. 24, фиг. 2, 3, рис. 16, а; Вавилов, Алексеев, Алабушева, 1982, с. 47, табл. 5, фиг. 1, 2, рис. 1, а, 2, а.

Голотип. № 205/6399. ЦНИГРМузей. Бассейн р. Колымы, р. Таскан; верхние горизонты анизийского яруса.

Форма (рис. 18). Начальная камера эллипсоидальная шириной 0,5 мм. На первых четырех оборотах раковина офиоконовая, эволютная со слабо-объемлющими оборотами. Центральная сторона и боковые выпуклые, поперечное сечение оборотов от поперечно-овального (первый–третий обороты) до округлого (три с половиной оборота) и удлиненно-овального с высотой, превышающей ширину (четвертый оборот). Умбиликус широкий, мелкий.

С ростом на пятом обороте быстро растет относительная высота оборота, уменьшается их относительная ширина, образуется выпуклая умбиликальная стенка. Поперечное сечение оборота удлиненно-овальное, вытянутое в высоту, к концу пятого оборота – округленно-копьевидное.

Взрослая раковина (шесть–семь оборотов) крупная, дискоконовая, инволютная с быстро нарастающими в высоту оборотами округленно-копьевидного сечения, вытянутыми в высоту. Центральная сторона узкоокругленная, боковые слабовогнуты в верхней части оборота, выпуклые на остальной части, умбиликальный край округленный, умбиликальная стенка выпуклая, нависает над предыдущим оборотом. Обороты почти полностью объемлющие.

Жилая камера не сохранилась.

Размеры (мм) и отношения (%)

Экз.	Кол-во оборотов	Д	В	Ш	Д у	В/Д	Ш/Д	Д у/Д
198/811	4,5	27,4	15,9	9,8	5,4	58	36	20
199/811	6	77,8	47	23,8	5,9	60	31	8
200/811	5,6	66,3	39,3	21,1	7,8	59	32	12
201/811	5,25	49	28,1	14,5	8,3	57	30	17
202/811	5,7	75,7	46,5	21,5	6,5	61	28	9
211/811	5,5	63	35,9	17,3	5,6	57	27	9
	5	37	21,5	10,6	5,4	58	29	15
	4,5	20,5	10	7,4	5,3	49	36	26
	4	11,9	5,3	4,76	4,25	45	40	36
	3,5	7,8	3	3,3	3	38	42	38
	3	5,1	1,8	2,1	2,2	35	41	43
	2,5	3,4	1,15	1,5	1,45	34	44	43
	2	2,3	0,8	1	1	35	43	43
	1,5	1,65	1,65	0,78	0,6	39	47	36
	1	1,1	0,45	0,7	0,13	41	64	1:

Рис. 18. Поперечное сечение *Arctogymnites sonini*.

Экз. 21/811, при $D = 63$ мм. Северный Хараулах, бассейн р. Кенгдей, руч. Артист-Агатын-Юрэгэ, зона nevadanus подзоны nevadanus.



Скульптура. На первых полутора оборотах раковина гладкая. В конце второго оборота на боковых сторонах относительно редкие, тонкие, слабоизогнутые ребра, переходящие на вентральную сторону.

На третьем-четвертом с половиной оборотах боковые стороны с частыми (20–23 ребра на оборот), сигмоидально-изогнутыми одиночными, реже дихотомирующими без образования бугорков на умбиликальном крае ребрами. Ребра начинаются на шве, затем с ростом на умбиликальном крае не ослабевая переходят через вентральную сторону. У некоторых экземпляров наблюдаются параболические ребра (табл. 10, фиг. 5, а).

В конце пятого оборота ребра уплощаются и сглаживаются на боковых сторонах, сохраняясь вначале у вентральной, которая уже ребрами не пересекается. На шестом–седьмом оборотах раковина гладкая, иногда со слабыми радиальными складками.

Лопастная линия (рис. 19). Просутура ангустиселлатная (см. рис. 19, а). При $Ш = 0,6$ мм, $B = 0,23$ мм примасутура четырехлопастная VL:ID, лопасти и седла плавных очертаний, I расположена на внутренней стороне оборота (см. рис. 19, б). В конце первого оборота при $Ш = 0,51$ мм, $B = 0,29$ мм вентральная лопасть двуветвистая, узкая, остальные широкие (см. рис. 19, в). В конце первой половины второго оборота при $Ш = 0,66$ мм, $B = 0,51$ мм на наружной стороне, вблизи шва на седле L/I образуется лопасть U¹ (см. рис. 19, г). В конце второго оборота при $Ш = 0,85$ мм, $B = 0,68$ мм лопасть I смешается на шов, лопасть D уплощена в основании (см. рис. 19, д). В начале третьего оборота при $Ш = 1,1$ мм, $B = 0,83$ мм путем воздымания седла на пологом внешнем склоне лопасть I делится на I₂ и I₁, дорсальная – двуветвистая (см. рис. 19, е). В начале четвертого оборота при $Ш = 2,55$ мм, $B = 2$ мм на седле I₂/I₁ на внутренней стороне оборота образуется лопасть I¹, лопасти V, L и U¹ зазубриваются в основаниях, I₁ заостренная, седло V/L слабоизвилистое. При трех с половиной оборотах при $Ш = 2,6$ мм, $B = 2,9$ мм на седле I₂/I¹ на внешней стороне образована I² (см. рис. 19, и).

Далее с ростом происходит попеременное образование лопастей в области умбиликального шва, лопасти с нечетными индексами переходят на внутреннюю сторону оборота, с четными – на внешнюю (см. рис. 19, к, л, м). Развитие лопастной линии в онтогенезе проходит по следующей схеме:

VL : ID → (V₁V₁)L : ID → (V₁V₁)LU¹ : ID → (V₁V₁)LU¹ID → → (V₁V₁)LU¹I₂ I₁(D₁D₁) → (V₁V₁)LU¹I₂ : I¹I₁(D₁D₁) → (V₁V₁)LU¹I₂I² : I³I₁(D₁D₁).

Лопасти в промежутке от I₂ до I₁ расположены почти симметрично относительно шва и образуют сутуральную лопасть. С ростом новообразован-

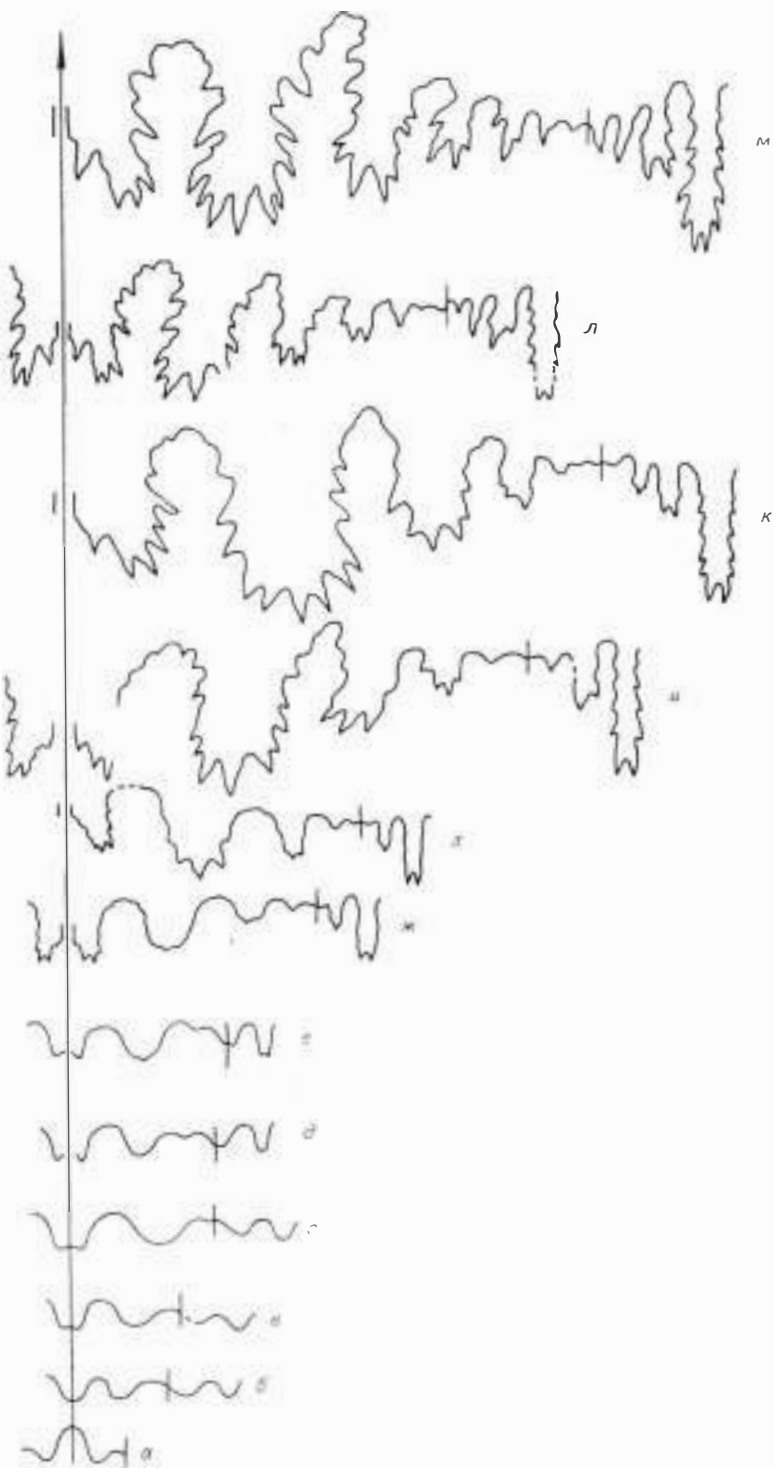


Рис. 19. Онтогенез лопастной линии *Arctogymnites sonini*.

Экз. 203/811: а - просутура, при Ш = 0,55 мм; б - примасутура, при Ш = 0,6 мм, В = 0,23 мм; в - при Ш = 0,51 мм, В = 0,29 мм (ко-

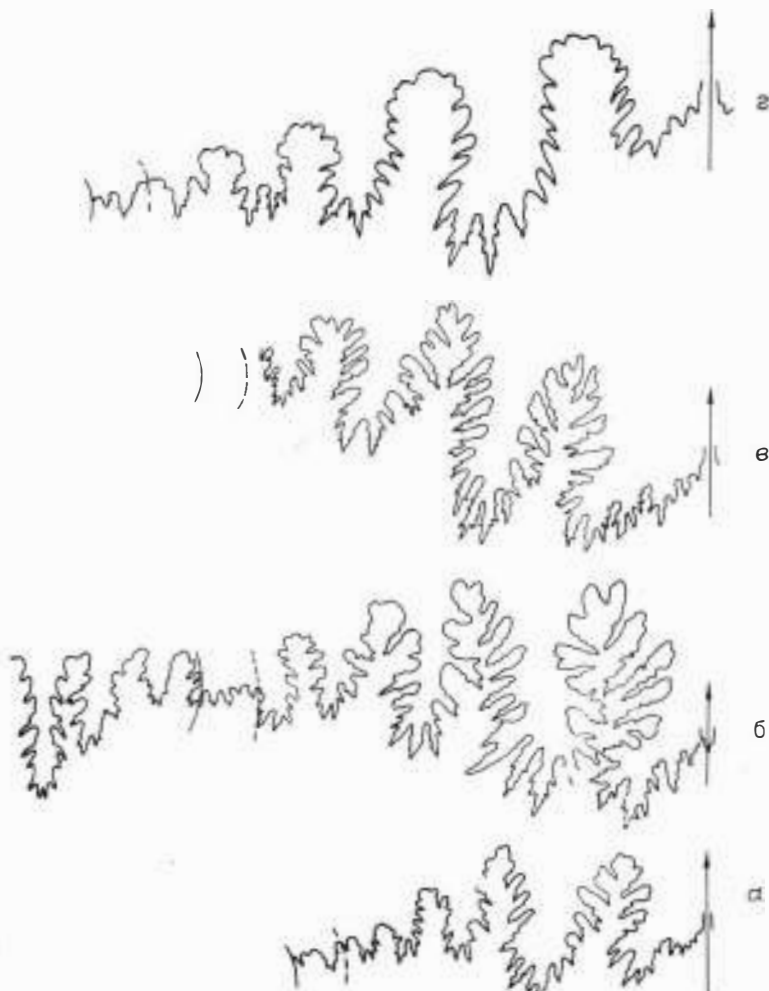


Рис. 20. Лопастные линии *Arctogymnites*.

а - *A. sonini*: экз. 202/811, при Ш = 14,3 мм, В = 26,5 мм;
Оленекский залив, м. Улахан-Крест, зона *nevadanus*, подзона *dreginense*;
б - *A. spektori*: экз. 214/811, при Ш=18 мм, В=40 мм; нижнее течение
р. Лены, м. Чекуровский, нижний ладинский подъярус, зона *oleshkoii*;
в - *A. clivosus*: экз. 218/811, при Ш=18 мм, В=39 мм; Восточный Таймыр,
м. Цветкова, зона *nevadanus*, подзона *dreginense*; г - *A.? sp.*: экз.
219/811, при Ш=29 мм, В=48 мм; Северный Хараулах, бассейн р. Кенгдей,
руч. Артист-Агатын-Юрэгэ, зона *rotelliforme*, подзона *olenekense*.

ней первого оборота); г - при Ш = 0,66 мм, В = 0,51 мм (2 оборота); д -
при Ш = 0,85 мм, В = 0,68 мм (2 оборота); е - при Ш = 1,1 мм, В =
= 0,83 мм (начало третьего оборота); ж - при Ш=2,55 мм, В=2 мм (нача-
ло четвертого оборота); з - при Ш = 2,6 мм, В = 2,9 мм (3,5 оборота);
и - при Ш = 4,8 мм, В = 5,1 мм (4 оборота); к - при Ш = 5,5 мм, В =
= 6,3 мм (начало пятого оборота); л - при Ш = 7 мм, В = 9,6 мм (4,5
оборота); м - при Ш = 9,8 мм, В = 16 мм (5 оборотов). Оленекский за-
лив, пос. Ыстанинах-Хочо, зона *nevadanus*, подзона *dzegeirense*.

ные в области шва лопасти смещаются на боковую и дорсальную стороны, зазубриваются. Лопастная линия взрослых экземпляров (рис. 20, а) аммонитовая, с сильно зазубренными лопастями и седлами, первичные зубцы доходят до вершин седел, вторичные зубчики возникают сначала на первичных зубцах в основании лопастей, затем образуются и по первичным зубцам на стенках и вершинах седел.

Изменчивость. Возрастная изменчивость описана выше. Вид относительно слабо изменчив, основные параметры раковины незначительно варьируют. Значительным вариациям подвержена скульптура: ребра от тонких, слабых до более грубых. Груборебристые формы в основном приурочены к нижнему интервалу распространения вида, но встречаются и в самых верхах азиатского яруса — подзоне *sublaqueatus*. Они имеют более широкий умбиликус, более толстую раковину, обычно хорошо развитые параболические ребра.

Сравнение. Отличается от наиболее близкого *Arctogymnites spekтори* *Arc'tyrcv* слабее расчлененной лопастной линией, а также более поздним сглаживанием скульптуры в индивидуальном морфогенезе.

Распространение. Средний триас, азиатский ярус, зона *rotelliforme*, подзона *olemekense?*, зона *nevadanus* севера Средней Сибири и Северо-Востока СССР.

Местонахождение и материал. Восточный Таймыр, м. Цветкова — 1 экз. и 2 фрагмента оборотов; Оленекский залив моря Лаптевых; м. Улахан-Крест — 5 экз., руч. Стан-Хая-Юрэгэ — 1 экз., пос. Ыстаннах-Хочо — 5 экз. и 2 фрагмента оборота; дельта р. Лены, Оленекская протока, руч Таас-Крест — 4 экз. и 5 фрагментов оборотов; нижнее течение р. Лены, о. Таас-Арыы — 1 экз.; Северный Хараулах, бассейн р. Кенгдей, руч. Ольховый — 1 экз., руч. Алджирхай — 3 экз., руч. Артист-Агатын-Юрэгэ — 3 экз.; бассейн р. Укты, руч. Луктаах — 3 экз.; о. Котельный, лагуна Станции — 2 экз.; Северное Верхоянье, бассейн р. Бакы, верховья руч. Юттер — 2 фрагмента оборотов; среднее течение р. Колымы, бассейн р. Малая Бургали, руч. Нимфа — 1 неполный экземпляр и 6 фрагментов оборотов.

Arctogymnites spekтори Archipov, 1974

Табл. 11, фиг. 2; табл. 12, фиг. 2

Arctogymnites spekтори: Архипов, 1974, с. 249, табл. 10, фиг. 1, 2.

Голотип. № 14/2-43 (703-064). Геологический музей ЯТГУ. Река Омолой; ладинский ярус, нижнеладинский подъярус, зона *oleshkoii*.

Форма. Начальная камера эллипсоидальная шириной 0,5 мм. На первых трех с половиной—четырех оборотах раковина офиоконовая, эволютная со слабообъемлющими оборотами поперечно-овального (один—два с половиной оборота), округлого (третий оборот) и удлиненно-овального, вытянутого в высоту (три с половиной—четыре оборота) сечения. Центральная и боковые стороны выпуклые, умбиликус широкий и умеренно-широкий, мелкий.

На пятом обороте резко возрастает его относительная высота, образуется округленная, высокая умбиликальная стенка. Центральная сторона узкоокругленная, боковые несколько вогнуты около центральной стороны, на остальной части оборота слабовыпуклые. Поперечное сечение оборота округленно-копьевидное, вытянутое в высоту. Умбиликус узкий, глубокий.

Жилая камера не сохранилась.

Размеры (мм) и отношения (%)

Экз.	Кол-во оборотов	Д	В	Ш	D_y	В/Д	Ш/Д	D_y/D
214/811	5,5	61	37,5	16	6,5	61	26	11
215/811	—	93	54	26,8	9,8	58	29	11
216/811	—	80	52,7	23,8	7,8	67	30	10
217/811	5,75	75	45	20,6	6,3	60	27	8

Скульптура. На ранних оборотах (до пятого оборота) на боковых сторонах частые тонкие сигмоидально-изогнутые ребра, берущие начало от умбиликального шва, затем с ростом от умбиликального края и переходящие через вентральную сторону. Ребра одиночные, реже дихотомирующие около умбиликального края. На пятом обороте ребра уплощаются, сглаживаются на боковых сторонах, сохраняясь сначала около вентральной стороны, затем исчезают и около вентральной. При высоте оборота более 20 мм раковина гладкая с очень тонкими струйками или складочками.

Лопастная линия. Онтогенетическое развитие лопастной линии аналогично таковому *Arctogymnites sonini* Popow. Лопастная линия взрослої раковины (см. рис. 20, б) аммонитовая, с сильно рассеченными лопастями и седлами, вторичные зубчики многочисленные, рассекают первичные крупные зубцы вплоть до вершин седел.

Сравнение. Отличия от *Arctogymnites sonini* Popow приведены в описании этого вида.

Распространение. Средний триас, ладинский ярус, нижнеладинский подъярус, зоны *oleshkoi* и *omolagensis* севера Средней Сибири и Северо-Востока СССР.

Местонахождение и материал. Северный Хараулах, бассейн р. Кенгдей, руч. Алджирхай – 3 экз.; р. Лена, м. Чекурровский – 1 экз.

Arctogymnites clivosus Bytschkov et Vavilov, 1982

Табл. 13, фиг. 1, 2

Arctogymnites sp.: Бычков и др., 1976, с. 146, табл. 24, фиг. 4.

Arctogymnites clivosus: Вавилов, Алексеев, Алабушева, 1982, с. 51, табл. 5, фиг. 3.

Голотип. № 102/8301. ЦНИГРМузей. Верхнее течение р. Аян-Юрях, левой составляющей р. Колымы; анизийский ярус, верхнеанизийский подъярус.

Форма. Внутренние обороты не сохранились. Раковина при диаметре 71 мм инволютная, дисконочная, с быстро нарастающими в высоту почти полностью объемлющими оборотами. Вентральная сторона узкая, выпуклая, боковые – слабовыпуклые, уплощенные около вентральной стороны, в верхней части оборота слабовогнутые. Умбиликальный край округленный, умбиликальная стенка высокая, выпуклая. Умбиликус узкий, глубокий.

Жилая камера не сохранилась.

Размеры (мм) и отношения (%)

Экз.	Д	В	Ш	D_y	В/Д	Ш/Д	D_y/D
218/811	73,5	42,8	26,1	11,1	58	36	15

Скульптура. На внутренних оборотах частые, сигмоидально-изогнутые ребра, одиночные и дихотомирующие без образования бугорков около умбиликального края. Промежутки между ребрами примерно равны ширине ребер. При высоте оборота 15–20 мм ребра уплощаются на боковых сторонах, сглаживаются, оставаясь сначала около центральной стороны. При высоте оборота более 2,5 мм раковина гладкая. На фрагменте последнего оборота этого экземпляра в средней части боковых сторон два расставленных, продолговатых, вытянутых по радиусу бугорка (табл. 13, фиг. 2).

Лопастная линия (см. рис. 20, в). Изучена только внешняя часть лопастной линии. Центральная лопасть широкая, глубокая с сильно зазубренными ветвями. На боковой стороне три лопасти, часть линии около умбиликального края и на умбиликальной стенке не сохранилась. Лопасти L, U¹ и I² с двумя первичными зубцами в основаниях.

Сравнение. Отличается от двух вышеописанных видов наличием на боковых сторонах продолговатых бугорков и несколько более широким умбиликусом.

Распространение. Средний триас, азийский ярус, зона nevadensis, подзона dzeginense Восточного Таймыра, Северного Хараулаха в бассейне р. Кенгдей, верхнего течения р. Кольмы.

Местонахождение и материал. Восточный Таймыр, м. Цветкова – 1 экз.

Arctogymnites? sp.

Табл. 13, фиг. 3

Форма. Раковина среднего размера, дисконочная, умеренной толщины, инволютная, с быстро нарастающими в высоту, почти полностью объемлющими оборотами. Поперечное сечение последнего оборота округленно-треугольное, вытянутое в высоту с максимальной шириной в нижней части боковых сторон. Центральная сторона сравнительно широкая, выпуклая, боковые – слабовогнутые в верхней части оборота, слабовыпуклые – в нижней. Умбиликальный край резкий, узкоокругленный, умбиликальная стенка высокая, почти отвесная, плоская. Умбиликус узкий, глубокий. Такую форму раковина имеет на последних полутора–двух оборотах. Внутренние обороты и жилая камера не сохранились.

Размеры (мм) и отношения (%)

Экз.	Д	В	Ш	Д _у	В/Д	Ш/Д	Д _у /Д
219/811	83	48	29	9	58	35	11

Скульптура. На боковых сторонах первой половины последнего оборота низкие, складкообразные, слабо сигмоидально-изогнутые ребра. Промежутки между ребрами равны им по ширине, на пол-оборота насчитывается 12 ребер. С ростом ребра сглаживаются около умбиликального края и в средней части оборота, сохраняясь в конце последнего оборота у центральной стороны, через которую они не переходят.

Лопастная линия (см. рис. 20, г). Изучена только внешняя часть лопастной линии. Центральная лопасть широкая, мелкая, с широким низким сифональным седлом. Первичная боковая лопасть в 2 раза глубже центральной, но уже ее, ширина и глубина лопастей уменьшается по направлению к умбиликусу. Все лопасти, кроме центральной, двузубчатые в основании; эти два зубца вторично зазубрены, у лопастей L и U¹ вторичные зубцы образуются также

и на соседних с ними зубцах. Первичные зубцы поднимаются почти до вершин седел, которые остаются только извилистыми.

Сравнение. Отличается от вышеописанных видов рода более простой лопастной линией, широкими оборотами, отвесной плоской умбиликальной стенкой.

Замечания. Лопастная линия описываемого вида наиболее простая среди видов рода и близка к некоторым видам рода *Gymnotoceras* Hyatt, 1877. Но в то же время сильное развитие вторичных зубцов, отчетливая двузубчатость лопастей L, U^1 и I_2 позволяют отнести эту форму, хотя и условно, к роду *Arctogymnites* Fcsrov, 1961.

Распространение. Средний триас, азиатский ярус, зона *rctelliforme*, подзона *olenekense* Северного Хараулаха в бассейне р. Кенгдей.

Местонахождение и материал. Северный Хараулах, бассейн р. Кенгдей, руч. Артист-Агатын-Юрэгэ – 1 экз.

Род *Anagymnotoceras* McLearn, 1966

Hollandites: McLearn, 1946b, p. 3 (part.); 1969, p. 12 (part.).

Gymnotoceras: McLearn, 1946b, p. 4 (part.); 1948, p. 28 (part.).

Anagymnotoceras: McLearn, 1966, p. 18; Шевырев, 1968, с. 129; He, Wang, Chen, 1986, p. 274.

Типовой вид. *Gymnotoceras varium*, 1948; Британская Колумбия, Восточные Кордильеры, долина р. Тетса; формация Тоад, азиатский ярус, зона *varium*.

Диагноз. Раковины средних размеров, умеренной толщины и вздутые. Умбрикус умеренно широкий, с высокой крутой умбиликальной стенкой. Обороты быстро нарастающие в высоту, сильнообъемлющие, на поздних стадиях роста округленно-трапециевидного или округленно-прямоугольного сечения, вытянутого в высоту. Максимальная ширина оборота около умбиликального края. Вентральная сторона уплощенная или пологовыпуклая, гладкая. Боковые стороны пологовыпуклые или уплощенные со слабо сигмоидально-изогнутыми ребрами, отходящими по 2–3 от приумбрикальных бугорков, между ними есть короткие дополнительные. С ростом на боковых сторонах только простые ребра. Лопастная линия субаммонитовая, с крупными зубцами в основаниях лопастей и слабой зазубренностью стенок и вершин седел. Вентральная лопасть широкая, мелкая, на боковой стороне до умбиликального края три лопасти, на умбиликальной стенке – ряд зубцов.

Видовой состав. *Anagymnotoceras varium* /McLearn, 1948, p. 33, pl. 11, fig. 5, 6/, A. *ismidticus* /Arthaber, 1914, S. 126, Taf. 12, Fig. 6/, A. *columbianum* /McLearn, 1946a, p. 2, pl. 3, fig. 7/, A. *spivaki* /McLearn, 1946b, p. 3, pl. 5, fig. 2/, A. *wrighti* /McLearn, 1946b, p. 4, pl. 5, fig. 4/, A. *helle* /McLearn, 1948, p. 32, pl. 10, fig. 7/, A. *ino* /McLearn, 1948, p. 33/, A. *moderatum* /McLearn, 1948, p. 34, pl. 10, fig. 10/, A. *tozeri* /McLearn, 1969, p. 19, pl. 5, fig. 8, 9/.

Сравнение. От наиболее близкого рода *Hollandites* Diener, 1905 отличается наличием крупных приумбрикальных бугорков с отходящими от них ребрами, более широкими оборотами.

От *Gymnotoceras* Hyatt, 1877 отличается широкой, обычно уплощенной вентральной стороной без вентрального киля.

Замечания. Первоначально виды, позднее отнесенные к роду *Anagymnotoceras* McLearn, 1966, были описаны в составе рода *Gymnoto-*

ceras в широком смысле McLearn, 1946a,b; 1948/. Ф. Мак-Лерн отметил, что среди канадских *Gymnotoceras*, происходящих из верхней части формации Тоад, споев с *Beyrichites* – *Gymnotoceras*, нет типичных представителей рода, близких к невадским *G. blakei* (Gabb) /McLearn, 1948, p. 28/. Он разделил *Gymnotoceras* Канады на две морфологические группы: в первую входят виды с вентральным килем, во вторую – без вентрального киля, с приумбиликальными бугорками. Последняя группа видов позднее была выделена в род *Anagymnotoceras* /McLearn, 1966/.

Распространение рода в Канаде ограничено средним анизием, зоной *varium*. Стратиграфическое положение *A. wrighti* (McLearn) не совсем ясно, так как голотип и единственный образец происходит из осыпи со склона холма "Cameron" в бассейне р. Тетса, из которой также указывается фауна и более молодого возраста – *Beyrichites deleeni* McLearn, *Longobardites canadensis* McLearn. Кроме того, элементы фауны зоны *deleeni* указываются из разных точек вблизи этого местонахождения. Поэтому не исключено, что *A. wrighti* (McLearn), отличающийся от типового вида рода поздним появлением одиночных ребер в онтогенезе и узкой, выпуклой вентральной стороной, может иметь более молодой возраст.

Формы, описанные недавно китайскими исследователями как *Anagymnotoceras cf. helle* McLearn из зоны *Hollandites* – *Beyrichites* подзоны *Anagymnotoceras* – *Nicomedites* провинции *Qinghai* /He et al., 1986/, имеют узкий умбиликус, уплощенные боковые стороны с ребрами без бугорков и скорее относятся к роду *Hollandites*.

Распространение. Вифинский подъярус, зона *ismidicum* Турции, слои с *Leiophyllites* и *Anagymnotoceras* Центрального Ирана. Анизийский ярус, среднеанизийский подъярус, зона *varium* Канады, слои с *Anagymnotoceras*, *Hollandites*, "Gymnotoceras" Свальбарда, зона *Kharaulakhensis*, подзона *gastroplanus* Восточного Таймыра и среднего течения р. Кольмы.

Anagymnotoceras helle (McLearn), 1948

Табл. 9, фиг. 1

Gymnotoceras helle: McLearn, 1948, p. 32, pl. 10, fig. 7; Tozer, 1962, pl. 5, fig. 3.

Anagymnotoceras helle: McLearn, 1966, pl. 1, fig. 3–5; 1969, p. 21, pl. 3, fig. 4, 5; Корчинская, 1982, с. 53, табл. 20, фиг. 4.

Форма. Раковина полуэволютная, с быстро нарастающими в высоту оборотами. Вентральная и боковые стороны на внутренних оборотах выпуклые, в конце последнего оборота уплощенные. Вентральный и умбиликальный край на этой стадии отчетливые, округленные, умбиликальная стенка круто наклонена к центру спирали, относительно невысокая. Умбиликус широкий, чащеобразный, с ростом – ступенчатый.

Жилая камера не сохранилась.

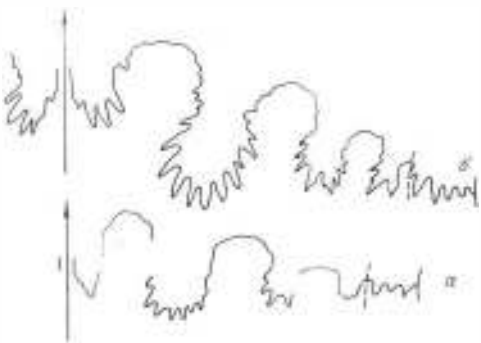
Размеры (мм) и отношения (%)

Экз.	Кол-во оборотов	Д	В	Ш	Д _у	В/Д	Ш/Д	Д _у /Д
195/811	6	34,4	14,4	–	11,6	42	–	34

Скульптура. На первых трех с половиной оборотах раковина гладкая. В конце четвертого оборота на боковых сторонах редкие (4–5 на пол-оборо-

Рис. 21. Лопастные линии *Anagymnotoceras*.

а - A. helle: экз. 195/811, при В = 9,2 мм; Восточный Таймыр, м. Цветкова; б - A. ino: экз. 196/811, при Ш = 17,5 мм, В = 19 мм, среднее течение р. Колымы, р. Малая Бургали. Средний анизийский подъярус, зона *kharaulakhensis*, подзона *gastroplanus*.



та) прямые ребра, начинающиеся от умбиликального шва и более рельефные в середине высоты оборота. В конце пятого оборота они слабо сигмоидально-изогнутые, между ними возникает по одному более короткому и слабому дополнительному. Основные ребра образуют продолговатые вздутия в нижней части боковых сторон, к которым при пяти с половиной оборотах подходят дополнительные, образующие дихотомирующие ребра. На вентральном крае ребра изогнуты вперед, на вентральной стороне ослабевают, не доходя до ее средней части.

Лопастная линия (рис. 21, а). Вентральная лопасть неглубокая, со слабозазубренными основаниями ветвей, срединное седло невысокое. На боковой стороне до умбиликального края три лопасти, на умбиликальной стенке - несколько зубцов. Лопасть L самая глубокая и широкая. Лопасти заузбренные, седла очень слабоизвилистые.

Сравнение. Описываемый экземпляр наиболее близок по форме раковины, относительному диаметру умбиликуса к голотипу *Anagymnotoceras helle* /McLearn, 1948, p. 32, pl. 10, fig. 7/. От A. helle, описанного М.В. Корчинской со Свальбарда /Корчинская, 1982, с. 53, табл. 20, фиг. 4/, отличается более широким умбиликусом и менее высокими оборотами.

Распространение. Средний триас, анизийский ярус, зона varium Британской Колумбии, спои с *Anagymnotoceras Hollandites* и "Gymnotoceras" Свальбарда; зона *kharaulakhensis* подзона *gastroplanus* Восточного Таймыра.

Местонахождение и материал. Восточный Таймыр, м. Цветкова - 1 экз.

Anagymnotoceras ino (McLearn), 1948

Табл. 9, фиг. 2

Gymnotoceras inc: McLearn, 1948, p. 33.

Anagymnotoceras ino: McLearn, 1966, pl. 1, fig. 9, 10; 1969, p. 23, pl. 3, fig. 3а, б.

Форма. Раковина полуинволютная, с быстро нарастающими в высоту оборотами. Начальные обороты не сохранились. В начале последнего оборота при диаметре раковины около 22 мм поперечное сечение оборота округленно-трапециевидное, с одинаковыми высотой и шириной. Вентральная и боковые стороны выпуклые, умбиликальный край неотчетливый. В конце последнего оборота поперечное сечение оборота округленно-трапециевидное с высотой, незначительно превышающей ширину. Широкая вентральная и боковые стороны пологовыпуклые. Вентральный и умбиликальный края плавноокругленные. Умбиликальная стенка высокая, крутая. Умбиликус умеренно широкий.

Последний оборот объемлет более 2/3 высоты предыдущего, максимальная ширина его около умбиликального края.

Жилая камера не сохранилась.

Размеры (мм) и отношения (%)

Экз.	Д	В	Ш	Д _y	В/Д	Ш/Д	Д _y /Д
196/811	48	21,5	19	13,2	45	40	28

Скульптура. На боковых сторонах предпоследнего оборота около 10 ребер, начинающихся от умбиликального шва и усиливающихся на умбиликальном крае. Между ними по 1–2 коротких и слабых дополнительных. Такой характер скульптуры сохраняется до последнего оборота. На второй половине последнего оборота чередование довольно резких, слабо сигмоидальных ребер, отходящих по 2 или 3 от продолговатых бугорков или вздутий на умбиликальном крае и более коротких дополнительных, начинающихся от середины боковых сторон без бугорков (26 ребер на оборот). Между первыми по одному дополнительному.

На вентральном крае ребра изогнуты вперед, на вентральную сторону не переходят, где наблюдаются только слабые струйки роста, образующие небольшой, округленный вентральный выступ.

Лопастная линия (см. рис. 21, б). Изучена только внешняя часть лопастной линии. Вентральная лопасть широкая, мелкая, разделена относительно низким срединным седлом на две ветви с крупными зубцами в основаниях. Боковая лопасть самая глубокая, но менее широкая, чем вентральная. Лопасти U¹ и I₂ более мелкие и узкие, примерно в 2 раза уже седел L/U¹ и U¹/I₂ соответственно. Седла широкие, уже на стенках, шире в вершинах, сильноизвилистые. На умбиликальной стенке ряд зубцов.

Сравнение. Описываемая форма близка по уплощенности вентральной стороны к голотипу *Anagymnotoceras ino* /McLearn, 1969, p. 23, pl. 3, fig. 3/, но отличается от него несколько более узким умбиликусом и широкими оборотами. Кроме того, у *A. ino* (McLearn) от приумбиликальных бугорков отходит по 3 ребра, в то время как у нашего экземпляра тройные пучки ребер неотчетливые.

По ширине оборота описываемый вид близок к *A. columbianum* (McLearn), но отличается от него более редкой ребристостью.

Распространение. Средний триас, аниэйский ярус, зона varium Британской Колумбии, зона *Kharaulakhensis*, подзона *gastroplanus* среднего течения р. Колымы.

Местонахождение и материал. Бассейн среднего течения р. Колымы, р. Малая Бургали – 1 экз.

Род *Pararechites* Silberling et Nichols, 1982

Gymnotoceras: Hyatt in Meek, 1877, p. 110, (part.); Spath, 1934, p. 427; Kurnmel in Arkell, Kummel, Wright, 1957, p. 151; Аркадьев, Вавилов, 1984, с. 63 (part.).

Ceratites (*Gymnotoceras*): Hyatt, Smith, 1905, p. 172; Smith, 1914, p. 109 (part.).

Типовой вид *Ceratites* (*Gymnotoceras*) *meeki* (Можайсовics), 1888; Невада, хр. Гумбольдта; средний триас, аниэйский ярус, зона *meeki*.

Диагноз. Раковины средних размеров, дискоконовые, инволютные с сильнообъемлющими оборотами, быстро нарастающими в высоту. Поперечное сечение оборотов с ростом от поперечно-овального до овального, округленно-треугольного или округленно-трапециевидного, вытянутого в высоту. Вентральная сторона выпуклая или уплощенная, плавно переходит в пологовыпуклые или уплощенные боковые, иногда отделена от них отчетливым вентральным краем. Умбиликальный край округленный, резкий, умбиликальная стенка высокая, крутая. Умбиликус от широкого на ранних стадиях роста до узкого на поздних. Скульптура из чередования сигмоидальных основных и дополнительных ребер, первые образуют продолговатые приумбиликальные вздутия и бугорки. Ребра ослабеваются на вентральном крае или доходят до обособленного срединного киля на вентральной стороне. Лопастная линия субаммонитовая, с сильно зазубренными лопастями и стенками седел, вершины седел извилистые. Ее формула $(V_1 V_1) LU^1 I_2 : I^1 I_1 (D_1 D_1)$, на умбиликальной стенке ряд зубцов, не индивидуализированных в лопасти.

Видовой состав. *Parafrechites meeki* (Mojsisovics, 1888, S. 168/- новое название для *Gymnotoceras blakei* Gabb /Meek, 1877, p. 119, pl. 10, fig. 10, 10a, 10b/, *P. spurri* /Smith, 1914, p. 112, pl. 67, fig. 17, 18/, *P? altilis* /Smith, 1914, p. 83, pl. 67; fig. 19-21/, *P. dunnii* /Smith, 1914, p. 116, pl. 32, fig. 7, 8/, *P. sublaqueatus* /Бычков и др., 1976, с. 116, табл. 21, фиг. 3/, *P. evolutus* Esp. nov., *P. kharaulakhensis* sp. nov., *P. egorovi* sp. nov.

Сравнение. От наиболее близкого *Frechites* Smith, 1932 отличается отсутствием хорошо выраженных бугорков на вентральном крае, более высокими и тонкими оборотами.

От *Gymnotoceras* Hyatt, 1877 отличается наличием на вентральной стороне морфологически обособленного киля, меньшим количеством индивидуализированных лопастей.

Замечания. *Gymnotoceras* cf. *paucicostatum* Jabe et Shimizu /Кипарисова, 1961, с. 152, табл. 31, фиг. 1/, происходящий из ладинских отложений Южного Приморья, скорее всего имеет более древний возраст и относится к роду *Parafrechites*. Однако уверенно судить о родовой принадлежности этой формы, а также *Gymnotoceras medvedevi* Кипарисова затруднительно из-за плохой сохранности оригинального материала.

В настоящей работе все формы с обособленным вентральным килем, со слабыми вздутиями ребер на вентральном крае и без таковых отнесены к *Parafrechites* Silberling et Nichols, 1982, за которым сохранен статус рода.

Распространение. Средний триас, анизийский ярус, зона *meeki* Невады, слои с *Parafrechites meeki* и с *P. dunnii*, зона *nevadanus*, подзоны *nevadanus* и *sublaqueatus* севера Средней Сибири и Северо-Востока СССР.

Parafrechites meeki (Mojsisovics), 1888

Табл. 13, фиг. 4-6; табл. 14, фиг. 1-4, 6, 7

Ceratites (*Gymnotoceras*) *blakei*: Meek, 1877, p. 113, pl. 10, fig. 10, 10a, 10b; Hyatt, Smith, 1905, p. 173, pl. 22, fig. 1-23; Smith, 1914, p. 109, pl. 3, fig. 10-23, pl. 65, fig. 14-19, pl. 66, fig. 1-9; Spath, 1934, p. 427, fig. 145.

Ceratites (*Hollandies*) *montis-bovis*: Smith, 1914, p. 105, pl. 58, fig. 1-20.

Ceratites (Gymnotoceras) beckeri: Smith, 1914, p. 109, pl. 66, fig. 10–29, pl. 3, fig. 4–9.

Ceratites (Gymnotoceras) meeki: Smith, 1914, p. 111, pl. 69, fig. 1–19.

Ceratites (Gymnotoceras) russelli: Smith, 1914, p. 111, pl. 3, fig. 1–3, 6, pl. 67, fig. 1–15.

Ceratites (Gymnotoceras) wemplei: Smith, 1914, p. 113, pl. 68, fig. 1–9.

Parafrechites meeki: Silberling, Nichols, 1982, p. 27, pl. 11, fig. 7–23, pl. 12, fig. 1–29, pl. 13, fig. 1–5.

Gymnotoceras meeki: Аркадьев, Вавилов, 1984, табл. 6, фиг. 3.

Форма (рис. 22, а, б). Начальная камера эллипсоидальная, шириной 0,5 мм. Раковина на первых пяти оборотах офиоконовая со слабообъемлющими оборотами поперечно-ovalного (первый–третий с половиной обороты), затем округлого (четвертый–пятый обороты) сечения. Центральная сторона широкая, выпуклая, плавно переходит в выпуклые боковые. Умбиликус широкий, мелкий, чашеобразный. На шестом обороте возрастает относительная высота и объемлемость оборотов, образуется умбиликальная стенка. Центральная сторона в середине шестого оборота (см. рис. 22, а) пологовыпуклая, вентральный и умбиликальный края округленные, боковые стороны пологовыпуклые, умбиликальная стенка высокая, крутая.

Взрослая раковина (семь оборотов) уплощенная или средней толщины, полуинволютная, с быстро нарастающими в высоту, сильнообъемлющими оборотами от округленно–треугольного до округленно–трапециевидного сечения. Центральная сторона от узкоокругленной до более широкой, отделенной от слабовыпуклых боковых сторон отчетливым вентральным краем. Умбиликальный край резкий, умбиликальная стенка высокая, от отвесной до наклонной. Умбиликус от умеренно узкого до умеренно широкого (Δ_y/Δ от 20 до 30), глубокий.

Жилая камера занимает около половины оборота, устье не сохранилось.

Размеры (мм) и отношения (%)

Экз.	Д	В	Ш	Д _y	В/Д	Ш/Д	Д _y /Д
27/811	16,5	7,1	7,1	5,4	43	43	33
28/811	18	7	6,9	6,5	39	38	36
29/811	19,6	8,4	8,1	5,3	43	41	27
30/811	21,2	8,2	8,3	7,1	39	39	33
31/811	24,1	10,9	9,6	8,2	45	40	34
32/811	22,7	9,8	9,5	8,6	43	42	38
33/811	25,2	9,9	9,7	9,3	39	38	37
34/811	26,2	11,6	—	8	44	—	31
35/811	27,4	12	10,5	9	44	38	33
36/811	35,1	16,4	11,2	11	47	32	31
37/811	36,9	17	13	11,2	46	35	30
38/811	37,3	18	12,9	10,1	48	35	27
39/811	43,7	19,9	14,1	13,3	46	32	30
40/811	45	21,3	—	10,5	47	—	23
41/811	46,5	23,4	—	9,2	50	—	20
42/811	47,8	22,3	16,1	12,8	47	34	27
43/811	59,4	29,1	19,6	13,1	49	33	22

Скульптура. На первых трех оборотах раковина гладкая с тонкими, частыми радиальными струйками роста латерально–синусного типа.

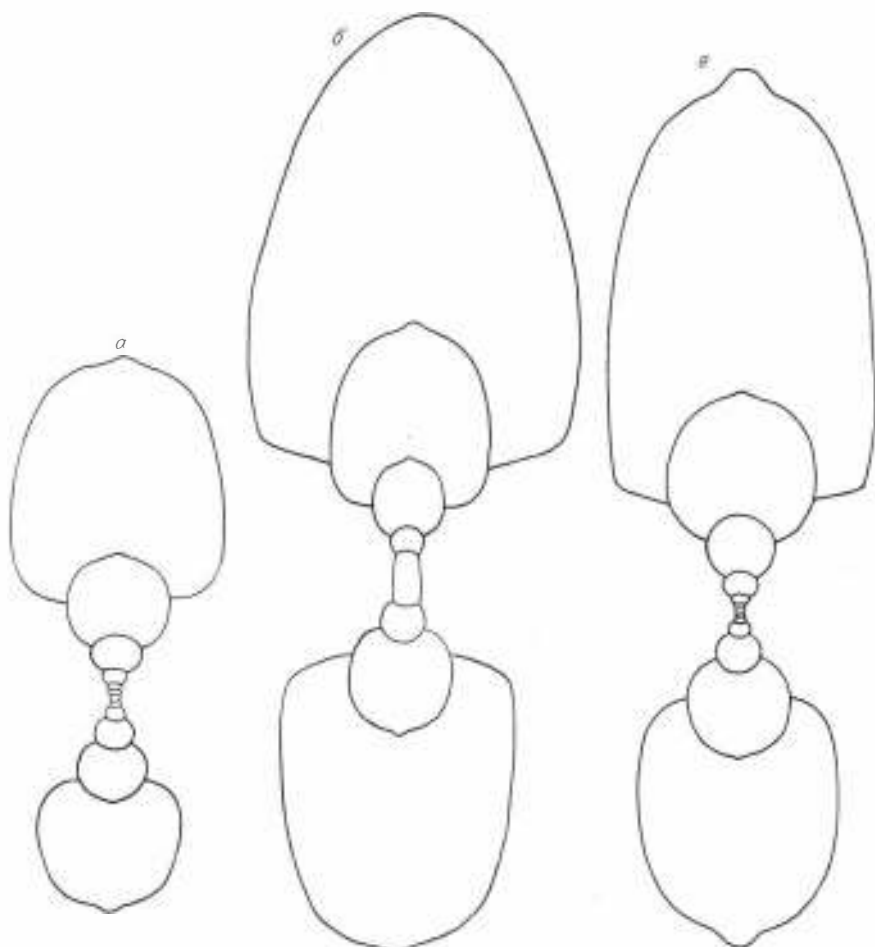


Рис. 22. Поперечное сечение *Parafrechites meeki* и *P. sublaqueatus*.

а, б - *P. meeki*: а - экз. 31/811, при $D = 24,3$ мм; б - экз. 41/811, при $D = 44$ мм; Оленекский залив, пос. Ыстаннха-Хочо, зона *nevadanus*, подзона *sublaqueatus*; в - *P. sublaqueatus*: экз. 17/811 ($x2,8$); Северный Хараулах, бассейн р. Кенгдей, руч. Артист-Агатын-Юрэгэ, возраст тот же.

В середине четвертого оборота на боковых сторонах частые (28-30 на оборот) сгибающиеся вниз ребра, начинающиеся в нижней части боковых сторон, где изогнуты вперед и вздуты. На боковых сторонах они изогнуты назад, наентральном крае образуют резкий изгиб вперед и, ослабевая наентральной стороне, переходят через нее, образуя наентральный выступ.

На пятом и шестом оборотах боковые стороны с чередующимися основными ребрами и более короткими дополнительными, берущими начало с серединой боковых сторон (38-40 ребер на шестом обороте). На поздних стадиях роста скульптура усиливается, образуются дихотомирующие ребра, реже тройные пучки ребер, отходящие от продолговатых приумбиликальных вздутий или бугорков основных ребер. На наентральной стороне с четвертого оборота

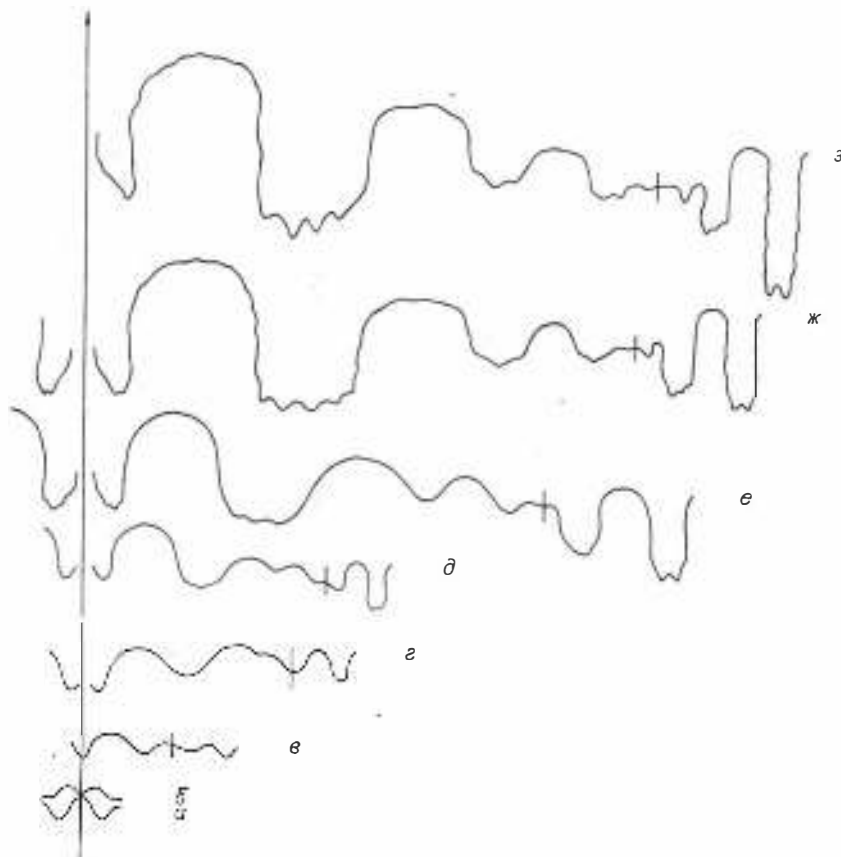


Рис. 23. Онтогенез лопастной линии *Parafrechites meeki*.

Экз. 47/811: а, б - просутура и примасутура; в - при Ш = 0,48 мм, В = 0,27 мм; г - при Ш = 0,78 мм, В = 0,56 мм; д - при Ш = 1,6 мм, В = 1,1 мм; е - при Ш = 2,72 мм, В = 2 мм; ж - при Ш = 5,3 мм, В = 3,8 мм; з - при Ш = 6 мм, В = 5 мм. Оленекский залив, пос. Ыстаннах-Хочо, зона *nevadanus*, подзона *sublaqueatus*.

обособленный срединный киль. На жилой камере ребра и киль сглаживаются.

Лопастная линия (рис. 23). Первая линия ангустиселлатная с высоким вентральным седлом и глубокой латеральной лопастью во внешней части (см. рис. 23, а). Вторая линия во внешней части состоит из мелких вентральной и латеральной лопастей, разделенных окружным седлом (см. рис. 23, б). При Ш = 0,48 мм, В = 0,27 мм линия четырехлопастная VL:ID (см. рис. 23, в). При Ш = 0,78 мм, В = 0,56 мм (см. рис. 23, г) на седле I/I образуется лопасть U¹, вентральная лопасть разделена на две ветви, дорсальная - уплощенная в основании, внутренняя боковая лопасть лежит на умбрикальном шве. При Ш = 1,6 мм, В = 1,1 мм (см. рис. 23, д) последняя разделена на две ветви (I₂ и I₁), которые образовались несколько ранее путем постепенного вздымания седла на пологом внешнем склоне внутренней боковой лопасти. При Ш = 2,72 мм, В = 2 мм (см. рис. 23, е) на седле I₂/I₁ образуется лопасть U¹, вентральная и латеральная лопасти начинают ~~назубриваться~~ в основании. В дальнейшем при Ш = 5,3 мм, В =

3,8 мм I^1 переходит на внутреннюю сторону оборота, на внешней стороне оборота в вершине седла I_2 / I^1 возникла I^2 (см. рис. 23, ж). Лопасти зазубрены, стенки и вершины седел извилистые. Развитие лопастной линии происходит по следующей схеме: $VL : ID \rightarrow (V_1 V_1) LU^1 ID \rightarrow (V_1 V_1) LU^1 I_2 : I_1 D_1 D_1 \rightarrow (V_1 V_1) LU^1 I_2 I^1 I_1 (D_1 D_1) \rightarrow (V_1 V_1) LU^1 I_2 I^2 : I^1 I_1 (D_1 D_1)$.

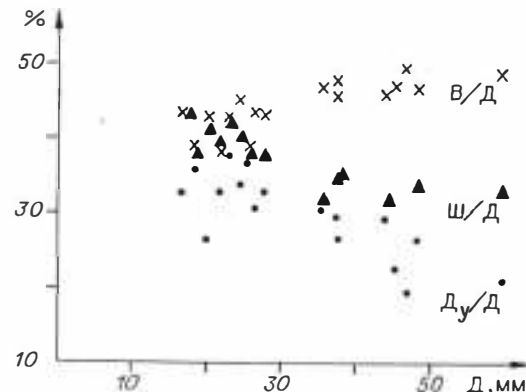
Вентральная лопасть разделена относительно высоким сифональным седлом на две узкие ветви, боковая лопасть самая глубокая и широкая, лопасти I и D узкие, глубокие.

Изменчивость (рис. 24). Индивидуальная изменчивость значительная, заключается в вариациях относительного диаметра умбиликуса, скульптуры, а также в изменениях приумбиликальной части лопастной линии (рис. 25). Наиболее сильной изменчивости подвержена скульптура: ребра от тонких до грубых, с хорошо выраженным утолщением на вентральном крае и в нижней части боковых сторон. У некоторых экземпляров на умбиликальном крае образуются бугорки, от которых отходят по 2–3 ребра. Изменчивость лопастной линии заключается в различной форме лопасти I_2 и различной степени индивидуализации лопасти I^2 , расположенной около умбиликального шва (рис. 25, а–г).

Сравнение. От наиболее близкого по скульптуре и форме раковины *Parafrechites sublaqueatus* (Bytschkov) отличается более широким умбиликусом, особенно на ранних стадиях роста, менее уплощенными с боков, более низкими оборотами, а также образованием сильных вздутий и бугорков, что не характерно для *P. sublaqueatus* (Bytschkov). Бугорки и вздутия ребер есть также у *P. evolutus* sp. nov., от которого описываемый вид отличается менее широким умбиликусом, а также особенностями лопастной линии, в частности у *P. evolutus* sp. nov. лопасти с крупными зубцами в основании, лопасть U^1 двузубчатая.

Замечания. Сибирские *Parafrechites meeki* (Mojs.) наиболее близки к описанному Дж. П. Смитом *Ceratites (Gymnotoceras) russelli* /Smith, 1914, p. 111, pl. 67, fig. 1–15/, который обладает средней морфологией *P. meeki* (Mojs.) в ряду форм, отнесенных к этому виду Н. Сильберлингом и К. Николс /Silberling, Nichols, 1982/. Как и у типичных невадских *P. meeki* (Mojsisovics), индивидуальная измен-

Рис. 24. Индивидуальная и возрастная изменчивость *Parafrechites meeki* (число замеров 17). Усл. обозн. см. на рис. 6.



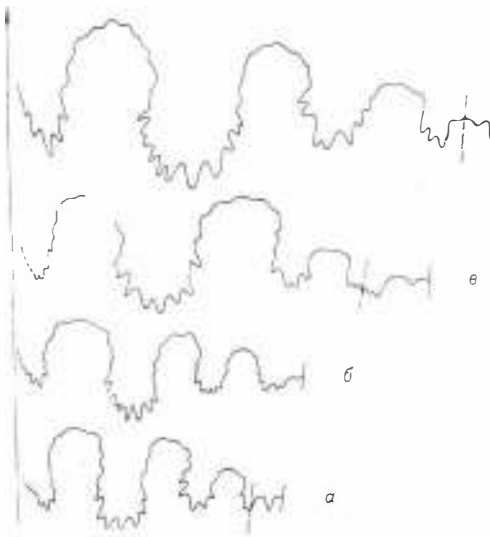


Рис. 25. Индивидуальная изменчивость лопастных линий в *Parafrechites meeki*.
 а - экз. 49/811, при В = 14,3 мм; б - экз. 48/811, при В = 14,4 мм; в - экз. 39/811, при В = 17,6 мм; г - экз. 40/811, при В = 22 мм.
 Оленекский залив, пос. Ыстаннах-Хочо, зона *nevadanus*, подзона *sublaqueatus*, один прослой конкреций.

чивость сибирских представителей вида заключается в вариациях скульптуры и степени выраженности вентрального края, однако у наших форм ребра более сильно изогнуты вперед на вентральном крае, вентральная сторона менее широкая и уплощенная.

Распространение. Средний триас, анизиjsкий ярус, зона *meeki*, слой с *Parafrechites meeki* и *P. durini* Невады; зона *nevadanus*, подзона *sublaqueatus* севера Средней Сибири и бассейна р. Колымы.

Местонахождение и материал. Оленекский залив моря Лаптевых, пос. Ыстаннах-Хочо - 40 экз. и 20 обломков оборотов; нижнее течение р. Лены, о. Таас-Арыы - 2 экз.; Северный Хараулах, бассейн р. Укты, руч. Луктаах - 6 экз. и 18 неполных экземпляров и обломков оборотов; бассейн р. Бакы: левого притока р. Яны, руч. Хайырдах - 2 экз., верховье руч. Юттер - 1 экз., 4 обломка оборотов, 1 отпечаток; о. Котельный, лагуна Станции - 1 экз. и 2 отпечатка раковин.

Parafrechites sublaqueatus (Bytschkov), 1976

Табл. 14, фиг. 5, 8, 9; табл. 15, фиг. 1-6;
 табл. 16, фиг. 1, 5

Gymnoceras sublaqueatum: Бычков и др., 1976, с. 116,
 табл. 21, фиг. 3-5.

Голотип. № 46/8301. ЦНИГРМузей. Среднее течение р. Колымы, руч. Нимфа - правый приток р. Малая Бургали; анизиjsкий ярус, зона *nevadanus*, подзона *sublaqueatus*.

Форма (см. рис. 22, в). Начальная камера эллипсоидальная, шириной 0,5 мм. На первых пяти оборотах раковина офиоконовая, эволютная, со слабообъемлющими оборотами поперечно-овального (один-три с половиной оборота), затем округлого (четыре-четыре с половиной оборота) сечения. Вентральная сторона широкая, пологовыпуклая, плавно переходит в боковые стороны, умбриликус широкий, мелкий.

С ростом, на шестом обероте, происходит увеличение относительной высоты оборота, формируется умбрикальная стенка, раковина уплощенная, дискоконовая, с вытянутыми в высоту сильнообъемлющими оборотами от

овального до округленно-трапециевидного сечения. Вентральная сторона от выпуклой до уплощенной, с возвышающимся срединным килем. Вентральный край отчетливый, округленный. Боковые стороны от уплощенных до полого-выпуклых. Умбиликальный край резкий, угловатый, умбиликальная стенка высокая, крутая. Умбиликус умеренно узкий, глубокий.

Жилая камера занимает около половины оборота, устье не сохранилось.

Размеры (мм) и отношения (%)

Экз.	Кол-во оборотов	Д	В	Ш	D_y	В/Д	Ш/Д	D_y/D
9/811	-	23,1	10,5	9	6	45	39	26
10/811	-	24,5	10,9	7,8	6,5	44	32	27
11/811	-	39,2	19	-	9,1	48	-	23
12/811	-	36,4	14,7	12	9,1	40	33	25
13/811	-	37,7	17,7	14,6	10,1	47	39	27
14/811	-	45,2	22,5	14,6	11,6	50	32	26
15/811	-	43,6	20,8	14	10,2	48	32	23
16/811	-	35,2	16,6	11,5	9	47	33	26
18/811	-	56,4	29,6	16,2	9,6	52	29	17
19/811	-	60,8	30,1	17	11,3	50	28	19
	-	43,3	21,5	13,7	9,4	50	32	22
17/811	1	0,66	0,25	-	0,17-	38	-	26-27
					0,18			
	1,5	0,95	0,36	0,56	0,32	38	59	34
	2	1,43	0,53	0,73	0,49	38	51	34
	2,5	2,13	0,8	1,05	0,73	38	49	34
	3	3,25	1,23	1,5	1,13	38	46	35
	3,5	4,8	1,75	2	1,75	36	42	36
	4	7,15	2,7	3	2,7	38	42	38
	4,5	11	4,2	4,5	3,9	38	41	35
	5	16,5	6,7	6,7	5,5	40	41	33
	5,5	24,9	11	9,1	7,1	44	37	29
	6	38	18,5	12,7	9,2	49	33	24

Скульптура. На первых трех оборотах раковина гладкая. В середине четвертого оборота на боковых сторонах тонкие резкие сигмоидальные, частые ребра. На боковой стороне они изгибаются назад, на вентральном крае — вперед, ослабевают и переходят через вентральную сторону.

На пятом-шестом оборотах на боковых сторонах наблюдается чередование основных ребер, начинающихся от умбиликального края, и более коротких дополнительных, начинающихся в половине высоты оборота от умбиликального шва (32-40 ребер на оборот). Между основными ребрами находится по одному дополнительному. Основные ребра около умбиликального края со вздутиями или бугорками, от которых отходят по два ребра или дополнительные ребра только приближены к таковым своим началом.

На вентральной стороне с конца четвертого оборота хорошо обособленный округленный срединный киль. Ребра перед килем затухают, иногда через последний переходят тонкие валики.

На жилой камере ребра сглаживаются, замещаются струйками роста, киль менее обособлен, расширен.

Лопастная линия. Развитие лопастной линии в онтогенезе происходит по той же схеме, что и у *Parafrechites meeki* (Mojse.) (рис. 26).

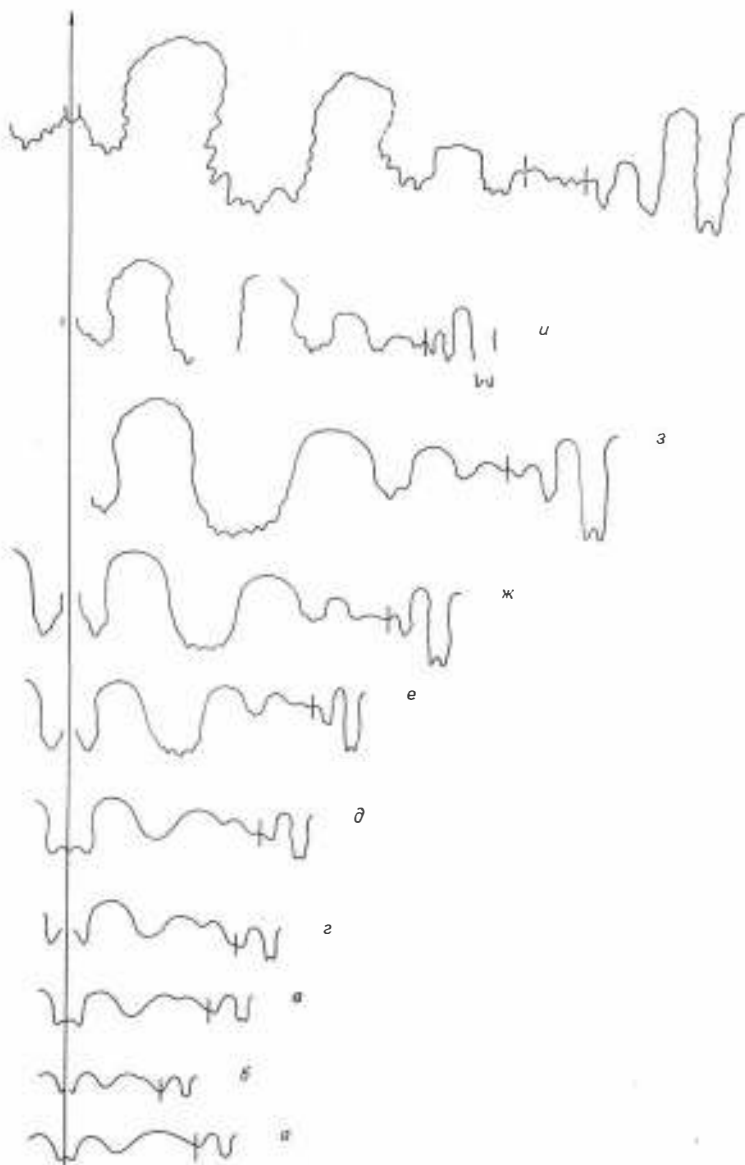


Рис. 26. Онтогенез лопастной линии *Parafrechites sublaqueatus*.
 Экз. 22/811: а - при $Ш = 0,68$ мм, $B = 0,45$ мм (1,5 оборота); б - при $Ш = 0,75$ мм, $B = 0,5$ мм (1,75 оборота); в - при $Ш = 1$ мм, $B = 0,7$ мм (2 оборота); г - при $Ш = 3$ мм, $B = 2,1$ мм; д - при $Ш = 3,2$ мм, $B = 2,5$ мм; е - при $Ш = 3,5$ мм, $B = 2,75$ мм; ж - при $Ш = 4,9$ мм, $B = 4$ мм (4 оборота); з - при $Ш = 6$ мм, $B = 5,2$ мм (4,5 оборота); и - при $Ш = 7,8$ мм, $B = 9,3$ мм (5 оборотов); к - при $Ш = 10,4$ мм, $B = 15,9$ мм (5,5 оборотов). Северный Хараулах, бассейн р. Кенгдей, руч. Артист-Агатын-Юрэгэ, зона *nevadanus* подзоны *sublaqueatus*.

Рис. 27. Индивидуальная и возрастная изменчивость *Parafrechites sublaqueatus* (число замеров 19); руч. Артист-Агатын-Юрэгэ, из одного прослоя конкреций.

1 — голотип вида; 2-4 — сплошные линии — кривые изменения В/Д (2), Ш/Д (3) и Д_у/Д (4) у экз. 17/811.

Изменчивость (рис. 27).

Возрастная изменчивость описана выше. Наиболее сильной индивидуальной изменчивости подвержена скульптура: ребра от тонких и более частых (40 на оборот) до грубых и редких (32-36 на оборот). Киль от довольно высокого возвышающегося до низкого, широкого. Наиболее рельефный киль отмечен у тонкоребристых форм и наоборот. Также изменчиво поперечное сечение оборотов на поздних стадиях роста (пятый-шестой обороты): боковые стороны от уплощенных до пологовыпуклых, умбрикальный и вентральный края от резких угловатых до округленных, умбрикальная стенка от отвесной до наклонной. Некоторой индивидуальной изменчивости подвержена лопастная линия, особенно в приумбрикальной части (рис. 28).

Сравнение. Отличия от наиболее близкого вида *Parafrechites meeki* (Mojsisovics) приведены в описании этого вида. Наиболее близки по форме раковины к описываемому виду уплощенные тонкоребристые формы *Parafrechites meeki* (Mojs.), от которых *P. sublaqueatus* (Bytschkov) отличается сильнее изогнутыми ребрами, а также высоким, более рельефным килем на вентральной стороне.

Распространение. Азиатский ярус, зона nevadanus подзона *sublaqueatus* севера Средней Сибири и Северо-Востока СССР.

Местонахождение и материал. Северный Хараулах, бассейн р. Кенгдей, руч. Артист-Агатын-Юрэгэ — 20 экз. и 14 неполных экземпляров; среднее течение р. Колымы, руч. Нимфа — правый приток р. Малая Бургали — 17 экз., 30 фрагментов оборотов.

Parafrechites evolutus sp. nov.

Табл. 16, фиг. 4; табл. 17, фиг. 1

Название вида от "evolutus" лат. — эволютный.

Голотип. № 50/811. ЦСГМ. Северный Хараулах, бассейн р. Кенгдей, руч. Артист-Агатын-Юрэгэ; азиатский ярус, зона nevadanus подзона *sublaqueatus*.

Диагноз. Раковины средних размеров, полуинволютные, с умеренно нарастающими в высоту оборотами круглого, затем овального сечения. Боковые стороны выпуклые, умбрикальный край хорошо округленный, умбрикальная стенка низкая. Умбрикус умеренно широкий, мелкий, чашеобразный. Лопасти во внешней части с крупными зубцами в основании. Лопасть U¹ двузубчатая, с крупным внутренним и более мелким внешним зубцом.

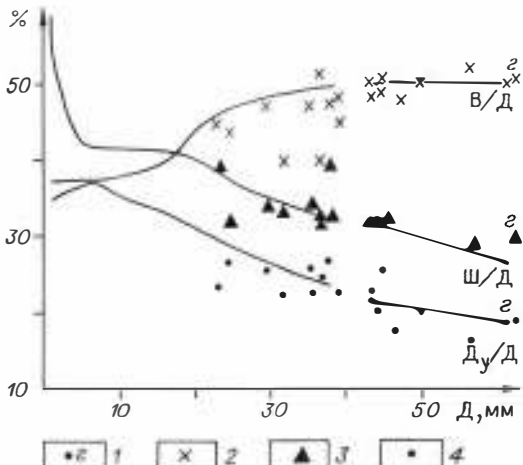




Рис. 28. Индивидуальная изменчивость лопастных линий *Parafrechites sublaqueatus*.

а - экз. 16/811, при Ш = 11,5 мм, В = 16,5 мм; б - экз. 14/811, при Ш = 12,3 мм, В = 14,5 мм; в - экз. 13/811, при Ш = 14 мм, В = 16,8 мм; г - экз. 20/811, при Ш = 12 мм, В = 16 мм; д - экз. 21/811, при Ш = 13,6 мм, В = 20,8 мм. Северный Хараулах, бассейн р. Кенгдей, руч. Артист-Агатын-Юрэгэ, зона *nevadanus* подзона *sublaqueatus*, один прослой конкреций.

Форма. Раковина голотипа при диаметре 21 мм имеет обороты округлого сечения. С ростом увеличивается относительная высота оборота и оборот при диаметре раковины 41 мм имеет овальное сечение, вытянутое в высоту с максимальной шириной вблизи умбрикального края. Вентральная сторона выпуклая, относительно широкая, плавно переходит в выпуклые боковые, умбрикальный край округленный, умбрикальная стенка низкая. Умбрикус умеренно широкий, мелкий, чашеобразный. У более крупного экземпляра вентральная сторона округленно-крышевидная, с округленным вентральным краем.

Длина жилой камеры и форма устья неизвестны.

Размеры (мм) и отношения (%)

Экз.	Д	В	Ш	D_y	В/Д	Ш/Д	D_y/D
50/811	41	18,2	15	10,6	44	37	26

Скульптура. На боковых сторонах частые (40 на оборот) тонкие сильно серповидно-изогнутые ребра. С возрастом ребра усиливаются, образуются раздвоения ребер от приумбрикальных вздутий (14 на оборот). У взрослых экземпляров ребра ослаблены в середине боковых сторон, усилены

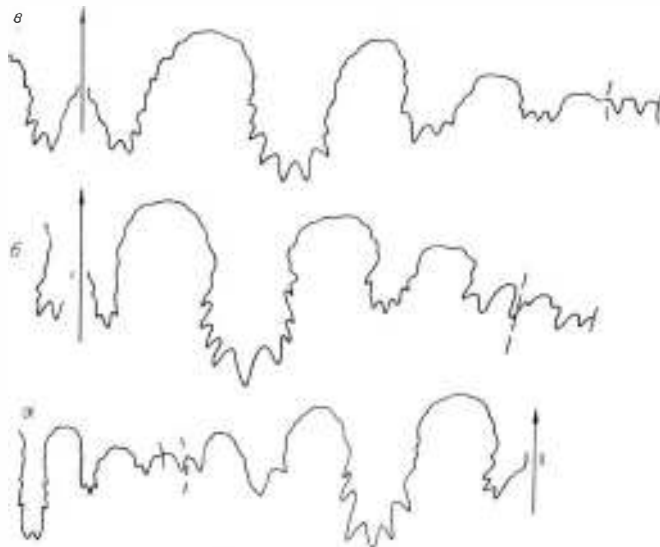


Рис. 29. Лопастные линии *Parafrechites*.

а - *P. evolutus*: экз. 50/811, при Ш = 15 мм, В = 18 мм; Северный Хараулах, бассейн р. Кенгдей, руч. Артист-Агатын-Юрэгэ, зона nevadanus, подзона sublaqueatus; б - *P. kharaulakhensis*: экз. 1/811, при Ш = 11,3 мм, В = 13,6 мм; местонахождение то же, зона nevadanus, подзона nevadanus; в - *P. egorovi*: экз. 55/811, при Ш = 15,5 мм, В = 25,2 мм; местонахождение то же, зона nevadanus, подзона sublaqueatus.

на вентральном крае, где приобретают вид косопоставленных, вытянутых вперед бугорков.

Лопастная линия (рис. 29, а). Вентральная лопасть сравнительно узкая, разделенная высоким и широким сифональным седлом на две узкие ветви. Боковая лопасть в 2 раза шире и уже U¹, лопасть I₂ широкая, мелкая. На умбрикальной стенке, около умбрикального шва, - клиновидный зубец. Лопасти внешней части линии с крупными зубцами в основании, поднимающимися вверх на стенки седел. Лопасть U¹ двузубчатая с крупным внутренним клиновидным зубцом в основании и мелким внешним, который расположен несколько выше, на внутреннем боковом склоне седла.

Сравнение. Отличия от наиболее близкого по скульптуре и форме раковины *Parafrechites meeki* (Mojsisovics) приведены в описании этого вида.

Распространение. Азиатский ярус, зона nevadanus подзона sublaqueatus севера Средней Сибири и Северо-Востока СССР.

Местонахождение и материал. Северный Хараулах, бассейн р. Кенгдей, руч. Артист-Агатын-Юрэгэ - 2 экз.; среднее течение р. Колымы, руч. Нимфа - правый приток р. Малая Бургали - 1 фрагмент оборота.

Parafrechites kharaulakhensis sp. nov.

Табл. 17, фиг. 2, 3

Название вида по хр. Хараулах.

Голотип. № 1/811. ЦСГМ. Северный Хараулах, бассейн р. Кенгдей, руч. Артист-Агатын-Юрэгэ; азиатский ярус, зона nevadanus, подзона sublaqueatus.

Диагноз. Раковины средних размеров, инволютные, умеренной толщины. Вентральная сторона пологовыпуклая, с низким слабым срединным килем. Вентральный и умбиликальный края округленные. На уплощенных боковых сторонах слабоизогнутые частые низкие ребра, утолщающиеся на вентральном крае. Поперечное сечение оборота округленно-трапециевидное, вытянутое в высоту. Умбиликус узкий, глубокий. Боковая лопасть с крупными зубцами в основании, U^1 узкая и мелкая, на умбиликальном крае — слабо индивидуализированная лопасть I_2 , сливающаяся с крупными зубцами на умбиликальной стенке.

Форма (рис. 30, а). На ранних оборотах поперечное сечение, по-видимому, изменялось от поперечно-ovalного до округлого. С ростом, при диаметре раковины около 14 мм, образуется высокая крутая умбиликальная стенка, вентральная и боковые стороны уплощаются, появляются округленные вентральный и умбиликальный края.

При $D = 36$ мм у экз. 2/811 поперечное сечение оборота удлиненно-трапециевидное с высотой, превышающей ширину в 1,4 раза. Ширина оборотов в приумбиликальной части максимальная. Вентральная и боковые стороны пологовыпуклые, уплощенные, вентральный и умбиликальный края округленные, умбиликальная стенка высокая, крутая. Умбиликус умеренно узкий, глубокий.

Жилая камера занимает около половины оборота, устье не сохранилось.

Размеры (мм) и отношения (%)

Экз.	D	B	Ш	D_y	B/D	Ш/D	D_y/D
1/811	54	26,1	16,4	9,9	48	30	18
2/811	37,1	18,9	13,3	7,2	51	36	19

Скульптура. На боковых сторонах низкие пологие частые ребра (промежутки между ребрами равны ширине ребер), слабоизогнутые на боковых сторонах, почти прямые, начинающиеся от умбиликального края в виде тонких струек. На вентральном крае они резко изгибаются вперед, усиливаются и затухают на вентральной стороне перед слабым срединным килем. Последний пересекают лишь тонкие струйки, образующие вентральный выступ. На жилой камере ребра сглаживаются, замещаясь пологими складками и струйками, киль исчезает.

Лопастная линия (см. рис. 29, б). Состоит во внешней части из относительно узкой вентральной лопасти, разделенной высоким узким сифональным седлом на две глубокие ветви, глубокой L , более мелких и узких U^1 и I_2 . На умбиликальной стенке несколько крупных зубцов, не индивидуализированных в лопасти. Боковая лопасть в 2 раза шире и глубже первой умбиликальной, с крупными зубцами в основании.

Сравнение. От *Parafrechites sublaqueatus* (Bytschko) отличается слабым низким срединным килем, толстыми внутренними оборотами округленно-четырехугольного сечения, глубоким умбиликусом. От *P. meeki* (Mojs.) отличается слабой скульптурой без приумбиликальных бугорков, узким умбиликусом.

Уплощенную вентральную и боковую стороны, низкий киль, слабоизогнутые ребра без бугорков имеет описанный Дж. П. Смитом *Ceratites altilis* /Smith, 1914, p. 83, pl. 67, fig. 19-21/, отнесенный им к группе *Ceratites* (*Frechites*) *occidentalis*. От этого вида *P. kharaulakhensis* отличается менее быстро нарастающими в высоту оборотами.

Распространение. Азиатский ярус, зона *nevadanus*, подзона *sublaqueatus* Северного Хараулаха.

Местонахождение и материал. Северный Хараулах, бассейн р. Кенгдей, руч. Артист-Агатын-Юрэгэ - 2 экз.

Parafrechites egorovi sp. nov.

Табл. 16, фиг. 2, 3

Название вида в честь геолога А.Ю. Егорова.

Голотип. № 55/811. ЦСГМ. Северный Хараулах, бассейн р. Кенгдей, руч. Артист-Агатын-Юрэгэ; азиатский ярус, зона *nevadanus*, подзона *sublaqueatus*.

Диагноз. Раковины средних размеров, инволютные, уплощенные. Вентральная сторона крышевидная, с возвышающимся обособленным килем. Боковые стороны уплощенные, слабовогнутые в приумбиликальной части. Вентральный и умбиликальный края отчетливые. Умбиликус узкий, с невысокой отвесной стенкой. Сечение оборота овальное, вытянутое в высоту. На боковых сторонах сигmoidальные ребра, сглаживающиеся на средних стадиях роста, неясно дихотомирующие на поздних.

Форма (см. рис. 30, б). На первом-четвертом оборотах раковина эволютная со слабообъемлющими оборотами поперечно-овального, округлого сечения. Вентральная и боковые стороны выпуклые, умбиликус широкий, мелкий.

На пятом обороте резко возрастает относительная высота оборота, об разуется отвесная умбиликальная стена.

Взрослые раковины (шесть-семь оборотов) инволютные, уплощенные. Поперечное сечение оборота овальное, вытянутое в высоту. Вентральная сторона крышевидная, вентральный и умбиликальный края округленные, боковые стороны пологовыпуклые, уплощенные в средней части оборота, слабовогнуты в приумбиликальной. Умбиликальная стена отвесная, невысокая. Умбиликус узкий.

Жилая камера и устье не сохранились.

Размеры (мм) и отношения (%)

Экз.	Д	В	Ш	$\frac{Д}{У}$	В/Д	Ш/Д	$\frac{Д}{Д}$
53/811	18,5	10,1	6,5	4	55	35	22
54/811	32,5	15,5	10,8	6,8	49	34	21
55/811	51,5	25,9	15	8,3	50	29	16

Скульптура. На первых трех оборотах раковина гладкая. С середины четвертого на боковых сторонах частые сигmoidальные ребра, берущие начало в нижней части боковых сторон, где слабовогнуты, на вентральном крае ослабляются, резко изгибаются вперед. В конце пятого оборота ребра сглаживаются, замещаются струйками роста. В середине шестого оборота в 1/3 его высоты от умбиликального шва появляются относительно редкие складкообразные ребра, между которыми с ростом, на седьмом обороте, по одному дополнительному ребру, подходящему своим началом к первым с образованием неясно раздваивающихся ребер. На вентральном крае ребра усилены, резко изогнуты вперед, в середине вентральной стороны только струйки роста, образующие вентральный выступ. Вентральная сторона с килем, сглаживающимся в конце шестого оборота.

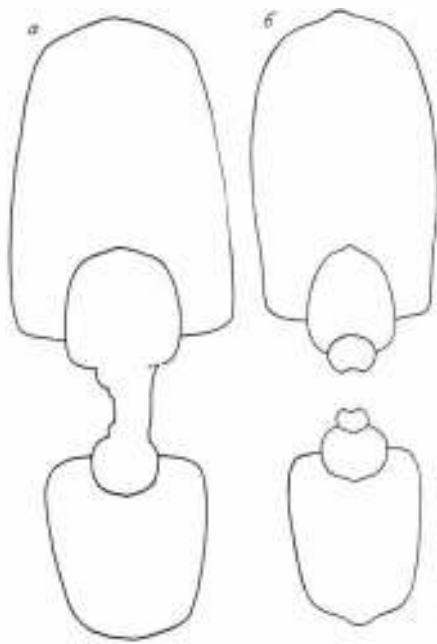


Рис. 30. Поперечные сечения *Parafrechites kharaulakhensis* и *P. egorovi*.

a - *P. kharaulakhensis*: экз. 2/811(х2,4); Северный Хараулах, бассейн р. Кенгдей, руч. Артист-Агатын-Юрэгэ, зона *nevadanus*, подзона *sublaqueatus*; б - *P. egorovi*: экз. 54/811, при $D = 32,5$ мм, местонахождение и возраст те же.

Лопастная линия (см. рис. 29, в) аналогична таковой других видов рода.

Сравнение. От всех описанных здесь видов рода *Parafrechites* отличается наличием стадии сглаживания скульптуры (около пол-оборота) с последующим ее возрождением на поздних стадиях роста. Раннее исчезновение скульптуры наблюдается и у *Parafrechites dunni* (Smith) /Silberling, Nichols, 1982, p. 28, pl. 13, fig. 16-

18, 24-26/, от которого описываемый вид отличается более тонкой и скульптированной взрослой раковиной.

Замечания. Близкую форму раковины и скульптуру имеет род *Frechitoides* Konstantinov, 1987, у которого также отмечена стадия сглаживания ребристости. Описываемый вид не может быть отнесен к этому роду, так как имеет меньшее количество индивидуализированных лопастей.

Распространение. Анизорский ярус, зона *nevadanus*, подзона *sublaqueatus* Северного Хараулаха, побережья Оленекского залива моря Лаптевых.

Местонахождение и материал. Северный Хараулах, бассейн р. Кенгдей, руч. Артист-Агатын-Юрэгэ - 4 экз.; Оленекский залив моря Лаптевых, пос. Ыстаннах-Хочо - 1 неполный экз.

Parafrechites aff. meeki (Mojsisovics)

Табл. 17, фиг. 4-7

Форма. Раковины средних размеров, сильно вздутые на ранних стадиях роста и уплощенные или средней толщины на поздних. Поперечное сечение оборотов при диаметре раковины 4-11 мм поперечно-овальное, с выпуклымиентральной и боковыми сторонами. Ширина оборотов превышает высоту в 1,5-2 раза. Умбиликус от широкого до умеренно широкого.

При диаметре раковины более 15-19 мм поперечное сечение оборотов становится округленно-трапециевидным с максимальной шириной около умбиликального края.

Взрослые раковины инволютные, с сильнообъемлющими оборотами, быстро нарастающими в высоту. Центральная и боковые стороны уплощенные, пологовыпуклые, центральный и умбиликальный края отчетливые, окруженные, умбиликальная стенка высокая, крутая. Умбиликус умеренно узкий, глубокий.

Жилая камера сохранилась неполностью, занимает половину оборота, устье не сохранилось.

Размеры (мм) и отношения (%)

Экз.	Д	В	Ш	Д _у	В/Д	Ш/Д	Д _у /Д
3/811	32,8	16,9	12,2	7	51	37	21
4/811	33,3	16,3	15	7,5	49	45	23
6/811	23,8	10,4	10,5	7,5	44	44	32
7/811	43,3	22,7	15	8,1	54	35	19
8/811	50,8	24,6	-	11,4	48	-	22

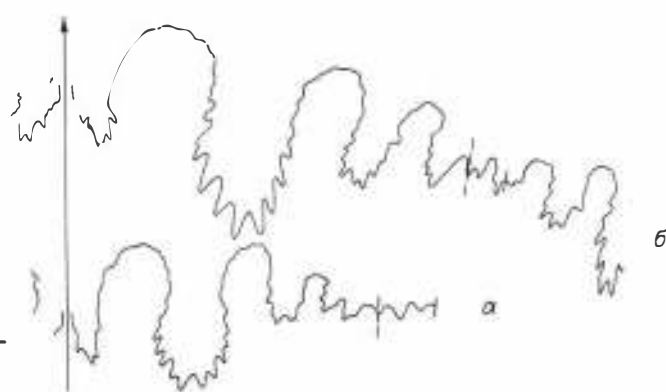
Скульптура. На боковых сторонах чередование основных и дополнительных слабо сигмоидально-изогнутых ребер (24–30 на оборот). Основные ребра около умбиликального края образуют продолговатые вздутия или бугорки, смещающиеся с ростом на боковую сторону. Между основными ребрами по одному дополнительному, начинающемуся в 1/3–1/2 высоты оборота от умбиликального края. На вентральном крае ребра резко изгибаются вперед, немножко усиливаются и затухают на вентральной стороне перед округлым срединным килем. Последний пересекают лишь тонкие струйки, образующие выступ вперед. Дополнительные ребра подходят своими нижними концами к основным и от них отходит по 2–3 ребра, берущих начало от вздутий или бугорков основного ребра. На вентральной стороне киль, сглаживающийся с ростом. Отмечена параболическая скульптура, которая появляется в индивидуальном морфогенезе на третьем обороте и наблюдается до конца пятого – начала шестого оборота.

Лопастная линия (рис. 31). В целом идентична таковой вышеописанных видов. Отличительной чертой линии являются мелкие размеры лопасти U₁ относительно L, крупные зубцы в основании последней и на приумбиликальном отрезке.

Сравнение. Описываемый вид наиболее близок к *Ceratites* (*Gymnotoceras*) *wemplei* Smith [Smith, 1914, p. 113, pl. 68, fig. 1–9], но отличается от него более слабой ребристостью взрослых экземпляров, а также слабым килем на вентральной стороне. Параболическая скульптура, наблюдающаяся у *Parafrechites* aff. *meeki* (Mojsisovics), чрезвычайно сходна со скульптурой, видной на самом маленьком экземпляре *Ceratites* (*Gymnotoceras*) *wemplei*, изображенном Дж. П. Смитом Smith, 1914, pl. 68, fig. 7/.

Рис. 31. Лопастные линии *Parafrechites* aff. *meeki*.

а – экз. 6/811, при Ш = 11 мм, В = 10,7 мм (5 оборотов); Оленекский залив, пос. Ыстаннах-Хочо; б – экз. 4/811, при Ш = 14,9 мм, В = 17,3 мм; Северный Хараулах, бассейн р. Кенгдей, руч. Артист-Агатын-Юрэгэ. Зона *nevadanus*, подзона *sublaqueatus*.



Очень близок к описываемому виду по форме раковины и скульптуре *Ceratites* (*Gymnotoceras*) *spurri* Smith, который не имеет параболических бугорков. Идентичную скульптуру и форму раковины имеют формы, отнесенные Н. Сильберлингом и К. Николс к *Parafrechites meeki* (Mojs.) /Silberling, Nichols, 1982, pl. 12, fig. 14, 17/, в синонимику которого был сведен *Ceratites* (*Gymnotoceras*) *wemplei* Smith. Однако *Parafrechites meeki* (Mojs.) с севера Средней Сибири резко отличаются от описываемых форм более тонкими внутренними оборотами и отсутствием параболических скульптур на всех стадиях роста.

Распространение. Азийский ярус, зона *nevadianus*, подзона *sublaqueatus* севера Средней Сибири.

Материал. Оленекский залив моря Лаптевых, пос. Ыстаннах-Хочо-2 экз.; Северный Хараулах, бассейн р. Кенгдей, руч. Артист-Агатын-Юрэгэ - 5 экз.; дельта р. Лены, Оленекская протока, руч. Таас-Крест - 1 экз.

Род *Frechitoides* Konstantinov, 1987

Beyrichites: Попов, Кипарисова, Робинсон, 1958, с. 36.

Hollandites: Попов, Кипарисова, Робинсон, 1958, с. 36.

Gymnotoceras: Попов, 1961, с. 79.

Frechites: Попов, 1961, с. 81.

Frechitoides: Константинов, 1987, с. 71.

Типовой вид. *Beyrichites migayi* Kiparisova, 1964; Восточный Таймыр, м. Цветкова; средний триас, азийский ярус, зона *nevadanus*, подзона *dzeiginense*.

Диагноз. Раковины крупные, умеренно инволютные с оборотами, быстро нарастающими в высоту, на средних стадиях роста дискоконовые, с возрастом становятся платиконовыми. Поперечное сечение последнего оборота субпрямоугольное, вытянутое в высоту. Боковые стороны с радиальными ребрами и складками, образующими продолговатые бугорки вблизи умбрикального края и в меньшей степени вблизи центрального. На центральной стороне внутренних оборотов слабый срединный киль, сглаживающийся с ростом. Умбрикальная стенка высокая, отвесная. Умбикус умеренно узкий. Лопастная линия субаммонитовая, со слабоизвилистыми стенками и вершинами седел, ее формула: $(V_1 V_1) LU^1 I_2 I^2 I^3 : I^1 I_1 (D_1 D_1)$, лопасти I^2 и I^3 двуветвистые.

Видовой состав. *Frechitoides liardensis* /McLearn, 1946b, p. 4, pl. 5, fig. 3/, F. *migayi* /Бычков, Кипарисова, 1968, с. 302, табл. 69, фиг. 2, 3/, F. *olenekensis* /Константинов, 1987, с. 77, табл. 11, фиг. 6, табл. 12, фиг. 2/, F. *carinatus* /Константинов, 1987, с. 79, табл. 12, фиг. 2-5/.

Сравнение. От *Beyrichites* Waagen, 1895 отличается общей формой раковины на поздних стадиях роста, округленно-прямоугольным сечением последнего оборота с уплощенными центральной и боковой сторонами, более грубой усиливающейся с ростом скульптурой, менее расчлененной лопастной линией.

От *Frechites* Smith, 1932 отличается более тонкой раковиной с высокими оборотами и узким умбикусом, иным характером скульптуры, а также большим количеством лопастей.

Замечания. Взрослый экземпляр, относящийся к этому роду и происходящий из азийских отложений м. Цветкова на Восточном Таймыре, изображен в "Основах палеонтологии" /Попов, Кипарисова, Робинсон, 1958, табл. 9, фиг. 7/ под названием *Hollandites* aff. *organi* Smith

и позднее отнесен к *H. orientalis* Bytschkov et Kiparisova /Бычков, Кипарисова, 1968, табл. 70, фиг. 2/. Однако голотип *H. orientalis* Byt. et Kipar., описанный по материалу с верховьев р. Колымы, отличается от таймырского экземпляра более широкими и редкими ребрами на жилой камере, относительно низким и менее объемлющим последним оборотом.

Описанные Ю.Н. Поповым /Попов, 1961/ *Frechites laptevi* Popow и F. cf. *lawsoni* Smith хотя и имеют поперечное сечение оборотов, близкое к *Frechites*, но четко отличаются от последнего тонкой раковиной, редкими складкообразными ребрами без отчетливых бугорков, характерных для рода *Frechites*.

К роду *Frechitoides* отнесен один вид из зоны *deleeni* Британской Колумбии – *Gymnotoceras liardense* McLearn, который по скульптуре и характеру лопастной линии: форме седел и лопастей, слабой заузбренности седел, близок с северосибирским представителем рода, в частности к *F. carinatus* Konst. Вероятно, к этому роду также относятся инволютные, гладкие и тонкоребристые формы *Gymnotoceras deleeni* /McLearn, 1969, p. 26, pl. 4, fig. 1, pl. 5, fig. 5/, имеющие крышевиднуюентральную сторону, как это наблюдается у типового вида описываемого рода. К этому роду относится также описанный Ю.Н. Поповым /Попов, 1961, с. 70, табл. 20, фиг. 5/ из азиатского яруса р. Оленек *Hungarites breisleri*, имеющий сходную скульптуру и форму раковины с молодыми *Frechitoides migayi* (Kipar.).

Распространение. Средний триас, азиатский ярус, зона *nevadanus*, подзона *dzeginense* севера Средней Сибири; зона *deleeni* Британской Колумбии, зона *laqueatus* Свальбарда.

Frechitoides migayi (Kiparisova), 1964

Табл. 18, фиг. 1-3, 5, 6

Beyrichites migayi: Попов, Кипарисова, Робинсон, 1958, с. 36, табл. 9, фиг. 4, рис. 24, в; Бычков, Кипарисова, 1968, с. 302, табл. 69, фиг. 2, 3.

Hungarites breisleri: Попов, 1961, с. 70, табл. 20, фиг. 5.

Gymnotoceras tuberculatum: Попов, 1961, с. 79, табл. 17, фиг. 1.

Frechites laptevi: Попов, 1961, с. 81, табл. 17, фиг. 5.

Frechitoides migayi: Константинов, 1987, с. 74, табл. 11, фиг. 1-5.

Голотип № 13/9032. ЦНИГРМузей. Восточный Таймыр, м. Цветкова; азиатский ярус.

Форма (рис. 32). На первых двух-трех оборотах раковина овально-яйцевидная, с широкой пологовыпуклой вентральной стороной. Вентральный край округленно-угловатый. Боковые стороны пологовыпуклые, поперечное сечение оборотов поперечно-овальное, затем круглое. Умбиликус широкий, мелкий.

На четвертом-пятом оборотах раковина дисконочная, с умеренно узким умбиликусом, округленно-треугольным сечением оборотов, вытянутым в высоту. На пятом обороте формируется умбиликальная стенка, обороты сильно объемлющие, охватывающие более 2/3 высоты предыдущего оборота.

На шестом-седьмом оборотах вентральная сторона крышевидная, затем уплощенная, поперечное сечение оборотов субпрямоугольное, сильно вытянутое в высоту. Умбиликальный край резкий, угловатый, умбиликальная стенка высокая, отвесная, умбиликус глубокий, занимает 14-19 % диаметра раковины.

Жилая камера занимает более 1/2-3/4 оборота, устье не сохранилось

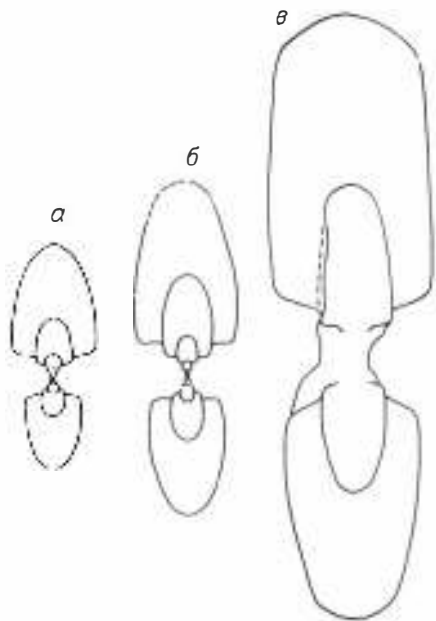


Рис. 32. Поперечные сечения раковин *Frechitooides migayi*.

а - экз. 15/805, при $D = 29,5$ мм; Оленекский залив, руч. Стан-Хая-Юрэгэ;
б - экз. 14/805, при $D = 40$ мм; Оленекский залив, м. Улахан-Крест; в -
экз. 13/805, при $D = 73$ мм; Восточный Таймыр, м. Цветкова. Зона *nevadensis*, подзоны *dzeiginense*.

Размеры (мм) и отношения (%)

Экз.	D	B	W	D_y	B/D	W/D	D_y/D
805/1	14,5	7	4,6	3,8	48	32	26
805/2	25,6	13	7,1	4,6	51	28	18
805/3	31	15,5	8,7	5,3	50	28	17
805/4	40,8	20,5	14	7	50	34	17
805/5	44,5	21,3	15,3	9	48	34	20
805/6	57	28,8	18	8,3	51	32	15
805/7	42	20,7	14,1	7,6	49	34	18
805/8	61,6	30,4	18,3	9,9	49	29	16
805/9	75	36,5	23,8	14,4	49	32	19
805/10	24,8	12,4	7	4,8	50	28	19
164/811	23,6	12,3	7,7	4,6	52	33	19
165/811	24,6	12,5	8	5,6	51	33	23
166/811	26	13,2	8,5	5	51	33	19
167/811	29,7	16,3	-	4,8	55	-	16
168/811	34,5	16,8	11,4	6,5	49	33	19

Скульптура. На первых двух оборотах раковина гладкая. На третьем-четвертом оборотах на боковых сторонах частые простые, сигмоидальные ребра, которые с ростом сглаживаются (пятый оборот - начало шестого) и остаются только у вентрального края. На шестом-седьмом оборотах вблизи умбрикального края появляются редкие радиальные складки (до 4-5 на пол-оборота). Перед жилой камерой ребра немного усиливаются, более частые за счет раздвоения и образования дополнительных ребер. Боковые стороны конечной жилой камеры несут частые, простые ребра, несколько усиливающиеся у вентрального края. На вентральную сторону ребра не переходят, здесь развиты струйки и линии роста, образующие вентральный выступ.

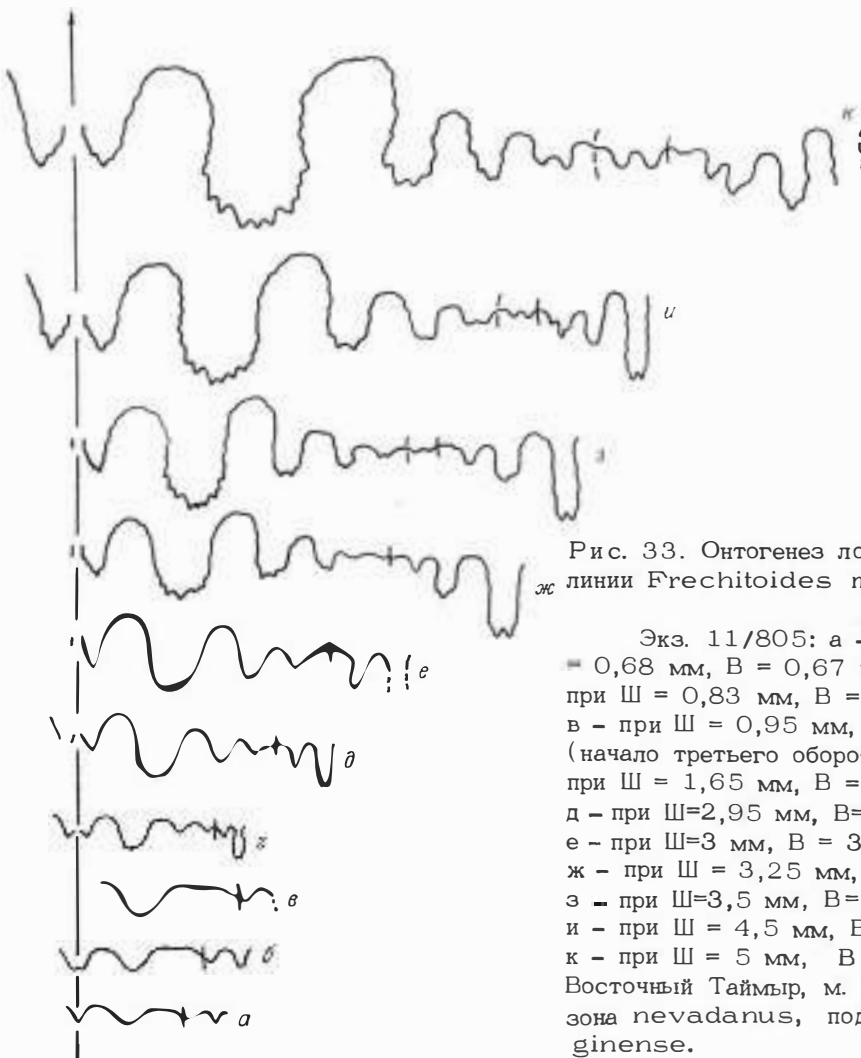


Рис. 33. Онтогенез лопастной линии *Frechitoides migayi*.

Экз. 11/805: а - при $Ш = 0,68$ мм, $В = 0,67$ мм; б - при $Ш = 0,83$ мм, $В = 0,85$ мм; в - при $Ш = 0,95$ мм, $В = 1$ мм (начало третьего оборота); г - при $Ш = 1,65$ мм, $В = 1,85$ мм; д - при $Ш = 2,95$ мм, $В = 2,35$ мм; е - при $Ш = 3$ мм, $В = 3,85$ мм; ж - при $Ш = 3,25$ мм, $В = 4,7$ мм; з - при $Ш = 3,5$ мм, $В = 5,35$ мм; и - при $Ш = 4,5$ мм, $В = 6,5$ мм; к - при $Ш = 5$ мм, $В = 8,3$ мм. Восточный Таймыр, м. Цветкова, зона *nevadanus*, подзона *deginense*.

Лопастная линия (рис. 33). При $Ш = 0,68$ мм, $В = 0,67$ мм линия пятилопастная, лопасти V и D узкие, L и I широкие, в вершине седла L/I мелкая U^1 (см. рис. 33, а). При $Ш = 0,83$ мм, $В = 0,85$ мм вентральная и дорсальная лопасти разделены на две ветви (см. рис. 33, б). При $Ш = 0,95$ мм, $В = 1$ мм (начало третьего оборота) происходит деление внутренней боковой лопасти на две с запаздыванием внешней ветви (см. рис. 33, в). Далее при $Ш = 2,95$ мм, $В = 2,5$ мм лопасть I^1 , образовавшаяся ранее на седле I_2/I_1 , переходит на внутреннюю сторону оборота, на седле I_2/I^1 образована лопасть I^2 , расположенная на внешней стороне оборота (см. рис. 33, д). Лопасти L и U^1 зазубриваются в основании. При $Ш = 3$ мм, $В = 3,85$ мм на седле I^2/I^1 образуется лопасть I^3 , которая затем симметрично делится на две лопасти и смещается на внешнюю сторону оборота. Впоследствии стенки и вершины седел приобретают гофри-

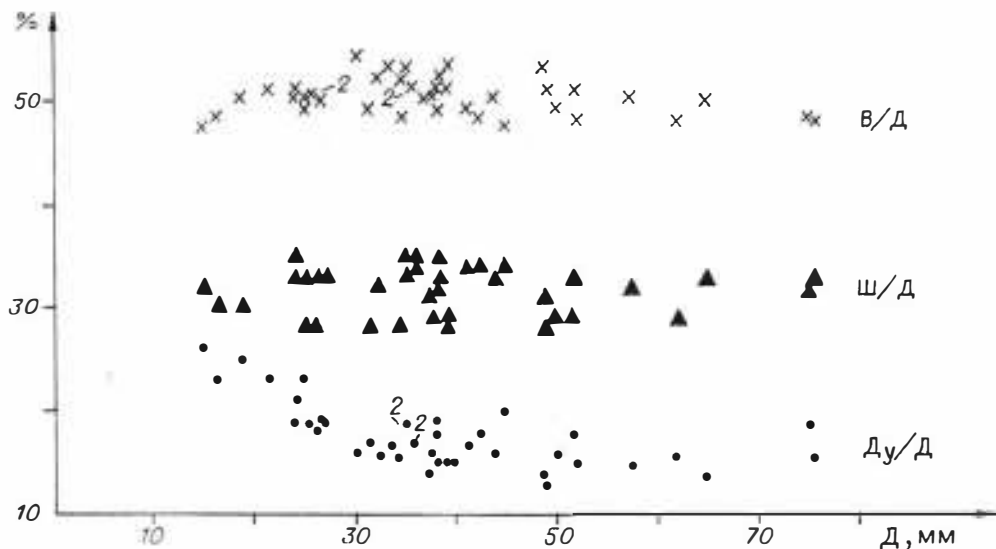


Рис. 34. Индивидуальная и возрастная изменчивость *Frechitoides migayi* (число замеров 41). Усл. обозн. см. на рис. 6.

ровку. Развитие лопастной линии происходит по следующей схеме: VL:ID → → (v₁v₁)LU¹:I(D₁D₁) → (v₁v₁)LU¹I₂:I₁(D₁D₁) → → (v₁v₁)LU¹I₂:I¹I₁(D₁D₁) → (v₁v₁)LU¹I₂I²:I¹I₁(D₁D₁) → → (v₁v₁)LU¹I₂(I²I₁)(I³I₁):I¹I₁(D₁D₁).

Изменчивость (рис. 34). Индивидуальная изменчивость параметров раковины незначительная. Наиболее сильно варьирует скульптура, в частности сила ребер на ранних стадиях роста (на третьем-четвертом оборотах), различна продолжительность стадии сглаживания ребристости. Так, в одной выборке из одного слоя района м. Цветкова есть как тонкоребристые, почти гладкие формы (табл. 18, фиг. 1, 2), так и более груборебристые формы, у которых более отчетливым становится и вентральный киль. На стадии сглаживания скульптура одних экземпляров представлена только струйками роста, у других ребра ослабевают на боковых сторонах, оставаясь в виде коротких, косопоставленных вперед туберкулов на вентральном крае. Изменчива сила и частота приумбиликальных складок. Некоторой изменчивости подвержена лопастная линия на умбиликальной стенке.

Сравнение. От наиболее близкого *Frechitoides olenekensis* Konst. отличается менее вздутыми и низкими последними оборотами, менее грубыми ребрами на поздних стадиях роста. От инволютных тонкоскульптированных форм этого вида *F. migayi* (Kipar.) отличается короткой стадией сглаживания ребристости. У *F. olenekensis*, напротив, фрагмокон почти полностью гладкий, приумбиликальные бугорки в месте раздвоения ребер наблюдаются в конце такового за пол-оборота и менее до жилой камеры.

Замечания. Ю.Н. Попов /Попов, 1961/ описал из азиатских отложений м. Цветкова *Gymnotoceras tuberculatum* и *Frechites laptevi*. Оба вида имеют близкую форму раковины и скульптуру, в частности хорошо выраженные приумбиликальные бугорки или складки. Вентральная сторона гологипсов обеих форм округленно-крышевидная, что наблюдается и у *F. mi-*

gayi (Kipar.) при тех же размерах раковины. Более сильная туберкуляция ребер у *G. tuberculatum* Popow на вентральном и умбиликальном крае, вероятно, объясняется индивидуальной изменчивостью. Эти формы ничем существенно не отличаются от описываемого вида и, скорее всего, являются синонимами последнего. Также молодым *F. migayi* является экземпляр, описанный в той же работе (Попов, 1961) как *Hungarites breisleri*.

Распространение. Средний триас, анизийский ярус, зона *nevadanus*, подзона *dzeginense* севера Средней Сибири; зона *deleeni* Британской Колумбии, зона *laqueatus* Свальбарда.

Местонахождение и материал. Восточный Таймыр, м. Цветкова – 160 экз. и 120 неполных раковин и фрагментов оборотов; Оленекский залив моря Лаптевых; пос. Ыстиннах-Хочо – 10 экз.; руч. Стан-Хая-Юрэгэ – 20 экз., м. Улахан-Крест – 10 экз.; дельта р. Лены. Оленекская протока, руч. Таас-Крест – 10 экз.

Frechitoides olenekensis Konstantinov, 1987

Табл. 19, фиг. 2, 3; табл. 20, фиг. 1

Hollandites aff. *organii*: Попов, Кипарисова, Робинсон, 1958, табл. 9, фиг. 7.

Hollandites orientalis: Бычков, Кипарисова, 1968, табл. 70, фиг. 2 (нет фиг. 1 = *H. orientalis* Byt. et Kipar.).

Frechitoides olenekensis: Константинов, 1987, с. 77, табл. 11, фиг. 6, табл. 12, фиг. 1.

Голотип. № 20/805. ЦСГМ. Оленекский залив моря Лаптевых, м. Улахан-Крест; анизийский ярус, зона *nevadanus*, подзона *dzeginense*.

Форма. На ранних оборотах раковина офиоконовая со слабообъемлющими оборотами поперечно-овального, округлого сечения. С ростом на четвертом обороте возрастают относительная высота и степень объемлемости оборотов, обороты удлиненно-овального сечения. В конце четвертого – начале пятого оборота образуется умбиликальная стенка. Вентральная сторона крыловидная, с поднятием посередине, вентральный край округленный, боковые стороны уплощенные, максимальная ширина оборота вблизи умбиликуса. Далее, на шестом–седьмом оборотах, вентральная сторона уплощается, обороты окруженно–прямоугольного сечения.

Жилая камера занимает немногим более половины оборота, устье не сохранилось.

Размеры (мм) и отношения (%)

Экз.	Д	В	Ш	Д _y	В/Д	Ш/Д	Д _y /Д
20/805	57,4	27,1	18	12,1	47	31	21
21/805	71,6	34,3	23,6	14	48	33	20
22/805	51,5	24,9	18,6	8,7	48	36	17
23/805	82,3	41	21,5	12,5	50	26	15
24/805	61,3	30,4	18,3	9,3	50	30	15
	85,5	42,2	21	14,2	50	25	17
25/805	44,5	19,8	14,3	9,5	44	32	21

Скульптура. На ранних стадиях роста (третий–четвертый обороты) боковые стороны с частыми сигмоидальными ребрами (около 40 на оборот), резко изгибающимися вперед на вентральном крае и переходящими на вент-

ральную сторону, где они доходят до слабого срединного киля.

С ростом на пятом обороте, ребра сглаживаются и замещаются линиями роста..

В конце фрагмокона и в начале жилой камеры на боковых сторонах чередование более грубых, вздутых около умбиликального края, основных ребер и более коротких и слабых дополнительных (по 7 тех и других у экз. 20/805).

На боковых сторонах жилой камеры частые простые радиальные ребра (табл. 19, фиг. 2а).

Лопастная линия (рис. 35, а, б) аналогична таковой вышеописанного вида.

Изменчивость. Индивидуальная изменчивость заключается в вариациях относительной высоты и ширины оборотов, с которыми коррелятивно связана степень развития скульптуры на поздних стадиях роста. У экземпляров с относительно тонкой раковиной и высокими оборотами в конце фрагмокона и в начале жилой камеры ребра только вздуты в приумбиликальной части. У некоторых форм (табл. 19, фиг. 2а) эти вздутия заметны на 1-2 ребрах. Экземпляры с относительно толстой раковиной имеют более низкие обороты, более грубую скульптуру с сильными вздутиями на ребрах (табл. 20, фиг. 1). Стадия вздутых ребер у них продолжительнее, чем у экземпляров с тонкой раковиной.

Сравнение. Отличия от *Frechitoides migayi* (Kipar.) даны в описании *F. migayi*. От нижеописанного *P. carinatus* Konst. отличается гораздо менее рельефным срединным вентральным килем на внутренних оборотах, почти гладкой раковиной на средних стадиях роста, в то вре-

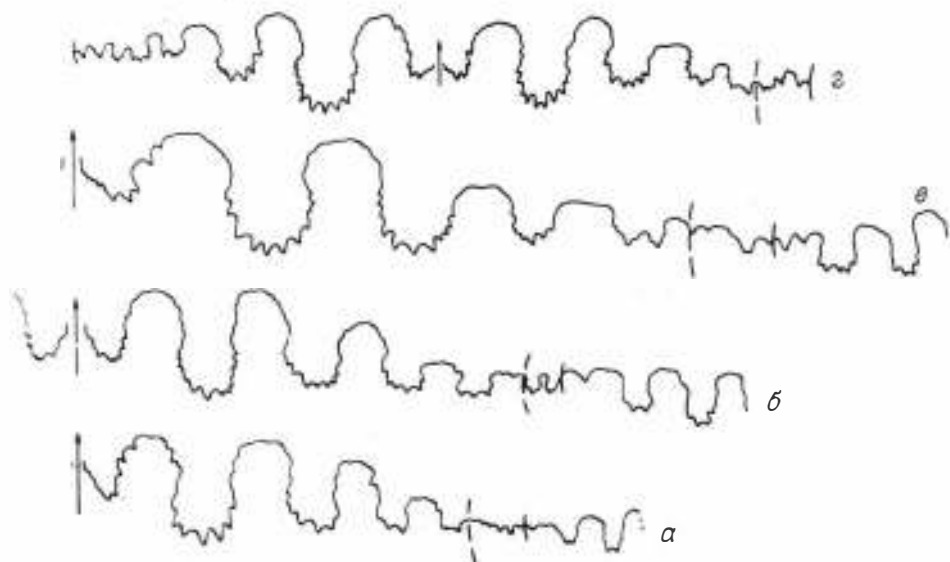


Рис. 35. Лопастные линии *Frechitoides*.

а, б - *F. olenekensis*: а - экз. 25/805, при Ш = 8,3 мм, В = 12,5 мм (пятый оборот); б - экз. 24/805, при Ш = 17 мм, В = 29 мм; Оленекский залив, м. Улахан-Крест; в, г - *F. carinatus*: в - экз. 28/805 при Ш = 15,1 мм, В = 22 мм; Оленекский залив, руч. Стан-Хая-Юрэгэ; г - экз. 29/805, при Ш = 13 мм, В = 18,4 мм; Восточный Таймыр, м. Цветкова. Зона *nevadanus*, подзоны *dzeginense*.

мя как у *F. carinatus* стадия сглаживания ребристости слабо выражена и проявляется лишь в частичном ослаблении ребер на боковых сторонах.

Замечания. Близкую форму раковины и скульптуру имеет описанный Дж. П. Смитом /Smith, 1914/ *Ceratites (Hollandites) organi*, от которого описываемый вид отличается тонкими и менее груборебристыми внутренними оборотами.

Распространение. Анизийский ярус, зона *nevadanus*, подзона *dzeginense* Оленекского залива моря Лаптевых.

Местонахождение и материал. Оленекский залив моря Лаптевых, м. Улахан-Крест – 10 экз.

Frechitoides carinatus Konstantinov, 1987

Табл. 18, фиг. 4; табл. 19, фиг. 1, 4, 5

Frechitoides carinatus: Константинов, 1987, с. 79, табл. 12, фиг. 2–5.

Голотип. № 28/805. ЦСГМ. Оленекский залив моря Лаптевых, руч. Стан-Хая-Юрэгэ; анизийский ярус, зона *nevadanus*, подзона *dzeginense*.

Форма. На первых трех оборотах раковина офиоконовая с широким мелким умбиликусом. Обороты слабообъемлющие поперечно-овального и округлого сечения. С ростом на четвертом обороте увеличивается относительная высота и объемлемость оборотов, на пятом обороте образуется умбиликальная стенка. Вентральная сторона уплощенно-крышевидная, вентральный и умбиликальный края округленные, боковые стороны пологовыпуклые. На шестом–седьмом оборотах вентральная и боковые стороны уплощенные, поперечное сечение оборотов трапециевидное, вытянутое в высоту, затем субпрямоугольное. Обороты сильнообъемлющие, охватывают более 2/3 высоты предыдущих.

Жилая камера занимает около половины оборота, устье не сохранилось.

Размеры (мм) и отношения (%)

Экз.	Д	В	Ш	Д _у	В/Д	Ш/Д	Д _у /Д
28/805	37,2	19,6	12,7	–	53	39	–
	57	28,1	–	9,6	49	–	17

Скульптура. На первых двух оборотах раковина гладкая, на третьем на боковых сторонах появляются тонкие сигмоидальные редкие ребра (8 на оборот), между ними иногда по одному дополнительному. На четвертом–пятом оборотах ребра частые, довольно сильные, простые и раздваивающиеся от приумбиликальных бугорков. Реже от последних отходит по 3 ребра (табл. 19, фиг. 4а). На боковых сторонах они ослаблены, усиливаются и резко изгибаются вперед на вентральном крае, где приобретают вид косопоставленных вперед продолговатых бугорков. На вентральной стороне ребра ослабевают и доходят до срединного киля.

Перед жилой камерой и в начале ее на боковых сторонах ребра, раздваивающиеся от продолговатых приумбиликальных бугорков, затем простые ребра (табл. 19, фиг. 5а).

Лопастная линия (см. рис. 35, в) голотипа аналогична таковой вышеописанных видов. Лопастные линии таймырских экземпляров несколько отличны в приумбиликальной части: на внешней стороне оборота I² не всегда отделена от ряда зубцов на умбиликальной стенке (см. рис. 35, г).

Сравнение. Отличается от *Frechitoidea migayi* (Кипар.) и *F. olenekensis* Konst. более четким морфологически обособленныментральным килем, который у этих видов низкий, слабый. Приумбиликальные бугорки у *F. carinatus* Konst. и отходящие от них ребра появляются рано в онтогенезе, стадия сглаживания ребристости выражена слабо.

От очень близкого *F. liardensis* (McLearn) из зоны *deleeni* Британской Колумбии отличается более грубыми ребрами на поздних стадиях роста.

Распространение. Азиатский ярус, зона *nevadanus*, подзона *dzeginense* Восточного Таймыра и побережья Оленекского залива моря Лаптевых.

Местонахождение и материал. Восточный Таймыр, м. Цветкова - 5 экз.; Оленекский залив моря Лаптевых, руч. Стан-Хая-Юргэ - 1 экз.

СЕМЕЙСТВО LONGOBARDITIDAE SPATH, 1951

Подсемейство *Longobarditinae* Spath, 1951

Род *Longobardites* Mojsisovics, 1882

Longobardites: Mojsisovics, 1882, S. 184; Salomon, 1895, S. 200; Reis, 1901, S. 91; Hyatt, Smith, 1905, p. 132 (part.); Smith, 1914, p. 50 (part.); Diener, 1915, S. 186 (part.); McLearn, 1948, p. 17 (part.); 1951, p. 9 (part.); 1969, p. 31 (part.); Spath, 1951, p. 21 (part.); Kummel in Arkell, Kummel, Wright, 1957, p. 156; Попов, Кипарисова, Робинсон, 1958, с. 25; Assereto, Casati, 1966, p. 361; Шевырев, 1968, с. 144 (part.); Архипов, 1974, с. 237 (part.).

Dalmatites: Smith, 1914, p. 58.

Neodalmatites: Spath, 1951, p. 24; Kummel in Arkell, Kummel, Wright, 1957, p. 156; Попов, Кипарисова, Робинсон, 1958, с. 38 (part.).

Longobarditoides: Шевырев, 1961, с. 74.

Longobardites (*Longobarditoides*): Assereto, 1966, p. 963; He, Wang, Chen, 1986, p. 213.

Типовой вид. *Longobardites breguzzanus* Mojsisovics, 1882; азиатский ярус, зона *trinodosus* Альп.

Диагноз. На ранних стадиях роста (первый-четвертый обороты) раковина овально-циркулярная, умеренной толщины, эволютная с медленно нарастающими в высоту слабообъемлющими оборотами. Сечение оборотов от поперечно-овального до овального, вытянутого в высоту. Вентральная сторона от выпуклой до приостренной, без морфологически обособленного срединного киля. На боковых сторонах слабые приумбиликальные ребра и складки. С ростом на пятом-седьмом оборотах, раковина оксионовая, уплощенная, инволютная, с быстро нарастающими в высоту полностью объемлющими оборотами. Сечение оборота копьевидное с острой или округленно-крышевидной вентральной стороной, пологовыпуклыми боковыми. Умбиликус узкий или почти замкнутый, глубокий. Скульптура в виде струек роста, с двумя синусами или с одним на вентральной стороне. Лопастная линия цератитовая, многолопастная, лопасть U^2 глубже и шире лопасти U^1 при диаметре раковины более 10-15 мм.

Видовой состав. *Longobardites breguzzanus* /Mojsisovics, 1882, S. 185, Taf. 52, Fig. 1, 2/, L. *zsigmondyi* /Böckh, 1874, p. 177, pl. 4, fig. 14/, L. *avisanus* /Salomon, 1895, S. 200, Taf. 7, Fig. 3/, L. *furcopicatus* /Reis, 1901, S. 92, Taf. 4, Fig. 32, 33/, L. *parvus* /Smith, 1914, p. 60, pl. 30, fig. 1, 2/,

L. canadensis /McLearn, 1946b, p. 1, pl. 3, fig. 1, 5, 6/, *L. canadensis* Шевырев, 1961, с. 74, рис. 3-5/, *L. brembanus* /Assereto, Casati, 1966, p. 361, pl. 17, fig. 1-8/, *L. maramuniensis* /Skwarko, 1973, p. 41, pl. 18, fig. 1-8/, *L? arkagalensis* /Бычков и др., 1976, с. 98, табл. 26, фиг. 5/.

Сравнение. Отличия от наиболее близкого рода *Intornites* Assereto, 1966 приведены в описании этого рода.

Распространение. Азиатский ярус, зоны *trinodosus* и *reitzi*, ладинский ярус Альп, Балканского полуострова; зона *trinodosus* Северо-Западного Кавказа; среднеазиатский подъярус, зона *Hollandites* - *Beyrichites* провинции Qinghai Китая; формация Inai, верхнеладинский подъярус, зона *Protrachyceras archelaus* Японии; верхнеазиатский подъярус, зоны *rotelliforme*, *meeki* и нижняя часть зоны *occidentalis* Невады; зона *trinodosus* Новой Гвинеи; зона *deleeni* Британской Колумбии; верхнеазиатский подъярус Свальбарда, зона *nevadanus* севера Средней Сибири и Северо-Востока СССР.

Longobardites canadensis McLearn, 1946

Табл. 20, фиг. 2-8

Longobardites canadensis: McLearn, 1946b, p. 1, pl. 3, fig. 1, 5, 6; 1948, p. 19, pl. 3, fig. 1, 5, 6; pl. 10, fig. 3.

Longobardites nevadanus: McLearn, 1951, p. 13 (part.); 1969, p. 31, pl. 6, fig. 1, 2, 3, 6 (нет фиг. 4, 5 = *Longobardites nevadanus* (Hyatt et Smith)); Assereto, 1966, p. 963, pl. 69, fig. 5, 7; pl. 70, fig. 1, 3, 4? 6; Алексеев, Аркадьев, Вавилов, 1984, с. 55, табл. 5, фиг. 2, 3, рис. 2.

Форма (рис. 36). Начальная камера эллипсоидальная, шириной 0,6 мм. На первых трех с половиной оборотах раковина эволютная, офиоконовая, со слaboобъемлющими оборотами поперечно-овального (один-полтора оборота), округлого (второй-третий обороты) и овального вытянутого в высоту (три с половиной оборота) сечения. Центральная сторона и боковые выпуклые, на втором-третьем с половиной оборотах центральная сторона приостренная. Умбиликус от широкого, мелкого до умеренно узкого. К концу четвертого оборота резко возрастают относительная высота и объемлемость оборотов, четвертый оборот полностью перекрывает предыдущий.

На поздних стадиях роста (четыре с половиной - шесть оборотов) раковина оксиконовая, уплощенная, с быстро нарастающими в высоту оборотами кольцевидного сечения. Максимальная ширина оборота около умбиликального края. Центральная сторона острая, боковые - пологовыпуклые, умбиликальная стенка высокая, выпуклая, нависающая над предыдущими оборотами. Умбиликус очень узкий, почти замкнутый, глубокий. Стенки раковины сильно утолщены на умбиликальном крае.

Жилая камера и устье не сохранились.

Размеры (мм) и отношения (%)

Экз.	Д	В	Ш	Д _y	В/Д	Ш/Д	Д _y /Д
267/811	9,9	-	3,5	-	-	3,5	-
268/811	10,3	6,3	3,1	1,5	61	30	15
269/811	11,7	6,3	3,4	1,6	54	29	14
270/811	14,8	9,9	4,4	-	67	30	-
271/811	18,2	10,9	5,3	1,3	60	29	7
272/811	24,7	15,8	6,7	0,9	64	27	4
273/811	30,8	18,8	7	1?	61	23	3?

274/811	20,7	13	5,4	0,8	63	26	4
275/811	42	26	10	1,1	62	24	3
276/811	31	18,3	7	1	59	23	3
277/811	16,4	10	3,9	-	61	24	-
278/811	56,4	34,4	13,5	1,4	61	24	2
280/811	16,6	9	4,3	1,8	54	26	11
282/811	45,7	28	10,4	1,6	61	23	4
283/811	11,8	7	3,9	1,7	59	33	14
284/811	31	18,4	7,3	1,1	59	24	4

Скульптура. На ранних стадиях роста раковина гладкая. При диаметре раковины более 6–8 мм на боковой стороне около умбрикального края частые слабые складки (5–6 на пол оборота), сглаживающиеся к вентральной стороне, тонкие струйки роста двусинусного типа. Первый синус – в верхней части боковых сторон, второй – на вентральной стороне. Синусы разделены выступами, из которых вентролатеральный – узкий, приумбрикальный – широкий. Очертания складок совпадают с изгибами струек. Складки сглаживаются при диаметре раковины более 15–16 мм. Взрослая раковина гладкая с тонкими струйками роста, с 2–3 слабыми спиральными штрихами. Ядро раковины гладкое.

Лопастная линия (рис. 37) цератитовая, многолопастная. Вентральная лопасть широкая, разделена высоким и широким сифональным седлом на две узкие ветви. На боковой стороне при высоте оборота 38–40 мм, кроме вентральной, 9–10 лопастей. На ранних стадиях роста размеры лопастей и седел уменьшаются по направлению к умбрикусу (см. рис. 37, а), при диаметре раковины более 12–16 мм U^1 глубже I, седло V/L ниже L/U^1 . У взрослой раковины лопасти и седла образуют дугообразный ряд, выпуклый к устью, место максимального подъема дуги приходится на седло

U^1/U^2 . Лопасти V , L и U^1 , расширенные у основания, обычно с крупным центральным зубцом, от которого мелкие зубцы высоко поднимаются на стенки седел. Седла V/L , L/U^1 и U^1/U^2 с заостренными вершинами, слабо филлоидные, остальные седла на внешней и внутренней сторонах оборота овальные, с округленными вершинами, ширина седел больше таковой лопастей только на поздних стадиях роста. Характерен высокий подъем зубцов на стенки седел у лопастей U^2 , U^4 , U^6 .

Изменчивость. Вид относительно слабо изменчив. На ранних стадиях роста некоторым вариациям подвержена Δ_y/Δ_u , также степень выраженности радиальных складок. Отмечается некоторая изменчивость в темпах сглаживания скульптуры, в приобретении лопастной линией псевдоадвентивных черт, в достижении конечной стадии роста с оксиконовой раковиной. Наиболее инволютные формы гладкие уже при высоте оборота 4–5 мм (табл. 20, фиг. 6) с приостренной вентральной стороной; наиболее эволютные (табл. 20, фиг. 3, 4) имеют слабые складки при высоте оборота 8–9 мм.



Рис. 36. Поперечное сечение *Longobardites canadensis*.

Экз. 275/811, при $\Delta = 42$ мм; Оленекский залив, м. Улахан-Крест, зона nevadanus, подзона dzeginense.

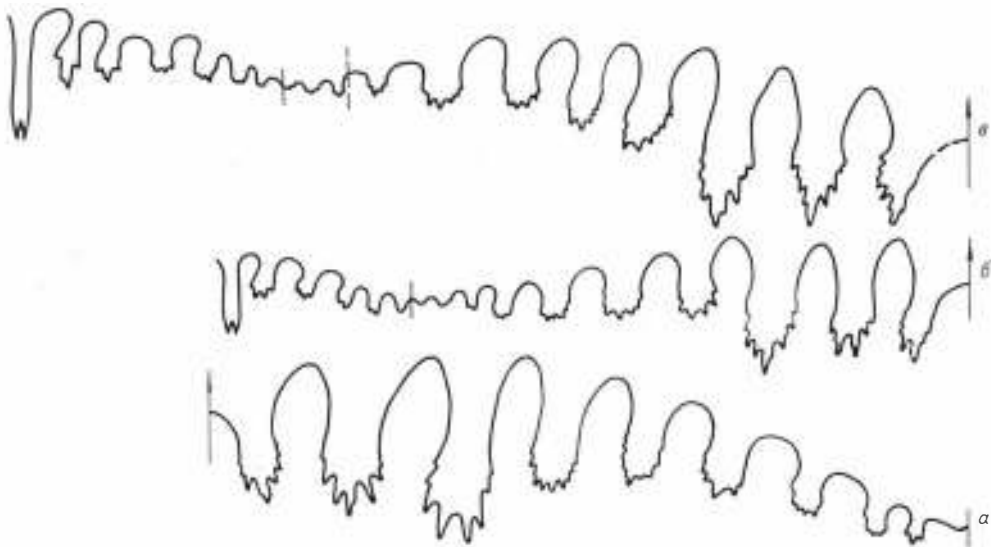


Рис. 37. Лопастные линии *Longobardites canadensis*.

а - экз. 279/811, при Ш = 15,9 мм, В = 38 мм; Оленекский залив, руч. Стан-Хая-Юрэгэ; б - экз. 276/811, при Ш = 6 мм, В = 15,5 мм; Оленекский залив, пос. Ыстаннах-Хочо; в - экз. 275/811, при Ш = 14 мм, В = 37 мм; м. Улахан-Крест. Зона *nevadanus*, подзона *dzeginense*.

Сравнение. По общей форме раковины и двусинусному типу струек роста *Longobardites canadensis* McLearn очень близок к типовому виду рода - *L. breguzzanus* /Mojsisovics, 1882, S. 185, Taf. 52, Fig. 1, 2/ из верхнего азиатского азиата, зоны *Paraceratites trinodosus* Альп, от которого отличается отсутствием округленного вентрального края, хорошо выраженного у альпийского вида. От *L. zsigmondyi* Böckh и *L. parvus* (Smith) отличается очертанием струек роста с двумя синусами.

Замечания. Описанные формы ранее определялись как *Longobardites nevadanus* Hyatt et Smith /Вавилов, 1973; Вавилов, Каплан, 1974; Дагис и др., 1979; Дагис, Казаков, 1984; Дагис, Константинов, 1986/. *L. nevadanus* Hyatt et Smith имеет внутренние обороты с морфологически обособленным вентральным килем /Silberling, Nichols, 1982/. Ранее на эту же особенность указывал Ф. Мак-Лерн /McLearn, 1969/. *Longobardites canadensis* McLearn, происходящий из зоны *deleeni* Британской Колумбии, имеет внутренние обороты без вентрального киля, что хорошо видно на фотографии поперечного сечения одного из топотипов, приведенной Р. Ассерето /Assereto, 1966, p. 960, ill. 5/. Поэтому *L. canadensis* McLearn не может быть синонимом *L. nevadanus* (Hyatt et Smith), который занимает более низкое стратиграфическое положение и известен в типовой местности из зоны *Balatonites shoshonensis* среднего азиата /Silberling, Nichols, 1982/. Первоначальная синонимизация этих видов /McLearn, 1951/ обусловлена некорректными сборами, когда *L. intornatus* McLearn (= *L. nevadanus* Hyatt et Smith) и *L. canadensis* /Tozer, 1971/ (как впоследствии оказалось, разновозрастные виды) рассматривались как

особи одной популяции, а отсутствие центрального киля у последнего вида принималось за результат сильной индивидуальной изменчивости на ранних стадиях роста.

Распространение. Азиатский ярус, зона *deleeni* Британской Колумбии, зона *nevadanus* севера Средней Сибири и среднего течения р. Колымы.

Местонахождение и материал. Восточный Таймыр, м. Цветкова - 2 экз. и 7 неполных экз.; район м. Цветкова - 10 экз. и 12 фрагментов оборотов; Оленекский залив моря Лаптевых: пос. Ыстаниах-Хочо - 3 экз., м. Улахан-Крест - 3 экз., руч. Стан-Хая-Юрэгэ - 2 экз.; нижнее течение р. Лены, о. Таас-Арыы - 1 экз.; Северный Хараулах, бассейн р. Кенгдей, руч. Артист-Агатын-Юрэгэ - 14 экз.; среднее течение р. Колымы, бассейн р. Малая Бургали, руч. Нимфа - 7 экз.

Род *Intornites Ascereto, 1966*

Longobardites: Hyatt, Smith, 1905, p. 132 (part.); Smith, 1914, p. 50 (part.); Diener, 1915, S. 186 (part.); Spath, 1951, p. 21 (part.); McLearns, 1948, p. 17 (part.), 1951, p. 9 (part.), 1969, p. 31 (part.); Шевырев, 1968, с. 144 (part.); Архипов, 1974.

Longobardites (*Intornites*): Ascereto, 1966, p. 963.

Intornites: Silberling, Nichols, 1982.

Типовой вид. *Longobardites intornatus* McLearns, 1946; Британская Колумбия, бассейн р. Тетса, формация Тоад, азиатский ярус, зона *varium*, подзона *Czekanowskites hayesi* /Tozer, 1971/.

Диагноз. На ранних стадиях роста раковины эволюционные, вздутые, с медленно нарастающими в высоту слабообъемлющими оборотами. Сечение оборота от поперечно-овального до овального, вытянутого в высоту. Центральная сторона с морфологически обособленным килем, боковые - с радиальными ребрами, складками, вздутыми около умбрикуса, реже с бугорками. С ростом на пятом-шестом оборотах раковина становится оксиконовой, инволютной, уплощенной, с быстро нарастающими в высоту, полностью объемлющими оборотами кольцевидного сечения. Центральная сторона острая, боковые - пологовыпуклые, постепенно переходящие в высокую выпуклую, нависающую над умбрикусом умбрикальную стенку. Скульптура только в виде струек роста двусинусного типа и 2-3 спиральных штрихов. Лопастная линия цератитовая, многолопастная, ее минимальная формула $(V_1 V_1) LU^1 U^2 U^4 U^6 U^8 : U^7 U^5 U^3 I (D_1 D_1)$. Седла V/L , L/U^1 и U^1/U^2

с заостренными вершинами, слабо филлоидные. В основании лопастей V , L , U^1 и U^2 1-2 крупных зубца, от которых более мелкие зубцы в различной степени поднимаются на стенки седел. Лопасть U^1 глубже L , а седло U^1/U^2 выше седла L/U^1 при диаметре раковины более 20 мм.

Видовой состав. *Intornites nevadanus* /Hyatt, Smith, 1905, p. 132, pl. 25, fig. 13-18/, *I. mcctaggarti* /McLearn, 1946a, p. 2, pl. 2, fig. 5/, *I. larvalis* /McLearn, 1948, p. 1, pl. 9, fig. 3, 4/, *I. oleshkoi* /Архипов, 1974, с. 239, табл. 11, фиг. 1, 2/, *I? constantis* /Архипов, 1974, с. 240, табл. 11, фиг. 3/.

Сравнение. От *Longobardites Mojsisovics*, 1882 отличается наличием обособленного центрального киля на внутренних оборотах, а также ребер, бугорков на боковых сторонах, деталями в строении лопастной линии - поздним появлением псевдоадвентивных черт. Также стадия оксиконовой раковины у *Intornites* появляется в онтогенезе позднее.

Замечания. В состав рода включен *Longobardites larvalis* /McLearn, 1948, p. 1, pl. 9, fig. 3, 4/. Этот вид имеетentralный киль, ограниченный бороздками, и бугорки на боковых сторонах. Отсутствие псевдоавентивных черт в строении лопастной линии, характерных для *Intornites*, объясняется, скорее всего, малыми размерами раковины.

Распространение. Азиатский ярус, среднеазиатский подъярус, зоны *Acrochordiceras hyatti* и *Balatonites shoshonensis* Невады, зона *varium* Британской Колумбии, верхнеазиатский подъярус, зона *rotelliforme*, подзона *asseretoi*, нижнеладинский подъярус, зоны *oleshkoi* и *omoljensis* севера Средней Сибири и Северо-Востока СССР.

Intornites nevadanus (Hyatt et Smith), 1905

Табл. 21, фиг. 1–6

Longobardites nevadanus: Hyatt, Smith, 1905, p. 132, pl. 25, fig. 13–16, 17–18 (нет pl. 58, fig. 16–18, 19–20; pl. 75, fig. 6, 7= *Longobardites parvus* (Smith)); Smith, 1914, p. 50, pl. 6, fig. 13–16, 17–18 (нет pl. 8, fig. 16–18, 19–20; pl. 12, fig. 6–7, 8–9; pl. 30, fig. 13–14, 15, 16=L. *parvus* (Smith)); McLearn, 1951, p. 13 (part.); 1969, p. 31, pl. 6, fig. 4, 5 (нет фиг. 1, 2, 3, 6, 7= *Longobardites canadensis* McLearn).

Longobardites intornatus: McLearn, 1946а, p. 1, pl. 1, fig. 1; 1948, p. 20, pl. 1, fig. 1; pl. 11, fig. 7–10.

Longobardites taimyrensis: Попов, Кипарисова, Робинсон, 1958, табл. 3, фиг. 8; Возин, Тихомирова, 1964, с. 53, табл. 28, фиг. 3; Бычков, Кипарисова, 1968, с. 299, табл. 69, фиг. 1; Бычков и др., 1976, с. 97, табл. 19, фиг. 3 ?, 4?.

Форма (рис. 38, а, б). Начальная камера эллипсоидальная шириной 0,7 мм. На первых четырех оборотах раковина эволютная, овиоконовая. Центральная и боковые стороны выпуклые, обороты слабообъемлющие попечечно-овального (один–два с половиной оборота), округлого (три–три с половиной оборота) и овального, вытянутого в высоту сечения (четыре оборота). Умбрикус широкий, мелкий.

К середине пятого оборота резко возрастают объемлемость и относительная высота оборотов. Центральная сторона при четырех с половиной оборотах узкоокругленная, боковые – пологовыпуклые, умбрикальный край округленный, умбрикальная стенка высокая, выпуклая, нависающая над умбрикусом. Оборот полностью объемлет предыдущий, копьевидного сечения с максимальной шириной около умбрикального края.

Взрослая раковина (шесть–семь оборотов) – уплощенный оксикон с острой центральной стороной, быстро нарастающими в высоту, почти полностью объемлющими оборотами копьевидного сечения. Умбрикус очень узкий, глубокий.

Жилая камера сохранилась неполностью, ее длина более половины оборота.

Размеры (мм) и отношения (%)

Экз.	Д	В	Ш	Д _у	В/Д	Ш/Д	Д _у /Д
253/811	13,9	7,9	3,9	2,2	57	28	16
254/811	46	26,8	12,3	4,1	58	27	9
255/811	63,5	39,8	16	2,8	63	25	4

256/811	74,3	45	18	3	61	24	4
257/811	32,5	20	8,2	2,3	62	25	7
258/811	70,4	42,2	15,3	2,8	60	22	4
259/811	54,5	33	15	3,6	61	26	7
260/811	45	26,7	12	3,2	59	27	7
261/811	63	38,5	16,4	2,4	61	26	4
262/811	15,7	9	4,8	3,5	57	31	22
263/811	39,8	24,5	12,5	-	62	31	-
264/811	61,5	36,5	20	2	59	33	3

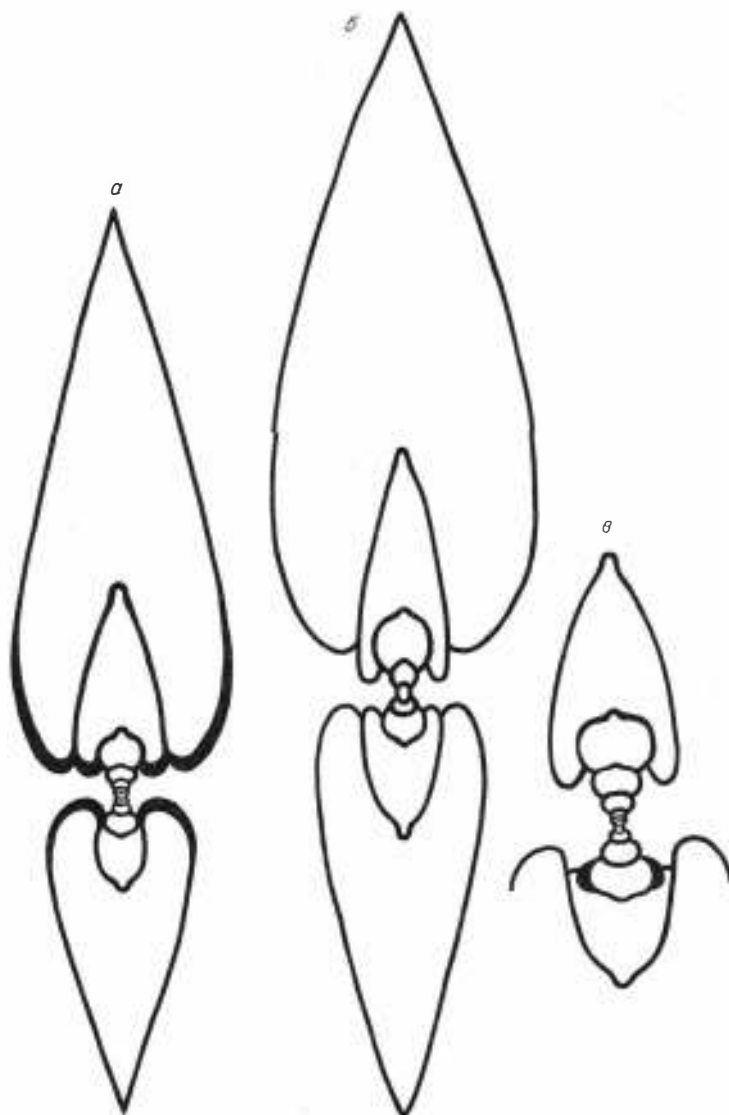


Рис. 38. Поперечные сечения *Intornites*.

а, б - *I. nevadanus*: а - экз. 260/811, при $D = 45$ мм; Восточный Таймыр, м. Цветкова; б - экз. 261/811, при $D = 63$ мм; нижнее течение р. Лены, о. Таас-Арыы; зона *rotelliforme*, подзона *asseretoi*, в - *I. oleshkoi*; экз. 286/811, при $D = 22$ мм; Оленекский залив, м. Улахан-Крест; нижний ладинский подъярус, зона *oleshkoi*.

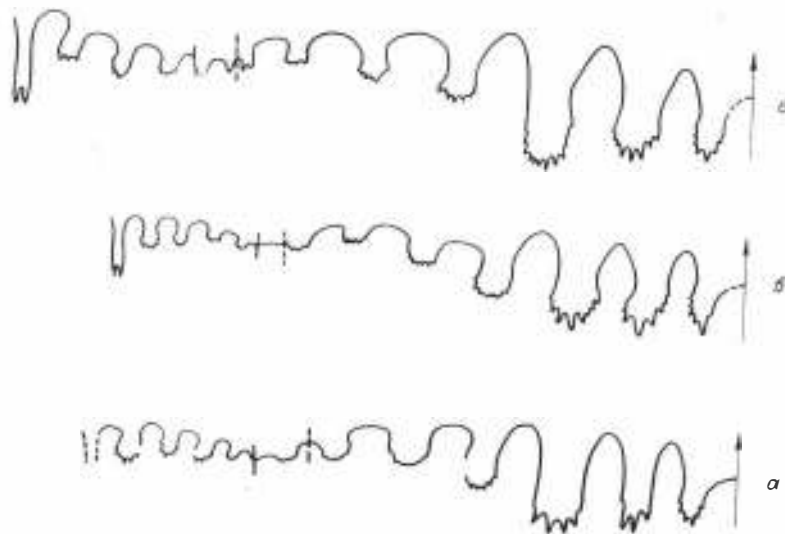


Рис. 39. Лопастные линии *Intornites nevadanus*.

а - экз. 256/811, при Ш = 18 мм, В = 42,5 мм; Оленекский залив, пос. Ыстнанх-Хочо; средний азиатский подъярус, зона *kharaulakhen-sis*, подзона *gastroplanus*; б - экз. 261/811, при Ш = 13 мм, В = 27,8 мм; нижнее течение р. Лены, о. Таас-Арыы, зона *rotelliforme*, подзона *asseretoi*; в - экз. 259/811, при Ш = 16 мм, В = 31,5 мм; Восточный Таймыр, м. Цветкова, возраст тот же.

Скульптура. На ранних стадиях роста (до трех с половиной-четырех с половиной оборотов) боковые стороны с радиальными ребрами и складками, у наиболее груборебристых форм - с бугорками, которые вздуты у умбриликуса, ослабевают и исчезают по направлению к вентральной стороне, украшенной морфологически обособленным гладким килем. На поверхности раковины тонкие струйки роста двусинусного типа. Один синус расположен на боковой стороне, в 2/3 высоты оборота от умбрикального края, второй - на вентральной. Очертания ребер и складок совпадают с очертанием струек. С ростом ребра, складки и киль сглаживаются (при различном диаметре раковины у разных форм), взрослая раковина гладкая, со струйками роста и двумя слабыми спиральными штрихами (табл. 21, фиг. 5а, 6а).

Лопастная линия (рис. 39) цератитовая, многолопастная. Вентральная лопасть широкая, разделена высоким и широким сифональным седлом на две узкие ветви. Во внешней части линии, кроме V, шесть лопастей. U¹ глубже и шире L, седло V/L уже и ниже, чем L/U¹ при диаметре раковины >20-40 мм. Все лопасти зазубрены в основании, зубцы невысоко поднимаются на стенки седел у лопастей V, L и U¹. Седла V/L, L/U¹ со слабо приостренными вершинами, немного суженные в основаниях, седло U¹/U² - овальное. Остальные седла с плоскоокруглыми вершинами, значительно шире лопастей. Во внутренней части линии, кроме дорсальной, 4-5 лопастей.

Изменчивость. Значительная на ранних стадиях роста, заключается в вариациях скульптуры и, по-видимому, в коррелятивно связанной с ней относительной ширины умбриликуса. Экземпляры с относительно грубой скульптурой (табл. 21, фиг. 4) имеют более широкий умбриликус, и наоборот. Так-

же у них более сильный вентральный киль, скульптура складывается позднее в онтогенезе (в конце пятого – на шестом обороте), тогда как у слабоскульптированных – с четвертого оборота. Несмотря на сильные вариации скульптуры, вентральный киль сохраняется у всех форм, даже у слабоскульптированных (табл. 21, фиг. 2, см. рис. 38, б).

Сравнение. Отличается от *Intornites oleshkoi* (Archipov) меньшим количеством лопастей, слабым подъемом зубцов на стенки седел у лопастей V, L и U¹, отсутствием резко обособленного крупного центрально-го зубца у тех же лопастей, хорошо заметной шириной седел в приумбиликальной части оборота, которая значительно превышает ширину лопастей.

Замечания. Голотип и паратип *Intornites nevadanus* (Hyatt et Smith) имеют плохую сохранность с эродированной поверхностью, что не позволяет установить очертания струек роста и наличие вентрального киля /Silberling, Nichols, 1982/. Это привело к неоднозначному пониманию объема вида. Первоначально считалось /Hyatt, Smith, 1905; Smith, 1914; McLarn, 1948/, что *I. nevadanus* имеет только гладкие внутренние обороты, позднее на основании новых сборов в топотиической местности было установлено, что внутренние обороты этих лонгобардитов сходны с таковыми *L. intornatus* McLarn /McLearn, 1969/, что было подтверждено недавно при ревизии среднетриасовых аммоноидей Невады /Silberling, Nichols, 1982/. В настоящей работе на объем вида принята в основном точка зрения американских исследователей, за исключением одного: из синонимики *I. nevadanus* (Hyatt et Smith) выведен *Longobardites canadensis* McLarn, о чем было сказано выше.

Распространение. Анизийский ярус, зона *Balatonites shoshonensis* Невады; зона *varium*, подзона *Intornites nevadanus* Британской Колумбии; зона *kharaulakhensis*, подзона *gastroplanus* и зона *rotelliforme*, подзона *asseretoi* севера Средней Сибири.

Местонахождение и материал. Восточный Таймыр, м. Цветкова – 4 экз.; Оленекский залив моря Лаптевых; пос. Ыстаниах-Хочо – 19 экз., м. Улахан-Крест – 2 экз., руч. Стан-Хая-Юрэгэ – 2 экз.; дельта р. Лены, Оленекская протока, руч. Таас-Крест – 3 экз.; нижнее течение р. Лены, о. Таас-Арыы – 6 экз.; Северный Хараулах, бассейн р. Кенгдей, руч. Артист-Агатын-Юрэгэ – 1 экз. и 4 неполных экземпляра.

Intornites oleshkoi (Archipov), 1974

Табл. 21, фиг. 7–11; табл. 22, фиг. 1

Longobardites oleshkoi: Архипов, 1974, с. 239, табл. 11, фиг. 1, 2.

Голотип. № 14/2-49 (703/4-064). Геологический музей ЯТГУ. Река Омолой, южнее устья руч. Кыллаах; ладинский ярус, зона *oleshkoi*.

Форма (см. рис. 38, в). Начальная камера эллипсоидальная шириной 0,6 мм. На первых четырех с половиной–пяти оборотах раковина эволюционная, офиоконовая, вздутая, с медленно нарастающими в высоту слабообъемлющими оборотами поперечно–овального сечения. Вентральная сторона широкая, пологовыпуклая, постепенно переходит в выпуклые боковые. Умбиликус широкий, мелкий.

С ростом увеличивается объемлемость и относительная высота оборотов, сужается умбиликус. С конца пятого оборота поперечное сечение оборотов округленно–треугольное, на поздних стадиях роста – кольевидное, форма

раковины оксиконовая. Вентральная сторона узкоокругленная, приостренная, боковые – пологовыпуклые, постепенно переходят в выпуклую высокую умбиликальную стенку, нависающую над умбиликусом. Взрослая раковина (шесть с половиной–семь оборотов) оксиконовая, уплощенная, с очень узким глубоким умбиликусом, быстро нарастающими в высоту копьевидными полностью объемлющими оборотами.

Жилая камера не сохранилась.

Размеры (мм) и отношения (%)

Экз.	Кол-во оборотов	Д	В	Ш	D_y	В/Д	Ш/Д	D_y/D
287/811	3,75	5	1,8	2,7	1,8	36	54	36
288/811	4	6	2,2	3,3	2,3	37	55	38
289/811	4,25	6,5	2,5	3,2	3	38	49	46
290/811	4,5	8,3	3,1	3,6	3,3	37	43	40
291/811	4,75	9,4	3,8	3,7	3,6	40	39	38
292/811	5	10,5	4,8	3,9	3,8	46	37	36
293/811	4,8	10,8	5,1	3,8	3,8	47	36	35
294/811	5,7	13	5,3	4,4	4,8	41	34	37
295/811	5,5	17,2	8,2	5,1	5,4	48	30	31
296/811	5,25	10,9	4	3,7	4,8	37	33	44
297/811	5,25	12,4	5	—	4,3	40	—	35
298/811	4,8	11,5	5,1	4,1	4,5	44	36	39
299/811	4,75	11	4,5	4,3	4,1	41	39	37
300/811	4,5	11,8	6,6	3,8	2,7	56	32	23
301/811	5,75	16,5	8,2	5	4,5	50	30	27
302/811	—	16,3	7,5	5,2	4,8	46	32	29
303/811	5,25	21,3	12,5	6	4,7	59	28	22
304/811	—	22,4	13,4	5,8	3,8	56	26	17
305/811	6	26,1	15,8	7,5	3,3	59	29	13
312/811	—	39	25	12	3,5	64	31	9

Скульптура. Раковина на первых полутора оборотах гладкая, с середины второго на боковых сторонах редкие простые радиальные ребра, берущие начало в виде струек роста около умбиликального шва, усиливающиеся и вздутые в средней части боковых сторон. При подходе к вентральной стороне ослабевают, изгибаются вперед и не переходят через нее. На третьем–четвертом оборотах по 10–12 ребер, на пятом – 16–18. У некоторых экземпляров наблюдаются параболические ребра (табл. 21, фиг. 8). В начале – середине шестого оборота ребра слаживаются и замещаются пологими складками, а затем струйками роста двусинусного типа. Один синус расположен в 2/3 высоты оборота от умбиликального шва, второй – на вентральной стороне (табл. 22, фиг. 1а). Внутренние обороты, с третьего по пятый–пятый с половиной, с килем на вентральной стороне, слаживающимся с ростом.

Лопастная линия. Онтогенез лопастной линии приведен на рис. 40. Лопастная линия взрослой раковины (рис. 41) с многочисленными лопастями. При В = 25 мм на боковой стороне, кроме вентральной лопасти, девять лопастей, одна из которых расположена на умбиликальной стенке. Вентральная лопасть широкая, разделена широким, высоким сифональным седлом на две узкие, глубокие ветви. Сифональное седло с двумя зубцами, расположенными симметрично относительно плоскости симметрии раковины, U^1 шире и глубже L при диаметре раковины более 20 мм. Лопасти V, L, U^1 , U^2 и U^4

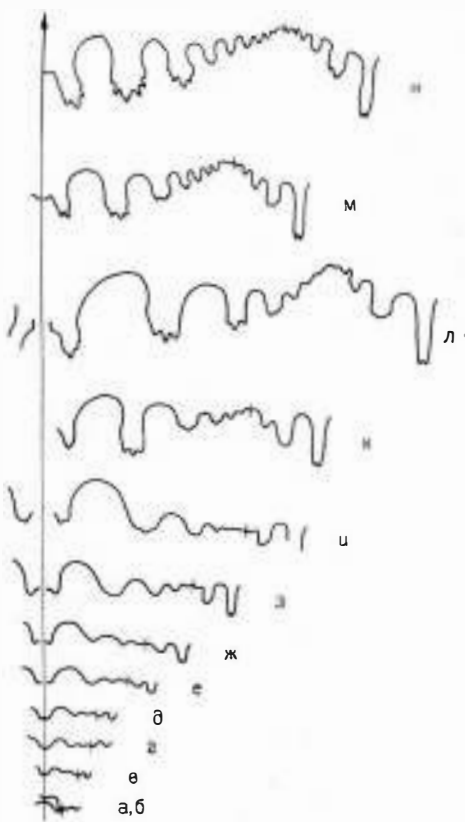


Рис. 40. Онтогенез лопастной линии *Intornites oleshkoi*.

Экз. 285/811: а, б – просугура и примасугура, при Ш = 0,45 мм, в – при Ш = 0,63 мм, В = 0,38 мм (1,5 оборота); г – при Ш = 0,85 мм, В = 0,45 мм (2 оборота); д – при Ш = 1 мм, В = 0,58 мм; е – при Ш = 1,38 мм, В = 0,83 мм (3 оборота); ж – при Ш = 1,75 мм, В = 1 мм (3,6 оборота); з – при Ш = 2,75 мм, В = 1,63 мм (4 оборота); и – при Ш = 3 мм, В = 1,8 мм (4,25 оборота); к – при Ш = 3,5 мм, В = 2,15 мм (4,5 оборота); л – при Ш = 4,5 мм, В = 3,8 мм (5 оборотов); м – при Ш = 4,7 мм, В = 4,7 мм (5,25 оборота); н – при Ш = 5,4 мм, В = 6,9 мм (5,5 оборотов). Оленекский залив, пос. Ыстаннах-Хочо, нижний ладинский подъярус, зона *oleshkoi*.

расширенные у оснований, с крупными срединными зубцами, от которых более мелкие зубцы высоко поднимаются на стенки седел. Остальные лопасти на внешней стороне оборота с 2–3 зубцами в основании. Седла V/L, L/U¹ и

U¹/U² с сильно заостренными вершинами, филлоидные, остальные седла овальные.

Изменчивость. Значительная на ранних стадиях роста. Наиболее сильным вариациям подвержена относительная ширина умбиликуса, коррелятивно связанные с этим параметром относительная высота, ширина оборота и степень выраженности скульптуры. Наиболее грубая скульптура у эволютных форм (табл. 21, фиг. 8, 9). Только у этих форм отмечена параболическая скульптура.

Сравнение. Отличия от *Intornites nevadanus* (Hyatt et Smith) приведены в описании этого вида.

Распространение. Ладинский ярус, зона *oleshkoi* севера Средней Сибири и Северо-Востока СССР.

Местонахождение и материал. Оленекский залив моря Лаптевых, м. Тумул – 5 экз., пос. Ыстаннах-Хочо – 30 экз., м. Улахан-Крест – 40 экз.; р. Лена, м. Чекуровский – 25 экз.

ПОДОТРЯД PTYCHITINA HYATT ET SMITH, 1905

СЕМЕЙСТВО PTYCHITIDAE MOJSISOVICS, 1882

Род *Ptychites* Mojsisovics, 1875

Ptychites: Mojsisovics in Neumayr, 1875, S. 882 (part.); Mojsisovics, 1882, S. 244 (part.), 1886, S. 88; Diener, 1895b, p. 62 (part.); 1907, p. 119 (part.); 1915, S. 137 (part.); Arthaber, 1914, S. 142 (part.); Spath, 1951, p. 146; Kummel in Ar-

Рис. 41. Лопастная
линия *Intornites*
oleshkoi.

Экз. 312/811,
при Ш = 12 мм, В =
= 25 мм; Оленекский
залив, м. Улахан-
Крест, нижний ладин-
ский подъярус, зона
oleshkoi.



kell, Kummel, Wright, 1957, p. 180; Попов, Кипарисова, Робинсон, 1958, с. 50 (part.); Кипарисова, 1961, с. 173 (part.); Попов, 1961, с. 104; Tozer, 1961, p. 92; Bando, 1964а, p. 100; Шевырев, 1968, с. 212 (part.).

?*Phychosphaerites*: Spath, 1951, p. 158 (= *Spaerites* /Arthaber, 1896, S. 106/).

Aristoptychites: Weitschat, Lehmann, 1983, S. 38 (part.).

Типовой вид. *Ptychites eusomus* (Beyrich), 1865; азиатский ярус, зона *trinodosus* Альп.

Диагноз. Раковины средних и крупных размеров, инволютные, сильно-вздутые, от сфероконовых или кадиконовых на ранних стадиях роста до вздутых, реже уплощенных, дискоконовых или пахиконовых на поздних. Центральная сторона выпуклая, постепенно переходит в различной степени выпуклые боковые. Умбиликальный край резкий, округленный, умбиликальная стенка высокая, кругонаклонная или отвесная. Умбиликус узкий, глубокий, воронковидный или ступенчатый. Обороты почти полностью объемлющие, медленно нарастающие в высоту. Поперечное сечение оборотов от поперечно-овального на ранних стадиях роста до овального, округленно-треугольного на поздних. Боковые стороны с прямыми или слабоизогнутыми радиальными складками различной силы и частоты. Лопастная линия аммонитовая, со сложнозазубренными лопастями и седлами. Центральная лопасть узкая и мелкая, разделена высоким узким сифональным седлом на две ветви. Седло V/L уже и ниже, чем седло L/U¹, остальные седла с выемками на вершинах.

Видовой состав. Более 50 видов. В Бореальной области известны *Ptychites trochlaeformis* /Lindström, 1865, S. 3, Taf. 1, Fig. 2/, *P. euglyphus* /Mojsisovics, 1886, p. 94, pl. 14, fig. 1-3/, *P. wrighti* /McLearn, 1946b, p. 3, pl. 4, fig. 5/, *P. tibetanus* /Mojsisovics, 1886, p. 96, pl. 14, fig. 5/.

Сравнение. От наиболее близкого по форме раковины и строению лопастной линии *Aristoptychites* Diener, 1916 отличается обычно более широкоокругленной центральной стороной, частыми и грубыми радиальными складками, слабыми зазубринами, рассекающими вершины седел на две части.

От *Arctoptychites Archipov, Korchiskaya et Tozer, 1974* отличается прямыми, обычно слабоизогнутыми радиальными складками и ребрами, не рассеченными на две части вершинами седел V/L и L/U¹.

Замечания. *Ptychites nanuk*, описанный из нижнего ладина, слоев с *Daonella frami* Арктической Канады /Tozer, 1961, p. 93, pl. 21, fig. 2-10/ и известный в настоящее время на Сvalbardе в одноименной зоне нижнего ладина /Корчинская, 1982/, не является типичным *Ptychites*, что было отмечено Э. Т. Тозером /Tozer, 1961, p. 93/.

Свальбардские *Ptychites* из группы *rugiferi*, известные по работам прошлого века [Lindström, 1865; Oberg, 1877; Mojsisovics, 1886], недавно были отнесены немецкими исследователями Meitschat, Lehmann, 1983 к роду *Aristoptychites* Diener, 1916 на основании расчленения на две части вершин седел. Вряд ли это оправдано, так как и типичные гималайские *Ptychites*, например *P. cognatus*, *P. droma* имеют расчлененное четвертое боковое седло, а *P. rugifer* – асимметрично расчлененное третье боковое седло. Кроме того, у *P. trochlaeformis* (Lindström) и особенно у *P. euglyphus* Mojs. радиальные складки отчетливые и частые, вентральная сторона округленная, что не характерно для рода *Aristoptychites*. У последнего вида ребра сильно отклоняются вперед от радиуса, резко изогнуты вперед у вентрального края, что в целом не характерно для *Ptychites* и, возможно, *P. euglyphus* является связующим звеном между родом *Ptychites* и *Arctoptychites*.

Распространение. Средний триас, анизиный ярус, зоны *balatonicus* и *trinodosus* Альп, Балтийского полуострова, запада Малой Азии; верхнеанизиный подъярус, птихитесовые слои Гималаев; аналоги зоны *balatonicus* Таиланда; зона *trinodosus* Новой Гвинеи, Малайи; анизиный ярус, среднеанизиный подъярус, формация Исадоме, слои с *Hollandites* верхнеанизиный подъярус, формация Рифу Японии; аналоги зоны *trinodosus* Тимора, зона *shoshonensis* Невады, верхнеанизиый подъярус, слои с *Ptychites oppeli* и с *Amphiporanoceras dzeginense* Приморья и района хр. Большие Чурки Хабаровского края; зона *nevadanus* севера Средней Сибири и Северо-Востока СССР, зоны *laqueatus* и *varius* Свальбарда; аналоги зоны *laqueatus* Канадского Арктического Архипелага; зоны *caurus* или *varium* Британской Колумбии; анизиный ярус Новой Зеландии.

Ptychites pseudoeuglyphus sp. nov.

Табл. 22, фиг. 2–5

Название вида по сходству с *Ptychites euglyphus* Mojsisovics.

Голотип. № 228/811. ЦСГМ. Дельта р. Лены, Оленекская протока, руч. Таас-Крест; анизиный ярус, зона *nevadanus*, подзоны *dzeginense*.

Диагноз. На боковых сторонах отчетливые многочисленные ребра, начинающиеся в виде струек около умбрикального края и идущие вперед от радиуса, около вентральной стороны отогнуты назад. На обороте насчитывается 28–32 ребра. На внешней стороне оборота, кроме вентральной, пяять лопастей, одна из которых расположена на умбрикальной стенке, на внутренней стороне оборота, не считая дорсальной, три лопасти. Вершины всех седел, за исключением *V/L* и *L/U¹*, рассечены на две части.

Форма. На ранних стадиях роста (до диаметра раковины 20 мм) раковина кадиконовая, инволютная, очень сильно вздутая, с медленно нарастающими в высоту оборотами (табл. 22, фиг. 5). Вентральная сторона выпуклая, иногда со слабым срединным приострением, незаметно переходит в боковые. Поперечное сечение оборота серпообразное.

С ростом увеличивается относительная высота оборотов, уменьшаются их относительная ширина и относительная ширина умбрикуса. На поздних стадиях роста (при диаметре раковины более 60 мм) раковина пахиконовая или

субсфероконовая, от воздутой до сильновоздутой, инволютная, с медленно нарастающими в высоту почти полностью объемлющими оборотами. Центральная сторона выпуклая, постепенно переходит в различной степени выпуклые боковые. Поперечное сечение оборота овальное.

Умбиликальный край на всех стадиях роста округленный, отчетливый, умбиликальная стенка высокая, кругонаклонная, уплощенная. Умбиликус узкий, глубокий, воронковидный.

Жилая камера сохранилась неполностью у одного экземпляра, ее длина около половины оборота. Устье не сохранилось.

Размеры (мм) и отношения (%)

Экз.	Д	В	Ш	D_y	В/Д	Ш/Д	D_y/D
228/811	72,6	37,7	34,5	7,4	52	48	10
229/811	36,2	19,1	29,3	5,1	53	81	14
230/811	25,5	11,8	23,9	5?	46	94	20
231/811	37,8	18,5	28,5	5?	49	75	13
233/811	62	31,7	36	10,1	51	58	16
234/811	22,8	9,8	23	4	43	101	18

Скульптура. На ранних стадиях роста на боковых сторонах низкие частные складки, идущие вперед от радиуса, более отчетливые около умбиликального края, ослабевающие по направлению к центральной стороне. Последнюю пересекают тонкие струйки, образующие широкий пологий выступ вперед (табл. 22, фиг. 5в). Иногда наблюдаются пережимы, повторяющие очертания складок и струек (табл. 22, фиг. 2б).

С ростом складки приобретают вид пологих ребер (при диаметре раковины более 20 мм), место максимальной силы которых перемещается на среднюю часть боковых и к центральной стороне. На оборот 28–32 ребра, они в разной степени отклоняются вперед от радиуса, около центральной стороны немного изогнуты назад, не переходя через нее при высоте оборота более 25 мм.

На боковых сторонах жилой камеры ребра почти прямые.

Лопастная линия (рис. 42). Во взрослом состоянии десятилопастная, на внешней стороне оборота, кроме центральной, пять лопастей, на внутренней, не считая дорсальной, – три. Центральная лопасть мелкая, узкая, стенки сифонального седла гладкие. Седло V/L ниже и уже, чем L/U^1 . Вершины всех седел, за исключением V/L и L/U^1 , рассечены на две части. В основании каждой лопасти, кроме центральной и дорсальной, по размерам выделяются три крупных зубца, размеры других зубцов уменьшаются на стенах и вершинах седел. Вторичные зубцы образуются по первичным, включая вершины седел.

Сравнение. От *Ptychites euglyphus* Mojsisovics из нижнего ладина зоны *Tsvetkovites varius* Свальбарда, имеющего одинаковое с описываемым видом количество ребер на оборот и близкий характер рассечения вершин седел, отличается более узким умбиликусом и изгибом ребер на боковых сторонах с отклонением назад у центральной. У *P. euglyphus* ребра на боковых сторонах прямые, около центральной изогнуты вперед /Weitschat, Lehmann, 1983/.

От *P. trochlaeformis* (Lindström) отличается более частыми и отчетливыми ребрами, ранним их появлением в онтогенезе.

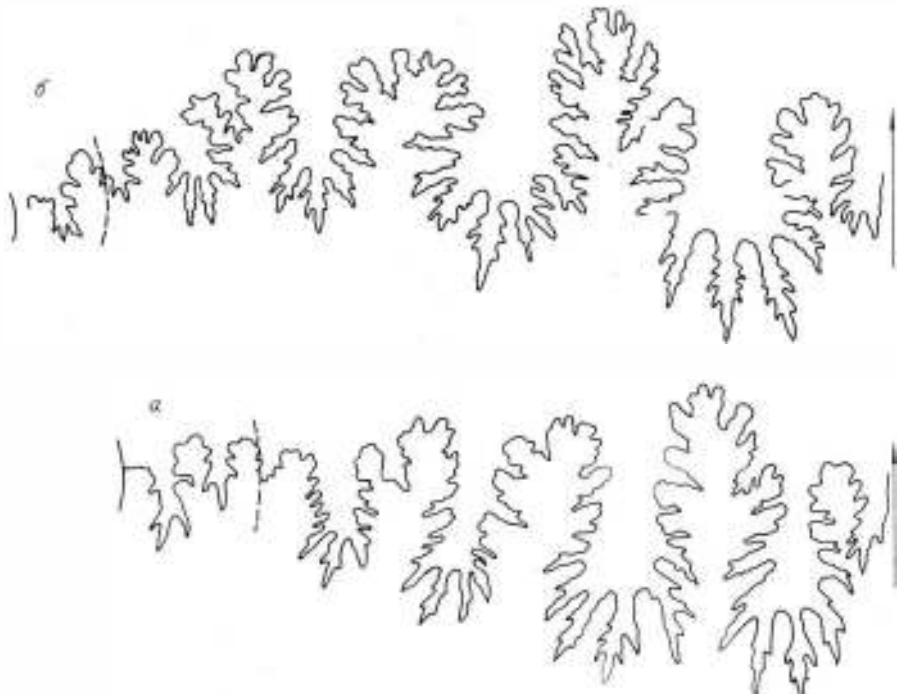


Рис. 42. Лопастные линии *Ptychites pseudoeuglyphus*.

а - экз. 233/811, при В = 30 мм; Оленекский залив, руч. Стан-Хая-Юрэгэ; б - экз. 228/811, при Ш = 34,2 мм, В = 34,4; дельта р. Лены, Оленекская протока, руч. Таас-Крест. Зона *nevadanus*, подзона *dzeginense*.

Ребра, изгибающиеся назад у вентральной стороны, имеет *P. suakra* Diener из верхнего анизия, птихитесовых слоев Гималаев, от которого новый вид отличается более вздутой раковиной без отчетливого приострения вентральной стороны.

Распространение. Средний триас, анизийский ярус, зона *nevadanus*, подзона *dzeginense* севера Средней Сибири и бассейна р. Колымы.

Местонахождение и материал. Восточный Таймыр, м. Цветкова - 5 экз. и 3 фрагмента оборотов; Оленекский залив моря Лаптевых: м. Улахан-Крест - 1 экз., руч. Стан-Хая-Юрэгэ - 2 экз., м. Тумул - 1 экз.; дельта р. Лены, Оленекская протока, руч. Таас-Крест - 1 экз.

СЕМЕЙСТВО CLADISCITIDAE ZITTEL, 1984

Род *Neocladiscites* Popow, 1961

Neocladiscites: Попов, 1961, с. 91; Шевырев, 1968, с. 198.

Mesocladiscites: Farsan, 1972, S. 200.

Типовой вид. *Neocladiscites taskanensis* Popow, 1961; бассейн р. Колымы, р. Увальная, приток р. Таскан; анизийский ярус, зона *nevadanus*.

Диагноз. Раковины средних размеров, платиконовые, инволютные, сильно вздутые. Обороты полностью объемлющие, медленно нарастающие в высоту, на ранних стадиях роста поперечно-ovalного сечения, на поздних округленно-прямоугольного или округленно-трапециевидного. Вентральная сторона широкая, от выпуклой до уплощенной, боковые - пологовыпуклые или

уплощенные. Вентральный край от неясного до отчетливого, округленного, умбиликальный – округленный. Умбиликальная стенка высокая, крутая, выпуклая. Умбиликус очень узкий, почти замкнутый, глубокий. Скульптура из спиральных нигевидных ребер и менее развитых радиальных струек роста. Лопастная линия аммонитовая с седлами и лопастями, расположеными в прямолинейный ряд. Вентральная лопасть самая глубокая и широкая, сифональное седло гладкое. Седла асимметрично рассечены зубцами на несколько листовидных долек. Формула лопастной линии: $(v_1 v_1) LU^1 U^3 U^5 U^6 U^8 U^9 U^{10} : U^{10} U^9 U^7 U^4 U^2 I(D_1 D_1)$.

Видовой состав. Три вида: *Neocladiscites taskanensis* /Попов, 1961, с. 91, табл. 24, фиг. 6/, *N. parenicus* /Попов, 1961, с. 92, табл. 24, фиг. 5, 7/, *N. involutus* /Farsan, 1972, S. 202, Taf. на S. 203, Fig. 3/.

Сравнение. От близкого по форме раковины *Phyllocladiscites Mojsisovics*, 1902 отличается расчлененными вершинами седел лопастной линии, которые у последнего рода округленные.

От *Sphaerocladiscites* Popow, 1961, имеющего близкую степень расчленения седел и лопастей, отличается формой раковины с округленно-прямоугольными или округленно-трапециевидными в поперечном сечении оборотами.

Замечания. Род *Mesocladiscites*, описанный из ладинских отложений? (возможно, это эквивалент зоны *reitzi* Альп) Афганистана /Farsan, 1972/, имеет лопастную линию, близкую к таковой описываемого рода, в частности к *Neocladiscites taskanensis* Popow. Срединное седло гладкое, как и у сибирских *Neocladiscites*, вентральная лопасть самая глубокая и широкая. Этот род считается нами младшим синонимом рода *Neocladiscites* Popow, 1961. Возможно, также к *Neocladiscites* относится форма, описанная здесь же как *Procladiscites* sp. /Farsan, 1972, S. 200, Taf. на S. 203, Fig. 3/. Лопастная линия этого образца не изображена, форма поперечного сечения и ширина оборота, по нашему мнению, ближе к таковым рода *Neocladiscites*, чем к *Procladiscites* Mojsisovics, 1882, который имеет высокие и узкие обороты.

Распространение. Средний триас, анизиjsкий ярус, зона *nevadanus* севера Средней Сибири и Северо-Востока СССР, ладинский ярус? Западного Гиндукуша (Афганистан).

Neocladiscites taskanensis Popow, 1961

Табл. 23, фиг. 3, 4

Neocladiscites taskanensis: Попов, 1961, с. 91, табл. 24, фиг. 6.

Голотип. № 227/6399. ЦНИГРМузей. Бассейн р. Колымы, р. Уватная, приток р. Таскан; анизиjsкий ярус, зона *nevadanus*.

Форма. Раковина инволютная, очень сильно вздутая, с медленно нарастающими в высоту полностью объемлющими оборотами. Поперечное сечение оборота округленно-трапециевидное, при диаметре раковины 32 мм ширина оборота в 1,3 раза больше высоты. Вентральная сторона широкая, уплощенная, боковые – уплощенные. Вентральный и умбиликальный края отчетливые, округленные. Умбиликальная стенка высокая, крутая. Умбиликус очень узкий, почти замкнутый, глубокий.

Жилая камера занимает около одного оборота, устье не сохранилось.

Экз.	Размеры (мм)		и отношения (%)				
	Д	В	Ш	$\frac{Д_y}{Д}$	В/Д	Ш/Д	$\frac{Д_y}{Д}$
223/811	32	16,9	21	2	53	66	1

Структура. Раковина с частыми спиральными нитевидными ребрами или штрихами. В конце жилой камеры наблюдаются также радиальные нитевидные ребра, более грубые и редкие, чем спиральные. На боковой стороне они образуют глубокий синус, наentralной — округленно-треугольный слабый выступ. На 1 см у экз. 223/811 около 6 ребер. Ядро раковины гладкое.

Лопастная линия (рис. 43, а, б) изучена во внешней части оборота. Лопасти и седла многочисленные, сильно зазубренные. Зубцы глубоко рассекают вершины седел. Вторичные эзубчики образуются по первичным даже в вершинах седел, которые рассечены последними на несколько листовидных долек.

Сравнение. Отличается от *Neocladiscites parenicus* Popow более широкими оборотами с уплощенной вентральной стороной и отчетливым вентральным краем, более сложной лопастной линией. От *N. involutus* (Farsan), имеющего сходную по степени рассечения седел лопастную линию, отличается формой поперечного сечения оборота с уплощенной вентральной стороной.

Замечания. Ю.Н. Попов /1961/ указывает на ладинский возраст *N. taskanensis*, в то же время голотип собран вместе с такими анизиевыми формами как *Parapopanoceras dzeginense* Voinova и *Mophyllites sphaerophyllus* (Hauer). Однако последующие исследования не подтвердили ладинский возраст и в настоящее время этот вид, как и род *Neocladiscites*, известен только из отложений верхнеанизийского подъяруса зоны *nevadanus*.

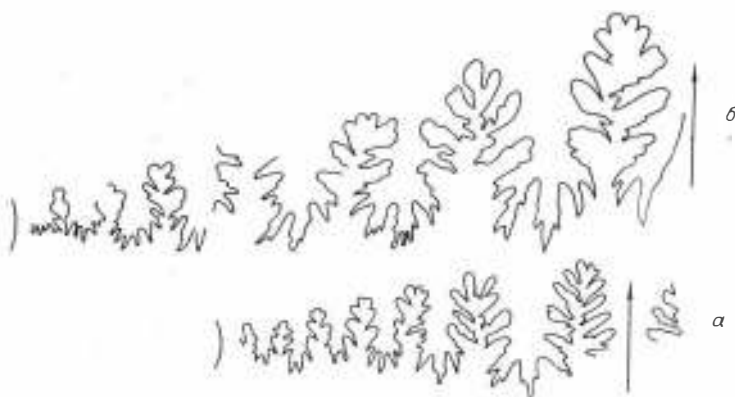


Рис. 43. Лопастные линии *Neocladiscites*.

а, б — *N. taskanensis*: а — экз. 224/811, при Ш = 17,3 мм, В = 11 мм; б — экз. 225/811, при В = 22 мм; Восточный Таймыр, м. Цветкова, зона *nevadanus*.

Распространение. Средний триас, анизи́йский ярус, зона *nevadanus* севера Средней Сибири и Северо-Востока СССР.

Местонахождение и материал. Восточный Таймыр, м. Цветко-ва - 2 экз. и 1 неполный экземпляр; среднее течение р. Колымы, бассейн р. Малая Бургали, руч. Нимфа - 1 фрагмент оборота.

Neocladiscites parenicus Popow, 1961

Табл. 23, фиг. 1, 8

Голотип. № 225/6399. ЦНИГРМузей. Бассейн Пенжинской губы Охотского моря, верхнее течение р. Парéни; анизи́йский или ладинский ярусы /Попов, 1961/.

Форма. Начальная камера эллипсоидальная шириной 0,73 мм. На внутренних оборотах раковина инволютная, сфероконовая. Обороты сильнообъемлющие поперечно-овального сечения с шириной, превышающей высоту почти в 2 раза (табл. 23, фиг. 1б).

С ростом высота оборотов почти равна ширине. Взрослые раковины (табл. 23, фиг. 8) средних размеров, инволютные, сильновоздутые, с полностью объемлющими медленно нарастающими в высоту оборотами. Поперечное сечение последнего оборота округленно-прямоугольные с максимальной шириной около умбрикуса. Центральная сторона выпуклая, боковые - уплощенные,entralный и умбрикальный края неотчетливые, плавноокругленные. Умбрикальная стенка высокая, выпуклая. Умбрикус очень узкий, глубокий.

Жилая камера длиной около одного оборота, устье не сохранилось.

Размеры (мм) и отношения (%)

Экз.	Д	В	Ш	Д _у	В/Д	Ш/Д	Д _у /Д
220/811	36,8	24,3	24,5	2,1	66	67	6
221/811	26,1	13,8	17,7	1,4	53	68	5
222/811	48,3	27,3	29,4	3,3	57	61	7
	66,5	35,6	36,3	3,5	54	55	5

Скульптура. Поверхность раковины с частыми спиральными нитевидными ребрами (12–14 ребер на 1 см). Иногда наблюдается также тонкая радиальная скульптура в виде нитевидных ребер, струек, слабых складок, образующих широкий пологий синус на боковых сторонах, пологий выступ - на центральной. При пересечении радиальной и спиральной скульптуры образуется сетчатый орнамент.

Лопастная линия (рис. 44). Просугура ангустисеплатная с высоким центральным седлом, глубокой боковой лопастью (см. рис. 44, а). Примасутура при Ш = 0,73 мм, В = 0,35 мм, по-видимому, четырехлопастная с малой, узкой центральной лопастью (см. рис. 44, б). Третья линия при Ш = 0,75 мм, В = 0,37 мм шестилопастная: VLU¹:U²ID (см. рис. 44, в), лопасть V узкая, округленно-клиновидная, остальные лопасти - пологих очертаний. При Ш = 0,76 мм, В = 0,4 мм лопасть D двуветвистая, на седле U¹/U² около умбрикального шва образуется лопасть U³ (см. рис. 44, г), смещающаяся затем на внешнюю сторону оборота при Ш = 0,9 мм, В = 0,5 мм (см. рис. 44, д), лопасть D двуветвистая. Одновременно на седле U³/U² образуется U⁴, смещающаяся при Ш = 1,1 мм, В = 0,63 мм на внутреннюю сторону оборота (см. рис. 44, е). Следующая лопасть U⁵ пе-

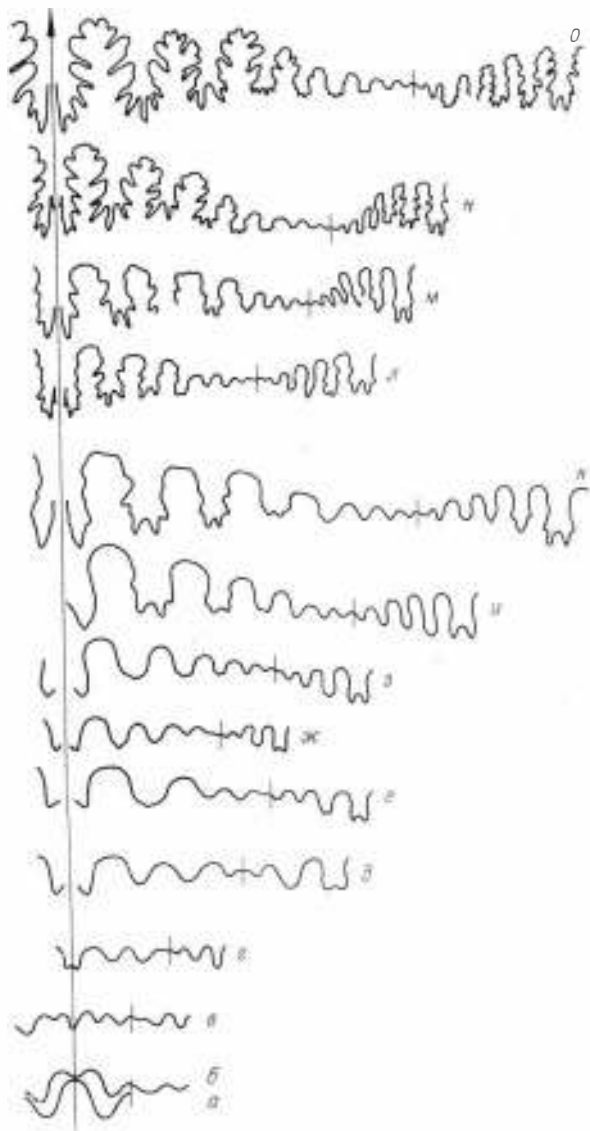


Рис. 44. Онтогенез лопастной линии *Neocladiscites parenicus*.

Экз. 220/811: а, б - просутура и примасутура, при Ш = 0,73 мм, В = 0,35 мм; в - третья линия; г - шестая линия, при Ш = 0,76 мм, В = 0,4 мм; д - при Ш = 0,9 мм, В = 0,5 мм; е - при Ш = 1,1 мм, В = 0,63 мм; ж - при Ш = 2 мм, В = 0,98 мм; з - при Ш = 2,05 мм, В = 1,1 мм; и - при Ш = 2,1 мм, В = 1,38 мм; к - при Ш = 2,75 мм; л - при Ш = 3,6 мм, В = 2,4 мм; м - при Ш = 3,85 мм, В = 2,75 мм; н - при Ш = 9,3 мм, В = 6,8 мм; о - при Ш = 17,5 мм, В = 15,5 мм. Дельта р. Лены, Оленекская протока, руч. Таас-Крест, зона *nevadanus*, подзона *nevadanus*.

$$(v_1 v_1) L U^1 U^3 U^5 U^6 U^8 U^9 U^{10} : U_1^{10} U_1^9 U_1^7 U^4 U^2 I(D_1 D_1).$$

рекходит на внешнюю сторону оборота (см. рис. 44, ж, з), после этого порядок смешения лопастей нарушается: U^6 и U^8 расположены на внешней стороне оборота, U^7 - на внутренней. Далее лопасти, образующиеся вблизи шва, симметрично делятся на две лопасти. Формула лопастной линии:

$v_1 v_1$

L

U^1

U^3

U^5

U^6

U^8

U^9

U^{10}

: U_1^{10}

U_1^9

U_1^7

U^4

U^2

$I(D_1 D_1)$

Лопасти расположены в прямолинейный ряд, вентральная лопасть самая широкая и глубокая, размеры лопастей уменьшаются по направлению к умбиликусу. Лопасти и стенки седел с пальцевидными зубцами, вершины седел асимметрично рассечены на несколько листовидных долек.

Сравнение. Отличия от *Neocladiscites taskanensis* Popow даны в описании последнего.

Распространение. Средний триас, анизийский ярус, зона *nevadanus* севера Средней Сибири и Северо-Востока СССР.

Местонахождение и материал. Восточный Таймыр, м. Цветкова - 1 экз.; дельта р. Лены, Оленекская протока, руч. Таас-Крест, - 1 экз.; среднее течение р. Колымы, бассейн р. Малая Бургали, руч. Нимфа - 2 экз. и несколько фрагментов оборотов.

ОТРЯД PHYLLOCERATIDA ARKELL, 1950

(*nom. transl. Rushencev, 1962*
ex subordo Phylloceratina Arkell, 1950)

НАДСЕМЕЙСТВО USSURITACEAE HYATT, 1900

СЕМЕЙСТВО USSURITIDAE HYATT, 1900

Подсемейство Ussuritinae Hyatt, 1900

Диагноз. Лопастная линия ($V_1 V_1$) $LU^1 I_2 : I_1 (D_1 D_1)$, седла монофильные, с ростом количество лопастей неизменно, завулируется только седло I_2/I_1 .

Родовой состав. *Ussurites* Hyatt, 1900; *Leiophyllites* Diener, 1915; *Palaeophyllites* Welter, 1922; *Eophyllites* Spath, 1930; *Indigirophyllites* Popow, 1961; *Burijites* Zakharov, 1978.

Сравнение. Отличается от подсемейства *Monophyllitinae* Smith, 1913 постоянным малым числом лопастей, отсутствием генетических умбиликальных лопастей.

Геологическое распространение. Верхний оленек – ладин.

Род *Ussurites* Hyatt, 1900

Ussurites: Hyatt, 1900, p. 566; Diener, 1915, S. 206; Spath, 1934, p. 299; Воинова, Кипарисова, Робинсон, 1947, с. 175; Попов, Кипарисова, Робинсон, 1958, с. 58; Попов, 1961, с. 109; Weitschat, Lehmann, 1983, S. 51; He, Wang, Chen, 1986, p. 254.

Monophyllites: Mojsisovics, 1886, p. 72; Diener, 1895b, p. 106 (part.); 1907, p. 105 (part.); Hyatt, Smith, 1905, p. 93; Arthaber, 1911, S. 232 (part.); Smith, 1914, p. 48 (part.); Welter, 1915, S. 93 (part.).

Типовой вид. *Ussurites sichoticus* (Diener), 1895a, o. Русский, м. Житкова; азиатский ярус.

Диагноз. Раковины средних и крупных размеров, эволютные, скжатые с боков, с медленно или умеренно нарастающими в высоту, слабообъемлющими оборотами. Поперечное сечение оборота овальное или округленно-прямоугольное, вытянутое в высоту. Умбиликус широкий, мелкий. Скульптура из радиальных нерегулярных ребер, складок, частых тонких линий роста, у некоторых видов параболическая скульптура. Формула лопастной линии:

($V_1 V_1$) $LU^1 I_2 : I_1 (D_1 D_1)$, лопасть I_2 слабо индивидуализирована от нескольких крупных зубцов на умбиликальной стенке. Боковая лопасть самая глубокая, трехветвистая, с глубокой центральной ветвью, лопасть U^1 с двумя ветвями в основании. Вершины седел овальные или слабоприостренные, седла V/L и L/U^1 сужены в основаниях, но не пережаты, стенки сифонального седла почти гладкие, с 1–2 зубчиками. Седла V/L , L/U^1 и U^1/I_2 рассечены только с одной стороны, первое – с вентральной, другие – с дорсальной.

Видовой состав. Тринадцать видов: *Ussurites sichoticus* /Diener, 1895a, p. 28, pl. 5, fig. 1/, *U. spetsbergensis* /Oberg, 1877, S. 14, Taf. 4, Fig. 1/, *U. hara* /Diener, 1895b, p. 108, pl. 31, fig. 9/, *U. arthaberi* /Welter, 1915, S. 115, Taf. 89,

Fig. 1/, U. yabei /Diener, 1916b, S. 22, Taf. 5, Fig. 1, 2/, U. inflatus /Wanner, 1932, S. 279, Taf. 11, Fig. 7–9/, U. muskwa /McLearn, 1946a, p. 1, pl. 3, fig. 3, 4/, U. cameroni /McLearn, 1946a, p. 1, pl. 2, fig. 1/, U. ? sokolovi /Попов, 1961, с. 111, табл. 16, фиг. 1/, U. robustus /Wang in He, Wang, Chen, 1986, p. 256, pl. 14, fig. 27, 28/, U. rariplacatus /Wang in He, Wang, Chen, 1986, p. 257, pl. 12, fig. 43, 44/, U. ? kingi /Diederer, 1895b, p. 109, pl. 32, fig. 10/, U. ? decipiens /Spath, 1934, p. 302=Monophyllites kingi Arthaber, 1911, S. 235, Taf. 20, Fig. 12/.

Сравнение. От *Monophyllites Mojsisovics*, 1875 отличается меньшим количеством лопастей и более слабым их расчленением: у *Ussurites* во внешней части линии три лопасти, не считаяentralной, у *Monophyllites* – пять.

От *Indigiophyllites Popow*, 1961, имеющего одинаковое с *Ussurites* число лопастей, отличается непережатым в основании седлом V/L, слабее расчлененными и менее глубокими ветвями лопастей L и U¹, меньшим зазубриванием сифонального седла.

Распространение. Азиатский ярус, нижнеазиатский подъярус Гималаев; нижне–среднеазиатский подъярусы, зона *Lenotropites* – *Japonites* и зона *Hollandites* – *Beyrichites*, подзона *Gymnites* Восточно-го Кунь-Луна; среднеазиатский подъярус, зона *Hollandites japonicus* Хабаровского края; верхнеазиатский подъярус, слои с *Ptychites oppeli* Приморья; формация Икатом, среднеазиатский подъярус, зона *Hollandites* Японии; среднеазиатский подъярус о. Тимор; зона *hyattii* Невады; азиатский ярус, зоны *caurus*, *varium* и *deleteri* Британской Колумбии; верхнеазиатский подъярус, зона *laqueatus*, нижнеладинский подъярус, зона *varius* Сваньбарда; нижнеазиатский подъярус, зона *tardus*, среднеазиатский подъярус, верхнеазиатский подъярус, зона *rotelliforme*, подзона *asseretoi* севера Средней Сибири; нижнеладинский подъярус истоков р. Колымы /Попов, 1961/.

Ussurites cameroni McLearn, 1946

Табл. 24, фиг. 3

Ussurites arthaberi var. *cameroni*: McLearn, 1946a, Appendix II, p. 1, pl. 1, fig. 3, pl. 2, fig. 1; 1969, p. 54, pl. 13, fig. 3–5.

Форма. Раковины средних размеров, эволютные. Обороты слабообъемлющие, умеренно нарастающие в высоту. Центральная сторона выпуклая, постепенно переходит в пологовыпуклые или слабоуплощенные боковые. Умбиликальный край округленный, умбиликальная стенка довольно высокая, круглая, выпуклая. Умбиликус широкий, мелкий. Поперечное сечение оборотов овальное, вытянутое в высоту.

Жилая камера и устье не сохранились.

Размеры (мм) и отношения (%)

Экз.	Д	В	Ш	Д _у	В/Д	Ш/Д	Д _у /Д
235/811	23 61,6	9,6 23,9	8,3 20,3	— 22,2	42 39	36 33	— 36
236/811	63,7	24,5	20,5	25	38	32	39

Рис. 45. Лопастные линии *Ussurites cameroni*.

Экз. № 235/811: а - при Ш = 7 мм, В = 8,1 мм; б - при Ш = 17,2 мм, В = 21,4 мм. Оленекский залив, пос.

Ыстаниах-Хочо, зона *rotelliforme*, подзона *asseretoi*.



Скульптура. На боковых сторонах нерегулярно расположенные слабые радиальные складки, сначала идущие от умбрикального края прямо по радиусу, не доходя до середины высоты оборота они слабо изогнуты назад. На поверхности раковины частые радиальные струйки роста (3 струйки на 1 см) такого же очертания, как и складки.

На переходе от боковых сторон к вентральной редкие (3–4 на пол оборота), вытянутые вдоль спирали, овальные параболические бугорки.

Лопастная линия (рис. 45) во внешней части состоит из широкой вентральной лопасти, разделенной широким и высоким сифональным седлом на две ветви, самой глубокой трехветвистой первичной боковой, двуветвистой в основании U^1 , мелкой I_2 , слабо индивидуализированной от ряда зубцов на умбрикальной стенке. Во внутренней части линии узкие I_1 и дорсальная. Седла во внешней части линии округленно-листовидные, суженые у основания. Седло V/L ниже, чем L/U^1 , которое на дорсальной стороне глубоко рассечено двузубчатой ветвью, расположенной примерно в средней части высоты седла. Лопасти L и U^1 расширены в основании, сужены кверху. Ветви вентральной лопасти и первичной боковой двузубчатые.

Сравнение. От *Ussurites arthaberi* Welter отличается высоким положением ветви на дорсальной стороне седла L/U^1 , которая глубоко рассекает седло примерно в середине его высоты. Молодой экземпляр *U. arthaberi* /Wanner, 1932, S. 281, Taf. 11, Fig. 8/ имеет лопастную линию с широкими лопастьями, узкими округленными седлами, ветвь, рассекающая седло L/U^1 с дорсальной стороны, отсутствует. В то же время примерно одинаковая по размеру раковина голотипа *U. cameroni* /McLearn, 1969, pl. 13, fig. 3/ имеет глубокорассеченное седло L/U^1 , вершины седел слабоприостренные, листовидной формы.

От *Ussurites spetsbergensis* (Oberg), у которого также известны параболические бугорки, отличается формой поперечного сечения оборота без приострения вентральной стороны, более широким умбрикусом, оборотами, медленно нарастающими в высоту.

Замечания. Сибирские формы *U. cameroni* McLearn несколько отличаются от канадских меньшей шириной оборотов, но среди последних имеется один экземпляр /McLearn, 1969, pl. 13, fig. 5/, идентичный как по относительным размерам раковины, так и по строению лопастной линии с *U. cameroni* Сибири.

Распространение. Средний триас, анизийский ярус, зоны *varium* и *deleeni* Британской Колумбии, зона *rotelliforme*, подзона *asseretoi* севера Средней Сибири.

Местонахождение и материал. Оленекский залив моря Лаптевых, пос. Ыстаниах-Хочо - 1 экз.; Северный Хараулах, бассейн р. Кенгдей, руч. Аргист-Агатын-Юрэгэ - 1 экз. и 1 фрагмент оборота, руч. Алджирхай - 1 фрагмент оборота.

Род *Indigiophyllites* Popow, 1961

Indigiophyllites: Попов, 1961, с. 111.

Типовой вид. *Indigiophyllites oimekonensis* (Popow), 1946; р. Индигирка, долина р. Турах-Юрях, около пос. Оймякон; ладинский ярус, нижнеладинский? подъярус.

Диагноз. Форма раковины и поперечное сечение оборотов как у *Ussurites*. Скульптура из частых радиальных струек роста, слабых складок, изгибающихся вперед наентральной стороне. Формула лопастной линии:

$(V_1 V_1) LU^1 I_2 : I_1 (D_1 D_1)$. Вентральная лопасть разделена высоким широким сифональным седлом на две узкие ветви, стенки сифонального седла зазубрены. Седло V/L округлое на ранних стадиях роста, тупоприостренное на поздних, сильно пережато в основании двузубчатой вентральной ветвью. Лопасть L самая глубокая, симметричная, трехветвистая, центральная ветвь – трехзубчатая, боковые – двузубчатые. Седло L/U^1 узкое, выше седла V/L , заостренное, рассечено с дорсальной стороны двузубчатой ветвью. Лопасти U^1 и I_2 первично двузубчатые, I_2 слабо индивидуализирована от нескольких зубцов на умбрикальной стенке.

Видовой состав. *Indigiophyllites oimekonensis* Popow /Попов, 1961, с. 112, табл. 16, фиг. 3/, I. popowi sp. nov.

Сравнение. Отличается от наиболее близкого *Ussurites* Hyatt, 1900 более сложной лопастной линией (см. отличия в описании последнего).

От *Monophyllites Mojsisovics*, 1875, сходного по форме седел и лопастей, отличается меньшим числом лопастей со слабой индивидуализацией лопасти I_2 , сильнее расчлененной боковой лопастью, зазубренным сифональным седлом.

Замечания. Род *Indigiophyllites*, по мнению его автора /Попов, 1961/, происходит от предкового рода *Ussurites*, и это вполне справедливо, так как оба рода имеют одинаковое число лопастей, а у *U. spetsbergensis* (Oberg), имеющего наиболее сложную лопастную линию среди *Ussurites* /Spath, 1934; Корчинская, 1982/, появляются зубцы на стенах сифонального седла, характерные для описываемого рода.

Сибирские уссуритиды из верхнего анизия зоны *nevadanus* и нижнего ладина до настоящего времени монографически не описаны. В списках фауны, приведенных в литературе по стратиграфии триаса Северо-Востока Азии, определения обычно даются в открытой номенклатуре /Архипов, 1974; Вавилов, Каплан, 1974; Дагис и др., 1974; Бычков и др., 1976; Бычков, 1977; Дагис и др., 1979; Дагис, Казаков, 1980, 1984; Дагис, Константинов, 1986/. Изучение северосибирских уссуритид из этого стратиграфического интервала показало, что все они имеют только три лопасти на боковой стороне, сильно расчлененную боковую лопасть, всегда зазубренное (в различной степени) сифональное седло. По этим признакам их следует отнести к роду *Indigiophyllites* Popow, 1961, а не к *Monophyllites Mojsisovics*, 1875, имеющему пять лопастей на боковой стороне и гладкое сифональное седло. К *Indigiophyllites* относятся экземпляры, описанные Ю.Н. Половым /1961/ как *Monophyllites aff. wengensis* (Klipstein) и *Ussurites cf. arthaberi* Welter; зазубривание стенок сифонального седла у последней формы было отмечено автором и хорошо заметно на изображениях лопастных линий обеих форм. Также к *Indigiophyllites* следует отнести и *Ussurites aff. arthaberi* Welter, описанный на материале из верхнего анизия зоны *dzeginense* бассейна р. Гижиги /Бычков и др., 1976/ и отличающийся от голотипа вида более сложно расчлененной и широкой лопастью L.

Род *Monophyllites*, по-видимому, не встречается в среднем триасе Северо-Востока Азии, отсутствуют упоминания этого рода также и из других бореальных регионов: Британской Колумбии, Арктической Канады и Свальбарда, в то же время он появляется в среднем анизиев Невады /Silberling, Nichols, 1982/, где известна смешанная бореальная и тетическая фауна /Дагис и др., 1979; Дагис, Казаков, 1984; Tozer, 1981b/. Возможно, *Monophyllites* s. s. ограничен в своем распространении Тетической областью.

Распространение. Средний триас, анизиев ярус, зона *nevadanus*, ладинский ярус севера Средней Сибири и Северо-Востока СССР.

Indigirophyllites popowi sp. nov.

Табл. 23, фиг. 5-7; табл. 24, фиг. 1, 2, 4

Название вида в честь Ю.Н. Попова, известного палеонтолога и стратиграфа.

Голотип. № 240/811. ЦСГМ. Дельта р. Лены, Оленекская протока, руч. Таас-Крест; анизиев ярус, зона *nevadanus*, подзона *nevadonus*.

Диагноз. Поперечное сечение последнего оборота овальное, вытянутое в высоту с максимальной шириной около умбрикального края. Скульптура из частых, нерегулярно расположенных слабых радиальных складок, тонких структур роста, параболических бугорков. Сифональное седло широкое, зазубренное, почти такой же высоты, что и седло V/L, которое имеет головчатую форму с сильно пережатым основанием. Двуэубчатая вентральная ветвь, расходящаяся седло V/L, расположена на уровне середины высоты сифонального седла.

Форма. Начальная камера эллипсоидальная шириной 0,9 мм. На первых трех-трех с половиной оборотах поперечное сечение оборота поперечно-овальное, у некоторых форм – субквадратное с пологовыпуклой или уплощенной вентральной стороной, которая плавно или со слабым вентральным краем переходит в пологовыпуклые боковые.

С ростом при диаметре раковины более 18-20 мм поперечное сечение оборота овальное, вытянутое в высоту. Вентральная сторона выпуклая от широко- до узкоокругленной, плавно переходит в выпуклые боковые. Умбрикальный край округленный, но отчетливый, умбрикальная стенка сравнительно не-высокая, крутяя.

Раковина на всех стадиях роста эволютная, умеренной толщины, с умеренно нарастающими в высоту слабообъемлющими оборотами. Умбрикус широкий, мелкий.

Размеры (мм) и отношения (%)

Экз.	Кол-во оборотов	Д	В	Ш	Д _у	В/Д	Ш/Д	Д _у /Д
240/811	–	37,7	13,6	12,5	15,5	36	33	41
	–	51	18	15,3	21	35	30	41
	–	70,1	23,5	20	29,5	34	29	43
242/811	4,7	30	11,4	10,8	11,4	38	36	38
243/811	–	14,6	5,5	5,6	6,2	38	38	42
244/811	4,5	22,3	8,8	8,2	8,7	39	37	36
245/811	4,5	23	9,5	9,5	8,2	41	41	36
246/811	4,5	21,8	8,9	8,5	7,4	41	39	34

4,7	27,7	11	10	9,7	40	36	35
248/811	—	32,7	13,3	12,3	12,1	41	38
249/811		45,7	20	—	15,5	44	34
252/811	—	24,1	10,5	10,2	8	44	42

Скульптура. На боковых сторонах нерегулярно расположенные слабые радиальные складки и пережимы, хорошо видные у голотипа (табл. 24, фиг. 1). Поверхность раковины с частыми (3–4 на 1 мм) тонкими струйками, идущими на боковых сторонах почти прямо по радиусу, слабоизогнутыми вперед на вентральной стороне. На ранних стадиях роста при диаметре раковины до 25–30 мм в месте перехода вентральных сторон в боковые встречаются редкие параболические бугорки (3–4 на пол-оборота) округленно-листо-видной формы, суженные в передней части, расширяющиеся и выпуклые – в задней (табл. 23, фиг. 7а).

Лопастная линия (рис. 46). При $W = 0,98$ мм, $B = 0,7$ мм (см. рис. 46, а) линия пятилопастная, V самая широкая и глубокая, двуветвистая, U^1 расположена на седле L/I , внутренняя боковая лопасть лежит на шве, делится воздымающимся седлом на две лопасти: $(V_1 V_1) L U^1 (I_2 I_1) (D_1 D_1)$.

При $W = 1$ мм, $B = 0,73$ мм лопасть I_2 на внешней стороне оборота (см. рис. 46, б). При $W = 1,2$ мм, $B = 0,85$ мм (см. рис. 46, в) в основании L появляется центральный зубец. При $W = 2,5$ мм, $B = 1,8$ мм лопасти L и U^1 трехзубчатые, ветви вентральной лопасти – неясно двузубчатые (см. рис. 46, г), седла овальные. С ростом зазубриваются первичные зубцы у всех лопастей, кроме D , зубцы образуются на стенках сифонального седла, седла пережатые, головчатой формы, V/L и L/U^1 рассечены двузубчательными выемками – первое с вентральной стороны, второе – с дорсальной, на седле I_2/I_1 образуется несколько зубцов (см. рис. 46, д, е).

Лопастные линии взрослых экземпляров (рис. 47) с тремя лопастями на боковой стороне, I_2 самая мелкая двузубчатая, слабо индивидуализирована от нескольких зубцов на умбиликальной стенке. Сифональное седло высокое и широкое, с 2–4 зубцами на стенках, седло V/L круглое, тупоприостренное, ниже, чем приостренное L/U^1 . Лопасть глубокая, трехветвистая, центральная ветвь – трехзубчатая, боковые – двузубчатые.

Изменчивость. Несколько варьируют все параметры раковины, наиболее сильно изменяется D/D , частота и сила радиальных складок. Голотип имеет наиболее широкий умбиликус, многочисленные складки.

Сравнение. От *Indigirophyllites oimekonensis* Popow из нижнеладинских отложений бассейна р. Индигирки отличается в среднем большей шириной оборотов (W/D 36–40), в том числе и у молодых экземпляров, более низким положением двузубчатой вентральной ветви, рассекающей седло V/L с вентральной стороны, которая у *I. oimekonensis* расположена значительно выше, на уровне вершины сифонального седла (Попов, 1961, рис. 20, д). В остальном лопастные линии *I. popowi* sp. nov. и *I. oimekonensis* Popow очень близки.

Распространение. Азиатский ярус, зона *nevadanus*, ладинский ярус, нижнеладинский подъярус севера Средней Сибири и Северо-Востока СССР.

Местонахождение и материал. Восточный Таймыр, м. Цветкова – 1 неполный экземпляр; Оленекский залив моря Лаптевых, пос. Ысттанах-Хо-чо – 2 экз.; дельта р. Лены, Оленекская протока, руч. Таас-Крест – 1 экз.; нижнее течение р. Лены, о. Таас-Арды – 1 фрагмент оборота; Северный Харуалах, бассейн р. Кенгдей; руч. Артист-Агатын-Юргэ – 6 экз., 4 фрагмен-

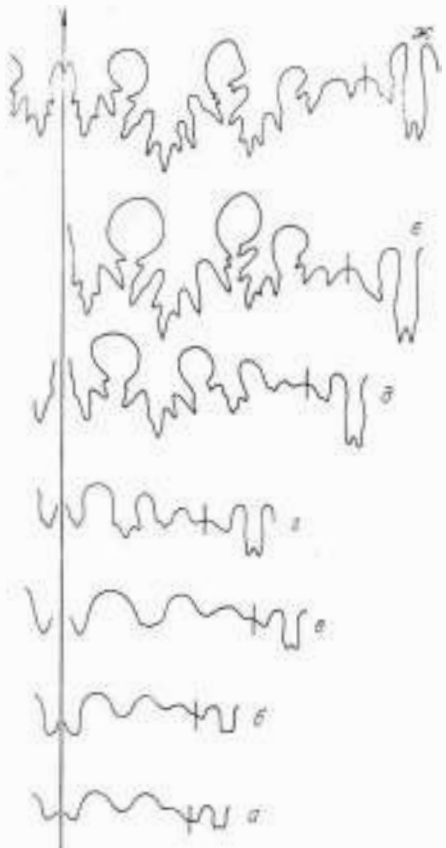


Рис. 46. Онтогенез лопастной линии *Indigiophyllites popowi*.

Экз. 242/811: а - при Ш =
= 0,98 мм, В = 0,7 мм; б - при Ш =
= 1 мм; В = 0,73 мм; в - при Ш = 1,2 мм
В = 0,85 мм; г - при Ш = 2,5 мм,
В = 1,8 мм; д - при Ш = 5,2 мм,
В = 4,6 мм; е - при Ш = 7,9 мм,
В = 7,8 мм; ж - при Ш = 11 мм,
В = 12 мм. Северный Хараулах, бас-
сейн р. Кенгдей, руч. Артист-Ага-
тын-Юрэгэ, зона *nevadanus*, подзона *nevadanus*.

та оборотов, руч. Алджирхай - 1 экз.;
р. Укта, руч. Луктаах - 1 экз.; о. Ко-
тельный, лагуна Станции - 1 экз., 1 не-
полный экземпляр и 1 фрагмент оборо-
та; среднее течение р. Колымы, бас-
сейн р. Малая Бургали, руч. Нимфа - 1
неполный экземпляр и 5 фрагментов
оборотов.



Рис. 47. Лопастные линии *Indigi-
ophyllites popowi*.

а - экз. 238/811, при Ш =
= 19,1 мм, В = 27 мм; среднее
течение р. Колымы, руч. Нимфа,
зона *nevadanus*, подзона *dze-
ginense*, б - экз. 241/811,
при Ш = 17,7 мм, В = 22,5 мм;
бассейн р. Кенгдей, руч. Аргист-
Агатын-Юрэгэ, зона *nevada-
nus*, подзона *nevadanus*; в -
экз. 247/811, при Ш = 14,3 мм,
В = 15,4 мм; местонахождение то
же, зона *nevadanus*, подзона
sublaqueatus; г - экз. 250/811,
при Ш = 21,5 мм, В = 31,7 мм;
о. Котельный, лагуна Станции,
нижний ладин?; д - экз. 249/811,
при Ш = 11 мм, В = 12,7 мм; Оле-
некский залив, пос. Ыстаннах-Хо-
чо, нижний ладин, зона *oleshkoii*;
е - экз. 252/811, Ш = 10,2 мм,
В = 11 мм; бассейн р. Кенгдей,
руч. Алджирхай, нижний ладин, зона
omolojensis.

БИОСТРАТИГРАФИЯ ВЕРХНЕГО АНИЗИЯ СЕВЕРА СИБИРИ

ОБЪЕМ И ГРАНИЦЫ ВЕРХНЕГО АНИЗИЙСКОГО ПОДЬЯРУСА

Анизиный ярус был выделен В. Ваагеном и К. Динером / Mojsisovics et al., 1895/ в составе зон *Ceratites binodosus* (балатонский подъярус) и *Ceratites trinodosus* (боснийский подъярус) в верхней части альпийского раковинного известняка, первоначально выделенных Э. Мойсисовичем /1869/ под названиями *Trachyceras balatonicum* и *Arcestes studeri*. Объем и расчленение яруса претерпели с тех пор значительные изменения. Нет необходимости подробно останавливаться на эволюции взглядов на расчленение анизия, так как этот вопрос освещен в ряде работ /Silberling, Tozer, 1968; Дагис и др., 1979; Общая шкала..., 1984; Шевырев, 1986/. Отметим только, что названия подъярусов анизия "балатонский" и "боснийский" были заменены Дж. Пиа / Pia, 1930/ на "пельсон" и "иллир" соответственно. Нижний иллир отвечает зоне *trinodosus*, верхний – пограничной битуминозной зоне Тессинских Альп.

Верхний анизиный подъярус, или иллир, в стратотипической местности первоначально охватывал только зону *trinodosus*. Первое расширение объема подъяруса, базирующееся на ревизии последовательности аммоидных фаун Альп, было предпринято Р. Ассерето /Assereto, 1969/, включившего в иллир выше зоны *trinodosus* зону *Dinarites (= Aplococeras) avisianus*, которая в первой схеме /Mojsisovics et al., 1895/ была ошибочно отнесена к ладину и помещена между зонами *curionii* и *archelaus*. Анализ стратиграфического распространения аммоидей в разрезах типовых местонахождений зональных видов *binodosus* и *trinodosus* и данные по стратотипу анизиального яруса позволили Р. Ассерето /Assereto, 1971/ выделить в зоне *binodosus* три уровня и показать приуроченность вида-индекса только к верхней части третьего уровня, т.е. к верхней части зоны *binodosus* Э. Мойсисовича. Этот уровень позднее /Assereto, 1974; Kozur, 1973/ был включен в зону *trinodosus* на основании появления в нем нового фаунистического элемента – рода *Paraceratites*. Однако эти построения не бесспорны. Э.Т. Тозер /Tozer, 1981b/ считает неправомерным отнесение *Ceratites binodosus* к роду *Paraceratites*, к которому, по его мнению, с уверенностью может быть отнесен только *C. trinodosus*. На этом основании он помещает зону *binodosus* в пельсон. Кроме того, следует отметить, что в типовой местности зоны *binodosus*, в окрестностях Донта, *Paraceratites binodosus* встречается совместно с *Balatonites* /Assereto, 1971, S. 35/, типичным пельсонским родом. Другим свидетельством в пользу отнесения уровня с *binodosus* к пельсону является, на наш взгляд, наличие форм, близких к *P. binodosus* в нижней части зоны *Balatonites balonicus* в окрестностях озера Балатон, определенных А. Ферешем /Vörös, 1987/ как *Beyrichites? loretzi* Mojsisovics.

Несмотря на определенную дискуссионность нижней границы верхнего анизия, наиболее уверенно в настоящее время она может быть проведена в основании зоны *trinodosus* в широком смысле (с включением слоев с *P. binodosus*).

Нет единства также в проведении верхней границы анизия. После выделения ладинского яруса /Bittner, 1892/ в объеме бухенштайнских и венгенских слоев Итальянских Альп, граница анизия – ладина обычно проводилась в основании бухенштайнских слоев. Как справедливо заметил Г. Рибер

/Rieber, 1967/, для достижения ясного определения границы нужно проводить ее не по литологическому признаку, а по появлению новых фаунистических элементов. Таковым обычно считается "Protrachyceras" reitzi (Böckli), описанный не из типовой местности бухенштайнских слоев и принятый в качестве вида-индекса нижней зоны "горийского" (= ладинского) яруса /Mojsisovics, 1882/. Р. Ассерето /Assereto, 1969/ проводил границу аизия – ладина между зонами avisianum и reitzi. Этой же точки зрения придерживался первоначально Г. Рибер /Rieber, 1973/, проводивший границу ярусов в кровле зоны *Ticinites polymorphus* Тессинских Альп, более или менее коррелятивной зоне avisianum, ниже первых находок "Protrachyceras" (= *Nevadites*). Иного мнения придерживается Г. Коцур /Kozur, 1975/, который относит зону avisianum к ладину и проводит границу в кровле зоны *trinodosus* из соображений приоритета. Третий вариант проведения границы – в кровле зон *occidentalis* Невады или *reitzi* Альп по первому появлению настоящих трахицератид отстаивают американские палеонтологи /Silberling, Tozer, 1968; Silberling, Nichols, 1982/. К этой точке зрения присоединился и Г. Рибер /Brack, Rieber, 1986/ после изучения разрезов бухенштайнских слоев Брешских Предальп и Юдикарии, считая наиболее резким биостратиграфическим рубежом исчезновение цератитид рода *Chieseiceras* в кровле зоны *reitzi* и появление настоящих трахицератид в зоне *curionii*.

Последний вариант, несмотря на его некоторые расхождения с первоначальным определением как аизийского, так и ладинского ярусов, сейчас наиболее приемлем, и эта граница принята в настоящей работе.

ОСНОВНЫЕ РАЗРЕЗЫ ВЕРХНЕГО АИЗИЙСКОГО ПОДЬЯРУСА СЕВЕРА СИБИРИ

Большая часть изученных разрезов верхнего аизия расположена в пределах Лено-Анабарской структурно-фацальной области: на Восточном Таймыре, в междуречье Оленека и Лены, на севере Хараудаха (рис. 48). В этом регионе известны исключительно полные и прекрасно фаунистически характеризованные разрезы аизийского яруса Северо-Востока СССР, позволяющие проследить стратиграфическую последовательность комплексов аммоноидей, являющихся основой биостратиграфических построений.

Верхнеаизийские отложения представлены переслаиванием пачек темно-серых алевролитов, аргиллитов с многочисленными глинисто-карбонатными конкрециями и песчаников мелковзернистых морского генезиса, в верхней части возрастает доля песчаников (Восточно-Таймырская, Лено-Оленекская структурно-фацальные зоны). В отдельных местах разрез верхнего аизия завершает континентальная пачка песчаников (побережье Оленекского залива моря Лаптевых). Максимальная мощность верхнеаизийских отложений наблюдается на Восточном Таймыре – 114 м, средняя – 77–96 м в Лено-Оленекской структурно-фацальной зоне, минимальная – 14–28 м в Нижнеленской.

В работе приводится только краткое описание разрезов севера Средней Сибири, а также о. Котельного и бассейна Малая Бургали. Палеонтологическая характеристика ограничена комплексами аммоноидей. Полная литолого-геохимическая характеристика разрезов севера Сибири приведена в работах А.С. Дагиса и А.М. Казакова /Казаков и др., 1982; Дагис, Казаков, 1982, 1984/. Описание разрезов о. Котельного дается по работе А.Ю. Егорова и др. /1987/, руч. Артист-Агатын-Юрэгэ – А.С. Дагиса, А.Г. Константинова /1986/, руч. Алджирхай – по материалам А.Ю. Егорова и автора, бассейна

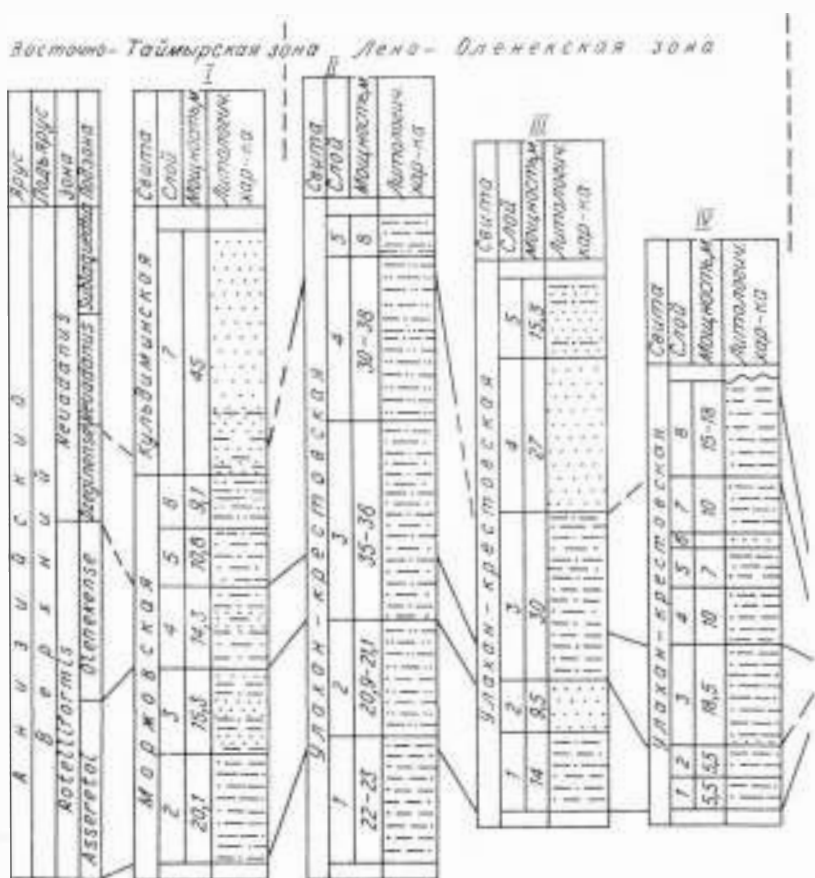


Рис. 48. Корреляция разрезов верхнего аниэйского подъяруса севера Сибири. Номера разрезов см. в тексте.

1 - перерыв, 2 - последние находки вида-индекса нижележащей подзоны, 3 - песчаник, 4 - алевролит, 5 - алевролит глинистый, 6 - алевролит песчанистый, 7 - аргиллит, 8 - глина.

р. Малая Бургали - по материалам автора. Нами принято (используется) структурно-фациальное районирование триаса по работе А.С. Дагиса и др. /1979/.

ЛЕНО-АНАБАРСКАЯ СТРУКТУРНО-ФАЦИАЛЬНАЯ ОБЛАСТЬ

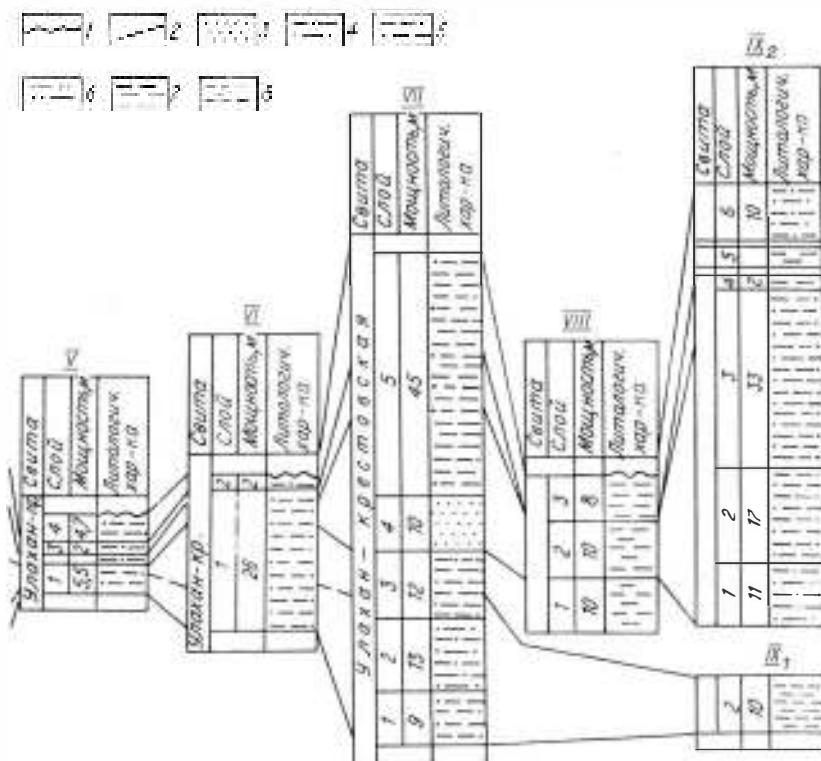
I Восточный Таймыр, м. Цветкова

Моржовская свита

Верхнеморжовская подсвита

На алевролитах крупнозернистых, песчаных плотных с прослойми алевролитовых аргиллитов с *Intornites nevadanus* и *Arctohungarites sp.* залегают снизу вверх:

Нижнеленская зона



Мощность, м

1. Алевролиты темно-серые, глинистые, с линзами ракушняков. Аммоидеи в основании слоя *Gymnotoceras* sp., в 3–6 м от основания *Gymnotoceras ex gr. rotelliforme*, *Intornites nevadanus*, *Parapopanoceras asseretoi*. В 3 м ниже кровли *Gymnotoceras rotelliforme*, *Intornites ex gr. nevadanus*, *Parapopanoceras* sp. 14,3

2. Чередование зеленовато-серых мелкозернистых песчаников и глинистых алевролитов через 2–6 м. В 5 м от основания *Gymnotoceras inflatum* sp. nov., *Intornites nevadanus* 15,3

3. Алевролиты темно-серые, глинистые, с маломощными прослоями (1,5 x 0,5 м) зеленовато-серых песчаников в средней части. В нижних 8 м встречены *Gymnotoceras rotelliforme*, *G. aff. blakei*, *G. inflatum* sp. nov., *Parapopanoceras* sp. ind., в верхних 3 м – *Gymnotoceras ex gr. rotelliforme*, *G. inflatum* sp. nov., *G. zvetkovi* sp. nov. 20

4. Алевролиты серые, темно-, зеленовато-серые, глинистые, с карбонатными конкрециями, прослоями алевролитов крупнозернистых в верхней части. Аммоидеи *Frechitoides migayi* – доминант, *F. carinatus*, *Ar-*

ctogymnites sonini, Ptychites pseudoeuglyphus sp. nov., Longobardites canadensis, Neocladiscites parenicus, N. tasmanensis, Indigiophyllites sp. ind. Очень редки Parapopanoceras dzeginense, P. tetsa, много араптихов	10,8
5. Алевролиты известковистые, крупнозернистые косо- и пологоволнисто-слоистые	9,1

Кульдиминская свита

Нижнекульдиминская подсвита

Мощность, м

6. Песчаники серые, мелко- и крупнозернистые, в нижней части с прослойями алевролитовых аргиллитов. Аммоидии не встречены	45
Выше залегают алевролиты с раннеладинскими двустворками.	

II Оленекский залив моря Лаптевых, пос. Ыстаннах-Хочо, м. Улахан-Крест

Улахан-крестовская свита

На глинистых алевролитах с *Czekanowskites gastroplanus*, *Arctohungarites kharaulakhensis*, *Intornites nevadanus* залегают снизу вверх:

Мощность, м

1. Аргиллиты темно-серые, с прослойями карбонатных конкреций. Аммоидии <i>Gymnotoceras rotelliforme</i> , <i>G. inflatum</i> sp. nov., <i>Intornites nevadanus</i> , <i>Parapopanoceras asseretoi</i>	5
2. Песчаник серый, мелкозернистый	3,5
3. Алевролиты темно-серые, глинистые, с <i>Gymnotoceras rotelliforme</i> , <i>Ussurites</i> sp.	10
4. Песчаник зеленовато-серый, мелкозернистый	7
5. Алевролиты темно-серые, глинистые, с прослойями карбонатных конкреций. Аммоидии <i>Gymnotoceras blakei</i> , <i>G. olenekense</i> , <i>G. ex gr. rotelliforme</i> , <i>Parapopanoceras cf. plicatum</i> в нижних 10–11 м; <i>Frechitoides migayi</i> , <i>F. olenekensis</i> , <i>F. carinatus</i> , <i>Arctogymnites sonini</i> , <i>Longobardites canadensis</i> , <i>Ptychites pseudoeuglyphus</i> sp. nov., <i>Parapopanoceras dzeginense</i> , <i>Indigiophyllites popowi</i> sp. nov. в 13 и 20 м от основания	35
6. Песчаники зеленовато-серые, мелкозернистые, с крупными карбонатными стяжениями. Аммоидии <i>Frechites ex gr. nevadanus</i> в 3–4 м ниже кровли	30–38
7. Алевролиты глинистые, разнозернистые, в нижних 3 м крупнозернистые, песчаные, с прослойями известковых эллипсоидальных конкреций, с мелкими желваками пирита, маломощными прослойями с иглами морских ежей. Аммоидии <i>Parafrechites meeki</i> , <i>P. aff. meeki</i> , <i>Arctogymnites sonini</i> , <i>Frechites</i> в основании; <i>Arctogymnites sonini</i> в 2,5 м от основания; <i>Longobardites canadensis</i> , <i>Arctogymnites sonini</i> , <i>Indigiophyllites popowi</i> sp. nov. в 8 м от основания.	
Выше, в 8,5 м от основания встречены <i>Intornites oleshkoi</i> , <i>Indigiophyllites popowi</i>	11

III Оленекский залив моря Лаптевых, устье руч. Стан-Хая-Юрээ

Улахан-крестовская свита

На глинистых алевролитах с небольшими конкрециями с *Arctohungarites* sp., *Intornites nevadanus* снизу вверх залегают:

Мощность, м

1. Переслаивание алевролитов массивных и алевролитов глинистых, оскольчатых. Аммоидей <i>Gymnotoceras rotelliforme</i> , <i>Intornites nevadanus</i> в 0-4 м от основания	14
2. Песчаник темно-зеленовато-серый, слоистый, с прослойми карбонатных конкреций, с <i>Gymnotoceras</i> sp. ind.	9,5
3. Переслаивание алевролита темно-серого, глинистого, оскольчатого и алевролита крепкого, крупнооскольчатого. Аммоидей <i>Gymnotoceras blakei</i> , G. cf. <i>inflatum</i> , <i>Parapopanoceras ex gr. tetsa</i> в 1,8 м от основания; <i>Gymnotoceras olenekense</i> в 7,1-7,3 м от основания; <i>Arctogymnites sonini</i> , <i>Ptychites pseudoeuglyphus</i> sp. nov., 9 м от основания; <i>Frechitoides migayi</i> , <i>Ptychites pseudoeuglyphus</i> sp. nov., <i>Longobardites canadensis</i> , L. sp. ind. в 11,4 м от основания; <i>Frechitoides migayi</i> , F. carinatus, <i>Longobardites canadensis</i> в 12,6 м от основания; <i>Frechitoides migayi</i> в 15,6 м от основания	30
4. Песчаник темно-зелено-серый, мелковзернистый, с прослойми карбонатных конкреций.	27
5. Песчаник светло-серый, мелковзернистый, с прослойми алевролитов...	15,3

Выше переслаивание алевролитов темно-серых и зеленовато-серых плитчатых песчаников, содержащих в 1,2 м от основания *Intornites oleshkoi*, *Indigiophyllites* sp.

IV. Дельта р. Лены, Оленекская протока, руч. Таас-Крест

Улахан-крестовская свита

На глинистых алевролитах с *Czekanowskites gastroplanus* и *Arctohungarites kharaulakhensis* последовательно залегают снизу вверх:

Мощность, м

1. Алевролиты глинистые, с прослойми карбонатных конкреций. Аммоидей <i>Gymnotoceras rotelliforme</i> , G. <i>inflatum</i> sp. nov., <i>Parapopanoceras asseretoi</i> , <i>Intornites nevadanus</i> в нижних 5,5 м; <i>Gymnotoceras ex gr. rotelliforme</i> в 5,5-6,5 м от основания	11
2. Алевролиты темно-серые, глинистые, в основании с пластом песчаника мощностью 0,5 м, с прослойми карбонатных конкреций. Аммоидей <i>Gymnotoceras blakei</i> , G. ex gr. <i>rotelliforme</i> , G. <i>inflatum</i> sp. nov., <i>Parapopanoceras</i> sp. ind.	18
3. Породы, аналогичные слою 2, но с более редкими прослойми известковых конкреций в верхней части. Аммоидей <i>Frechitoides migayi</i> в основании; <i>Arctogymnites sonini</i> , <i>Frechitoides migayi</i> , <i>Parapopanoceras dzeginense</i> , <i>Neocladiiscites parenicus</i> , <i>Ptychites pseudoeuglyphys</i> sp. nov., <i>Longobardites canadensis</i> в 6-10 м от основания <i>Parapopanoceras</i> sp. ind. в верхних 7 м	17
4. Песчаник зеленовато-серый, мелковзернистый	2,5
5. Алевролиты глинистые, с прослойми более плотных алевролитов. Аммоидей в основании <i>Frechites lenaensis</i> sp. nov., <i>Arctogymnites sonini</i> , <i>Neocladiiscites parenicus</i> , <i>Parafrechites aff. meeki</i>	12-18

Выше залегают алевролиты глинистые, с прослойми игл морских ежей и *Indigirites* sp.

V. Нижнее течение р. Лены, о. Таас-Ары

Улахан-крестовская свита

На алевролитах с *Arctohungarites kharaulakhensis* и *Intornites ex* gr. *nevadanus* залегают:

Мощность, м

- | | |
|---|-----|
| 1. Алевролиты глинистые, с прослойми карбонатных конкреций. Аммоноиды <i>Gymnotoceras rotelliforme</i> , <i>G. tasaryense</i> sp. nov., <i>G. ex</i> gr. <i>inflatum</i> , <i>Parapopanoceras asseretoi</i> , <i>Intornites nevadanus</i> в основании, 1,1 и 1,3 м от основания слоя | 3,5 |
| 2. Те же алевролиты, но без конкреций | 3,5 |
| 3. Алевролиты темно-серые, с прослойми карбонатных конкреций, с <i>Parapopanoceras dzeginense</i> , <i>Arctogymnites sonini</i> , <i>Frechites cf. nevadanus</i> , <i>Indigiophyllites cf. popowi</i> sp. nov. | 2,5 |
| 4. Алевролиты глинистые и аргиллиты с конкрециями некарбонатного состава. Аммоноиды <i>Frechites nevadanus</i> , <i>F. sp. ind.</i> , <i>Arctogymnites sonini</i> , <i>Indigiophyllites cf. popowi</i> sp. nov. | 2,4 |
| 5. Алевролиты глинистые, темно-серые, с прослойми карбонатных конкреций, с маломощными линзами ракушняка из обломков раковин двустворок, гастропод, с иглами морских ежей. Аммоноиды <i>Frechites nevadanus</i> в 1 м от основания; <i>Parafrechites sublaqueatus</i> , <i>P. meeki</i> в средней части; <i>Parafrechites cf. sublaqueatus</i> , <i>Frechites nevadanus</i> , <i>Longobardites canadensis</i> в верхней части | 2,8 |
- Выше залегают алевролиты темно-серые, глинистые, с двумя линзовидными прослойми ракушнякового известняка (мощностью 4–5 см). В 2 м от основания встречен *Indigirites* sp.

VI. Хараулахские горы, бассейн р. Кенгдей, руч. Алджаирхай

Улахан-крестовская свита

На песчаниках серых и зеленовато-серых с *Arctohungarites kharaulakhensis*, *Czekanowskites gastroplanus* залегают: Мощность, м

- | | |
|--|----|
| 1. Пачка глинистых алевролитов с редкими маломощными (0,3–0,5 м) прослойми конкреций известкового алевролига и песчанистых алевролитов (до 1 м), линз детритового пелецеподового известняка (5 см) в верхней части. Аммоноиды <i>Gymnotoceras rotelliforme</i> , <i>G. cf. inflatum</i> sp. nov., <i>Parapopanoceras asseretoi</i> в 8 м от основания; <i>Parapopanoceras dzeginense</i> и <i>Arctogymnites sonini</i> в 18 и 19 м от основания; <i>Frechites nevadanus</i> , <i>Arctogymnites sonini</i> в 23 м от основания; единичные <i>Parafrechites cf. sublaqueatus</i> в 26 м от основания | 26 |
| 2. Алевролиты глинистые, пелитоморфные, неслоистые | 2 |
| 3. Глина серая, с гнездами желтой, тощая, пластичная, неслоистая, со шебнем и дресвой подстилающих алевролитов до 0,15 | |

Выше залегают алевролиты глинистые, сходные с таковыми сл. 2, с горизонтами караваеобразных карбонатных конкреций диаметром до 15 см. В 0,5 м от основания *Arctoptychites omolojensis*, *Arctogymnites spektori*.

VII. Хараулахские горы, бассейн р. Кенгдей, руч. Артист-Азатын-Юрээ

Улахан-крестовская свита

На алевролитах с *Czekanowskites gastroplanus*, *Arctohungarites kharaulakhensis* залегают:

	Мощность, м
1. Алевролиты глинистые, темно-серые, с прослойми карбонатных конкреций. Аммоидей <i>Gymnotoceras rotelliforme</i> , <i>G. inflatum</i> , <i>Parapopanoceras asseretoi</i> , <i>Intornites nevadanus</i> , <i>Ussurites cameroni</i>	9
2. Алевролиты зеленовато-серые, крупнозернистые, плотные, с <i>Gymnotoceras rotelliforme</i> , <i>G. inflatum</i> sp. nov., <i>Parapopanoceras asseretoi</i> , <i>Intornites nevadanus</i>	13
3. Алевролиты темно-серые, глинистые, с прослойми конкреций. Аммоидей <i>Parapopanoceras asseretoi</i> , <i>Gymnotoceras rotelliforme</i> , <i>G. inflatum</i> в нижней части слоя; <i>G. sp. ind.</i> в средней части слоя; <i>G. inflatum</i> sp. nov., <i>G. cf. tasaryense</i> sp. nov., <i>G. cf. ole-nekense</i> , <i>Parapopanoceras plicatum</i> , <i>P. ex gr. tetsa</i> в верхней части	12.
4. Песчаники зеленовато-серые, с шаровидными карбонатными конкрециями, с <i>Parapopanoceras dzeginense</i> , <i>Arctogymnites sonini</i> , <i>Longobardites canadensis</i>	10
	Мощность, м
5. Аргиллиты темно-серые и алевролиты глинистые, с прослойми карбонатных конкреций. Аммоидей <i>Parapopanoceras dzeginense</i> (доминант), <i>Frechites cf. nevadanus</i> , <i>Arctogymnites sonini</i> в 7-15 м от основания; <i>Frechites nevadanus</i> , <i>Parafrechites</i> sp. в 17-25 м от основания; <i>Parafrechites sublaqueatus</i> (доминант), <i>Frechites nevadanus</i> , <i>Longobardites canadensis</i> , <i>Indigiophyllites popowi</i> sp. nov. в 30-35 м от основания; <i>Parafrechites sublaqueatus</i> P. evolutus sp. nov., <i>Frechites</i> sp. ind., <i>Longobardites canadensis</i> , <i>Indigiophyllites popowi</i> sp. nov. в 35-45 м от основания	45

НОВОСИБИРСКАЯ СТРУКТУРНО-ДИНАМИЧЕСКАЯ

VIII Отрасль Каталогический индекс

На глинах темно-серых, аргиллитоподобных, сланцеватых, с большим количеством фосфатных конкреций с *Malletoptychites kotschetkovi*

Мощность, м
двумя мелкими разрывами. По всей мощности слоя встречаются *Parafrechites sublaqueatus*, *Indigiophyllites popowi* sp. nov., анатихи. В кровле слоя прослой (0,3 м) глин плотных, серых, вероятно, известковистых 8

4. Глины черные, аргиллитоподобные, сланцеватые, с очень тонкой горизонтальной слоистостью и огромным количеством шаровидных и эллипсоидальных фосфатных конкреций. Близ кровли глины обожрены ярозитом, разложены, интенсивно загипсованы, фауна из них выщелочена. Аммоидей *Arctoptychites omolojensis* в 0,5 и 1,5 м от основания; *Indigiophyllites popowi* в верхней части 6

ОМУЛЕВСКАЯ СТРУКТУРНО-ФАЦИАЛЬНАЯ ОБЛАСТЬ

IX₁. Среднее течение р. Калмы, р. Малая Бургали

Мощность, м
1. Аргиллиты оскольчатые, скоруповатые, серые, с редкими мелкими (до 10 см) глинисто-карбонатными шаровидными и эллипсоидальными конкрециями и прослойками конкреций. Аммоидей *Czekanowskites gastroplanus*, *Pararopanoceras pariscatum*, *Anagymnotoceras ino*. в конкрециях, реже во вмещающей породе в 3 и 5 м от основания, *Czekanowskites cf. gastroplanus* в верхней части Видимая 12

2. Аргиллиты буровато- и зеленовато-серые, мелкооскольчатые, в основании с прослоем (0,2 м) аргиллитов ржаво-окристых; редкие овальные глинисто-карбонатные конкреции по всему слою. Аммоидей *Gymnotoceras cf. rotelliforme*, *Pararopanoceras asseretoi* 10

Выше по склону задерновано. Вышележащие отложения обнажены на руч. Нимфа – правом притоке р. Малая Бургали

IX₂. Руч. Нимфа – правый приток р. Малая Бургали

Мощность, м
1. Алевролиты глинистые, серые и темно-серые, крупнооскольчатые с крупными лепешковидными глинисто-карбонатными конкрециями диаметром до 0,1 м. Аммоидей *Pararopanoceras dzeginense* в 6, 5, 7, 5, 9 и 11 от основания; *Neocladiiscites* sp. ind. в 9 м от основания 11

2. Алевролиты темно-серые, глинистые, плигчатые и крупнооскольчатые, с прослойками овальных глинисто-карбонатных конкреций. Аммоидей: по всему слою многочисленные *Pararopanoceras dzeginense*, в 4 м ниже кровли *Indigiophyllites popowi* sp. nov. 17

3. Алевролиты глинистые, темно-серые, крупноплитчатые, с овальными и лепешковидными глинисто-карбонатными конкрециями (до 10-15 см), в верхней части мелкооскольчатые, буровато- и зеленовато-серые. Аммоидей: по всему слою многочисленные *Pararopanoceras dzeginense*, в 4, 13, 20 и 26 м от основания *Arctogymnites sonini*; в кровле обломки оборотов *Indigiophyllites* sp. ind., отпечатки *Frechites* sp. ind. 33

4. Аргиллиты темно-серые, мелкооскольчатые, с мелкими (до 5-7 см) шаровидными глинисто-карбонатными конкрециями и прослойками лепешковидных конкреций мощностью до 5-10 см. Аммоидей *Frechites nevadanus*, *Parafrechites sublaqueatus*, *Arctogymnites sonini*, *Longobardites canadensis*, *Pararopanoceras malmgreni*, *Pararopano-*

ceras sp.	Мощность, м	3
Задерновано 1,5 м по мощности.		
5. Породы, аналогичные сл. 4, но с многочисленными горизонтами лепешковидных конкреций. Аммоноидеи: крупные <i>Parafrechites sublaqueatus</i> в 1 и 3 м от основания, единичные <i>Pararopanoceras dzeginense</i> в кровле слоя <i>Parafrechites ex gr. meeki</i>	3,5	
Вышележащие отложения в районе не обнажены.		

ЗОНАЛЬНАЯ СХЕМА ВЕРХНЕГО АНИЗИЙСКОГО ПОДЪЯРУСА

Верхний аизий Сибири имеет отчетливое двучленное строение. Во всех детальных зональных схемах верхнего аизийского подъяруса этого региона /Вавилов, 1973; Бычков, 1974; Дагис и др., 1979/, как и в Канаде, начиная с самой первой /Архипов, 1971, 1974/, выделяются две зоны. Нижняя характеризуется бескилевыми *Gymnotoceras*, верхняя – килевыми "Gymnotoceras" (= *Parafrechites*), *Frechitoides* и *Frechites*, что отражает общую закономерность в эволюции бореальных бейрихигид, отмеченную Э.Т. Тозером /Tozer, 1967/. Комплексы аммоноидей обеих зон существенно отличны на родовом уровне и по другим группам. Единственным общим для них был лишь род *Pararopanoceras*.

На основании исследований последних лет разрезов аизийских отложений севера Сибири в пределах зон *rotelliforme* и *humboldtensis* было выделено пять подзон /Дагис, Константинов, 1986/; две в нижней зоне и три в верхней, вид-индекс верхней зоны заменен на *Frechites nevadanus* – старший синоним *Frechites humboldtensis* /Silberling, Nichols, 1982/. В настоящей работе дополняется и уточняется видовой состав аммоноидей, внесены некоторые изменения в номенклатуру подзон. Страграфическое распространение аммоноидей показано в табл. 1.

АНИЗИЙСКИЙ ЯРУС

Верхнеанизийский подъярус

Объем верхнего подъяруса принимается в данной работе в составе зон *Gymnotoceras rotelliforme* и *Frechites nevadanus*. Нижняя граница подъяруса проводится на севере Сибири по исчезновению комплекса эндемичных родов *Arctohungarites*, *Czekanowskites* и массовому появлению бейрихитид, рода *Gymnotoceras*. Верхняя граница совпадает с границей аизийского и ладинского ярусов, проводится по почти полному исчезновению бейрихитид, а именно родов *Frechites* и *Parafrechites*. Детальное рассмотрение спорных моментов, касающихся в значительной мере верхней границы аизия в Сибири и статуса пограничной с аизием зоны *Intornites oleshkoi*, приведено в корреляционной части.

Зона *Gymnotoceras rotelliforme*

Вил-яппака, *Gymnotoceras rotelliforme* Meek /Meek, 1877; р. 111, pl. 10, fig. 9/.

Странтиган, Оленекский залив моря Лаптевых, разрез у пос. Ыстаннах-Хочо, сл. 16 /Дагис и др., 1979/.

Номенклатура. Зона впервые выделена для Восточной Якутии Ю.В. Архиповым /Архипов, 1971; Archipov et al., 1971/ под названием *Gymnotoceras blakei*. Позднее Ю.М. Бычков /1974/, ссылаясь на слабую изу-

Таблица 1. Стратиграфическое распространение аммоноидей в верхнеанзийских и пограничных отложениях севера Сибири

Вид	Азиатский						Ладин	
	Средний		Верхний					
	kharau-	rotelliforme	nevadanus			Nижний		
	akhensis					oleshkoi		
	gastrop-	asseretoi	olene-	dzegi-	nevada-	subla-		
	lanus		kense	nense	nus	queatus		
Anagymnotoceras ino (McLearn)								
Anagymnotoceras helle (McLearn)								
Hollandites aff. pelletieri McLearn								
Intornites nevadanus (Hyatt et Smith)								
Parapopanoceras asseretoi (Dagys et Erm.)								
Usurites cameroni (McLearn)								
Gymnotoceras rotelliforme Meek								
G. inflatum sp. nov.								
G. tasaryense sp. nov.								
G. blakei (Gabb)								
G. deleeni McLearn								
G. zvetkovi sp. nov.								
G. olenekeense Dagys et Konst.								
G. aff. zvetkovi sp. nov.								
Frechitoides migayi (Kipar.)								
F. olenekeensis Konst.								
F. carinatus Konst.								
Parapopanoceras plicatum								
Bytschkov								
P. dzeginense Voinova								
P. malmgreni (Lindström)								
P. tet sa McLearn								

- Arctogymnites* sp.
A. sonini Popow
A. clivosus Byl. et Vavilov
Neocladiscites taskanensis Popow
N. parenticus Popow
Ptychites pseudoeuglyptus sp. nov.
Frechites nevadarus (Mojs.)
F. lenaeensis sp. nov.
F. chischetiformis sp. nov.
Parafrechites meeki (Mojs.)
P. sublaqueatus (Byl.)
P. kharoulakhensis sp. nov.
P. evolutus sp. nov.
P. egorovi sp. nov.
P. aff. meeki Mojs.
Longobardites canadensis McLearn
Indigiophylites popowi sp. nov.
Intornites oleskoi (Archipov)
Arctogymnites spektori Archipov

ченность стратиграфического распространения видов рода *Gymnotoceras* на Северо-Востоке Азии и ограниченный диапазон стратиграфического распространения *G. blakei* в Неваде, заменил вид-индекс зоны на широко распространенный местный вид *Amphipopanoceras* (= *Parapopanoceras*) *dzeiginense*. А.С. Дагис и др. /1979/, опираясь на новые данные по распространению *P. dzeiginense*, отказалась от последнего названия и предложили в качестве вида-индекса *Gymnotoceras rotelliforme*. Синонимом считается зона *Gymnotoceras deleeni*, выделенная М.Н. Вавиловым /1973/ для Восточного Таймыра. Аналоги зоны *rotelliforme* в схеме Ю.Н. Попова /1961/ не отражены.

Стратиграфия и палеонтологическая характеристика. Нижняя граница проводится по появлению рода *Gymnotoceras*. В зону не проходят роды *Czekanowskites* и *Arctohungarites*. Обшим видом для зоны *rotelliforme* и верхов среднего аниза является *Intornites nevadanus*. Специфичен и доминирует в зоне род *Gymnotoceras*. Более редки находки родов *Intornites*, *Parapopanoceras*, *Ussurites*.

Распространение. Достоверно зона прослеживается на севере Средней Сибири, Омolonском массиве (р. Русская), в среднем течении р. Колымы (бассейн р. Малая Бургали). Отдельные виды зоны известны из Восточной Якутии, Охот-

ского побережья, но эквиваленты зоны *rotelliforme* на территории Сибири устанавливаются с трудом, так как часто к этой зоне были отнесены слои с *Parapopanoceras dzeginense*, *Arctogymnites*, *Neocladiscites*, имеющие более молодой возраст.

Подзона Parapopanoceras asseretoi

Вид-индекс. *Parapopanoceras asseretoi* Dagys et Ermakova /Дагис, Ермакова, 1981, с. 55, табл. 10, фиг. 4/.

Стратотип. Оленекский залив моря Лаптевых, пос. Ыстаниах-Хочо (разрез II, с. 1).

Номенклатура. Подзона выделена А.С. Дагисом и А.Г. Константиновым /1986/.

Стратиграфия и палеонтологическая характеристика. Нижняя граница совпадает с нижней границей зоны. В пределах подзоны встречается вид-индекс, *Intornites nevadanus*, единичные *Ussurites cameroni*. Верхняя граница проводится по исчезновению вида-индекса.

Распространение. Север Средней Сибири (разрез I, сл. 1; разрез II, сл. 1; разрез IV, сл. 1; разрез V, сл. 1; разрез VI, нижние 8 м сл. 1, разрез VII, сл. 1, 2 и нижняя часть сл. 3), среднее течение р. Колымы, бассейн р. Малая Бургали (разрез IX₁, сл. 2), Восточная Якутия и Омолонский массив, откуда известен вид-индекс подзоны /Дагис, Ермакова, 1981/.

Подзона Gymnotoceras olenekense

Вид-индекс. *Gymnotoceras olenekense* Dagys et Konstantinov /Дагис, Константинов, 1986, с. 55, табл. 4, фиг. 2/.

Стратотип. Оленекский залив моря Лаптевых, пос. Ыстаниах-Хочо (разрез II, сл. 3, 4 и нижние 11 м сл. 5).

Стратиграфия и палеонтологическая характеристика. Нижняя граница подзоны проводится по появлению вида-индекса и инволютных, тонкоребристых *Gymnotoceras* со скульптурой, склаивающейся на поздних стадиях роста, – *Gymnotoceras blakei*, *G. deleeni*. Только в пределах подзоны встречаются *Parapopanoceras plicatum*, единичные *Parapopanoceras ex gr. tetsa*, *Gymnotoceras zvetkovi* sp. nov. и эволютивные формы *Gymnotoceras*, близкие к виду-индексу.

Распространение. Север Средней Сибири (разрез II, нижние 11 м сл. 5; разрез III, нижние 7,3 м сл. 3; разрез IV, сл. 2; разрез VII, верхние 8 м сл. 3), аналоги подзоны есть почти во всех разрезах этого региона; Омолонский массив, р. Русская, где известны *Gymnotoceras deleeni* совместно с *Parapopanoceras plicatum* /Дагис, Ермакова, 1981/.

Зона Frechites nevadanus

Вид-индекс. *Frechites nevadanus* (Mojsisovics) (= *Ceratites nevadanus* Mojsisovics, 1888, S. 168/).

Стратотип. Оленекский залив моря Лаптевых, пос. Ыстаниах-Хочо, парастратотип – руч. Артист-Агатын-Юрэгэ, правый приток р. Кенгдей (разрез VII, сл. 4, 5).

Номенклатура. Зона впервые введена Ю.В. Архиповым /Архипов, 1971, Archipov et al., 1971/ для Восточной Якутии под названием *Frechi-*

tes humboldtensis. Ю.М. Бычков /1974/, ссылаясь на ограниченное стратиграфическое распространение вида-индекса в Неваде (только в зоне *meeki*), предложил заменить его на местный вид *Frechites bisulcatus*. В связи с ограниченностью ареала последнего вида и неясностью его стратиграфического положения на Северо-Востоке Азии, А.С. Дагис и др. /1979/ сохранили первоначальное название. В последнее время /Silberling, Nichols, 1982/ выяснилось, что *Frechites humboldtensis* является младшим синонимом *F. nevadanus*, в связи с чем название зоны было заменено на *Frechites nevadanus* /Дагис, Константинов, 1986/.

Зона *Frechites laptevi*, выделенная М.Н. Вавиловым /Вавилов, 1973/ на Восточном Таймыре, является синонимом зоны *Frechites nevadanus*, хотя здесь достоверно известны только низы этой зоны и не отмечен вид-индекс. В целом синонимом является также зона *Frechites* Ю.Н. Попова /1961/, хотя в сообществах аммоноидей последней указаны и отдельные виды зоны *rotelliforme*.

Стратиграфия и палеонтологическая характеристика. Нижняя граница зоны совпадает с исчезновением рода *Gymnotoceras* появлением родов *Frechites*, *Frechitoides*, *Arctogymnites*, *Indigiophyllites*, *Ptychites*, *Neocladiscites*, *Longobardites*, а также *Paraparanoceras dzeginense*. Специфическим для зоны является вид-индекс, в верхней части зоны появляется род *Parafrechites*, виды которого ранее определялись как кильевые *Gymnotoceras*. Верхняя граница зоны проводится по исчезновению вида-индекса и почти всего комплекса, за исключением *Indigiophyllites* и *Arctogymnites*, переходящих в нижнеладинскую зону *Intornites oleshkoi*.

Распространение. Зона широко распространена на севере Средней Сибири и Северо-Востоке СССР, но в различных местах палеонтологически охарактеризованы разные ее части, в связи с чем целесообразнее привести распространение отдельных подзон внутри зоны *nevadanus*.

Подзона *Paraparanoceras dzeginense*

Вид-индекс. *Paraparanoceras dzeginense* Voinova /Войнова, Кипарисова, Робинсон, 1947, с. 129, табл. 26, фиг. 3, 4/.

Стратотип. Руч. Артист-Агатын-Юрэгэ (разрез VII, сл. 4, нижние 15 м сл. 5).

Номенклатура. Подзона выделена впервые под названием *Paraparanoceras tetsa* /Дагис, Константинов, 1986/. В связи с ошибочной синонимизацией *Paraparanoceras dzeginense* с канадским видом /Дагис, Ермакова, 1981/ название подзоны заменяется на *Paraparanoceras dzeginense*.

Стратиграфия и палеонтологическая характеристика. Нижняя граница подзоны совпадает с нижней границей зоны. Специфическими для подзоны являются вид-индекс, *Ptychites pseudoeuglyptus* sp. nov. и очень редкие *Paraparanoceras tetsa*, обнаруженные недавно на Восточном Таймыре. В пределах подзоны намечается некоторая географическая дифференциация систематического состава аммоноидей. Доминантом в районах к востоку от р. Лены является вид-индекс, к западу палеонтологическая характеристика меняется: в комплексе подзоны преобладают различные виды *Frechitoides*, неизвестные восточнее, *Paraparanoceras dzeginense* очень редок или отсутствует.

Распространение. Север Средней Сибири (разрез I, сл. 4; разрез II, верхняя часть сл. 5; разрез III, верхние 21 м сл. 3; разрез IV, сл. 3;

разрез V, сл. 3; разрез VI, средняя часть сл. 1; разрез VII, сл. 4, нижние 15 м сл. 5; разрез VIII, сл. 2), среднее течение р. Колымы, бассейн р. Малая Бургали (разрез IX₂, сл. 1-3), Восточная Якутия, Охотское побережье, Омолонский массив /Дагис и др., 1979/.

Подзона Frechites nevadanus

Стратотип. Руч. Артист-Агатын-Юргэ (разрез VII, сл. 5, 17-25 м от основания).

Номенклатура. Подзона выделена А.С. Дагисом и А.Г. Константиновым /1986/.

Стратиграфия и палеонтологическая характеристика. Наиболее характерен для подзоны вид-индекс, нижняя граница подзоны проводится по массовому появлению *Frechites nevadanus*, хотя находки этого вида и *F. chischeformis* sp. nov. известны и из нижележащей подзоны. На границе подзон *dzeginense* и *nevadanus* практически исчезает *Paraporanoceras dzeginense*, но единичные находки этого вида известны совместно с *Frechites* и *Parafrechites* в бассейне р. Малая Бургали /Бычков, 1974; Дагис и др., 1979/, что также подтверждается нашими исследованиями.

Распространение. Север Средней Сибири (разрез II, сл. 6; разрез IV, сл. 5; разрез V, сл. 4; разрез VI, сл. 1,23 м от основания; разрез VII, сл. 5, 17-25 м от основания), среднее течение р. Колымы, бассейн р. Малая Бургали (разрез IX₂, кровля сл. 3), Восточная Якутия, бассейн р. Колымы, откуда описан или известен *Frachites biculcatus* /Попов, 1961/, являющийся синонимом *Frechites nevadanus*, Охотское побережье.

Подзона Parafrechites sublaqueatus

Вид-индекс. *Gymnotoceras* (= *Parafrechites*) *sublaqueatum* Bytschkov /Бычков и др., 1976, с. 116, табл. 21, фиг. 3/.

Стратотип. Руч. Артист-Агатын-Юргэ (разрез VII, сл. 5, 35-45 м от основания).

Номенклатура. Подзона выделена А.С. Дагисом и А.Г. Константиновым /1986/.

Стратиграфия и палеонтологическая характеристика. Нижняя граница подзоны проводится по массовому появлению рода *Parafrechites*, единичные находки которого известны в верхней части подзоны *nevadanus* – *Parafrechites kharaulakhensis* sp. nov., *P. egorovi* sp. nov., *P. aff. meeki*. Объем подзоны на севере Средней Сибири ограничен интервалом стратиграфического распространения *Parafrechites sublaqueatus*, кроме вида-индекса, встречаются также *Parafrechites meeki*, *P. evolutus* sp. nov. и виды, указанные выше.

Распространение. Север Средней Сибири (разрез II, основание сл. 7; разрез V, средняя и верхняя часть сл. 5; разрез VI, кровля сл. 1; разрез VII, сл. 5, 30-45 м от основания; разрез VIII, сл. 3), среднее течение р. Колымы, бассейн р. Малая Бургали, руч. Нимфа (разрез IX₂, сл. 4, 5), Омолонский массив, верхнее течение р. Колымы /Дагис и др., 1979/.

ОСНОВНЫЕ ЗАКОНОМЕРНОСТИ ГЕОГРАФИЧЕСКОЙ ДИФФЕРЕНЦИАЦИИ ПОЗДНЕАНИЗИЙСКИХ АММОНОИДЕЙ И КОРРЕЛЯЦИЯ ВЕРХНЕГО АНИЗИЯ

Выявление закономерностей географической дифференциации морской биоты позволяет выделить типы фауны, населявшие определенные палеокватории. Знание однотипных фаун и их ареалов в геологическом прошлом дает

теоретическое обоснование пределов применения локальных зональных схем и необходимую предпосылку для наиболее достоверных корреляционных построений. Поэтому, прежде чем перейти к корреляции верхнего аизия, было бы целесообразно остановиться на вопросах географической дифференциации поздне-аизийских аммоидей.

В настоящее время нет единства во взглядах на принципы палеобиогеографического районирования и номенклатуру палеобиохорий /Устрицкий, 1986/. Из четырех принципов, рассмотренных В.П. Макридиным /1973/, в качестве основного нами принимается ареалогенетический или качественный. Основной критерий при выделении палеобиогеографических подразделений – систематический ранг специфических групп /Дагис, 1974; Шевырев, 1986/. Палеобиохориями первого ранга являются области и полагается, что отличия фаун разных областей обусловлены в первую очередь климатической зональностью.

Пионерами в исследовании зоогеографии триасовых морей были Э. Мойсисович *Mojsisovics*, 1886, 1896/ и К. Динер *Diener*, 1916a/. Впервые вопросы географической дифференциации триасовых аммоидей Северо-Востока СССР были рассмотрены Ю.Н. Поповым /1961/, позднее проведен детальный палеобиогеографический анализ фауны аммоидей триасового периода, в частности аизийского века /Дагис и др., 1979; Дагис, Шевырев, 1981; Вавилов, 1983; Шевырев, 1986/ и были выделены три палеобиохории первого ранга, интерпретируемые в качестве областей. Акватории высоких широт характеризовались бедными комплексами аммоидей и входили в состав Бореальной области, охватывающей циркумполлярные районы Северного полушария. Акватории низких широт с богатыми по составу комплексами аммоидей относились к Тетигической области. В Южном полушарии располагалась Нотальная (Антибoreальная) область, отличающаяся от Тетигской теми же чертами, что и Бореальная.

После этапа значительной близости комплексов аммоидей северных и южных морей в раннем аизии, в среднем аизии восстанавливается диспропорция в таксономическом разнообразии аммоидей Тетигической и Бореальной области (3:1) /Дагис и др., 1979/. В Тетисе в это время существовало более 20 эндемичных родов и ряд специфических семейств: *Balatonitidae*, *Acrochordiceratidae*, *Isculitidae*, *Sageceratidae*, *Japonitidae* и др. В Бореальной области известны только два эндемичных рода *Czeukanowskites* и *Arctohungarites* и одно семейство – *Pararopanoceratidae*. Резко дифференцированными были аммоидеи обособившихся с конца оленекского века Сибирской и Канадско-Свальбардской провинций Бореальной области. В первой доминировали лонгобардитиды (*Czeukanowskites*, *Arctohungarites*), во второй – бейрихитиды (*Anagymnotoceras*, *Hollandites*).

На рубеже среднего – позднего аизия в Тетисе исчезли *Acrochordiceratidae*, *Balatonitidae*, *Isculitidae*, большинство *Danubitidae*. В других семействах, перешедших границу среднего – верхнего аизия, существенно изменился родовой состав: прекратили существование *Hollandites*, *Anagymnotoceras*, *Philiprites* среди бейрихитид, *Malletoptychites* среди птихитид. Продолжали развиваться гимнитиды, сагецератиды, лонгобардитиды, японитиды, уссуритиды и др. В Бореальной области рубеж среднего – позднего аизия в отдельных регионах (Северо-Восточная Азия) ознаменовался утратой доминирующей роли лонгобардитид и в позднем аизии главную роль в сообществах аммоидей играли бейрихитиды и парапаноцератиды.

В позднем аизии по сравнению со средним сохранилась близкая картина географической дифференциации аммоидей. Бореальные сообщества

состояли из представителей бейрихитид, лонгобардитид, парапаноцератид, птихитид, уссуритид, кладисцитид. В акваториях высоких широт (Северо-Восточная Азия, Арктическая Канада, Британская Колумбия) были распространены роды *Parapopanoceras*, *Gymnotoceras*, *Frechitorides*, *Frechites*, *Parafrechites*, *Arctogymnites*, *Intornites*, *Longobardites*, *Ptychites*, *Ussurites*, *Indigiophyllites*, *Neocladiscites*. В акваториях низких широт (Альпы, Балканы, запад Малой Азии, Иран, Афганистан, Гималаи, Юго-Восточная Азия, Япония, Приморье, Невада) доминировали цератитиды, птихигиды, аплокоцератиды, хунгаритиды, гимнитиды. Здесь насчитывается 38 родов позднеаинийских аммоноидей, т.е. тетическая фауна более чем в 3 раза таксономически разнообразнее бореальной. Признаки Нотальной области устанавливаются по присутствию рода *Parapopanoceras* в Новой Зеландии /Browne, 1952; Kummel, 1960/.

Общими для всех регионов являются два рода: *Longobardites* и *Ptychites*. В пограничных регионах Тетической и Бореальной областей отмечается проникновение бореальных элементов в тетические фауны, и наоборот, с образованием смешанных сообществ, имеющих первостепенное значение для широких корреляций. Такие переходные зоны в Северном полушарии известны вдоль западного и восточного побережья Пацифики. Наиболее северное место-нахождение южных аммоноидей на западном побережье известно в Приморье, где наряду с *Paraceratites*, *Hungarites* и *Anagymnites* известны *Parapopanoceras* и, по-видимому, *Parafrechites*, к которому может быть отнесена форма, описанная Л.Д. Кипарисовой /1961/ как *Gymnotoceras cf. paucicostatum* Yabe et Shimizu. На восточном побережье Пацифики граница областей проходила где-то между Британской Колумбией и Невадой. В первом регионе в преимущественно бореальном комплексе аммоноидей в отдельные фазы позднего аиния насчитывалось до двух тетических родов: *Anagymnites*, *Tropigymnites*, *Tozerites*, *Nevadites*. В Неваде на фоне типичных групп известны бореальные роды *Gymnotoceras*, *Frechites* и *Parafrechites*. Иногда отдельные аммоноиды южных морей проникали и далее, в глубь Бореальной области, о чем говорят находки гимнитид рода *Kiparisovia* на Северо-Востоке СССР, однако они редки и не играли заметной роли в бореальных сообществах аммоноидей. В Южном полушарии, по-видимому, переходный характер между Тетической и Нотальной областью имеет комплекс аммоноидей, описанный из Новой Гвинеи /Skwarko, 1973/, где совместно с *Paraceratites* известны *Gymnotoceras* (= *Beyrichites uvari* Skwarko) и *Parapopanoceras*.

Хотя фауна аммоноидей Тетиса на протяжении всего позднего аиния была более разнообразной, чем фауна умеренных широт Бореальной области, диспропорция в числе родов, семейств этих областей не оставалась постоянной. Динамика географической дифференциации аммоноидей для отдельных фаз позднего аиния будет дана после корреляции, таким образом, после выявления одновозрастных комплексов аммоноидей.

КОРРЕЛЯЦИЯ СХЕМ ВЕРХНЕГО АИНИЯ БОРЕАЛЬНОЙ ОБЛАСТИ

Британская Колумбия. Зональная схема триасовых отложений Канады разработана Э.Т. Тозером /Tozer, 1967/. В верхнеаинийском подъярусе выделены две зоны – *Gymnotoceras deleeni* и *Frechites chischa*, стратотипы которых находятся на северо-востоке Британской Колумбии, в формации Toad. Из зоны *deleeni*, кроме вида-индекса, известны *Gymnotoceras aff. rotelliforme* Meek, *Longobardites canadensis*

McLearn, *Parapopanoceras tetsa* McLearn, *Anagymnites via-alaskae* McLearn, *Tropigymnites cf. planorbis* (Hauer), *Ussurites arthaberi cameroni* McLearn, *Ptychites sp.*, *Daonella americana* Smith /Tozer, 1967, 1971/. Кроме того, как полагает Э.Т. Тозер /Tozer, 1967/, из этой зоны происходят *Gymnotoceras liardense* McLearn, *G. kindlei* McLearn, *G. beachi* McLearn. Два последних вида, по нашему мнению, относятся к *Frechites*, а *G. liardense* McLearn очень близок к *Frechitoides carinatus* Konst. из зоны *nevadanus* подзоны *dzeginense* севера Средней Сибири. *Gymnotoceras deleeni* McLearn обнаружен на Омоловском массиве р. Русской в ассоциации с *Parapopanoceras plicatum* Bytsckov, характерным видом подзоны *olenekense* зоны *rotelliforme* /Дагис, Ермакова, 1981; Дагис, Константинов, 1986/. На находки *G. deleeni* McLearn с Восточного Таймыра указывал М.Н. Бавилов, выделивший местную зону *deleeni* /Бавилов, 1973/. Кроме того, *G. deleeni* McLearn очень близок к *G. blakei* (Gabb) по форме раковины и скульптуре: для этих видов характерно сглаживание ребер с ростом. В последнее время на Восточном Таймыре, в подзоне *dzeginense*, обнаружены редкие *Parapopanoceras tetsa* McLearn, единичные экземпляры этого вида известны и в верхней части зоны *rotelliforme* Оленекского залива моря Лаптевых.

Все это позволяет уверенно сопоставить часть зоны *deleeni* Британской Колумбии с подзонами *clenenkense* и *dzeginense* Сибири (табл. 2). Если *Frechites kindlei* и *F. beachi* также происходят из зоны *deleeni*, то последняя включает и подзону *nevadanus* или какую-то ее часть. Аналоги подзоны *asseretoi* Сибири и слоев с *Paraceratites* Невады в Канаде улавливаются с трудом: *Tropigymnites cf. planorbis* (Hauer), встречающийся в Неваде в слоях с *Paraceratites*, собран вместе с *Gymnotoceras aff. rotelliforme* Meek не из стратотипа зоны *deleeni*, а *Daonella americana* Smith распространена по всей зоне *rotelliforme* Невады /Silberling, Nichols, 1982/. Единственным видом, общим для подзоны *asseretoi* Сибири и зоны *deleeni*, является *Ussurites cameroni* McLearn, но этот вид известен в Канаде и в среднем анизии – зоне *Anagymnotoceras varium* /Tozer, 1967/. Возможно, что подзона *asseretoi*, слоям с *Paraceratites* соответствует верхняя часть зоны *varium*, из типового разреза которой указывается *Gymnotoceras sp.* /Tozer, 1967/. Таким образом, зону *deleeni* можно сопоставить с зоной *rotelliforme* и подзонами *dzeginense* и *nevadanus* зоны *nevadanus* Сибири.

В зоне *chischa* известны *Frechites*, *Tozerites polygyratus* (Smith), *Daonella cf. moussonii* Merian. Вид-индекс зоны отличается от *F. nevadanus* (Mojs.) отсутствием крупных шипов и бугорков, вентральные и приумбрикальные концы ребер имеют вид продолговатых вздутий (булл); по этому признаку *F. chischa* (Tozer) близок к *F. occidentalis* (Smith). Два других вида происходят и описаны из зоны *occidentalis* Невады /Silberling, Tozer, 1968; Silberling, Nichols, 1982/. Зона *chischa* поэтому может быть скоррелирована с зоной *occidentalis*, что также подтверждается ее стратиграфическим положением ниже зоны *subasperum* в Британской Колумбии и Неваде /Tozer, 1967; Silberling, Tozer, 1968/. Аналоги слоев с *Parafrechites* Невады и Британской Колумбии отсутствуют. Из зоны *nevadanus* Восточного Таймыра, Северного Приохотья указываются в определениях *F. chischa* (Tozer), сведения о наличии этих фрехитов в самых верхних горизонтах анизийского яруса в бассейне р. Малая Бургали приведены М.Н. Бави-

Таблица 2. Схема корреляции верхнеанзийских отложений

Альпы /Assereto, 1969/	Невада /Silberling, Ni- chols, 1982/	Север Сибири	Британская Колумбия /Tozer, 1967, 1971/
Eoprotrachy- ceras curioni		Arctoptychites omoljensis	Progonoceratites poseidon
	Eoprotrachyceras subasperum	Intornites oleshkoi	Eop. trachyceras subasperum
Nevadites reitzi	Frechites occidentalis		Frechites chischa
Aplococeras avisionum	meeki P. dunni P. meeki F. nevadanus	nevadanus sublaqueatus nevadanus dzeginense	Gymnotoceras deleeni
Paraceratites trinodosus	rotelliforme G. blakei Paraceratites	rotelliforme olenekense asseretoi	
Balatonites balatonicus	Balatonites shoshonensis	Czekanowskites gastroplanus	varium Intornites nevadanus

Свальбард /Weitschat, Lehmann, 1983/	Хабаровский край /Окунева, Железнов, 1976/	Япония /Bando, 1964a, b, c, 1966/	Китай /Wang, 1983; Gu et al., 1980/
Tsvetkovites varius			
		Nevadites reitzi	Xenoprotrachyceras primum
	Слой с Parapopanoceras dzeginense		
Frechites laqueatus		Paraceratites	Parakellnerites
	Hollandites jpcnicus		Paraceratites
			Balatonites

ловым /Вавилов, 1973/. Нами из зоны *nevadanus* Северного Хараулаха описан *F. chischeformis* sp. nov., близкий к канадскому виду. Это дает основание считать зону *nevadanus* в какой-то мере коррелятивом зоны *chischa* и, следовательно, сопоставить ее не только с зоной *meeki*, но и частично с зоной *occidentalis*, так как находка *Nevadites meriami* Smith /Westermann, 1963/, вероятно, происходящего из зоны *chischa* /Tozer, 1967/, свидетельствует о наличии в зоне *chischa* бесспорных эквивалентов только низов зоны *occidentalis*, слоев с *Nevadites hyatti* (Smith), в синонимику которого сведен *N. meriami* Smith /Silberling, Nichols, 1982/.

Арктическая Канада. Анизийские отложения известны на о-вах королевы Елизабеты в нижних частях формаций Шей-Пойнт и Блаа-Маунтин / Tozer, 1961, 1967; Silberling, Tozer, 1968/. На основании очень редких находок аммоноидей, приуроченных к нескольким уровням, в верхнеанизийских отложениях выделены слои с "Gymnotoceras", с *Frechites* sp. (= *Frechites* cf. *laqueatus* Lindström) и *Ptychites* cf. *trochlaeformis* (Lindström)/Tozer, 1961/, которые являются аналогами зоны *nevadanus* Сибири. Слои с "Gymnotoceras" подстилаются таковыми с *Daonella* cf. *americana* Smith /Silberling, Tozer, 1968/, видом, известным в зоне *rotelliforme* Невады и зоне *deleeni* Британской Колумбии, что позволяет считать эту часть разреза их коррелятивом, а также и зоны *rotelliforme* Сибири. Ниже обнаружены аналоги среднеанизийской зоны *varium* с *Anagymnotoceras tozeri* McLearn, A. cf. *helle* McLearn. Выше слоев с *Gymnotoceras* залегают таковые с *Daonella* *frami* Kittl, которые только в одном месте, на п-ве Бьёрн, содержат небольшой комплекс аммоноидей: *Longobardites* sp. ind., *Protrachyceras* sp. ind., *Istreites nanuk* Tozer /Tozer, 1961/. Первоначально Э.Т. Тозер /Tozer, 1961, 1967/ считал слои с *Daonella* *frami* коррелятивом зоны *subasperum* нижнего ладина, впоследствии пересмотрел свою точку зрения и на основании находок настоящих *Protrachyceras*, неизвестных в зоне *subasperum*, сопоставил этот интервал с зоной *poseidon* /Tozer, 1981b/. Таким образом, граница анизия – ладина в Арктической Канаде, условна ввиду отсутствия достоверных аналогов зоны *subasperum*.

Свальбард. Первая зональная схема стратиграфии триасовых отложений Свальбарда предложена М.В. Корчинской /Корчинская, 1975, 1982/. В объеме верхнеанизийского подъяруса М.В. Корчинская выделяет зону *Frechites laqueatus*, в которой появляется и характерен род *Frechites* (*F. laqueatus* Lindström, *F. cf. humboldtensis* Hyatt et Smith, *F. sp. ind.*), *Ptychites trochlaeformis* (Lindström), *Parapopanoceras malmgreni* (Lindström), *Ussurites spetsbergensis* (Oeberg). Ранее на основании палеонтологической характеристики зоны и прежде всего по наличию рода *Frechites* и близости *Frechites laqueatus* (Lindström) к *F. chischa* (Tozer) /Tozer, 1967; Tozer, Parker, 1968; Корчинская, 1982/ зона *laqueatus* сопоставлялась с зоной *humboldtensis* (= *nevadanus*) /Дагис и др., 1979; Корчинская, 1982/. По устному сообщению доктора В. Вайтшата (Гамбургский университет), совместно с *Frechites laqueatus* встречается *Frechitoides migayi* (Kiparisova), вид, типичный для низов зоны *nevadanus* Сибири /Дагис, Константинов, 1986; Константинов, 1987/. Поэтому зону *laqueatus* можно коррелировать только с подзонами *dzeginense* и *nevadanus* зоны *nevadanus* Сибири, в которых распространен *Frechites*. В пользу таких построений свидетельствует также распространение в Сибири *Ptychites*, близких к *P. trochlaeformis* (Lindström) только в подзоне *dzeginense*.

се; кроме того, в бассейне р. Малая Бургали нами обнаружен совместно с *Frechites nevadanus* и вид *Parapopanoceras malmgreni* (Lindström). Эквиваленты подзоны *sublaqueatus* зоны *nevadanus* Сибири и слоев с *Parafrechites* Невады на Свальбарде не установлены.

Нижележащие отложения выделены в слои с *Anagymnotoceras*, *Hollandites* и *Gymnotoceras* /Корчинская, 1982/, возраст которых оценивался как среднеанизийский и, частично, верхнеанизийский (зона *rotelliforme*) /Дагис и др., 1979; Корчинская, 1982/. Как считает А.С. Дагис (устное сообщение), *Gymnotoceras todtmannae* Frebold скорее относится к роду *Anagymnotoceras* или *Hollandites* следовательно, эти слои имеют только среднеанизийский возраст, а аналоги зоны *rotelliforme* Сибири и Невады на Свальбарде фаунистически не охарактеризованы. Граница анизийского – ладинского ярусов в схеме М.В. Корчинской проходит по верхней границе зоны *laqueatus*, зона *Ptychites* (= *Istreites*) *nanuk*, рассматривавшаяся М.В. Корчинской в качестве эквивалента зоны *subasperum* /Корчинская, 1982/, имеет более молодой возраст и сопоставляется с зоной *poseidon* Канады /Tozer, 1981b; Дагис, Казаков, 1984/. Схема стратиграфии верхнего анизия – нижнего ладина, недавно разработанная западногерманскими исследователями /Weitschat, Lehmann, 1983/, включает три зоны: *Frechites laqueatus*, *Tsvetkovites varius* и *Indigirites tozeri*. Первая эквивалентна одноименной зоне в схеме М.В. Корчинской, в последней зоне ~~появляется~~ с видом-индексом встречаются многочисленные *Ptychites nanuk* (= *Aristoptychites kolymensis* Kiparisova), *Daonella degeeri* Böhm. Таким образом, эта зона – бесспорный эквивалент зоны *Ptychites nanuk* М.В. Корчинской. Новое подразделение – зона *varius* выделена между зонами *laqueatus* и *tozeri* и сопоставлена авторами с зоной *subasperum* /Weitschat, Lehmann, 1983/. Возраст зоны *varius* поэтому может быть оценен как раннеладинский, что подтверждается появлением выше в разрезе на Свальбарде рода *Indigirites*, граница анизия – ладина проходит в подошве зоны *varius*.

Хабаровский край. Достаточно полно фаунистически охарактеризованные анизийские отложения известны лишь в хр. Большие и Малые Чурки /Окунева, Железнов, 1976/. Здесь, в верхней толще песчаников с редкими маломощными прослоями алевролитов /Окунева, Железнов, 1976/ мощностью около 380 м, выделены слои с *Amphipopanoceras dzeginense*, в которых найдены также *Frechites* sp. ind., *Monophyllites* sp. ind., *Paraceratites?* sp. ind., *Ptychites nanuk* Tozer. Т.М. Окуневой и А.А. Железновым возраст этих слоев рассматривается как позднеанизийский – раннеладинский, но нужно отметить, что *Ptychites nanuk* Tozer, описанный Т.М. Окуневой /Окунева, 1976/, имеет частые хорошо выраженные ребра на боковых сторонах, не характерные для канадского вида, раковина которого при сходных размерах практически гладкая /Tozer, 1961/. По нашему мнению, эта форма ближе к *Ptychites* из зоны *nevadanus* севера Сибири и, таким образом, слои с *A. dzeginense* могут рассматриваться в качестве эквивалента только зоны *nevadanus* верхнего анизия. Нижележащие отложения зоны *Hollandites japonicus* содержат в основном среднеанизийские роды /Дагис и др., 1979/, но в них известен и *Gymnotoceras rotelliforme* Meek /Окунева, Железнов, 1976; Окунева, 1976/, что дает основание для корреляции верхней части зоны *japonicus* с зоной *rotelliforme* Невады и Сибири.

СОПОСТАВЛЕНИЕ БОРЕАЛЬНЫХ И ТЕТИЧЕСКИХ СХЕМ ВЕРХНЕГО АИЗИЯ

Перыда. Разрезы аизийского яруса Невады имеют исключительно важное значение для корреляции, так как здесь происходит смешение boreальных и тетических фаун /Дагис и др., 1979; Дагис, Казаков, 1984; Silberling, Tozer, 1968; Tozer, 1981b/. Детальная инфразональная схема верхнего аизия была впервые разработана в Неваде, где в окрестностях холма Фоссил на юге хр. Гумбольдта в отложениях пачки Fossil hill формации Прида установлена очень полная последовательность верхнеанизийской фауны аммоноидей /Silberling, 1962; Silberling, Nichols, 1982/. В верхнем аизии Невады выделены три зоны - *Gymnotoceras rotelliforme*, *Parafrechites meeki* и *Frechites occidentalis*, которые в сумме разделены на 12 местных биостратиграфических подразделений - слоев с аммоидиями /Silberling, 1962; Silberling, Tozer, 1968; Silberling, Nichols, 1982/. Зона *rotelliforme* Сибири является эквивалентом одноименной зоны Невады, так как обе зоны соответствуют стратиграфическому распространению рода *Gymnotoceras* и вида-индекса, в частности, верхняя граница зон проводится по появлению рода *Frechites* (см. табл. 2). Сложнее установить синхронность нижней границы зоны *rotelliforme* в Сибири и Неваде, что обусловлено различиями в фаунах верхней части среднего аизия этих регионов. Обшим видом для верхов среднеанизийского подъяруса Сибири и Невады является лишь *Intornites nevadanus* (Hyatt et Smith), который в Неваде распространен только в зоне *Balatonites shoshonensis* среднего аизия, в Сибири встречается в верхней подзоне зоны *kharaulakhensis* среднего аизия /Дагис и др., 1979; Дагис, Казаков, 1984; Дагис, 1987/ и в подзоне *asseretoi* зоны *rotelliforme*. Поэтому не исключено, что зона *rotelliforme* Сибири может включать более древние горизонты, чем таковая Невады. В этом отношении интересны данные Х. Бухера /Bucher, 1988/ о наличии рода *Gymnotoceras* в нижней зоне *shoshonensis*, где он встречается совместно с представителями рода *Eogymnotoceras*. Интервал стратиграфического распространения последнего охватывает верхнюю часть зоны *taylori*, выделенную между зонами *hyatti* и *shoshonensis*. Тем не менее трудно сделать какие-либо определенные выводы, так как не приведено описание типового разреза зоны *taylori*. В подзоне *olenekense* зоны *rotelliforme* Сибири встречаются *Gymnotoceras blakei* (Gabb) и формы, близкие к этому виду, что позволяет считать ее коррелигивом слоев с *Gymnotoceras blakei* Невады. Подзона *asseretoi* по стратиграфическому положению соответствует слоям с различными *Paraceratites* в нижней части зоны *rotelliforme* Невады. Зону *Frechites nevadanus* можно сопоставить с полным объемом зоны *meeki* Невады; в верхней части этих зон распространен род *Parafrechites*, а нижняя граница совпадает с появлением рода *Frechites*. Подзоны *czegirense* и *nevadanus* в которых распространен *F. nevadanus* (Mojs.), эквивалентны слоям с *F. nevadanus* Невады. В подзоне *sublaqueatus* зоны *nevadanus* Сибири встречаются различные виды *Parafrechites*, в том числе и *P. meeki* (Mojs.) /Дагис и др., 1979; Дагис, Константинов, 1986/, следовательно, ее можно сопоставить со слоями с *P. meeki* и *P. cunni*, где встречается *P. meeki* (Mojs.). Аналоги верхней зоны верхнего аизия Невады - *occidentalis* - в Сибири и на Северо-Востоке СССР пока не обнаружены /Дагис и др., 1979; Дагис, Казаков, 1984; Дагис, Константинов, 1986/, что

порождает условность проведения границы анизийского и ладицкого ярусов в этом регионе.

В наиболее полных разрезах севера Средней Сибири, Северного Верхоянья и Охотского побережья отложения подзоны *sublaqueatus* перекрываются таковыми зоны *Intornites oleshkoi*, относящейся уже к ладинскому ярусу /Архипов, 1974; Бычков, 1977; Дагис и др., 1979; Дагис, Казаков, 1980/. Комплекс аммоноидей этой зоны очень мал и кроме вида-индекса включает *Arctogymnites spektori Archipov*, *Indigirophyllites popovi* sp. nov. Бедность таксономического состава и малочисленность аммоноидей характерны для нижнеладинских отложений и других boreально-альпинских регионов – Арктической Канады /Tozer, 1961/ и Свальбарда /Корчинская, 1975; Weitschat, Lehmann, 1983/. В зоне *oleshkoi* не известны новые по сравнению с верхнеанизийским подъярусом таксоны родового ранга и продолжают существовать *Beyrichitidae*, представленные эндемичным родом *Arctogymnites*. Более того, *Arctogymnites spektori Archipov* трудно отличим от *A. sonini* Popow из верхней части зоны *nevadanus*. Поэтому по стратиграфическому положению зоны *oleshkoi* между последними *Frechites* и *Parafrechites* (в Сибири) и зоной *omolojensis* – коррелятивом зоны *Progonoceratites poseidon* Канады /Tozer, 1981b/, она может с равной вероятностью соответствовать как зоне *Eoprotrachyceras subasperum* Невады и Канады, так и зоне *occidentalis* Невады, либо включать части этих зон. В последнее время /Silberling, Nichols, 1982/ в верхней части зоны *occidentalis* Невады обнаружены редкие инторнигоподобные аммоноидеи с обособленныментральным килем, ребрами около умбо, напоминающими по морфологии *Intornites nevadanus* (Nyatt et Smith), но с более ранним появлением в онтогенезе псевдоадвентивных элементов лопастной линии. К сожалению, эти формы не изображены и не описаны, но могут быть близки к *Intornites oleshkoi* (Archipov).

Альпы. Сопоставление сибирской и альпийской схем верхнего анизия может быть уверенно проведено через разрезы Невады, в фауне которой присутствуют как тетические, так и boreальные элементы /Дагис и др., 1979; Дагис, Казаков, 1984; Silberling, Tozer, 1968; Tozer, 1981b/. В зоне *rotelliforme* Невады совместно встречаются *Paraceratites* и *Gymnotoceras*, поэтому она сопоставляется с зоной *trinodosus* Альп и одноименной зоной севера Сибири /Дагис и др., 1979/. Корреляция зоны *avisanum* с зоной *meeki* была проведена Р. Ассерето /Assereto, 1969/ на основании общего рода *Aplococeras*. *Aplococeras avisanum* (Mojs.) и *Lecanites vogdesi* Smith, по мнению Р. Ассерето, синонимы. Первые *Aplococeras*, неизвестные в зоне *trinodosus* Альп, появляются в Неваде в слоях с *Gymnotoceras blakei* (Gabb), к тому же в этом интервале уже нет рода *Paraceratites*, поэтому зона *avisanum*, кроме зоны *meeki* по Р. Ассерето /Assereto, 1969/, по-видимому, включает и слои с *G. blakei*, а зона *trinodosus* соответствует только слоям с *Paraceratites* Невады, а следовательно, и подзоне *asseretoi* зоны *rotelliforme* Сибири. Зона *avisanum* – коррелятив подзоны *olenekense*, где встречаются *Gymnotoceras blakei* (Gabb), и зоны *nevadanus*. Близким эквивалентом зоны *avisanum* является зона *Ticinites polymorphus*, выделенная Г. Рибером /Rieber, 1973/ в нижней части "пограничной битуминозной зоны" Тессинских Альп (по 97-й слой включительно). В этой зоне практически по всему ее объему, кроме самой верхней части, распространен *Aplococeras misanii* (Mojsisovics). Первоначально Г. Рибер /Rieber, 1969, 1973, 1974/ считал зону *polymorphus* частичным эквила-

лентом зоны *avisionum* и на основании изучения аммоноидей и двустворчатых моллюсков параллелизовал эту зону с верхней частью зоны *meeki* и зоной *occidentalis*. Невады, в последнее время /Brack, Rieber, 1986/ она в полном объеме скоррелирована с зоной *meeki*, так как *Protrachyceras ambrosioni* Mojs. и *P. dealessandri* Mojs. из вышележащих слоев 98, 106 и 112 отнесены к роду *Nevadites* /Assereto, 1974; Tozer, 1981b; Brack, Rieber, 1986/. Эти слои были сопоставлены с зоной *occidentalis*, для которой типичен род *Nevadites*. По мнению Э.Т. Тозера /Tozer, 1981b/, нижняя часть зоны *polymorphus* с *Parakellnerites* может частично перекрываться с зоной *trinodosus*, так как роды *Parakellnerites* и *Paraceratites* близки между собой. Р. Ассерето /Assereto, 1969/ обратил внимание на близость *Protrachyceras reitzi* (Boeckh) к роду *Nevadites*, распространенному в зоне *occidentalis* Невады, и провел корреляцию зоны *occidentalis* с зоной *reitzi*. Впоследствии правомерность выводов Р. Ассерето была подтверждена находками *Nevadites humboldtensis* (Smith) совместно с "Ceratites" *reitzi* в известняках хальштатского типа в Эпидавросе (Греция) /Krystyn, Mariolakos, 1975/.

Гималаи и прилегающие регионы. Фауна анизиевого яруса классических районов Спити, Пайнканды и Кашмира описана в конце прошлого – начале нынешнего века К. Динером /Diener, 1895b, 1907, 1913/. С зоной *trinodosus* могут быть сопоставлены уверенно только слои с *Ptychites* Кашмира /Diener, 1913; Дагис и др., 1979/, в которых встречены *Paraceratites trinodosus* (Mojs.), *Ptychites*, *Buddhaites*, *Proteusites*. Нижние слои с *Gymnites* в нижнем уровне содержат среднеанизиевые *Hollandites*, *Acrochordiceras*, *Beyrichites* и др., в верхнем появляются первые *Paraceratites ex gr. binodosus*. В Спити и Пайнканде в верхнем горизонте раковинного известняка *Paraceratites trinodosus* (Mojs.) встречается совместно со среднеанизиевыми *Hollandites*, *Sturia* и ладинскими *Joannites* и *Aristoptychites* (*Ptychites gerardi* Blanford) /Кришнан, 1954/. *Nevadites cautlei* /Diener, 1907/ и *Hungarites mojsisovicsi* /Diener, 1908/ указывают на несомненное присутствие в этом регионе и эквивалентов зоны *reitzi*.

Китай. Морские анизиевые отложения развиты преимущественно на юге и юго-западе Китая, где приурочены к складчатым системам Тибета и Северных Гималаев. В Гималаях, в окрестностях г. Джомолунгмы, к верхнеанизиевому подъярусу относится зона *Ptychites*, которая коррелируется с зонами *trinodosus* и *avisionum* Альп /Yang, Li, Qu et al., 1982/. Фауна верхнеанизиевой зоны *Paraceratites trinodosus*, близкая к альпийской, обнаружена в окрестностях г. Лхасы /Gu, He, Wang, 1980/, где в нижней части формации Chaguri из слоя известняка мощностью 15 см собран комплекс аммоноидей, включающий 21 вид. Кроме фауны зоны *trinodosus*, здесь имеются *Balatonites*, *Acrochordites*, *Reiflingites*, *Danubites* – нижнего – среднего аниза и *Parakellnerites*, *Hungarites*, скорее всего свидетельствующие о наличии и фауна зоны *avisionum* верхнего аниза. Эта фауна явно конденсирована.

Вряд ли можно считать позднеанизиевским комплексом аммоноидей, описанный Ю. Ваном и Г. Хи /Wang, He, 1981/ с севера провинции Xizang (Тибет), в котором много среднеанизиевых родов: *Balatonites*, *Cuccoseras*, *Acrochordiceras*, *Haydenites*. Другие роды такие, как *Gymnites*, *Procladiscites*, *Ptychites* – долгоживущие. Характерный для позднего аниза род *Paraceratites* отсутствует. Коррелятивом зоны

reitzi Альп и верхней части зоны *avisionum* является зона *Xenoprotrachyceras primum*, выделенная в формации Falang на юго-западе провинции Guizhou /Wang, 1983/. *Xenoprotrachyceras primum* Ю. Ван /Wang, 1983/ сближает с *Protrachyceras reitzi*, считая его также представителем рода *Xenoprotrachyceras*, новый род *Langdaiceras* и *Bulogites?* очень близки к *Ticinites* и *Bulogites* соответственно из 58 и 61 слоев зоны *Ticinites polymorphus* Тессинских Альп /Wang, 1983/.

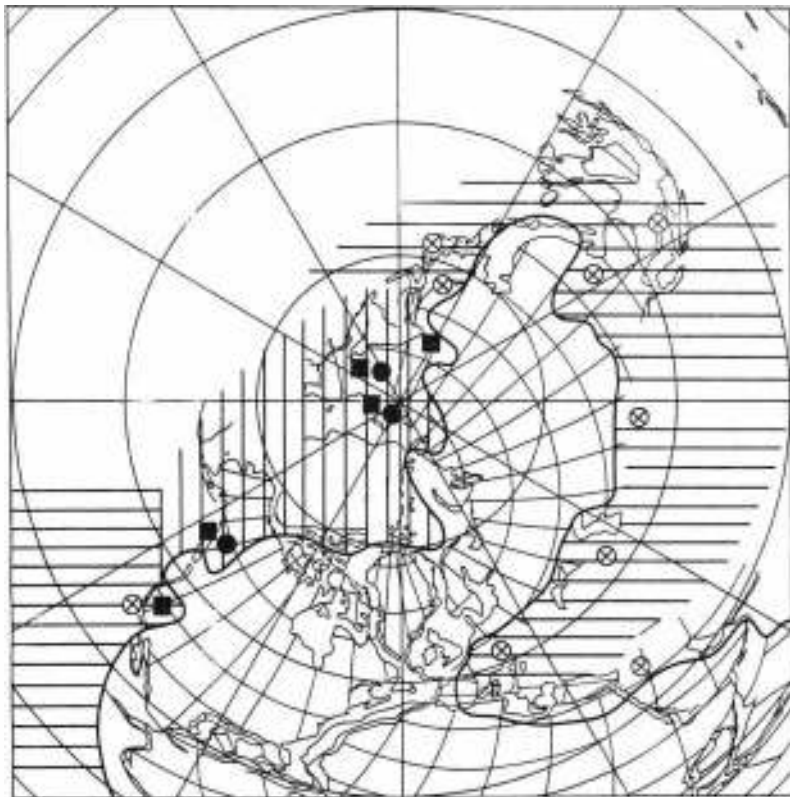
Достоверные эквиваленты нижнеладинской зоны *Protrachyceras curreioni* Альп отсутствуют, так как выделенная выше в этом же разрезе зона *Protrachyceras deprati* содержит верхнеладинские протрахицерасы, в частности *pseudo - archelaus* (Boeckh), и коррелируется с верхнеладинской зоной *archelaus* /Wang, 1983/.

Смешанный облик с тетическими и бореальными элементами имеет фауна триасовых отложений Западного Китая /Yang, Cheng, Wang, 1986/, но здесь в объеме всего верхнеанизийского подъяруса выделяются слои с *Gymnotoceras*, в которых есть *Gymnotoceras sp.*, *Gymnites petilis* Wang et Chen, брахиоподы и двустворки. Ладинская фауна не обнаружена.

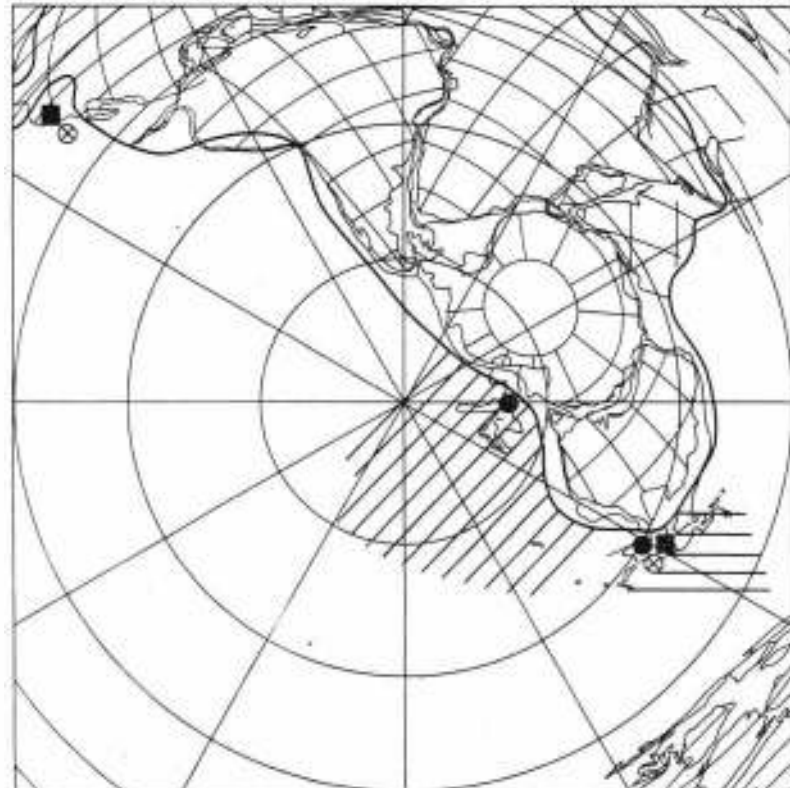
Приморье. В схеме стратиграфии анизиjsких отложений Приморья /Захаров, 1968; Сакс и др., 1972/ и верхнему анизию относятся слои с *Paraceratites*. Позднее на стратиграфическом совещании в г. Владивостоке в 1978 г. была принята для триаса Приморья унифицированная схема, в верхнем анизи выделены слои с *Paraceratites trinodosus*, выше слои с *Ptychites oppeli*. В нижних слоях вместе с *Paraceratites* встречаются *Anagymnites acutus* (Hauer), *A. lamarcki* (Oppel), *Monoptyllites spaerophyllus* (Hauer), в слоях с *Ptychites oppeli - Amphiropanoceras* (= *Parapopanoceras*) *dzeginense* Voinova, *Monophyllites* (= *Ussurites*) *sichoticus* Diener. Слои с *Paraceratites trinodosus* эквивалентны зоне *trinodosus* Альп и слоям с *Paraceratites nevadensis*, следовательно, подзоне *assereto* зоны *rotelliforme* Сибири, слои с *Ptychites oppeli* – подзоне *dzeginense* зоны *nevadanus* Сибири, следовательно, низам зоны *meeki* Невады и зоны *avisionum* Альп. В Приморье есть также, вероятно, и аналоги более высоких горизонтов – слои с *Parafrechites nevadensis* и подзоны *sublaqueatus* зоны *nevadanus* Сибири, что подтверждается наличием *Gymnotoceras cf. paucicostatum* Yabe et Shimizu (= *Parafrechites ex gr. meeki* Mojs.) и *Hungarites aff. fittingensis* (Smith)/Кипарисова, 1961/ в одном местонахождении. Выше в общем разрезе триаса Приморья Л.Д. Кипарисовой /Кипарисова, 1961/ приводится *Daonella moussonii* Merian – характерный вид зоны *occidentalis* Невады *ireitzi* Альп /Assereto, 1969; Silberling, Nichols, 1982/.

Н.К. Жарниковой /Жарникова, 1981/ из зоны *trinodosus* Южного Приморья приведен обширный список аммонидей (20 родов), многие из которых имеют более древний возраст, так как известны из других регионов только из отложений среднеанизиjsкого подъяруса. Из двух нижних зон – *Leiophylites pradyumna* и особенно *Acrochordiceras kiparisovae*, с другой стороны, указываются *Frechites*, *Hungarites*, *Nevadites*, *Flexoptychites*, известные только в верхнем анизи. Этот парадокс вряд ли имеет место в действительности и объясняется скорее всего некорректными определениями либо плохой привязкой материала.

Вьетнам. Слои с *Paraceratites trinodosus* Северного Вьетнама содержат *Paraceratites trinodosus* (Mojsisovics), *P. subtrinodosus* Vu Khuc et Huu и *Kellnerites samneuaensis* (Mansuy) /Vu Khuc, 1984/. По фаунистической характеристике они могут быть сопостав-



- 1
- 2
- 3
- 4
- 5
- 6



лены с объемом всего верхнеанизийского подъяруса, так как род *Kellnerites* известен в Альпах /Assereto, 1969/ из зоны *reitzi*.

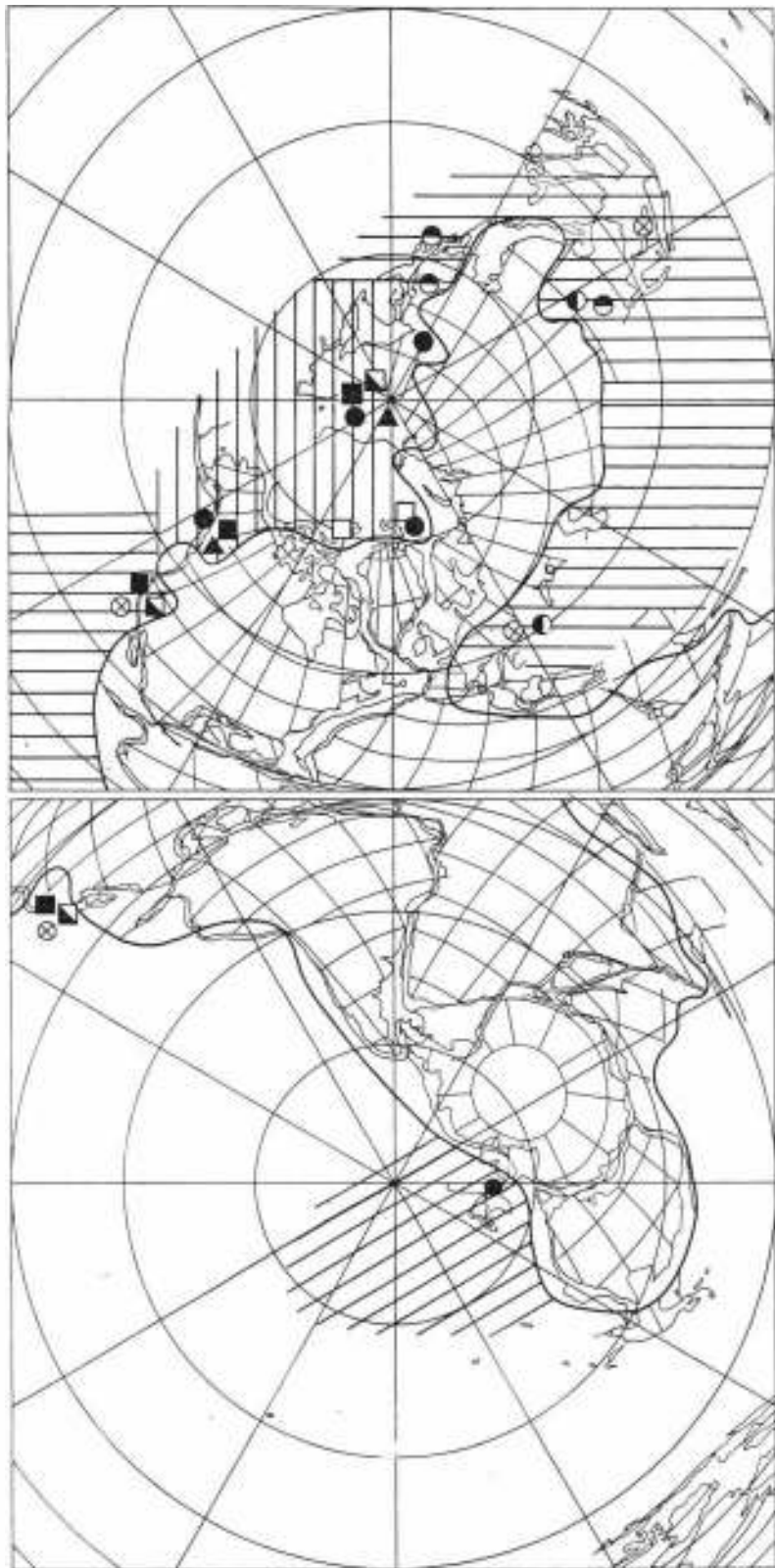
Япония. Наиболее полно охарактеризованные аммоноидеями анизийские отложения известны только в массиве Китаками /Mojsisovics, 1888; Diener, 1916b; Shimizu, 1930; Bando, 1964b, 1966/. Здесь в нижней части формации Рифу известны *Paraceratites cf. trinodosus* (Mojs.), роды *Kellnerites*, *Monophyllites*, *Ptychites* и др., верхняя часть содержит *Protrachyceras reitzi* (Boeckh), *Monophyllites wengensis* (Klipstein), *Elexoptychites*, *Ptychites*, *Tropigastrites* и др. /Bando, 1964b, 1966/. В этой формации Ю. Бандо /Bando, 1966/ выделяет две зоны: *Paraceratites* внизу и *Protrachyceras reitzi* вверху. Зона *Paraceratites* может быть сопоставлена с зоной *trinodosus* Альп, а также со слоями с *Paraceratites* зоны *rotelliforme* Невады, так как из нее происходят некоторые виды *Paraceratites*, впервые описанные из зоны *Daonella dutia* Невады /Smith, 1914/, и *Gymnotoceras paucicostatum* Yabe et Shimizu. Кроме того, в составе фауны, близкой, по мнению Ю. Бандо /Bando, 1966/, фауне формации Рифу, описан *Gymnotoceras cf. rotelliforme* Meek /Bando, 1964c/ из формации *Zohoin* на востоке о. Сикоку. Таким образом, зона *Paraceratites* – эквивалент нижней подзоны зоны *rotelliforme* Сибири. Из подстилающей формации *Isatomae* происходят *Hollandites*, *Danubites*, *Balatonites*, *Cuccoceras*, *Sturia* и неизвестен род *Paraceratites* /Bando, 1964b/. Зона *Protrachyceras reitzi* коррелируется с одноименной зоной Альп и (согласно корреляции Р. Ассерето /Assereto, 1969/) с зоной *occidentalis* Невады, аналогов которой в Сибири не обнаружено. Судя по наличию рода *Kellnerites* и *Hungarites*, в формации Рифу имеются также и аналоги зоны *avisanum*, которые могут быть включены частично как в зону *Paraceratites*, так и в зону *reitzi*.

ДИНАМИКА ГЕОГРАФИЧЕСКОЙ ДИФФЕРЕНЦИАЦИИ ПОЗДНЕАНИЗИЙСКИХ АММОНОИДЕЙ

Фаза *Paraceratites trinodosus*. В это время наблюдается резкая диспропорция в систематическом составе аммоноидей Бореальной и Тетической области. В Тетисе известны 14 родов и 12 семейств, в Бореальной области – 7 родов и 6 семейств. В Бореальной области эндемичны только два рода – *Gymnotoceras* и *Parapopanoceras*, а в Тетисе насчитываются 12 эндемичных родов и 11 семейств (наиболее характерны *Paraceratites*, *Flexoptychites*, *Semiornites*). Следы Нотальной области устанавливаются по находкам в Новой Зеландии *Parapopanoceras* /Browne, 1952/, близких к *P. asseretoi* /Дагис, Ермакова, 1981/. В

Рис. 49. Схема биogeографического районирования позднеанизийских акваторий в фазу *Paraceratites trinodosus*.

1–3 – области: 1 – Тетическая, 2 – Бореальная, 3 – Нотальная; 4–6 – роды: 4 – *Paraceratites*, 5 – *Gymnotoceras*, 6 – *Parapopanoceras*. Схема биogeографического районирования позднеанизийских акваторий дана по А.С. Дагису и др. /1979/.



- 1
- 2
- 3
- 4
- 5
- 6
- 7
- 8
- 9
- 10
- 11

Сибирской провинции Бореальной области, куда входила Северо-Восточная Азия, известен бедный однообразный комплекс, состоящий из четырех родов: *Gymnotoceras*, *Parapopanoceras*, *Ussurites* и *Intornites*. В Канадско-Свальбардской провинции известны шесть родов.

Фаза *Aplococeras avisianum*. Резко возросло разнообразие аммоидей Бореальной области. На Северо-Востоке Азии известны 11 родов и 7 семейств. Несколько сгладились различия в числе таксонов аммоидей Бореальной и Тетической области, в первой известны 13 родов 7 семейств, во второй - 22 рода 13 семейств. Различия Сибирской и Канадско-Свальбардской провинций были очень слабыми даже на видовом уровне. Наметилась дифференциация фауны аммоидей в пределах Сибирской провинции. Так, в районах к западу от р. Лены доминировали *Frechitoides*, очень редки были *Parapopanoceras dzeginense*, *P. tetsa* и *Frechites*. К востоку от р. Лены неизвестны *Frechitoides*, но многочисленны *Parapopanoceras* и *Frechites*.

Фаза *Nevadites reitzi*. Суммарный комплекс аммоидей фазы *Nevadites reitzi* Тетиса включает 26 родов из 14 семейств. Корректное сравнение фауны аммоидей Бореальной и Тетической областей для этого времени невозможно, так как достоверные эквиваленты зоны *reitzi* известны только в Британской Колумбии, откуда приводятся четыре рода (*Frechites*, *Tozerites*, *Parapopanoceras* и *Nevadites*).

Схемы биогеографического районирования позднеанизийских акваторий для фаз *trinodosus* и *avisianum* приведены на рис. 49 и 50.

Рис. 50. Схема биогеографического районирования позднеанизийских акваторий в фазу *Aplococeras avisianum*.

1-3 - области: 1 - Тетическая, 2 - Бореальная, 3 - Нотальная; 4 - *Gymnotoceras* и *Frechites*; 5 - *Parafrechites*; 6 - *Frechites*; 7 - *Parapopanoceras*; 8 - *Frechitoides*; 9 - *Parakellnerites*; 10 - *Aplococeras*; 11 - *Hungarites*.

СПИСОК ЛИТЕРАТУРЫ

- Алексеев С.Н., Аргунцев В.В., Вавилов М.Н. Внутреннее строение и онтогенез некоторых среднегриасовых цератигров // Палеонтол. журн. - 1984. - № 2. - С. 51-64.
- Аркадьев В.В. Новые данные по стратиграфии среднегриасовых отложений Северного Верхоянья // Зап. ЛГИ. - 1981. - Т. 85. - С. 50-55.
- Аргунцев В.В. Стратиграфия и аммоноиды среднего триаса Северного Верхоянья: Автoref. дис. ... канд. геол.-мин. наук. - Л., 1982. - 26 с.
- Аргунцев В.В., Вавилов М.Н. Внутреннее строение и онтогенез позднеанизийских *Beyrichitidae* (*Ammonoidea*) Средней Сибири // Палеонтол. журн. - 1984. - № 4. - С. 63-72.
- Архипов Ю.В. Стратиграфия триасовых отложений бассейна р. Яны (Якутская АССР): Автoref. дис. ... канд. геол.-мин. наук. - Л., 1971. - 26 с.
- Архипов Ю.В. Стратиграфия триасовых отложений Восточной Якутии. - Якутск: Кн. изд-во, 1974. - 270 с.
- Астахова Т.В. Стратиграфия триасовых отложений побережья Оленекского залива // Стратиграфия и палеонтология мезозойских отложений севера Сибири. - М., 1965. - С. 5-14.
- Баярунин М.В. *Cephalopoda* Колымо-Индигирского триаса // Колымская геологическая экспедиция 1928-1930 гг. - Л., 1932. - Т. I, ч. 1. - С. 35-44.
- Бычков Ю.М. Зональное расчленение триаса Северо-Востока СССР и границы его ярусов и подъярусов // Основные проблемы биостратиграфии и палеогеографии Северо-Востока СССР. - Магадан, 1974. - Ч. 2: Мезозой. - С. 19-53.
- Бычков Ю.М. Опорные разрезы триаса верховьев р. Колымы и Северного Приохотья // Стратиграфия и фауна бореального триаса. - М., 1977. - С. 51-82.
- Бычков Ю.М., Дагис А.С., Ефимова А.Ф., Полуботко И.В. Атлас триасовой фауны и флоры Северо-Востока СССР. - М.: Наука, 1976. - 193 с.
- Бычков Ю.М., Кинасов В.П. О стратиграфическом распространении и систематике анизиjsких аммоноидей *Stenoporanoceras* и *Amphiporanoceras* Северо-Востока СССР // Материалы по геологии и полезным ископаемым Северо-Востока СССР. - Магадан, 1977. - Вып. 23, кн. 1. - С. 35-41.
- Бычков Ю.М., Кништольд Л.Д. Некоторые среднегриасовые цератиты севера и северо-востока Азии // Новые виды древних растений и беспозвоночных СССР. - М., 1968. - Вып. II, ч. 1. - С. 299-308.
- Вавилов М.Н. Биостратиграфия анизиjsкого яруса Восточного Таймыра // Изв. АН СССР. Сер. геол. - 1973. - № 8. - С. 118-126.
- Вавилов М.Н. Некоторые анизиjsкие аммоноиды севера Сибири // Палеонтол. журн. - 1978. - № 3. - С. 50-63.
- Вавилов М.Н. Особенности расселения среднегриасовых аммоноидей Бореальной области // Изв. АН СССР. Сер. геол. - 1983. - № 7. - С. 51-59.
- Вавилов М.Н., Алексеев С.Н., Алабушева А.В. Среднегриасовый род *Arctogymnites* (*Ammonoidea*) // Палеонтол. журн. - 1982. - № 1. - С. 46-53.
- Вавилов М.Н., Каплан М.Е. Триасовые отложения мыса Цветкова (Восточный Таймыр) // Биостратиграфия бореального мезозоя. - Новосибирск, 1974. - С. 24-39.
- Воэйн В.Ф., Тихомиров В.В. Полевой атлас двусторчатых и головоногих моллюсков триасовых отложений Северо-Востока СССР. - М.: Наука, 1964. - 196 с.
- Воинова Е.В., Кништольд Л.Д., Робинсон В.Н. Головоногие // Атлас руководящих форм ископаемых фаун СССР. - Л., 1947. - Т. VII: Триасовая система. - С. 124-175.

- Гремберг И.С., Спиро Н.С., Аплонова Э.Н. Стратиграфия и литология пермских и триасовых отложений северной части Приверхоянского прогиба и сопредельных складчатых сооружений // Тр. НИИГА. - 1961. - Т. 118. - С. 1-234.
- Дагис А.С. Триасовые брахиоподы (морфология, система, филогения, стратиграфическое значение и биogeография). - Новосибирск: Наука. Сиб. отд-ние, 1974. - 387 с.
- Дагис А.С. Новая схема детальной стратиграфии среднего аниза севера Сибири // Бореальный триас. - М., 1987. - С. 57-66.
- Дагис А.С., Аракипов Ю.В., Бычков Ю.М. Стратиграфия триасовой системы северо-востока Азии. - М.: Наука, 1979. - 243 с.
- Дагис А.С., Бычков Ю.М., Аракипов Ю.В. Биостратиграфия триаса Северо-Восточной Азии // Биостратиграфия бореального мезозоя. - Новосибирск, 1974. - С. 6-24.
- Дагис А.С., Ермакова С.П. Триасовые аммоноиды севера Сибири. (семейство Paraparaceraseratidae). - М.: Наука, 1981. - 107 с.
- Дагис А.С., Казаков А.М. Стратиграфия ладинского яруса на севере Средней Сибири // Палеонтология и стратиграфия триаса Средней Сибири. - М., 1980. - С. 36-50.
- Дагис А.С., Казаков А.М. Стратиграфия триасовых отложений восточной части Енисей-Хатангского и Лено-Анабарского прогибов // Геология и нефтегазоносность Енисей-Хатангского бассейна. - М., 1982. - С. 16-29.
- Дагис А.С., Казаков А.М. Стратиграфия, литология и цикличность триасовых отложений севера Средней Сибири. - Новосибирск: Наука. Сиб. отд-ние, 1984. - 177 с.
- Дагис А.С., Константинов А.Г. Инфразональная схема верхнего аниза севера Сибири // Биостратиграфия мезозоя Сибири и Дальнего Востока. - Новосибирск, 1986. - С. 48-57.
- Дагис А.С., Шептиков А.А. Зоогеография триасовых морей // Тр. 21-й сессии Всесоюз. палеонтол. о-ва. - Магадан, 1981. - С. 113-119.
- Егоров А.Ю., Богомолов Ю.А., Константинов А.Г., Куршин Н.И. Стратиграфия триасовых отложений о-ва Котельный (Новосибирские острова) // Бореальный триас. - М., 1987. - С. 66-80.
- Жаринкова Н.К. Новые анизийские цератиты семейства Arcocochordiceratidae Южного Приморья // Палеонтол. журн. - 1981. - № 1. - С. 29-37.
- Захаров Ю.Д. Новые виды анизийских аммоноидей Южного Приморья // Палеонтол. журн.- 1967. - № 3. - С. 39-47.
- Захаров Ю.Д. Биостратиграфия и аммоноиды нижнего триаса Южного Приморья. - М.: Наука, 1968. - 175 с.
- Захаров Ю.Д. Онтогенез цератитов рода *Pinacoceras* и особенности развития подотряда *Pinacosceratina* // Палеонтол. журн. - 1977. - № 4. - С. 59-66.
- Захаров Ю.Д. Раннетриасовые аммоноиды Востока СССР. - М.: Наука, 1978. - 224 с.
- Казаков А.М., Дагис А.С., Карагодин Ю.Н. Литостратиграфические подразделения триаса севера Средней Сибири // Био- и литостратиграфия триаса Сибири. - М., 1982. - С. 5-36.
- Клиничкина Н.Д. Фауна триасовых отложений восточной части Советской Арктики // Палеонтология Советской Арктики. - Л., 1937. - Вып. 1. - С. 135-256.
- Клиничкина Н.Д. Палеонтологическое обоснование стратиграфия триасовых отложений Приморского края. Ч. I: Головоногие моллюски // Тр. ВСЕГЕИ. Нов. сер. - 1961. - Т. 48. - С. 1-278.
- Константинов А.Г. Новый род среднетриасовых аммоноидей севера Средней Сибири // Система и филогения ископаемых беспозвоночных. - М., 1987. - С. 70-81.
- Корчинская М.В. Биостратиграфия и фауна триасовых отложений Свальбарда: Автореф. дис. ... канд. геол.-мин. наук. - Л., 1975. - 25 с.
- Корчинская М.В. К биостратиграфии триасовых отложений острова Котельный (Новосибирские острова) // Мезозойские отложения Северо-Востока СССР. - Л., 1977. - С. 43-49.
- Корчинская М.В. Объяснительная записка к стратиграфической схеме мезозоя (триас) Свальбарда. - Л.: Севморгеология, 1982. - 99 с.
- Кринштадт М.С. Триасовая система // Геология Индии и Бирмы. - М., 1954. - С. 231-259.
- Крымчаны Г.Я. Методика определения мезозойских головоногих (аммониты и белемниты). - Л.: Изд-во ЛГУ, 1960. - 89 с.
- Макетшин В.П. Принципы выделения и номенклатура подразделений палеозоогеографического районирования морских бассейнов // Палеонтол. журн. - 1973. - № 2. - С. 3-9.

- Мигай И.М. Геологическое строение района мыса Цветкова на Восточном Таймыре // Тр. НИИГА. - 1952. - Вып. 36. - С. 1-59.
- Михайлова И.А. Система и филогения меловых аммоноидей. - М.: Наука, 1983. - 280 с.
- Общая шкала триасовой системы СССР. - Л., 1984. - 117 с.
- Окунева Т.М. Анизийские аммоноиды из района хр. Большие Чурки (Хабаровский край) // Тр. ВСЕГЕИ. Нов. сер. - 1976. - Т. 263. - С. 49-65.
- Окунева Т.М., Железнов А.А. Нижне- и среднегриасовые отложения Хабаровского края // Тр. ВСЕГЕИ. Нов. сер. - 1976. - Т. 263. - С. 49-65.
- Окунева Т.М., Железнов А.А. Нижне- и среднегриасовые отложения Хабаровского края // Тр. ВСЕГЕИ. Нов. сер. - 1976. - Т. 263. - С. 15-27.
- Полов Ю.Н. Фауна ладинского яруса из окрестностей Оймякона // Материалы по геологии и полезным ископаемым Северо-Востока СССР. - 1946. - Вып. 2. - С. 48-61.
- Полов Ю.Н. Триасовые аммоноиды Северо-Востока СССР // Тр. НИИГА. - 1961. - Вып. 79. - С. 1-179.
- Полов Ю.Н., Кипарисов Л.Д., Робинсон В.Н. Надсемейство Ceratitaceae // Основы палеонтологии. Моллюски-головоногие. II. - М., 1958. - С. 33-39.
- Преображенская Э.Н., Тулинков Г.В., Вольнов Д.А. и др. Мезозойские отложения острова Котельного // Геология и полезные ископаемые Новосибирских островов и острова Брангеля. - Л., 1975. - С. 28-37.
- Руженцев В.Е. Надотряд Ammonoidea Аммоноиды. Общая часть // Основы палеонтологии. Моллюски-головоногие. I. - М., 1962. - С. 243-334.
- Сакс В.Н., Дагис А.А., Дагис А.С. и др. Совещание по биостратиграфии морского мезозоя Сибири и Дальнего Востока // Геология и геофизика. - 1972. - № 7. - С. 136-147.
- Шитиков В.И. О принципах выделения и номенклатуре крупнейших палеозоогеографических подразделений Земли // Палеонтол. журн. - 1986. - № 3. - С. 3-10.
- Шевырев А.А. Онтогенетическое развитие некоторых анизийских цератитов Кавказа // Палеонтол. журн. - 1961. - № 4. - С. 71-85.
- Шевырев А.А. Триасовые аммоноиды Юга СССР. - М.: Наука, 1968. - 272 с.
- Шевырев А.А. Триасовые аммоноиды. - М.: Наука, 1986. - 184 с.
- Arkell W.J., Kummel B., Wright C.W. Mezozoic ammonoidea // Treatise on Invertebrate Paleontology. - Geol. Soc. Amer. and Kansas press, 1957. - Pt. H.: Mollusca 4. - P. 80-437.
- Archipov Y.V., Bytschkov Y.M., Polubotko I.V. A new scheme for Triassic deposits from Northeast USSR // Bull. Can. Petrol. Geol. - 1971. - Vol. 19, N 2. - P. 313-314.
- Arthaber G. Die Cephalopodenfauna der Reiflinger Kalke. Abt. 1, 2// Beitr. Paläontol. Geol. Österr. - Ungarns und Orients Wien. - 1896. - Bd. 10, N 1/2. - S. 1-112; Hf. 4. - S. 192-242.
- Arthaber G. Die Trias von Albanien// Beitr. Paläontol. Geol. Österr. - Ungarns und Orients Wien. - 1911. - Bd. 24. - S. 169-277.
- Arthaber G. Die Trias von Bithynien (Anatolien)// Beitr. Paläontol. Geol. Österr. - Ungarns und Orients Wien. - 1914. - Bd. 27. - S. 85-206.
- Assereto R. Note tassonomiche sul genere Longobardites Mojsisovics con revisione delle specie italiane // Riv. Ital. Paleontol. e Stratigr. - 1966. - Vol. 72, N 4. - P. 933-998.
- Assereto R. Sul significato stratigrafico della "zona ad avisianus" del Trias medio delle Alpi// Boli. Soc. Geol. Ital. - 1969. - Vol. 88. - P. 123-145.
- Assereto R. Die Binodosus - Zone: Ein Jahrhundert wissenschaftlicher Gegensätze // Sitz. - Ber. Österr. Akad. Wiss. Math. - Naturwiss. Kl. Abt. 1. - 1971. - Bd. 179, Hf. 1/4. - S. 25-53.
- Assereto R. Aegean or Bithynian; proposal for two new Anisian substages // Die Stratigraphie der alpin-mediterranen Trias. - Wien; N.Y.: Springer-Verlag, 1974. - P. 23-40.
- Assereto R., Casati P. Il Trias in Lombardia (Studi geologici e paleontologici). 17. "Longobardites brembanus" sp. n. dell'anisico superiore della Lombardia // Riv. Ital. Paleontol. e Stratigr. - 1966. - Vol. 72, N 2. - P. 359-366.
- Banno Y. The triassic stratigraphy and ammonites fauna of Japan// Sci. Reps. Tohoku Univ. Ser. 2. - 1964a. - Vol. 36, N 1. - P. 1-137.

- Bando Y. On some Lower and Middle Triassic ammonoids from Japan // Trans. and Proc. Paleontol. Soc. Jap. - 1964b. - N. 56. - P. 332-344.
- Bando Y. On some Middle Triassic fossil cephalopods from Japan, with a note on the Middle Triassic Formations in Japan // Jap. j. Geol. and Geogr. - 1964 c. - Vol. 35, N 2/4. - P. 123-137.
- Bando Y. A note on the Triassic ammonoids of Japan // Mem. Fac. Liber. arts Educat. Kagawa univ. - 1966. - Pt. 2, N 138. - P. 1-19.
- Böckh J. Die geologischen Verhältnisse des südlichen Teiles des Bakony. II Teil // Mitt. Kon. Ungarn Geol. Anst. - 1874. - Vol. 3. - P. 1-180.
- Bittrner A. Was ist norisch? // Jahrb. Geol. Reichsanst. - 1892. - Bd. 42. - S. 387-396.
- Brack P., Rieber H. Stratigraphy and Ammonoids of the lower Buchenstein Beds of the Brescian Prealps and Giudicarie and their significance for the Anisian/Ladinian boundary // Eclog. Geol. Helv. - 1986. - Vol. 79, N 1. - P. 181-225.
- Browne R.A.S. Early Triassic ammonoids from Beaumont station, Wairaki Survey District // Trans. Roy. Soc. N.Z. - 1952. - Vol. 79. - P. 528-534.
- Bucher H. A new Middle Anisian (Middle Triassic) Ammonoid Zone from Northwestern Nevada (USA) // Eclog. Geol. Helv. - 1988. - Vol. 81, N 3. - P. 723-762.
- Diener C. Triadische Cephalopodenfaunen der Ostsibirischen Kustenprovinz // Mem. Com. Geol. St. Petersbourg. - 1895a. - Vol. 14, N 3. - P. 1-59.
- Diener C. The Cephalopoda of the Muschelkalk // Paleontol. Indica. Ser. 15. - 1895b. - Vol. 2, pt. 2. - P. 1-120.
- Diener C. Entwurf einer Systematik der Ceratitiden des Muschelkalkes // Sitz. - Ber. Akad. Wiss. Wien. - 1905. - Vol. 114, Hf. 8. - P. 765-806.
- Diener C. The fauna of the Himalayan Muschelkalk // Palaeontol. Indica. Ser. 15. - 1907. - Vol. 5, N 2. - P. 1-140.
- Diener C. Ladinic, Carnic and Noric faunae of Spiti // Palaeontol. Indica. Ser. 15. - 1908. - Vol. 5, N 3. - P. 1-157.
- Diener C. Triassic faunae of Kashmir // Palaeontol. Indica. N.S. - 1913. - Vol. 5, N 1. - P. 1-133.
- Diener C. Cephalopoda triadica. Fossilium Catalogus, 1. Animalia. Ps. 8. B. - 1915. - 369 S.
- Diener C. Die marinen Reiche der Trias-Periode // Denkschr. Akad. Wiss. Wien. Math. - Naturwiss. Kl. - 1916a. - Bd. 92. - S. 405-549.
- Diener C. Japanische Triasfaunen // Denkschr. Akad. Wiss. Wien. Math. - Naturwiss. Kl. - 1916b. - Bd. 92. - S. 1-30.
- Diener C. Die obertriadische Ammonitenfauna der Neusibirischen Insel Kotelny // Sitz. - Ber. Akad. Wiss. Wien. Math. - Naturwiss. Kl. Abt. 1. - 1916c. - Bd. 125. - S. 439-463.
- Diener C. Über triadische Cephalopoden, Gastropoden und Brachiopoden von der Insel Kotelny // Зап. Пок. АН. Сер. 8. - 1924. - Т. 21, № 5. - С. 1-19.
- Fazlai N.M. Ladinische Ammonoideen aus dem westlichen Hindu Kush (Afghanistan) // Neues Jahrb. Geol. und Paläontol. Monatsh. - 1972. - N 4. - S. 197-205.
- Gabb W. Description of the Triassic fossils of California and the adjacent territories // Geol. Surv. California, Palaeontology. - 1864. - Vol. 1, sect. 4. - P. 17-35.
- Gu Q., He G., Wang Y. Discovery of the late Anisian Paraceratites trinodosus Fauna (Ammonoidea) from Doilungdeqen, Tibet and its significance // Acta Palaeontol. Sin. - 1980. - Vol. 19, N 5. - P. 343-356.

- He G., Wang Y., Chen G. Early and Middle Triassic Cephalopods of Mt. Burchan Budai, Central Qinghai // Carboniferous and Triassic strata and fossils from the southern slope of Mt. Burchan Budai, Qinghai, China. - Anhui science and technology publishing house, 1986. - P. 171-274.
- Hyatt A. Ammonoidea // Text-book of palaeontology. - 1900. - Vol. 1. - P. 536-592.
- Hyatt A., Smith J.P. The Triassic cephalopod genere of America // Prof. Pap. US Geol. Surv. - 1905. - N 40, Ser. C. - P. 1-394.
- Kozur H. Vorläufige Mitteilung zur Parallelisierung der germanischen und tethyalen Trias sowie einige Bemerkungen zur Stufen- und Unterstufengliederung der Trias // Mitt. Ges. Bergbaustud. Innsbruck. - 1973. - Bd. 21. - S. 363-412.
- Kozur H. Probleme der Triasgliederung und Parallelisierung der germanischen und tethyalen Trias. Tl 2: Anschluss der germanischen Trias an die internationale Triasgliederung // Freiberg. Forschungsh. C. - 1975. - N. 304. - S. 51-77.
- Krystyn L., Mariolakos I. Stratigraphie und Tektonik der Hallstätter-Kalk-Scholle von Epidauros (Griechenland) // Sitz. - Ber. Österr. Akad. Wiss. Wien. Math. - Naturwiss. Kl. Abt. 1. - 1975.-Bd.184, Hf. 8/10. - S. 181-195.
- Kummel B. New Zealand Triassic ammonoids // N.Z.J. Geol. and Geophys. - 1960. - Vol. 3, N 3. - P. 486-509.
- Lindström G. Om Trias-och Juraforsteningar från Spetsbergen // Kgl. sven. vetenskapsakad. handl. - 1865. - Bd. 6, N 6. - S. 1-20.
- McLearn F.H. New Middle Triassic species from northeastern British Columbia. Appendix II // Geol. Surv. Can. - 1946a. - Pap. 46-1. - P. 1-2 (pl. 1-3).
- McLearn F.H. Additional new Middle Triassic species from northeastern British Columbia. Supplement to Appendix II // Geol. Surv. Can. - 1946b. - Pap. 46-1. - P. 3-4 (pl. 4-7).
- McLearn F.H. A Middle Triassic (Anisian) fauna in Halfway, Sikanni Chief and Tetsa Valleys, northeastern British Columbia // Geol. Surv. Can. - 1948. - Pap. 46-1 (2-nd ed.). - 20 p. (Supplement. - 3 p., 11 pl.).
- McLearn F.H. The Ammonoid Family Hungaritidae and the species *Longobardites nevadanus* in the Middle Triassic series of northeastern British Columbia // Geol. Surv. Can. - 1951. - Supplement to Paper 46-1. - P. 1-26.
- McLearn F.H. Revision of Some Anisian (Middle Triassic) Ammonoids // Can. Field Nat. - 1960. - Vol. 74. - P. 53.
- McLearn F.H. Anagymnotoceras: A new Middle Triassic (Anisian) ammonoid genus from northeastern British Columbia // Geol. Surv. Can. - 1966. - Pap. 66-56. - P. 1-3.
- McLearn F.H. Middle Triassic (Anisian) Ammonoids from northeastern British Columbia and Ellesmere island // Bull. Geol. Surv. Can. - 1969. - N. 170. - P. 1-90.
- Meek F.B. Paleontology // US Geol. Exp. 40th Par. Rept. - 1877. - Vol. 4, pt. 1. - P. 1-197.
- Mojsisovics E. Beiträge zur Kenntnis der Cephalopoden-Fauna des alpinen Muschelkalk (Zone des *Arcestes studeri*) // Jahrb. Geol. Reichsanst. Wien. - 1869. - Bd. 19. - S. 567-594.
- Mojsisovics E. Die Cephalopoden der mediterranen Triasprovinz // Abh. Geol. Reichsanst. Wien. - 1882. - Bd. 10. - S. 1-332.
- Mojsisovics E. Arktische Triasfaunen // Mem. Akad. Sci. - Petersbourg. Ser. 7. - 1886. - Vol. 33, N 6. - P. 1-159.
- Mojsisovics E. Über einige japanische Trias-Fossilien // Beitr. Palaeontol. Geol. Österr. - Ungarns und Orients Wien. - 1888. - Bd. 7, N 2. - S. 163-178.
- Mojsisovics E. Beiträge zur Kenntniss der obertriadischen Cephalopoden - Faunen des Himalaya // Denkschr. Akad. Wien. Math. - Naturwiss. Kl. - 1896. - Bd. 63. - S. 575-701.

- Mojisovics E., Waagen W., Diener C. Entwurf einer Gliederung der pelagischen Sedimente des Trias-Systems // Sitz. - Ber. Akad. Wiss. Wien. Nath. - Naturwiss. Kl. - 1895. - Bd. 104, Abt. 1. - S. 1-32.
- Neumayr M. Die Ammoniten der Kreide und die Systematik der Ammonitiden // Ztschr. Dt. Geol. Ges. - 1875. - Bd. 27, Ht. 4. - S. 854-942.
- Öberg P. Om Trias-forsteningar fran Spetsbergen // Kgl. Svens. Vetenskapsakad. handl. - 1877. - Bd. 14, N 14. - S. 1-19.
- Oppel A. Über ostindische Fossilreste aus den sekundären Ablagerungen von Spiti und Gnari-Khorsum in Tibet// Palaontol. Mitt. Mus. Bayer Staates. - 1863-1865. - Bd. 4. - S. 267-304.
- Pia J. Grundbegriffe der Stratigraphie mit ausführlicher Anwendung auf die europäische Mitteltrias. - Leipzig; Wien: Deuticke, 1930. - 252 S.
- Reis O.M. Eine Fauna des Wettersteinkalkes. 1. Cephalopoden // Geogr. Jh. München. - 1901. - Bd 13. - S. 71-105.
- Rieber H. Über die Grenze Anis-Ladin in den Südalpen // Eclog. Geol. Helv. - 1967. - Vol. 60, N 2. - P. 611-614.
- Rieber H. Daonellen aus der Grenzbitumenzone der Mittleren Trias des Monte San Giorgio (Kanton Tessin, Schweiz) // Eclog. Geol. Helv. - 1969. - Vol. 62, N 2. - P. 657-683.
- Rieber H. Cephalopoden aus der Grenzbitumenzone (Mittlere Trias) des Monte San Giorgio (Kanton Tessin, Schweiz) // Schweiz. Palaontol. Abh. - 1973. - Bd. 93. - S. 1-96.
- Rieber H. Ammoniten und Stratigraphie der Grenzbitumenzone (Mittlere Trias) der Tessiner Kalkalpen // Die Stratigraphie der alpin-mediterranen Trias. - Wien; N.Y., 1974. - Bd. 2. - S. 167-176.
- Salmone W. Geologische und palaontologische Studien über die Marmolata // Palaeontographica. - 1895. - Bd. 42, lfg. 1/3. - S. 1-210.
- Shimizu S. On some Anisic ammonites from the Hollandites beds of the Kitakami mountailand // Sci. Reps Tohoku Univ. Ser. 2. - 1930. - Vol. 14, N 1. - P. 63-74.
- Silberling N.J. Stratigraphic distribution of Middle Triassic ammonites of Fossil Hill, Humboldt range, Nevada // J. Paleontol. - 1962. - Vol. 36, N 1. - P. 153-160.
- Silberling N.J., Nichols K.M. Middle Triassic molluscan fossils of biostratigraphic significance from the Humboldt Range, northwestern Nevada // US Geol. Surv. Prof. Pap. - 1982. - N 1207. - P. 1-150.
- Silberling N.J., Tozer E.T. Biostratigraphic classification of the marine Triassic in North America // US Geol. Surv. Spec. Pap. - 1968. - N 110. - P. 1-63.
- Skwarko S.K. Middle and Upper Triassic Mollusca from Yuat river, Eastern New Guinea // Bull. Dep. Natur. Develop. Bur. Miner. Resour, Geol. and Geophys. - 1973. - N 126. - P. 27-50.
- Smith J.P. The Middle Triassic marine invertebrate faunas of North America // US Geol. Surv. Prof. Pap. - 1914. - N 83. - P. 1-254.
- Smith J.P. Lower Triassic ammonoids of North America // US Geol. Surv. Prof. Pap. - 1932. - N 167. - P. 1-199.
- Spath L.F. Catalogue of the fossil Cephalopoda in the British Museum (natural history). - London: Adlard and Son, 1934. - Pt. 4: The Ammonoidea of the Trias. - 521 p.
- Spath L.F. Catalogue of the fossil Cephalopoda in the British Museum (natural history). - London: Adlard and Son, 1951. - Pt. 5: The Ammonoidea of the Trias. - 228 p.
- Tozer E.T. Triassic stratigraphy and faunas Queen Elizabeth Islands, Arctic Archipelago // Geol. Surv. Can. - 1961. - Mem. 316. - P. 1-116.
- Tozer E.T. Illustrations of Canadian Fossils Triassic of Western and Arctic Canada // Geol. Surv. Can. - 1962. - Pap. 62-19. - P. 1-26.
- Tozer E.T. A standard for Triassic time // Bull. Geol. Surv. Can. - 1967. - N 156. - P. 1-103.

- Tozer E.J. Triassic time and ammonoids: Problems and proposals // Canad. J. Earth Sci. - 1971. - Vol. 8, N 8. - P. 989-1031.
- Tucker E.T. Triassic Ammonoidea: Classification, evolution and relationship with Permian and Jurassic forms // The Ammonoidea. - London; N.Y., 1981a. - P. 65-100.
- Tozer E.T. Triassic Ammonoidea: Geographic and stratigraphic distribution // The Ammonoidea. - London; N.Y., 1981b. - P. 397-431.
- Tozer E.T., Parker J.R. Notes on the Triassic biostratigraphy of Svalbard // Geol. Mag. - 1968. - Vol. 105, N 6. - P. 526-542.
- Vörös A. Preliminary results from the Aszófö section (Middle Triassic, Balaton area, Hungary): a proposal for a new anisian ammonoid Subzonal scheme // Fragm. mineral. et palaeontol. - 1987. - N 13. - P. 53-64.
- Vu Khuc. Triassic ammonoids in Vietnam. - Hanoi, 1984. - 134 p. - (Edited by geoinform geodata institute).
- Wang T., He G. Triassic ammonoids from the mount Jolmo Lungma region // Palaeontol. Sinica. - 1976. - N 12. - P. 223-545.
- Wang Y. Ammonoids from Falang formation (Ladinian - E. Carnian) of southwestern Guizhou, China // Acta Palaeontol. Sinica. - 1983. - Vol. 22, N 2. - P. 153-162.
- Wang Y., He G. Some Triassic ammonoids from Xizang // Palaeontology of Xizang. Book. III (The Series of the Scientific Expedition to the Qinghai - Xizang Plateau.). - Pekin, 1981. - P. 283-313.
- Wanner J. Anisische Monophylliten von Timor // Neues Jahrb. Miner., Geol. und Palaontol. Abh. - 1932. - Bd. 67, Abt. B, Hf. 2. - S. 279-286.
- Weitschat W., Lehmann U. Stratigraphy and ammonoids from the Middle Triassic Botneheiia Formation (Daonella Shales) of Spitsbergen // Mitt. Geol. - Palaontol. Inst. Univ. Hamburg. - 1983. - N 54. - S. 27-54.
- Welter O.A. Die Ammoniten und Nautiliden der ladinischen und anisischen Trias von Timor // Palaontol. Timor. - 1915. - Lfg. 5, Hf. 10. - S. 71-136.
- Westermann G.E.G. Occurrence and significance of Nevadites merriami Smith in the Toad Formation of northeast British Columbia (Ammonoidea, Mid-Triassic) // J. Paleontol. - 1963. - Vol. 37, N 2. - P. 496-499.
- Yang Z., Cheng Y., Wang H. The Geology of China. - Oxford: Clarendon press, 1986. - 303 p.
- Yang Z., Li Z., Qu L. et al. The Triassic System of China // Acta Geol. sin. - 1982. - Vol. 56, N 1. - P. 1-24.

ФОТОТАБЛИЦЫ И ОБЪЯСНЕНИЯ К НИМ

Во всех случаях а - вид раковины сбоку, б - вид с устья, в - вид с вентральной стороны; кроме специально оговоренных размеры раковин даны в натуральную величину.

Таблица 1

Фиг. 1-4. *Gymnotoceras blakei* (Gabb.)

1 - экз. 66/811; побережье Оленекского залива, м. Улахан-Крест; 2 - экз. 59/811; побережье Оленекского залива, там же; 3 - экз. 67/811; побережье Оленекского залива, пос. Ыстанныах-Хочо; 4 - экз. 65/811; дельта р. Лены, Оленекская протока, руч. Таас-Крест. Зона rotelliforme, подзона olenekense.

Фиг. 5, 6. *Gymnotoceras rotelliforme* Meek.

5 - экз. 103/811; 6 - экз. 102/811. Побережье Оленекского залива, пос. Ыстанныах-Хочо, зона rotelliforme.

Таблица 2

Фиг. 1, 2. *Gymnotoceras rotelliforme* Meek.

1 - экз. 99/811; 2 - экз. 106/811, Оленекский залив, пос. Ыстанныах-Хочо, зона rotelliforme.

Таблица 3

Фиг. 1, 2. *Gymnotoceras rotelliforme* Meek.

1 - экз. 104/811, побережье Оленекского залива, пос. Ыстанныах-Хочо; 2 - экз. 117/811, Северный Хараулах, бассейн р. Кенгдей, руч. Аргист-Агатын-Юрэгэ. Зона rotelliforme.

Таблица 4

Фиг. 1-3. *Gymnotoceras deleeni* (McLearn).

1 - экз. 75/811; 2 - экз. 74/811; 3 - экз. 73/811. Омоловский массив, р. Русская, зона rotelliforme, подзона olenekense.

Фиг. 4, 5. *Gymnotoceras olenekense* Dagys et Konst.

4 - голотип № 1/774; 5 - экз. 3/774. Побережье Оленекского залива, м. Улахан-Крест, зона rotelliforme, подзона olenekense.

Таблица 5

Фиг. 1-3. *Gymnotoceras inflatum* sp. nov.

1 - голотип № 121/811; 2 - экз. 122/811; 3 - тот же экз. при большем размере. Северный Хараулах, бассейн р. Кенгдей, руч. Ольховый, зона rotelliforme.

Фиг. 4. *Gymnotoceras aff. zvetkovi* sp. nov.

Экз. 148/811; Восточный Таймыр, м. Цветкова, зона rotelliforme, подзона olenekense.

Фиг. 5. *Gymnotoceras zvetkovi* sp. nov.

Экз. 138/811; Восточный Таймыр, м. Цветкова, зона rotelliforme, подзона olenekense.

Таблица 6

Фиг. 1, 3, 5. *Gymnotoceras inflatum* sp. nov.

1 - голотип № 121/811, вид с вентральной стороны; 3 - экз. 127/811, побережье Оленекского залива, м. Улахан-Крест; 5 - экз. 125/811, Северный Хараулах, бассейн р. Кенгдей, руч. Аргист-Агатын-Юрэгэ. Зона rotelliforme.

Фиг. 2, 4. *Gymnotoceras olenekense* Dagys et Konst.

2 - экз. 119/811; 4 - экз. 10/774 (46 - поперечное сечение оборотов по излому). Побережье Оленекского залива, руч. Стан-Хая-Юрэгэ, зона rotelliforme, подзона olenekense.

Таблица 7

Фиг. 1-3. *Gymnotoceras zvetkovi* sp. nov.

1 - экз. 144/811; 2 - голотип № 135/811; 3 - экз. 141/811. Восточный Таймыр, м. Цветкова, зона rotelliforme, подзона olenekense.
Фиг. 4, 5. *Gymnotoceras* aff. *zvetkovi* sp. nov.
4 - экз. 146/811; 5 - экз. 148/811. Местонахождение и возраст те же.

Таблица 8

Фиг. 1, 2. *Gymnotoceras tasaryense* sp. nov.

1 - голотип № 133/811; 2 - тот же экз., внутренние обороты (26 - поперечное сечение оборотов). Нижнее течение р. Лены, о. Таас-Арыы, зона rotelliforme.

Фиг. 3. *Hollandites* aff. *pelletieri* McLearn.

Экз. 197/811; Восточный Таймыр, м. Цветкова, средний азиатский подъярус, зона kharaulakhensis, подзона gastroplanus.

Таблица 9

Фиг. 1. *Anagymnotoceras helle* (McLearn).

Экз. 195/811; Восточный Таймыр, м. Цветкова, средний азиатский подъярус, зона kharaulakhensis, подзона gastroplanus.

Фиг. 2. *Anagymnotoceras ino* (McLearn).

Экз. 196/811; бассейн р. Колымы, р. Малая Бургали, возраст тот же.

Фиг. 3-5. *Frechites nevadanus* (Mojsisovics).

3 - экз. 149/811; нижнее течение р. Лены, о. Таас-Арыы, зона nevadanus, подзона sublaqueatus, 4 - экз. 151/811, Северный Хараулах, бассейн р. Кенгдей, руч. Артист-Агатын-Юргэ, зона nevadanus, подзона nevadanus; 5 - экз. 157/811 (56 - поперечное сечение внутренних оборотов), нижнее течение р. Лены, о. Таас-Арыы, возраст тот же.

Фиг. 6. *Arctogymnites sonini* Popow.

Экз. 203/811; побережье Оленекского залива, пос. Ыстиннах-Хочо, зона nevadanus, подзона dzeginense.

Таблица 10

Фиг. 1. *Frechites chischeformis* sp. nov.

Голотип № 162/811; Северный Хараулах, бассейн р. Кенгдей, руч. Ольховый, зона nevadanus, подзона dzeginense.

Фиг. 2, 3. *Frechites lenaensis* sp. nov.

2 - голотип № 163/811; 3 - тот же экз., с последующей частью оборота, дельта р. Лены, Оленекская протока, руч. Таас-Крест, зона nevadanus, подзона nevadanus.

Фиг. 4. *Frechites nevadanus* (Mojsisovics).

Экз. 152/811; Северный Хараулах, бассейн р. Кенгдей, руч. Артист-Агатын-Юргэ, возраст тот же.

Фиг. 5. *Arctogymnites sonini* Popow.

Экз. 200/811; побережье Оленекского залива, м. Улахан-Крест, зона nevadanus, подзона dzeginense.

Таблица 11

Фиг. 1, 3. *Arctogymnites sonini* Popow.

1 - экз. 199/811; побережье Оленекского залива, м. Улахан-Крест, зона nevadanus, подзона dzeginense; 3 - экз. 210/811; Северный Хараулах, бассейн р. Кенгдей, руч. Артист-Агатын-Юргэ, зона nevadanus, подзона nevadanus.

Фиг. 2. *Arctogymnites spektori* Archipov.

Экз. 214/811; нижнее течение р. Лены, м. Чекуровский, нижний ладинский подъярус, зона oleshkoi.

Таблица 12

Фиг. 1. *Arctogymnites sonini* Popow.

Экз. 206/811; нижнее течение р. Лены, о. Таас-Арыы, зона nevadanus, подзона dzeginense.

Фиг. 2. *Arctogymnites spektori* Archipov.

Экз. 217/811; Северный Хараулах, бассейн р. Кенгдей, руч. Алджирхай, нижний ладинский подъярус, зона Arctoptychites omoljensis.

Таблица 13

Фиг. 1, 2. *Arctogymnites clivosus* Bytschkov et Vavilov.

1 - экз. 218/811; 2 - фрагмент оборота того же экземпляра при больших размерах. Восточный Таймыр, м. Цветкова, зона nevadanus, подзона *dzeginense*.
Фиг. 3. *Arctogymnites* ?sp.

Экз. 219/811; Северный Хараулах, бассейн р. Кенгдей, руч. Артист-Агатын-Юргэ, зона *rotelliformis*, подзона *olernekense*.

Фиг. 4-6. *Parafrechites meeki* (Mojsisovics).

4 - экз. 37/811; 5 - экз. 31/811; 6 - экз. 45/811. Побережье Оленекского залива, пос. Ыстннах-Хочо, зона nevadanus, подзона *sublaqueatus*, один пролой конкреций.

Таблица 14

Фиг. 1-4, 6, 7. *Parafrechites meeki* (Mojsisovics).

1 - экз. 36/811; 2 - 38/811; 3 - экз. 39/811; 4 - экз. 44/811; 6 - экз. 35/811. Побережье Оленекского залива, пос. Ыстннах-Хочо; зона nevadanus; подзона *sublaqueatus*, один прослой конкреций; 7 - экз. 43/811, нижнее течение р. Лены, о. Таас-Арыы, возраст тот же.

Фиг. 5, 8, 9. *Parafrechites sublaqueatus* (Bytschkov).

5 - топотип № 26/811; бассейн р. Колымы, руч. Нимфа, зона nevadanus, подзона *sublaqueatus*; 8 - экз. 10/811; 9 - экз. 9/811. Северный Хараулах, бассейн р. Кенгдей, руч. Артист-Агатын-Юргэ, возраст тот же.

Таблица 15

Фиг. 1-6. *Parafrechites sublaqueatus* (Bytschkov).

1 - экз. 12/811; 2 - экз. 14/811; 4 - экз. 16/811; 5 - экз. 15/811; 6 - экз. 13/811. Северный Хараулах, бассейн р. Кенгдей, руч. Артист-Агатын-Юргэ, зона nevadanus, подзона *sublaqueatus*; 3 - топотип № 24/811; бассейн р. Колымы, руч. Нимфа, возраст тот же.

Таблица 16

Фиг. 1, 5. *Parafrechites sublaqueatus* (Bytschkov).

1 - экз. 19/811; 5 - экз. 18/811. Северный Хараулах, бассейн р. Кенгдей, руч. Артист-Агатын-Юргэ, зона nevadanus, подзона *sublaqueatus*.

Фиг. 2, 3. *Parafrechites egorovi* sp. nov.

2 - экз. 54/811 (2а - сбоку, 2б - сбоку, с другой стороны, 2в - с вентральной стороны); 3 - голотип № 55/811. Местонахождение то же, зона nevadanus, подзона *sublaqueatus*.

Фиг. 4. *Parafrechites evolutus* sp. nov.

Голотип № 50/811; местонахождение то же, зона nevadanus, подзона *sublaqueatus*.

Таблица 17

Фиг. 1. *Parafrechites evolutus* sp. nov.

Экз. 51/811; Северный Хараулах, бассейн р. Кенгдей, руч. Артист-Агатын-Юргэ, зона nevadanus, подзона *sublaqueatus*.

Фиг. 2, 3. *Parafrechites kharaulakhensis* sp. nov.

2 - голотип № 1/811; 3 - экз. 2/811. Местонахождение и возраст те же.

Фиг. 4-7. *Parafrechites aff. meeki* (Mojsisovics).

4 - экз. 3/811; 6 - экз. 4/811. Местонахождение и возраст те же; 5 - экз. 6/811; 7 - экз. 8/811; побережье Оленекского залива, пос. Ыстннах-Хочо, возраст тот же.

Таблица 18

Фиг. 1-3, 5, 6. *Frechitoides migayi* (Kiparisova)

1 - экз. 2/805; 2 - экз. 3/805; 3 - экз. 19/805; 6 - экз. 17/805. Восточный Таймыр, м. Цветкова, зона nevadanus, подзона *dzeginense*; 5 - экз. 18/805; побережье Оленекского залива, руч. Стан-Хая-Юргэ, возраст тот же.

Фиг. 4. *Frechitoides carinatus* Konstantinov.

Экз. 30/805; Восточный Таймыр, м. Цветкова, возраст тот же.

Таблица 19

Фиг. 1, 4, 5. *Frechitoides carinatus* Konstantinov.

1 - голотип № 28/805; 5 - тот же экземпляр с последующей частью оборота; побережье Оленекского залива, руч. Стан-Хая-Юрэгэ, зона nevadanus, подзона dzeginense; 4 - экз. 29/805; Восточный Таймыр, м. Цветкова, возраст тот же.

Фиг. 2, 3. *Frechitoides olenekensis* Konstantinov.

2 - голотип № 20/805; 3 - экз. 22/805. Побережье Оленекского залива, м. Улахан-Крест, возраст тот же, один пролой конкреми.

Таблица 20

Фиг. 1. *Frechitoides olenekensis* Konstantinov.

Экз. 21/805; побережье Оленекского залива, м. Улахан-Крест, зона nevadanus, подзона dzeginense.

Фиг. 2-8. *Longobardites canadensis* McLarn.

2 - экз. 268/811; 3 - экз. 269/811; 6 - экз. 274/811; 7 - 272/811.

Восточный Таймыр, м. Цветкова, зона nevadanus, подзона dzeginense; 4 - экз. 280/811; 8 - экз. 281/811. Северный Хараулах, бассейн р. Кенгдей, руч. Артист-Агатын-Юрэгэ, зона nevadanus, подзона nevadanus; 5 - экз. 277/811; побережье Оленекского залива, пос. Ысттаннах-Хочо, зона nevadanus, подзона sublaqueatus.

Таблица 21

Фиг. 1-6. *Intornites nevadanus* (Hyatt et Smith).

1 - экз. 253/811; 4 - экз. 254/811; 6 - экз. 255/811. Побережье Оленекского залива, пос. Ысттаннах-Хочо, средний азиатский подъярус, зона kharaulakhensis, подзона gastroplanus; 2 - экз. 262/811; нижнее течение р. Лены, о. Таас-Арыы, зона rotelliforme, подзона asseretoii; 3 - экз. 263/811; побережье Оленекского залива, м. Улахан-Крест, возраст тот же; 5 - экз. 260/811; Восточный Таймыр, м. Цветкова, возраст тот же.

Фиг. 7-11. *Intornites oleshkoi* (Archipov).

7 - экз. 293/811; 9 - экз. 295/811. Побережье Оленекского залива моря Лаптевых, пос. Ысттаннах-Хочо; 8 - экз. 308/811; 10 - экз. 309/811. Нижнее течение р. Лены, м. Чекуровский; 11 - экз. 303/811; побережье Оленекского залива, м. Улахан-Крест. Нижний ладинский подъярус, зона oleshkoi.

Таблица 22

Фиг. 1. *Intornites oleshkoi* (Archipov).

Экз. 312/811; побережье Оленекского залива, м. Улахан-Крест, нижний ладинский подъярус, зона oleshkoi.

Фиг. 2-5. *Ptychites pseudoeuglyphus* sp. nov.

2 - экз. 231/811; Восточный Таймыр, м. Цветкова; 3 - голотип № 228/811; дельта р. Лены, Оленекская протока, руч. Таас-Крест; 4 - экз. 233/811; побережье Оленекского залива, руч. Стан-Хая-Юрэгэ; 5 - экз. 230/811; м. Улахан-Крест. Зона nevadanus, подзона dzeginense.

Таблица 23

Фиг. 1, 2, 8. *Neocladiiscites parenicus* Popow.

1 - экз. 220/811; дельта р. Лены, Оленекская протока, руч. Таас-Крест, зона nevadanus, подзона nevadanus; 8 - экз. 222/811, бассейн р. Колымы, руч. Нимфа, зона nevadanus, подзона sublaqueatus; 2 - экз. 227/811; место-нахождение то же, зона nevadanus, подзона dzeginense.

Фиг. 3, 4. *Neocladiiscites taskanensis* Popow.

3 - экз. 226/811 (фрагмент оборота); бассейн р. Колымы, руч. Нимфа, зона nevadanus, подзона sublaqueatus; 4 - экз. 223/811; Восточный Таймыр, м. Цветкова, зона nevadanus, подзона dzeginense.

Фиг. 5-7. *Indigirophyllites popowi* sp. nov.

5 - экз. 244/811; 6 - экз. 242/811. Северный Хараулах, бассейн р. Кенгдей, руч. Артист-Агатын-Юрэгэ; 7 - экз. 248/811; о. Котельный, лагуна Станции. Зона nevadanus, подзона sublaqueatus.

Таблица 24

Фиг. 1, 2, 4. *Indigirophyllites popowi* sp. nov.

1 - голотип № 240/811; дельта р. Лены, Оленекская протока, руч. Таас-Крест, зона nevadanus, подзона nevadanus; 2 - экз. 250/811 (фрагмент оборота); о. Котельный, лагуна Станции, подзона sublaqueatus; 4 - экз. 239/811 (фрагмент оборота крупной раковины); бассейн р. Колымы, руч. Нимфа, зона nevadanus, подзона dzeginense.

Фиг. 3. *Ussurites cameroni* McLarn.

Экз. 236/811; Северный Хараулах, бассейн р. Кенгдей, руч. Артист-Агатын-Юрэгэ, зона rotelliforme, подзона asseretoii.

Таблица I

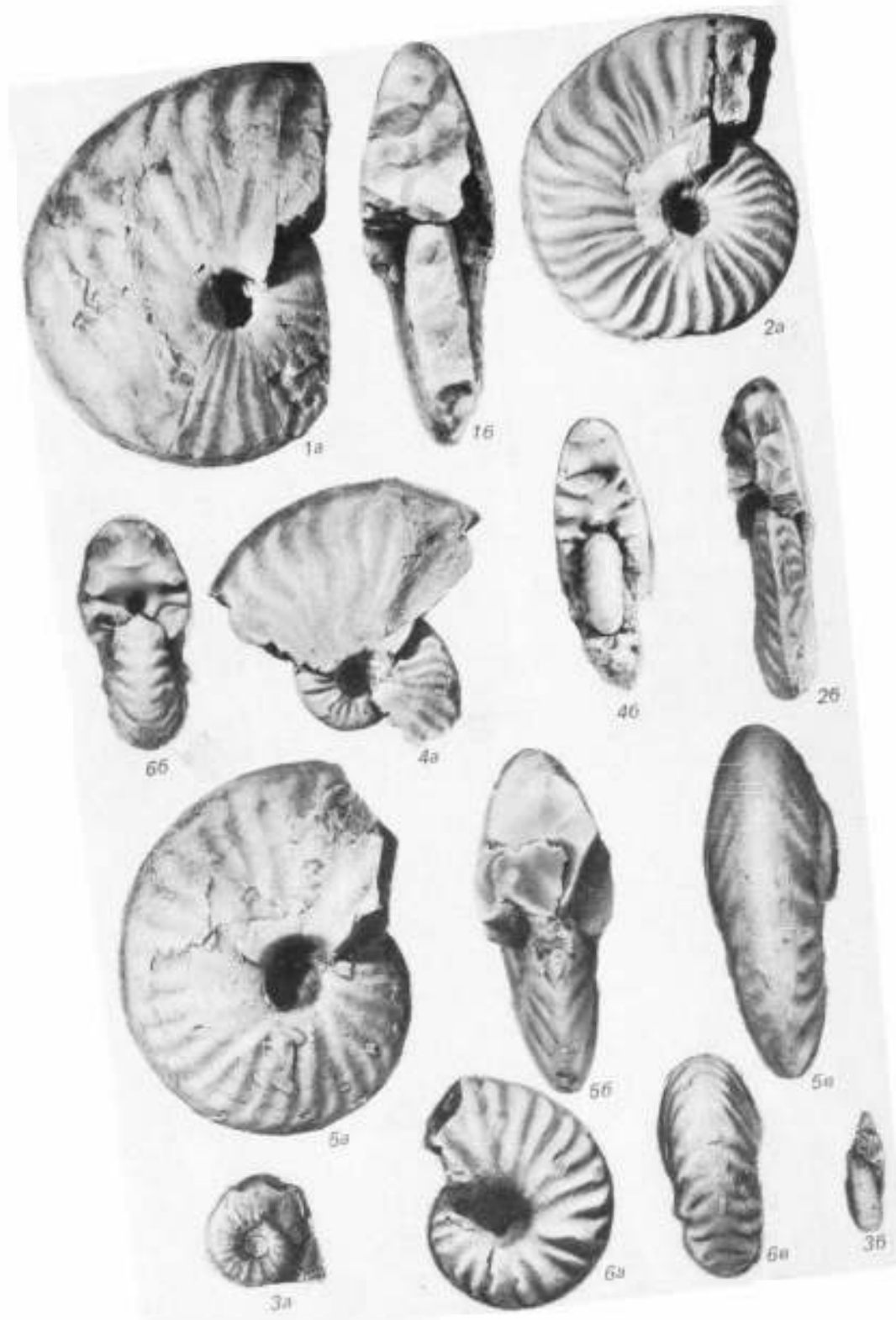


Таблица II



Таблица III



Таблица IV

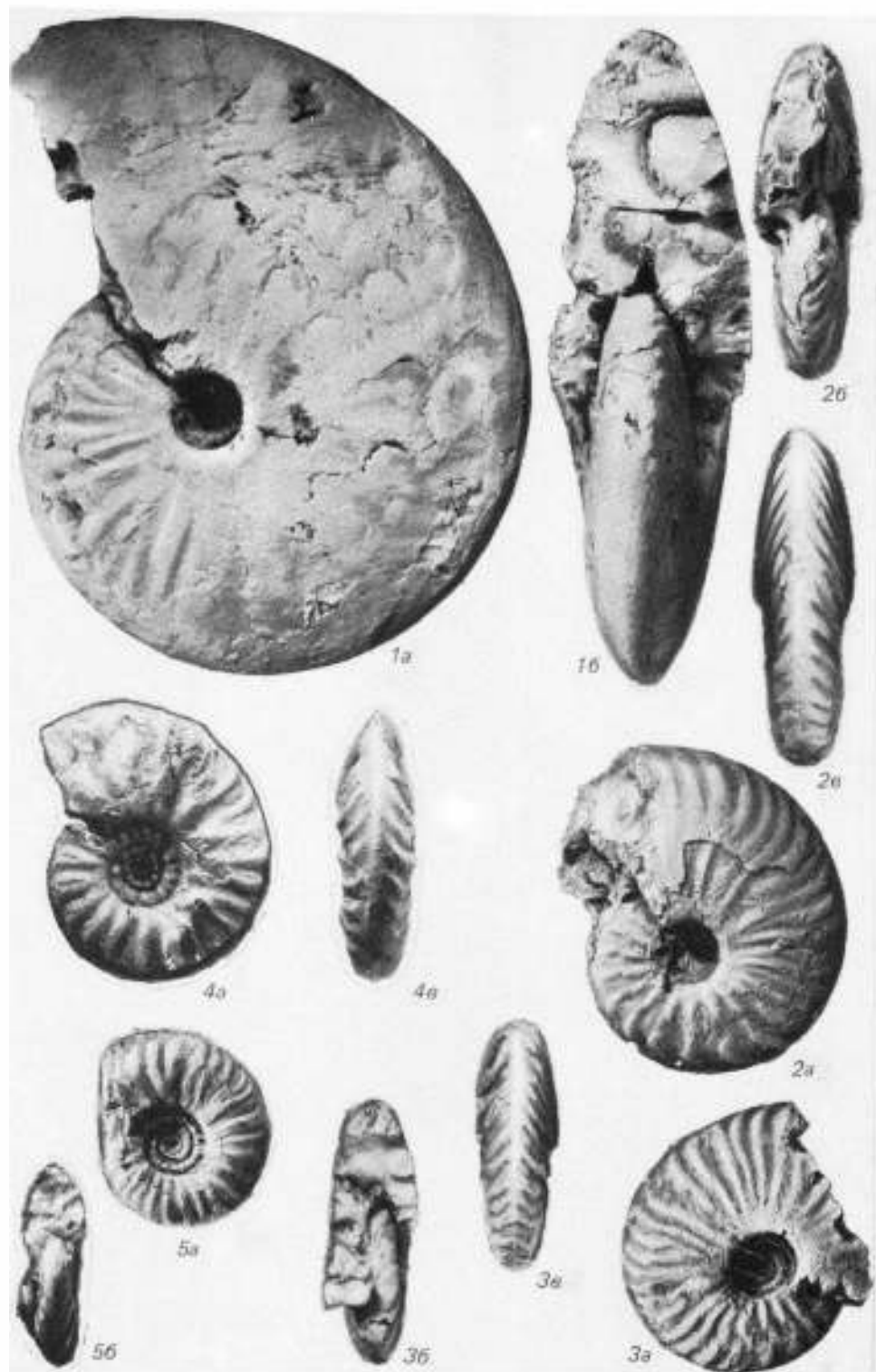


Таблица V

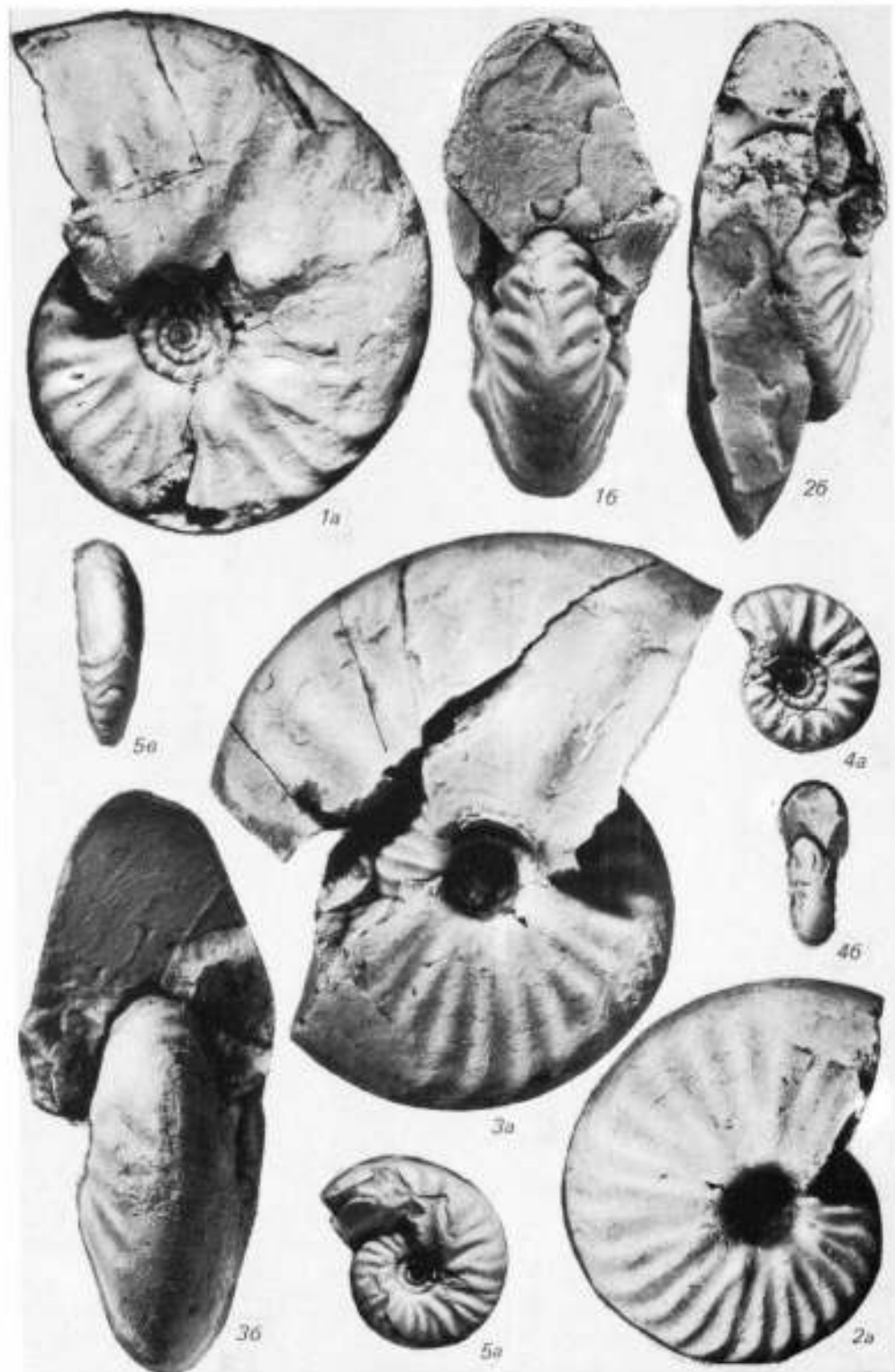


Таблица VI

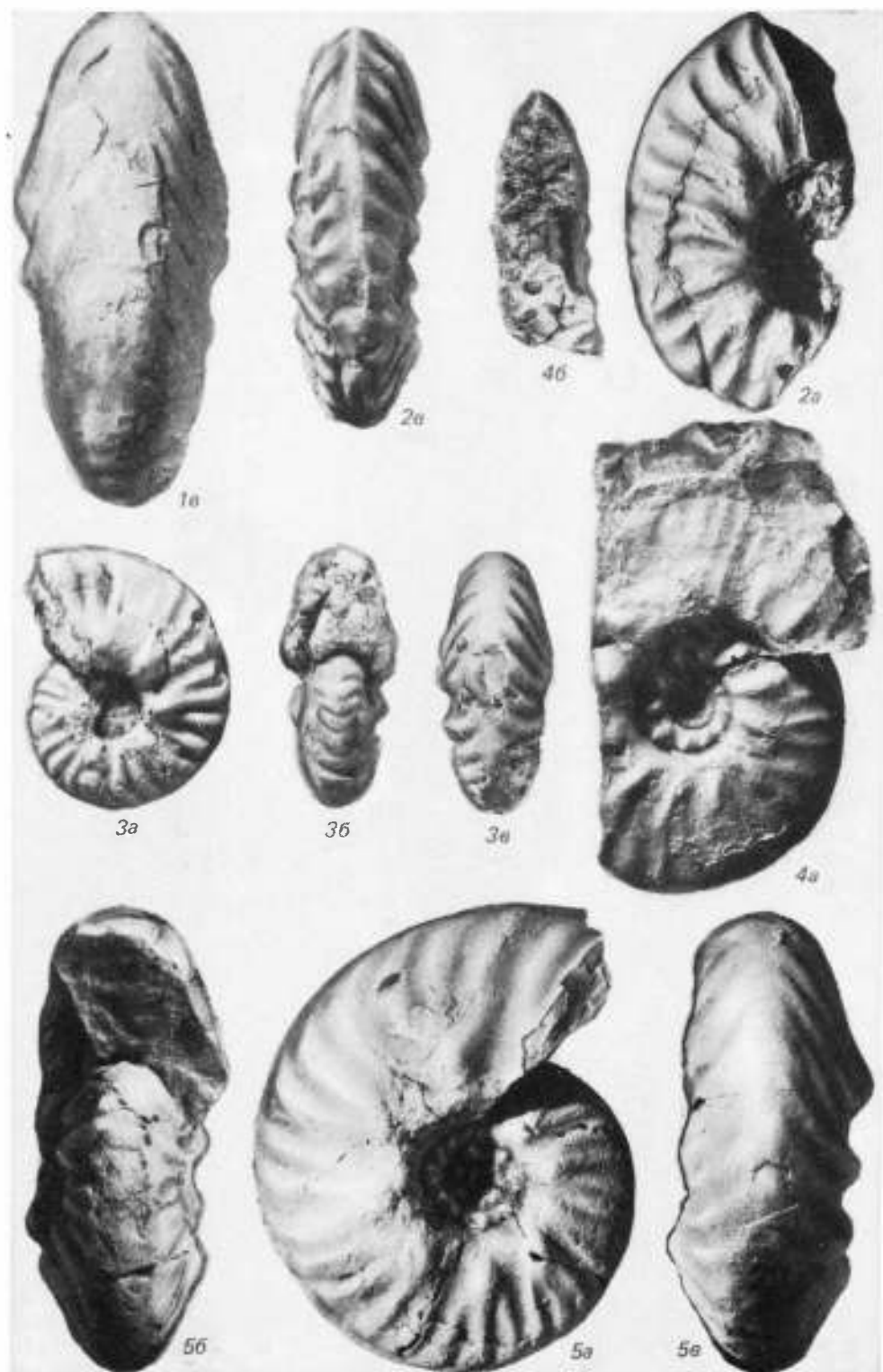


Таблица VII



Таблица VIII

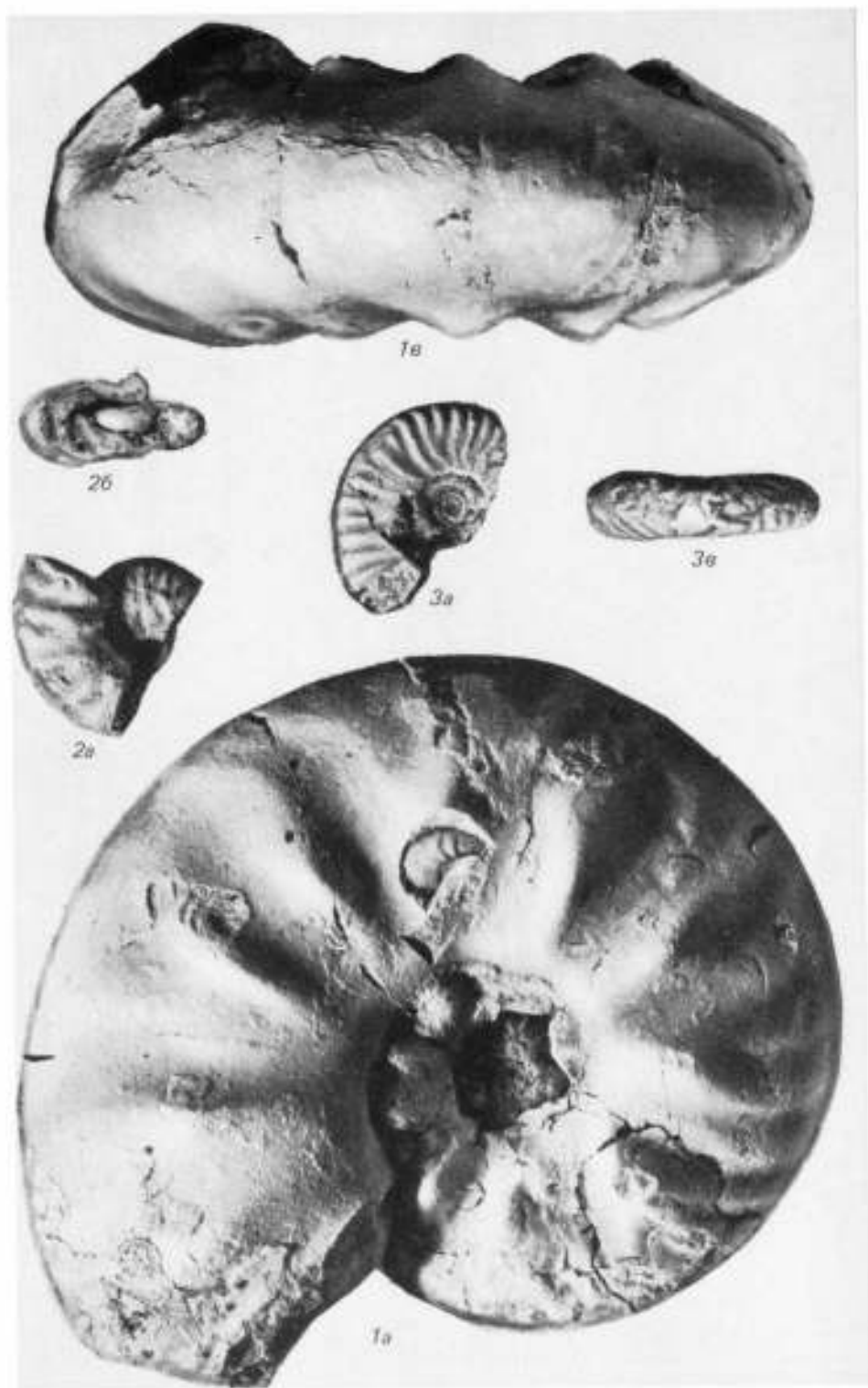


Таблица XI

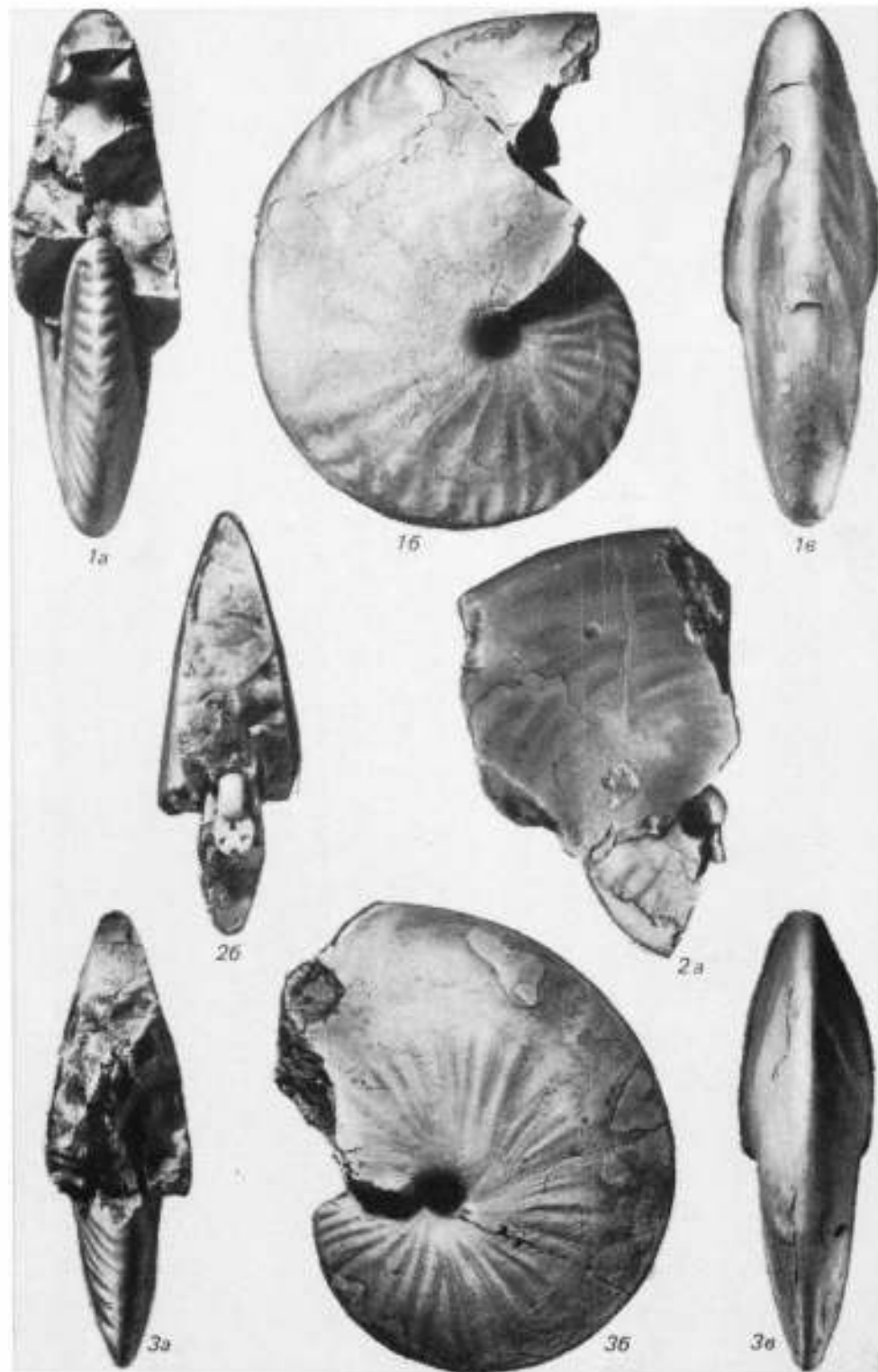


Таблица XII



Таблица XIII

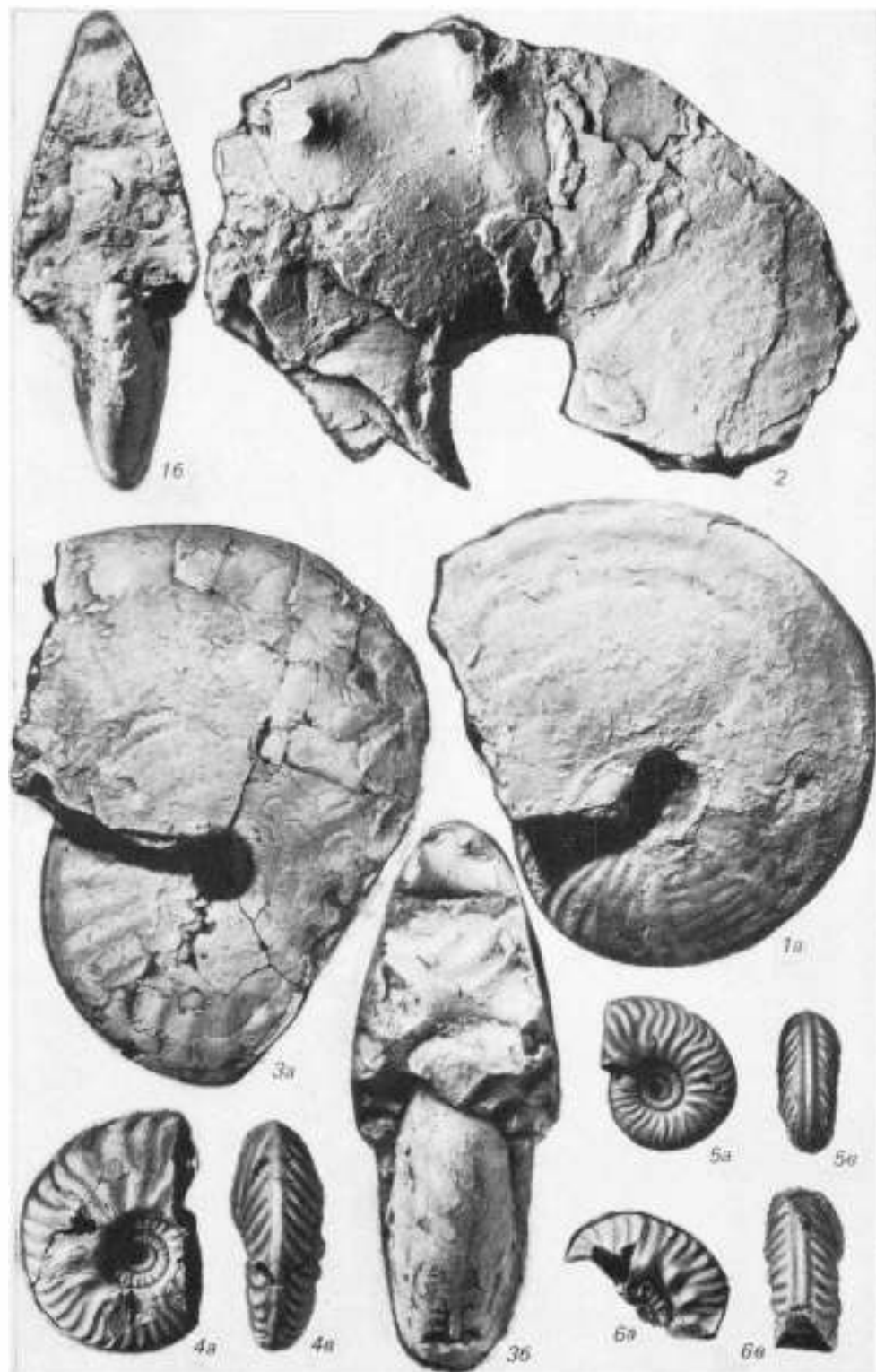


Таблица XIV

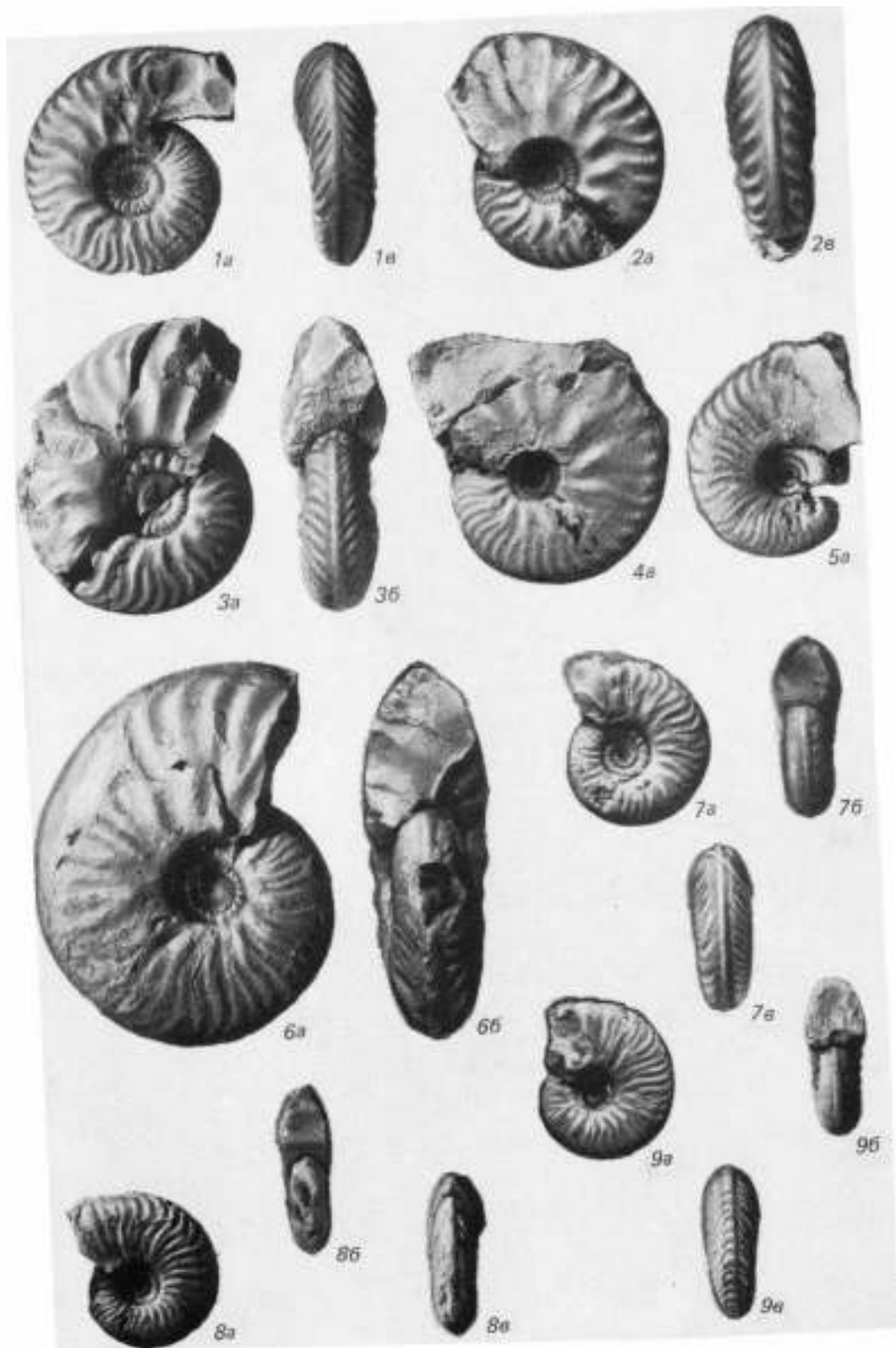


Таблица XV



Таблица XVI

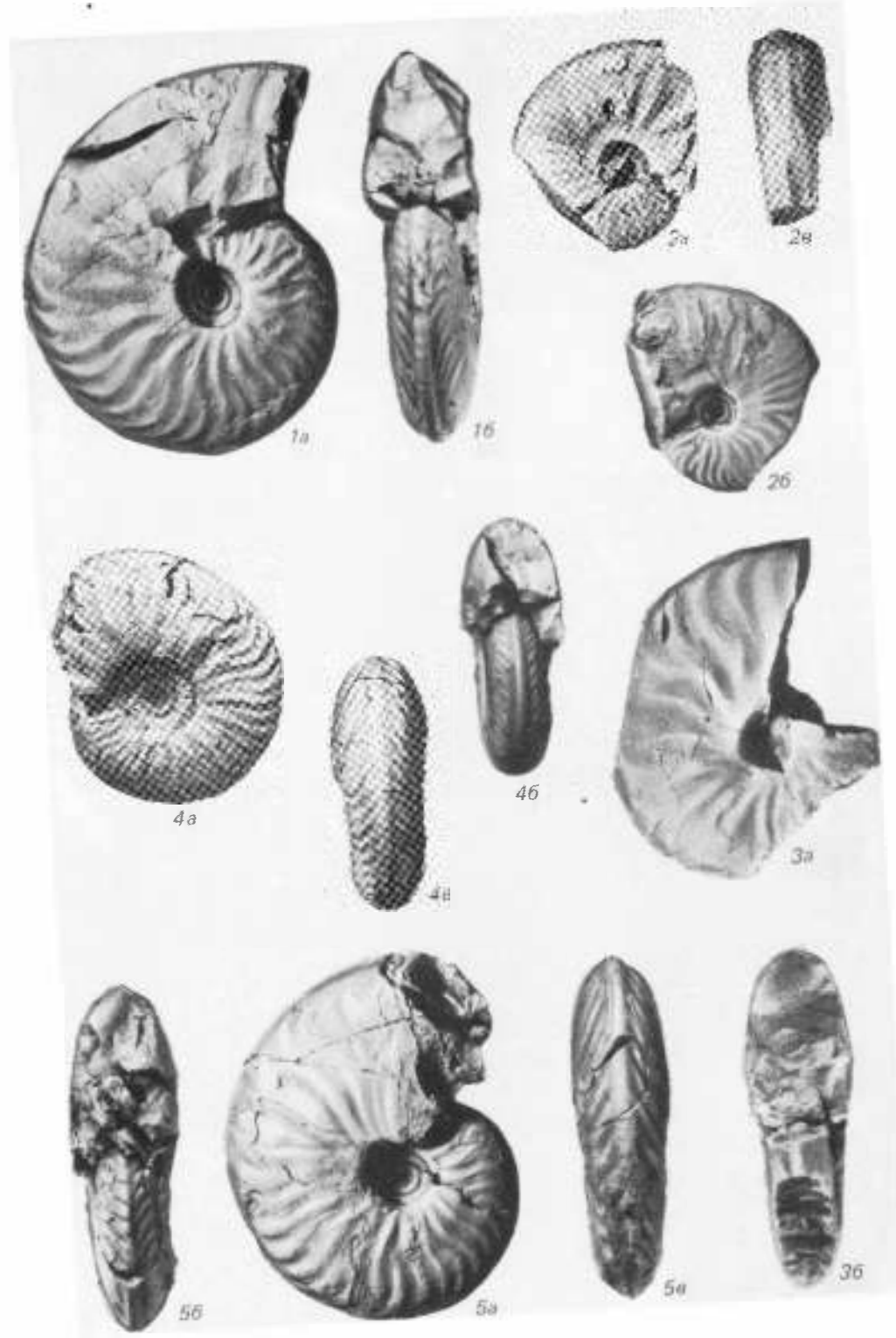


Таблица XVII



Таблица XVIII

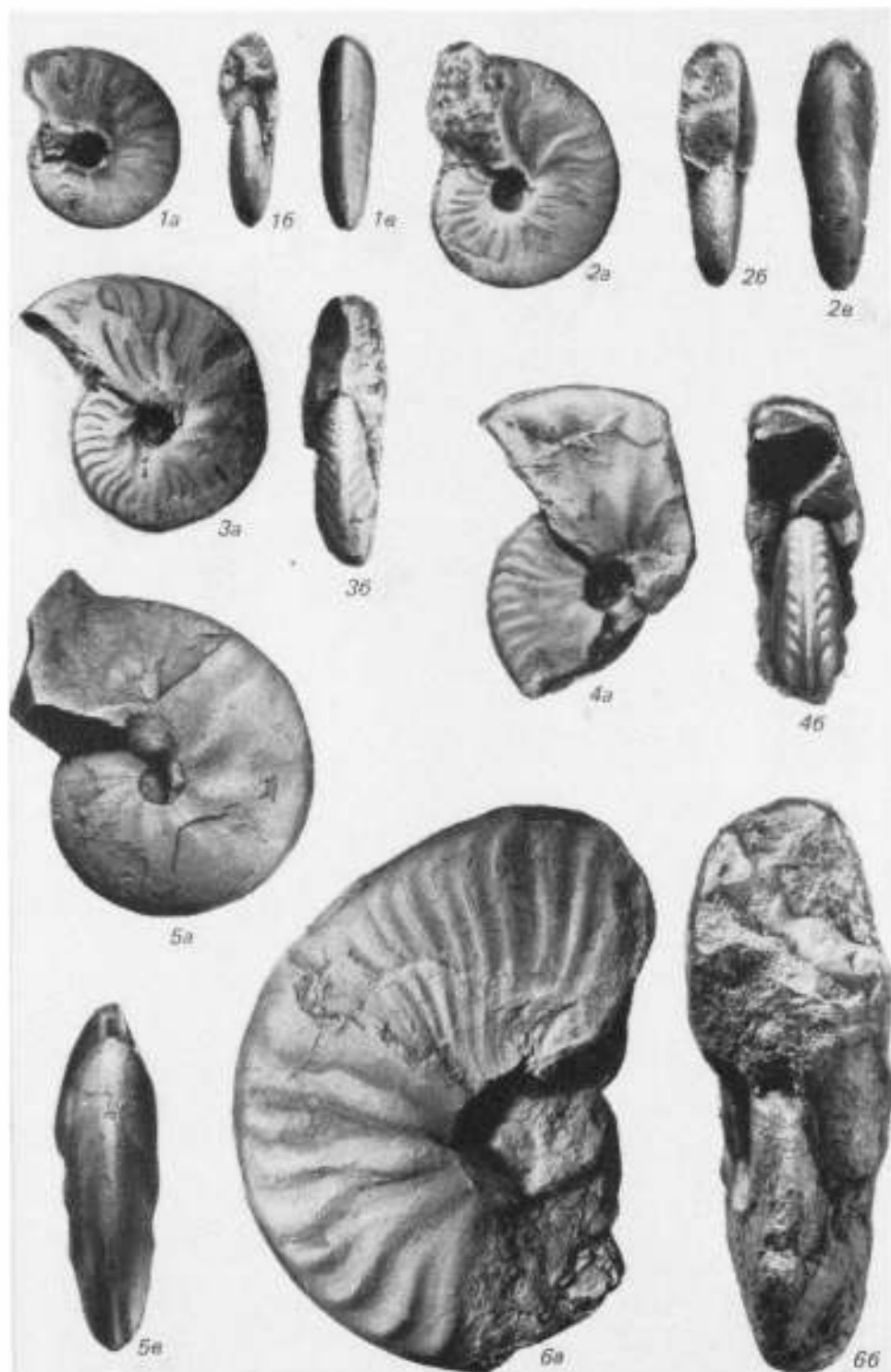


Таблица XIX

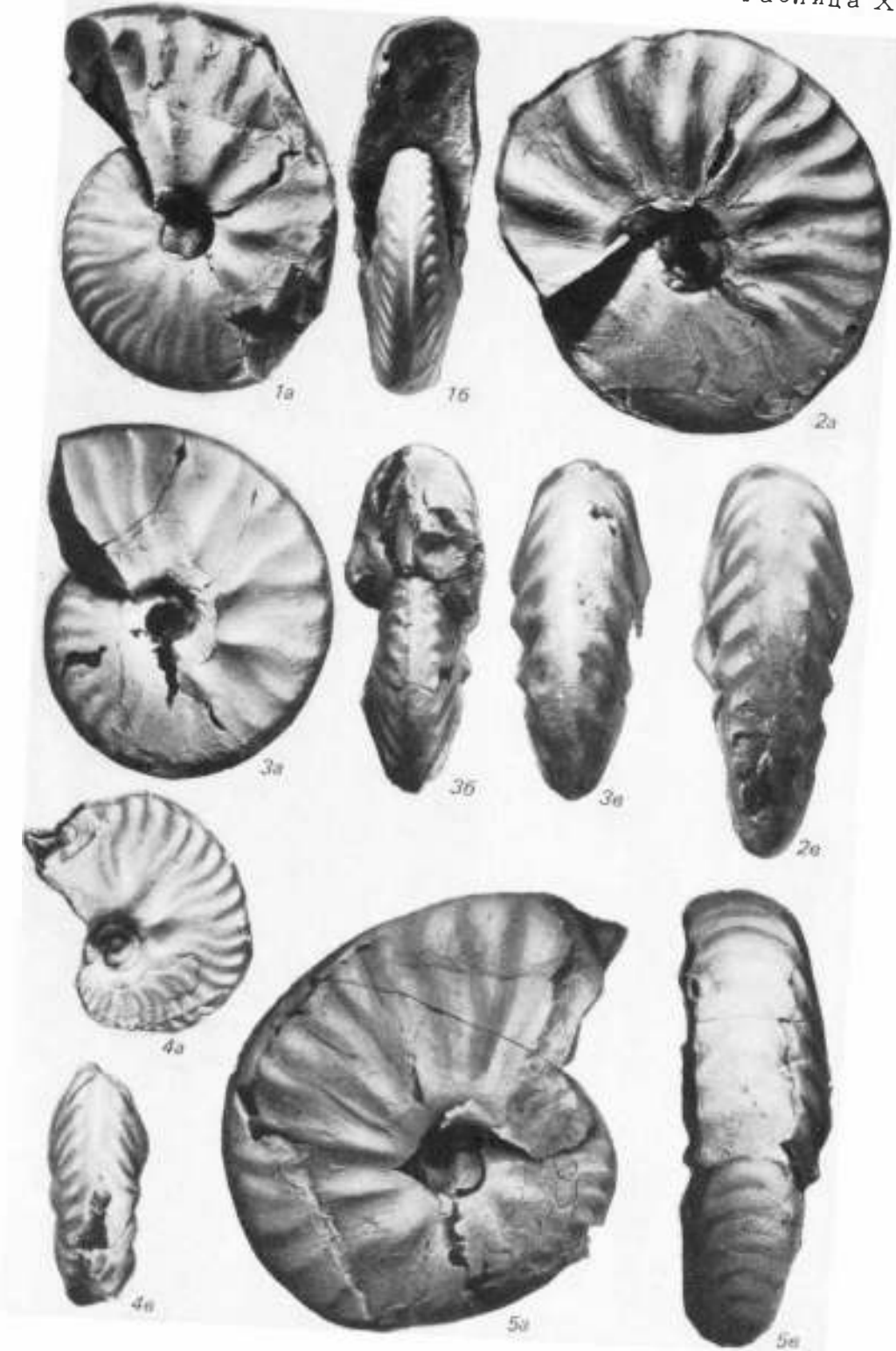


Таблица XX



Таблица XXI

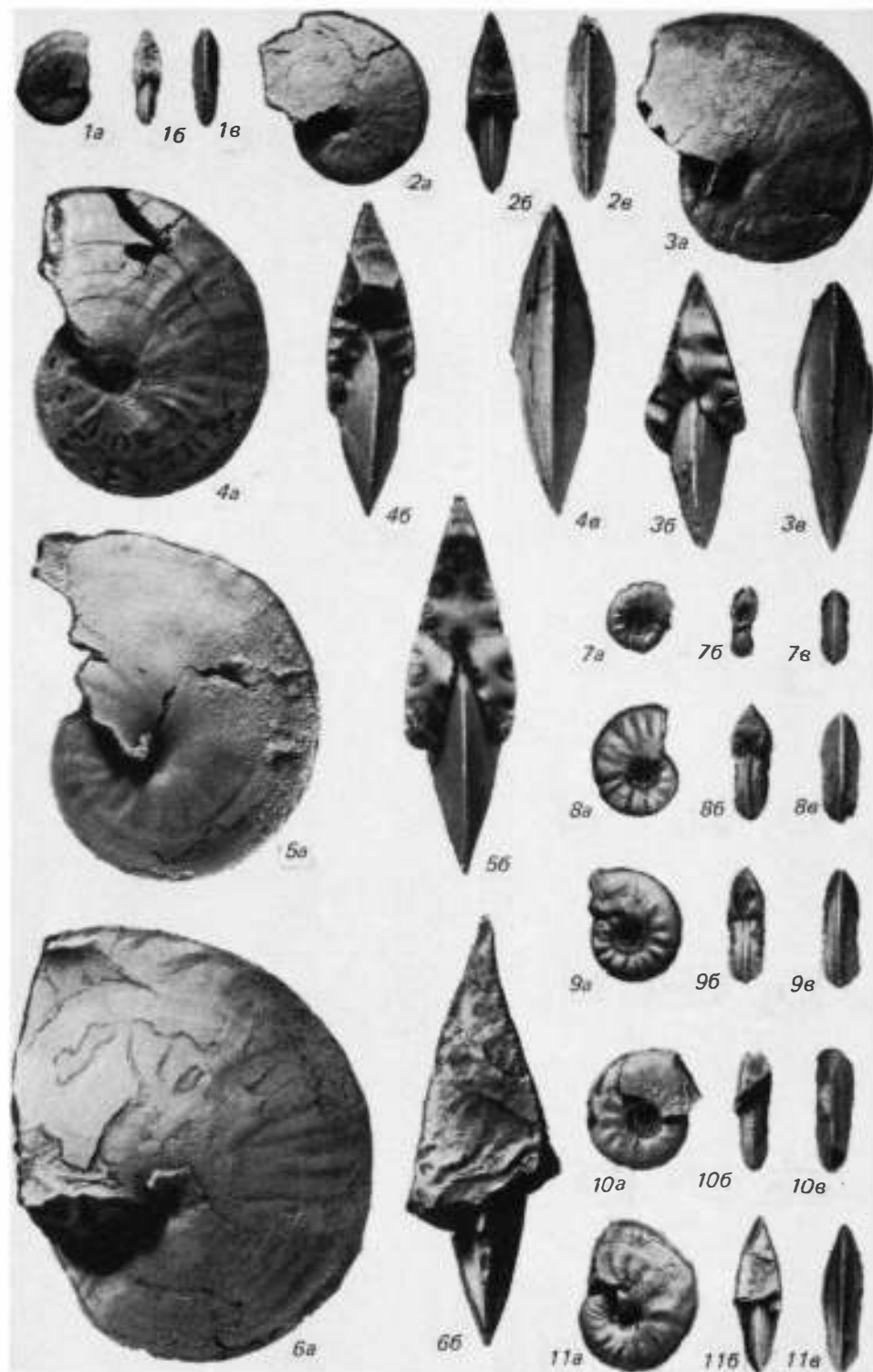


Таблица XXII

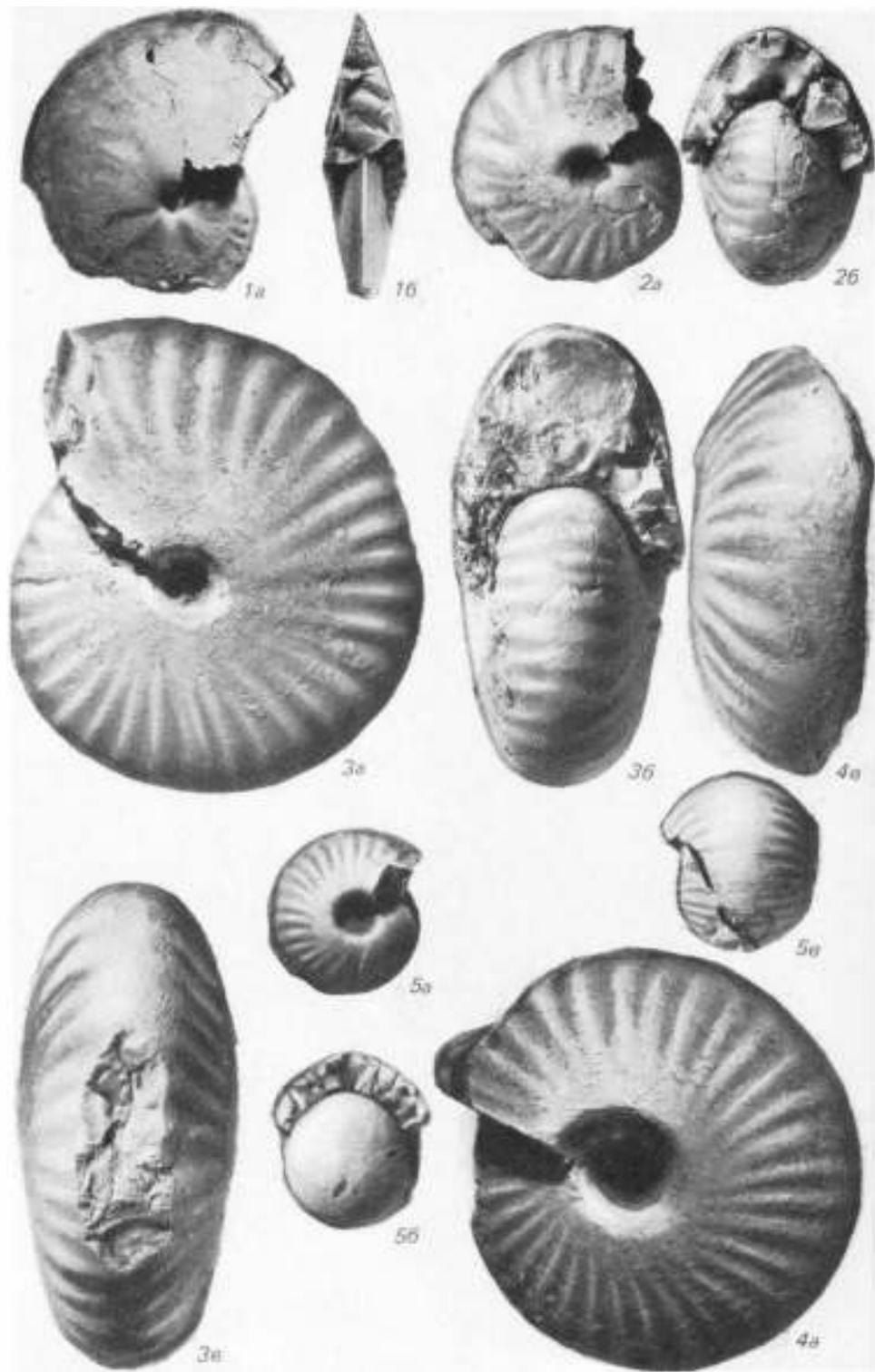


Таблица ХХIII

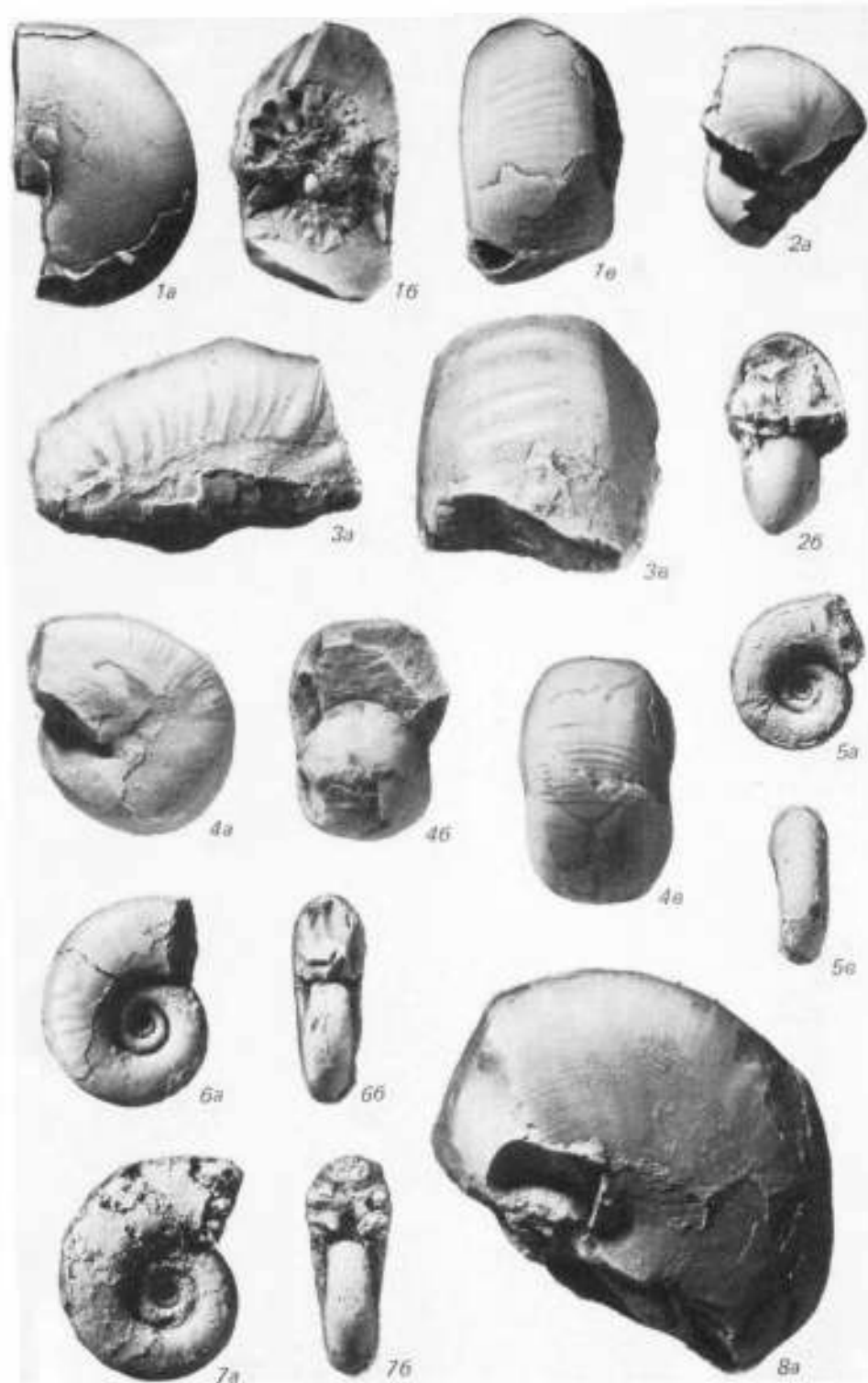


Таблица XXIV



ОГЛАВЛЕНИЕ

Введение	3
История изучения бореальных верхнеанзийских аммоноидей	5
Описание аммоноидей	7
Биостратиграфия верхнего аизия севера Сибири	96
Объем и границы верхнего аизийского подъяруса	96
Основные разрезы верхнего аизийского подъяруса севера Сибири	96
Зональная схема верхнего аизийского подъяруса	97
Основные закономерности географической дифференциации позднеанзийских аммоноидей и корреляция верхнего аизия	105
Список литературы	110
Фотогаблицы и объяснения к ним	126
	133

Научное издание

Константинов Алексей Георгиевич

БИОСТРАТИГРАФИЯ И АММОНОИДЕИ
ВЕРХНЕГО АИЗИЯ СЕВЕРА СИБИРИ

Редактор издательства Л.М. Акентьева

Художественный редактор М.Ф. Глазырина

Художник Н.А. Пискун

Технический редактор Н.М. Остроумова

ИБ № 42821

Сдано в набор 18.04.91. Подписано к печати 19.07.91. Формат 70x100 1/16.
Бумага тип. № 2. Офсетная печать. Усл. печ. л. 11,1 + 1,95 на мел. бум.
Усл. кр.-отт. 13,6. Уч.-изд. л. 13. Тираж 600 экз. Заказ № 684.
Цена 3 р. 10 к.

Ордена Трудового Красного Знамени издательство "Наука", Сибирское отделение.
630099 Новосибирск, ул. Советская, 18.

4-я типография издательства "Наука". 630077 Новосибирск, ул. Станиславского, 25.